

FM 5201

АКАДЕМИЯ НАУК СОЮЗА ССР

ЖУРНАЛ ФИЗИЧЕСКОЙ ХИМИИ

ТОМ
XXXI

1957 DEC. 1 3.

10

ВЫПУСК

ОКТАБРЬ
1957

ИЗДАТЕЛЬСТВО АКАДЕМИИ НАУК СССР
МОСКВА

ЖУРНАЛ ФИЗИЧЕСКОЙ ХИМИИ

Редакционная коллегия:

В. Я. АНОСОВ, К. В. АСТАХОВ, А. И. БРОДСКИЙ, Г. К. БОРЕСКОВ,
Я. И. ГЕРАСИМОВ, С. В. ГОРБАЧЕВ, Г. С. ЖДАНОВ, Л. А. НИКОЛАЕВ,
Н. Н. СЕМЕНОВ, А. Н. ТЕРЕНИН, А. Н. ФРУМКИН,
К. В. ЧМУТОВ

Главный редактор Я. И. ГЕРАСИМОВ

Заместители главного редактора С. В. ГОРБАЧЕВ, К. В. ЧМУТОВ
Отв. секретарь Л. А. НИКОЛАЕВ

УСПЕХИ ФИЗИЧЕСКОЙ ХИМИИ В СССР К Сороковой Годовщине Великой Октябрьской Социалистической Революции

Великая Октябрьская социалистическая революция открывает собой новую эру не только в жизни народов СССР, но и в мировой истории. Октябрьская революция раскрепостила творческие силы всех народов многонационального Советского Союза и открыла трудящимся доступ ко всем сокровищам культуры. Наука стала достоянием народа. Высшее образование стало доступным для всех представителей трудящейся молодежи, желающих овладеть ее сокровищами.

В дореволюционный период наука была сосредоточена преимущественно в немногочисленных университетах и еще более малочисленных технических высших учебных заведениях.

Проявляя глубокую прозорливость, Коммунистическая партия и Советское правительство в первые же трудные годы Советской власти приступили к развертыванию научной работы. Когда со всех сторон еще похлало пламя гражданской войны и интервенции, в стране создавалась сеть научно-исследовательских институтов. Призванные подготовить развитие отечественной промышленности, многие из этих институтов не только сыграли крупную роль в налаживании производства, в создании новых отраслей промышленности, но также стали крупными центрами научной мысли. Назовем такие институты, как Государственный институт прикладной химии, Государственный оптический институт, Институт высоких давлений, Государственный институт азотной промышленности, Физико-химический институт им. Л. Я. Карпова, Химико-фармацевтический институт и многие другие.

Широко развивалась сеть высших учебных заведений, готовивших квалифицированные кадры для всех областей хозяйства, культуры и общественной жизни. Высшие учебные заведения проделали также ценную работу по воспитанию кадров научных работников и преподавателей. Если в отраслевых научно-исследовательских институтах главное внимание уделялось насущным запросам промышленности, то в высших учебных заведениях сосредоточилась работа по обобщению успехов и достижений, составлению учебников и научных монографий. Высшая школа тесно связана многочисленными нитями и с промышленностью и с отраслевыми институтами. Готовя кадры для химической промышленности и опираясь на опыт промышленности, она создает тот научный фундамент, который необходим для промышленности ближайшего будущего.

Большие средства и возможности были предоставлены правительством академиям наук. В отличие от зарубежных академий наук, в Советском

Союзе академии наук представляют мощную систему научных институтов исследовательских станций, постоянных экспедиций, издательств и т. д. Такие институты в системе Академии наук СССР, как Институт физической химии, Институт общей и неорганической химии им. Н. С. Курнакова, Институт химической физики, Институт геохимии им. В. И. Вернадского и ряд филиалов АН СССР, стали крупными центрами физико-химических исследований.

Работы советских ученых в области физической химии достойно продолжили традиции передовых отечественных исследователей дореволюционного прошлого, значительно расширили и углубили эти исследования и создали новые оригинальные направления.

Оглядываясь на прошедшие 40 лет работы в области физической химии, мы можем с гордостью отметить, что советская физическая химия в основном оказалась достойной тех задач, которые поставлены были перед ней Советским государством и социалистическим народным хозяйством.

Развитие науки теснейшим образом связано с общими вопросами научного мировоззрения и идеологии.

Советская физическая химия, опираясь на прогрессивную диалектико-материалистическую философию, не раз давала решительный отпор чуждым науке, нездоровым научным теориям. Она боролась и борется с проникновением в науку чуждого ей мистицизма и идеализма. Развитие науки показывает, что советская наука правильно отличает жизненно верное от проявлений идеализма — в его субъективистских и формалистических разновидностях.

В краткой статье можно указать только важнейшие успехи советской физической химии за 40 лет.

Развитие кинетики газовых реакций выросло в стройное здание цепной теории, давшей ясную физическую картину сложных и разнообразных процессов в газах.

Работы школы Н. Н. Семенова определили в основном направления исследований в этой области и были высоко оценены мировой общественностью. Н. Н. Семенов был удостоен Нобелевской премии за работы по разветвленным цепным процессам.

Крупных успехов добилась советская школа электрохимиков, достижения которых многократно обсуждались на международных конгрессах и конференциях.

Советская школа физико-химического анализа заложила основы этой области и результаты полученные учениками знаменитого советского ученого Н. С. Курнакова способствовали решению крупнейших народно-хозяйственных проблем.

А. Н. Бах разработал теорию окисления, оказавшую глубокое влияние на смежные области, в частности на биохимию.

Советские ученые опираясь на классические исследования Н. Д. Зелинского внесли крупный вклад в развитие теории и практики катализа.

Активно разрабатываются вопросы теории катализа в тесном переплетении с задачами химической промышленности.

Крупные успехи достигнуты в разработке основ фотосинтеза, в частности созданы модели природных фотосинтезирующих систем.

Важные результаты получены также в области кристаллохимии, поверхностных явлений, коллоидной химии, коррозии и др.

Советская физическая химия за 40 лет развивалась широким фронтом. Тесно связанная с запросами народного хозяйства, она успешно решала многообразные задачи, выдвигаемые промышленностью. С участием ученых физико-химиков разработаны и внедрены в промышленность многочисленные новые методы производства. Вместе с тем советские физико-химики во многих областях науки выдвинули новые теоретические идеи, оказывающие плодотворное влияние на развитие отечественной и мировой науки.

Советские ученые высоко ценят поддержку Коммунистической Партии Советского правительства. Верные принципам социалистического гуманизма, советские физико-химики, изучая важнейшие научные проблемы, стремятся направлять все силы на выполнение ответственных народно-хозяйственных задач и тем способствовать развитию и процветанию Великой Социалистической Родины.

О МЕХАНИЗМЕ КАТАЛИЗА. I

Н. И. Кобозев

В последнее время в нашей науке наметилась тенденция к пересмотру теории катализа. Пересмотр этот сразу же принял весьма радикальный характер, взяв под сомнение самые основные представления и факты в области катализа. Например, отрицается существование активных центров гетерогенных катализаторов [1] и предлагается признать равномерную активность всей поверхности; отрицается фиксированность активных центров и предлагается заменить их электронами, перебегающими по катионным узлам [2]; предлагается заменить само понятие активного центра, подставив вместо него представление о свободной валентности поверхности [3]; допускается [4] обратимое возникновение активных центров на поверхности в результате самого каталитического акта.

Высказывается мнение [4], что адсорбционная теория катализа вообще не способна объяснить самый факт каталитического ускорения, так как «непонятно, почему расслабление связей при адсорбции может помочь молекулам много быстрее реагировать».

Этот перечень можно было бы значительно продолжить. Однако он говорит не только о радикализме или упрощенчестве отдельных авторов, но отражает также общую неудовлетворенность современным состоянием теории катализа, которая иногда представляется в виде неупорядоченной мозаики из отдельных фактов и точек зрения. Это впечатление не вполне лишено основания, находя его в многообразии теоретических концепций в катализе и в их несогласованности, так как до сих пор никто не взял на себя труд произвести научную кодификацию теорий в катализе. Это положение говорит также о том, что катализ как теоретическая проблема химии и физики, еще не вышла из стадий активных научных исканий и не отделилась в сколько-нибудь законченную форму.

Этим, естественно, объясняется легкость возникновения новых точек зрения в катализе, многие из которых носят скорее умозрительный характер, не стремясь к контакту с опытом и оставаясь поэтому вне научного контроля. Поэтому в отношении катализа приходится повторять истины, давно уже ставшие научным трюизмом, а именно: что всякая концепция (так же как и ее критика) должна опираться на опытно определяемые параметры, должна быть сопоставлена с опытом и должна рассматриваться во взаимоотношении с ранее высказанными воззрениями. В катализе концепциями, уже имеющими определенную научную традицию, могут считаться: адсорбционная теория гетерогенного катализа Лангмюра; теория промежуточных продуктов Шилова — Шпитальского — Михаэлиса [5]; теория валентнонасыщенных «пик» Тэйлора [6], его же теория активированной адсорбции: представление Берка — Поляни [7] об активном центре, как о комбинации ненасыщенных валентностей; теория Ленарда — Джонса о роли электронных зон металла [8]; теория адлинации Шваба — Питча [9]; теория мультиплетов А. А. Баландина о структурном соответствии центра и превращаемой молекулы [10], теория ансамблей Н. И. Кобозева [11] об активном центре, как о валентно-ненасыщенной атомной группировке докристаллического характера.

Все эти концепции выражают развитие одной логической линии в раскрытии природы активного центра — переход от центра, как элементарной свободной валентности отдельного атома (Тэйлор) к центру как валентно-ненасыщенной *атомной структуре* (Бёрк, Поляны, Баландин, Кобозев).

Структуре активных центров и законам их образования посвящен ряд обзорных статей в Успехах химии (см., например, [10, 12]) и в *Advances on Catalysis*. Предметом настоящей работы является вопрос о самом механизме гетерогенного катализа, взятом в абсорбционно-энергетическом и адсорбционно-цепном аспектах.

АДСОРБЦИОННО-ЭНЕРГЕТИЧЕСКИЙ АСПЕКТ В ГЕТЕРОГЕННОМ КАТАЛИЗЕ

Вопрос об ускорении химического процесса в общем виде сводится к его расчленению на такие элементарные звенья, которые имели бы наименьшую эндотермичность и, следовательно, наименьшую энергию активации. Для эндотермических элементарных процессов тепловой эффект, очевидно, выражает нижнюю границу энергии активации. В случае экзотермических элементарных актов эта граница снижается до нуля.

Катализ и есть способ расчленения сложного, самопроизвольно не идущего процесса на экзотермические или слабо эндотермические элементарные акты.

Мы начнем наш анализ с адсорбционно-энергетической стороны катализа, стараясь вносить в него минимум гипотетичности и держаться возможно ближе почвы фактов.

Так как при рассмотрении химических процессов в общей форме неизбежно исчезает возможность их количественного анализа, который мы ставим во главу угла настоящей работы, то анализ механизма гетерогенного катализа мы будем проводить на конкретном, хорошо изученном случае — гидрогенизации этиленовой связи. Наши расчеты по необходимости будут довольно подробными, так как иначе им нельзя придать убедительный, количественный характер.

ГИДРОГЕНИЗАЦИОННЫЙ КАТАЛИЗ

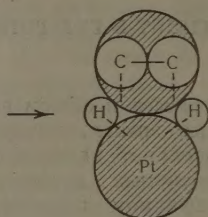
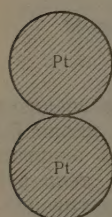
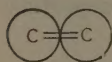
Можно считать доказанным, что гидрогенизационный катализ сопровождается активацией обоих типов связи — связи Н — Н и двойной углерод — углеродной связи. Этому отвечает твердо установленный факт, что всякая гидрогенизация требует двухатомного центра, например, платины или палладия. Это впервые было предположено А. А. Баландиным [10] на основе мультиплетной теории и подтверждено рядом авторов на основе теории ансамблей [13, 12]. Эти двухатомные платиновые или палладиевые центры (мультиплеты, ансамбли) представляют докристаллические структуры, адсорбированные либо на каком-нибудь инертном носителе, либо на кристаллической фазе материнского вещества катализатора. Они обладают повышенным химическим, в том числе адсорбционным, потенциалом, который соответствует их некоторой «валентности», выражающейся в способности присоединять к себе некоторое число связей.

Если допустить, что ансамбль Pt_2 способен адсорбировать молекулу этилена с двумя углеродными связями плюс два атома водорода, то ему следует приписать валентность, равную четырем, которая должна рассматриваться скорее как минимальная.

ДВУХСТАДИЙНОСТЬ КАТАЛИТИЧЕСКОГО ПРОЦЕССА

Наиболее важной и характерной чертой любого каталитического процесса является его расчленение на две стадии: I — адсорбционную и II — реакцию (Н. И. Кобозев [14]).

I. Адсорбционная стадия — разрыв химических связей и замена одной химической связи двумя адсорбционными * (здесь Φ — символ активного центра)



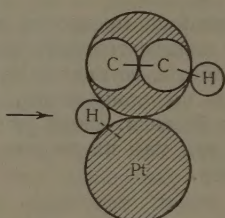
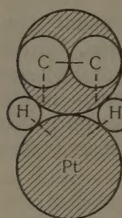
$$+ (2\varphi_{\Phi-C} - \varphi_{C-C}) = Q_{\text{адс}} (C_2H_4)$$

$$+ (2\varphi_{\Phi-H} - D_{H_2}) = Q_{\text{адс}} (H_2)$$



II. Реакционная стадия — преобразование адсорбционных связей в химические с заменой двух адсорбционных на одну химическую:

(a)



$$+ [\varphi_{C-H} - (\varphi_{\Phi-H} + \varphi_{\Phi-C})] = Q_r$$

(б) — повторение стадии II, а со второй связью $\Phi-H$ и $\Phi-C$ с тем же энергетическим эффектом (Q_r).

Адсорбционная стадия отвечает активации превращаемых молекул путем их присоединения к активному центру, сопровождающемуся разрывом химических связей между атомами с заменой их адсорбционными связями с катализатором. При этом на каждую разрываемую химическую связь образуются две связи адсорбционных. Если сумма энергий z активных химических связей до адсорбции составляет $\sum_1^z \varphi_{(\text{хим})}$, а сумма теплот адсорбции всех n компонентов (например, водорода и этилена) будет $\sum_1^n Q_{(\text{адс})}$, то суммарная энергия адсорбционных связей составит

$$\sum_1^{2z} \varphi_{(\text{адс})} = \sum_1^z \varphi_{(\text{хим})} + \sum_1^n Q_{\text{адс}} \quad (1)$$

Отсюда средняя энергия адсорбционной связи будет

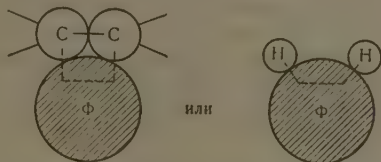
$$\bar{\varphi}_{(\text{адс})} = \frac{\sum_1^z \varphi_{(\text{хим})} + \sum_1^n Q_{(\text{адс})}}{2z} = \frac{\bar{\varphi}_{(\text{хим})}}{2} + \frac{n}{2z} \bar{Q}_{\text{адс}} \quad (2)$$

* На схемах вместо молекулы этилена показана лишь двойная углерод-углеродная связь.

где $\bar{\Phi}_{(\text{хим})}$ — средняя энергия химической связи до адсорбции, $\bar{Q}_{(\text{адс})}$ — средняя теплота адсорбции превращаемых частиц. Из этого соотношения видно, что если теплоты адсорбции не слишком велики, то средняя энергия адсорбционной связи должна быть значительно (до двух раз) меньше средней энергии химической связи.

Это обстоятельство, имеющее фундаментальное значение для катализа, было впервые отмечено Поляни [15] в 1921 г.

Таким образом, деформация связей при катализе может рассматриваться как замена одной химической связи парой адсорбционных, и установление связи между реагирующими атомами через активный центр (Ф), как через третье «контактное» тело*.



Вторая реакционная стадия отвечает преобразованию адсорбционных связей с образованием или конечного продукта реакции, или, что более вероятно, промежуточного адсорбированного радикала, например C_2H_5 , NH_2 , OH и т. п., закрепленного своей валентностью на катализаторе, как это изображено на приведенной выше схеме.

Мы видим, что во второй реакционной стадии катализа число превращаемых активных связей снижается и становится равным числу активных связей в исходной системе, что естественно, поскольку был взят процесс, идущий без перемены валентности. Также обратим особенно внимание на то, что на обеих стадиях катализа не происходит образования свободных валентностей или связей, так как все размыкающиеся связи в первой стадии немедленно насыщаются за счет адсорбционного потенциала активного центра, а в реакционной — за счет образования новых химических связей. Подчеркнем, что, поскольку в качестве определяющего параметра взята энергия связи, зависящая только от начального и конечного состояний отрываемых атомов, то проводимые рассуждения справедливы независимо от типа связи (одно- или двухэлектронная, электростатическая и др.)

Термодинамика адсорбционной стадии. Теперь мы разберем энергетику гидрогенизационного катализа на каждой его стадии.

Мы рассмотрим некоторый «идеальный катализатор», который обеспечил бы наилучшее протекание каталитического процесса, и затем сравним этот идеальный случай с реальным. Такой идеальный катализатор должен обеспечить, во-первых, достаточную адсорбцию реагирующих компонентов (т. е. этилена и водорода) и, во-вторых, минимальную эндотермичность, а желательно, даже экзотермичность обеих стадий катализа — адсорбционной и реакционной.

Для того чтобы адсорбционное равновесие обеспечивало достаточное заполнение поверхности (например, 0,1), необходимо, чтобы стандартная свободная энергия адсорбции или изобарный термодинамический потен-

* Намп [16], а впоследствии и другими авторами [17], было показано, что адсорбированные частицы (атомы) влияют друг на друга через взаимное снижение адсорбционного потенциала поверхности, что вызывает возникновение между ними сил отталкивания. Благодаря этому очередность разрыва адсорбционных связей будет влиять на их прочность, например, отрыв первого H-атома от активного центра будет требовать меньше энергии, чем второго: $\partial\Phi_{z_1}/\partial z < 0$, что должно учитываться при детальном анализе процесса.

пиал имели в термодинамических знаках достаточную отрицательную величину.

Однако нужно принять во внимание, что при адсорбции происходит одновременно и значительное падение энтропии вследствие закрепления молекул.

Таким образом, минимальный тепловой эффект адсорбции должен быть таков, чтобы компенсировать этот энтропийный дефицит:

$$-|\Delta F_{\text{адс}}| = -|\Delta U_{\text{адс}}| + T|\Delta S_{\text{адс}}| \quad (3)$$

где $|\Delta F_{\text{адс}}|$, $|\Delta U_{\text{адс}}|$ и $|\Delta S_{\text{адс}}|$ — абсолютные значения стандартного изменения F , U и S при адсорбции.

Теоретические и экспериментальные величины энтропии адсорбции имеются в литературе [17] для разного состояния адсорбированного слоя. В случае подвижной адсорбции, которая ближе отвечает случаю катализа и при не очень большой энергии адсорбционных связей, убыль энтропии при адсорбции близка для разных молекул (CO , O_2 , этан) и составляет 17 э. е. (при стандартных состояниях: газ, $P = 1 \text{ атм}$ и адсорбционный слой $\alpha = 0,5$).

В случае адсорбции водорода с диссоциацией на атомы убыль энтропии для незакрепленных частиц должна учитывать появление новых трансляционных степеней свободы. Расчет можно сделать, воспользовавшись, например, установленной нами энтропийной правильностью [18], согласно которой образованию 1 г-моля газообразного продукта отвечает увеличение энтропии приблизительно на 23 э. е. (при стандартных условиях $P = 1 \text{ атм}$). Тогда изменение энтропии при адсорбции H_2 ($S_{\text{адс}} - S_{\text{газ}}$) выразится:

$$\Delta S_{\text{адс}} \text{ H}_2 = +23 + 2R \ln \frac{c_{\text{газ}} (1 \text{ атм})}{c_{\text{адс}} \text{ H}(\alpha=0,5)} = -18,4 \text{ э. е.} \quad (4)$$

Таким образом, убыль энтропии и в этом случае близка к двум десяткам энтропийных единиц на моль. Свободная энергия адсорбции, требующаяся для создания (при $P = 1 \text{ атм}$) слоя с заполнением поверхности 0,1 (что уже достаточно для катализа), определится из уравнения:

$$\Delta F_{\text{адс}} \text{ H}_2 = RT \ln \left(\frac{\alpha}{0,5} \right)^2 = 1380 \lg (0,2)^2 \approx -2 \text{ ккал} \quad (5)$$

в круглых цифрах и при тех же стандартных условиях, что и для ΔS° .

Аналогично найдем для адсорбции этилена:

$$\Delta F_{\text{адс}} \text{ C}_2\text{H}_4 \approx -1 \text{ ккал.} \quad (6)$$

Отсюда изменение полной энергии при адсорбции водорода [и этилена составит при $T = 300^\circ\text{K}$:

$$\Delta U_{\text{адс}} \text{ H}_2 = -2 - 300 \cdot 18,4 \approx -7,5 \text{ ккал/моль H}_2 \quad (7)$$

и соответственно теплота адсорбции

$$Q_{\text{адс}} \text{ H}_2 = +7,5 \text{ ккал/моль H}_2; \quad (8)$$

$$\Delta U_{\text{адс}} \text{ C}_2\text{H}_4 = -6 \text{ ккал/моль C}_2\text{H}_4;$$

соответственно

$$Q_{\text{адс}} \text{ C}_2\text{H}_4 = +6 \text{ ккал/моль C}_2\text{H}_4.$$

Отсюда энергия адсорбционных связей водорода и углерода на «идеальном катализаторе» будет:

$$\varphi_{\text{Ф-Н}} = \frac{D_{\text{Н}_2} + Q_{\text{адс Н}_2}}{2} = 55 \text{ ккал/г-атом Н (что близко к } D_{\frac{\text{Н}_2}{2}}); \quad (9)$$

$$\varphi_{\text{Ф-С}} = \frac{\varphi_{\text{С-С}} + Q_{\text{адс С}_2\text{Н}_4}}{2} = 22 \text{ ккал/связь (что близко к } \frac{1}{2} \varphi_{\text{С-С}} = 19 \text{ ккал)}. \quad (10)$$

Отсюда средняя энергия химической связи до адсорбции

$$\bar{\varphi}_{(\text{хим})} = \frac{\varphi_{\text{С-С}} + D_{\text{Н}_2}}{2} = 70 \text{ ккал/связь}. \quad (11)$$

Средняя же энергия адсорбционной связи на активном центре

$$\bar{\varphi}_{(\text{адс})} = \frac{\varphi_{\text{Ф-Н}} + \varphi_{\text{Ф-С}}}{2} \approx 38 \text{ ккал/связь}. \quad (12)$$

Таким образом средняя энергия связи при адсорбции падает в 1,9 раза.

Знание величин энергий связей атомов водорода и углерода с активным центром позволяет рассчитать тепловые эффекты всех элементарных звеньев катализа.

Первая адсорбционная стадия имеет положительный тепловой эффект, соответственно равный для этилена $Q_{\text{адс С}_2\text{Н}_4} = +6 \text{ ккал}$ и для водорода $Q_{\text{адс Н}_2} = +7,5 \text{ ккал}$.

Вторая реакционная стадия при значениях энергии связи, соответствующих этим теплотам адсорбции, также является экзотермической в обоих своих звеньях (а и б) — в образовании адсорбированного радикала $\text{С}_2\text{Н}_5$ и в его гидрировании до этилена; тепловой эффект обеих этих стадий составляет $Q_r = 9 \text{ ккал/Н-атом}$.

Из приведенных соотношений можно найти те величины энергий связей и теплот адсорбции водорода и этилена, которые уже вызывают эндотермичность I и II стадий катализа.

Для адсорбционной стадии эта эндотермичность возникает при

$$\varphi_{\text{Ф-Н}} < \frac{D_{\text{Н}_2}}{2} \quad (\text{т. е. } 51,5 \text{ ккал/г-атом Н}); \quad (13)$$

$$\varphi_{\text{Ф-С}} < \frac{1}{2} \varphi_{\text{С-С}} \quad (\text{т. е. } 19 \text{ ккал/связь}).$$

Для реакционной стадии найдем это условие, выразив $\varphi_{\text{Ф-Н}}$ и $\varphi_{\text{Ф-С}}$ через соответствующие теплоты адсорбции и подставив их в выражении для энергии этой стадии (см. схему 1). Получим:

$$Q_r = \left[\varphi_{\text{С-Н}} - \frac{D_{\text{Н}_2} + \varphi_{\text{С-С}} + Q_{\text{адс Н}_2} + Q_{\text{адс С}_2\text{Н}_4}}{2} \right] = \left(9 - \frac{\Sigma Q_{\text{адс}}}{2} \right). \quad (14)$$

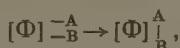
Отсюда суммарная теплота адсорбции, с которой начинается эндотермичность II стадии, составит

$$\Sigma Q_{\text{адс}} > 18 \text{ ккал}. \quad (15)$$

Таким образом, даже значительное падение полной энергии реагирующих молекул на адсорбционной стадии не создает эндотермичности ни в одном звене катализа, т. е. не ставит перед процессом термодинамических препятствий.

Как видно, изображенная схема катализа позволяет разбить каталитический процесс на четыре элементарных акта экзотермического характера: адсорбцию этилена, адсорбцию водорода, взаимодействие первого и затем второго атома водорода с адсорбированным этиленом.

Энергия активации обеих стадий катализа. Важно отметить, что каждый из этих процессов может считаться процессом элементарным, т. е. таким, у которого преобразование связей совершается практически в один акт*. Действительно, ни один из этих процессов не включает превращения более чем трех связей между закрепленными частицами, т. е. все они построены по типу



выражая преобразование двух адсорбционных связей в одну химическую. Можно думать, что энергия активации таких элементарных экзотермических процессов между закрепленными частицами должна быть достаточно мала.

Но можно и не останавливаться на этом допущении, а приписать каждому этому акту энергию активации, построенную по следующему принципу: энергия активации представляет алгебраическую сумму эквивалентов превращаемых связей, помноженных на соответствующие коэффициенты $-\alpha, -\alpha', \beta, \beta', \beta''$ и т. д., которые определяются потенциальными кривыми связей $H-H$, $\Phi-H$, $C-C$, $\Phi-C$ и $C-H$:

Энергия активации адсорбционной стадии

$$\begin{aligned} \varepsilon_{a(H_2)} &= -(\alpha'D_{H_2} - 2\alpha\varphi_{\Phi-H}), \\ \varepsilon_{a(C_2H_4)} &= -(\gamma'\varphi_{C-C} - 2\gamma\varphi_{\Phi-C}). \end{aligned} \quad (16)$$

Энергия активации реакционной стадии

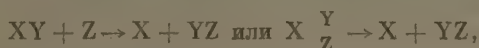
$$\varepsilon_r = -[\beta\varphi_{\Phi-H} - (\beta'\varphi_{C-H} - \beta''\varphi_{\Phi-C})]. \quad (17)$$

Эти коэффициенты, очевидно, должны быть меньше единицы, и вариация их способна обусловить появление отрицательных энергетических эффектов, т. е. некоторых барьеров, при перемещении связей на описанных стадиях. Величина этих коэффициентов могла бы быть определена на основе функции Морзе, если бы она была известна для

* Для этого нужно, чтобы длительность акта не выходила за пределы квантово-механической одновременности событий, т. е. за пределы временного интервала Δt_{\min} , даваемого соотношением неопределенности: $\Delta t_{\min} = h/\Delta E_{\max}$. Величина ΔE_{\max} определяется энергией распада активного комплекса $[\Phi] \xrightarrow[-B]{A}$ на свободные атомы или радикалы А, В и активный центр $[\Phi]$. Согласно нашей работе [19], $\Delta E_{\max} = \varphi_A + \varphi_B - \varepsilon$, где φ_A и φ_B энергии связи А и В с центром Φ , ε — истинная энергия активации. Отсюда наименьший «интервал одновременности» $\Delta t'_{\min}$ будет иметь порядок $\sim 10^{-15}$ сек. В этой же работе показано, что в случае образования долгоживущего «смешанного активного комплекса», через который идут мономолекулярные превращения, его временная длина τ (определяющая Δt_{\min}) может достигать 10^{-9} сек. Следовательно, «интервал одновременности» при химических реакциях составляет от 10^{-15} до 10^{-9} сек, т. е. в среднем геометрическом $\sim 10^{-12}$ сек. что достаточно для превращения двух-трех связей в один элементарный акт.

адсорбционных комплексов, чего, к сожалению, не имеется. Поэтому здесь приходится пользоваться аналогией с двухатомными молекулами и их реакциями с атомами.

Если обратиться к ряду расчетов, имеющихся в литературе, например Эйринга, Гиршфельдера, Поляны, Вигнера и др. [20], то можно увидеть, что реакции того типа, к которым принадлежит адсорбция с разрывом одной химической связи и с закреплением двух адсорбционных, или перенос одного атома водорода от атома катализатора к закрепленной С-связи близки к реакциям типа:



для которых энергия активации составляет примерно от 5 до 15% от энергии разрываемых связей. Следовательно, для энергии активации адсорбции водорода следует принять величину порядка 10 ккал, для энергии активации адсорбции этилена — порядка 4 ккал и т. д. Соответственно энергии активации транспорта адсорбированного H-атома к адсорбированной С-связи можно представить как $\sim 0,1$ от суммы энергий адсорбционных связей водорода и углерода $\varphi_{\text{Ф-Н}} + \varphi_{\text{Ф-С}}$, которая составляет около 80 ккал, откуда энергия активации составит около 8 ккал (подробней см. ниже).

Таким образом, энергия активации гидрогенизационного катализа должна лежать между нулем и примерно 10 ккал, т. е. являться достаточно малой величиной. Соответственно этому температура гидрирования этилена должна быть достаточно низкой (не выше 100°C).

Оба эти вывода представляют следствие один из другого и являются взаимной проверкой, как мы увидим, хорошо подтверждающейся на опыте (см. ниже). Воспользовавшись указанными границами значений коэффициентов α, α' и т. д. и соотношениями (16) и (17), можно ближе оценить энергию активации гидрогенизационного катализа. Однако предварительно укажем на следующее: если обратиться к выражению энергии активации для I и II стадий катализа, записанных в виде уравнений (16) и (17), то в них можно заметить важную особенность, заключающуюся в том, что энергия активации адсорбционной стадии уменьшается с увеличением энергии адсорбционных связей активируемых компонентов т. е. H-атома и С-связи, в то время как энергия активации реакционной стадии, наоборот, увеличивается с усилением этих же адсорбционных связей. Это ясно видно из того, что величины $\varphi_{\text{Ф-Н}}$ и $\varphi_{\text{Ф-С}}$ входят с разными знаками в $\varepsilon_{\text{адс}}$ и $\varepsilon_{\text{г}}$.

Из этой антибатности сразу же вытекает два важных вывода: первый — о наличии оптимальной энергии адсорбционной связи при катализе, и второй — о перемещении энергетического торможения катализа с I на II стадию при увеличении энергии адсорбционной связи активируемого компонента с активным центром (рис. 1).

Аналитически можно показать, что оптимальная энергия связи, соответствующая минимальной энергии активации, будет отвечать такой величине, при которой активационные барьеры обеих стадий оказываются одинаковыми. Считая, например, что энергетические барьеры сосредоточены на стадии адсорбции водорода и на элементарном акте гидрирования, выражаемом стадией II, а и II, б, мы получим следующее условие для определения оптимальной энергии связи Ф — Н (аналогично и Ф — С):

$$\varepsilon_{\text{кат}} = \varepsilon_{\text{адс}} = \varepsilon_{\text{г}}, \quad (18)$$

откуда эта оптимальная энергия связи выразится

$$\varphi_{\text{Ф-Н (опт)}} = \frac{\alpha' D_{\text{H}_2} + \beta' \varphi_{\text{С-Н}} - \beta'' \varphi_{\text{Ф-С}}}{2\alpha + \beta}. \quad (19)$$

Отсюда можно найти минимальную энергию активации, выражаемую следующим выражением:

$$\epsilon_{\text{кат (мин)}} = \frac{\beta' D_{\text{H}_2} - 2\alpha [\beta' \varphi_{\text{C-H}} - \beta' \varphi_{\text{Ф-Cl}}]}{2\alpha + \beta} \quad (20)$$

Разумеется, все эти выражения справедливы только для таких значений коэффициентов α , α' , β и т. д., которые дают отрицательную величину для соответствующих энергий активации.

Мы не можем выполнить точный расчет $\varphi_{\text{Ф-H (опт)}}$ и отвечающего ей минимального значения энергии активации, так как, как уже указыва-

лось, коэффициенты уравнения Морзе для адсорбционных комплексов неизвестны. Но все же некоторую оценку, приближающуюся к действительности, можно произвести, если допустить примерное равенство коэффициентов, входящих в уравнение (20). В этом случае в выражении для оптимальной энергии связи, например атома водорода, величины всех коэффициентов сокращаются и уравнение принимает следующий простой вид

$$\varphi_{\text{Ф-H (опт)}} \approx \frac{D_{\text{H}_2} + \varphi_{\text{C-H}} - \varphi_{\text{Ф-Cl}}}{3} = 56 \text{ ккал.} \quad (21)$$

В этом уравнении все величины известны: теплота диссоциации водорода (103 ккал), энергия связи C—H (86 ккал) и энергия адсорбционной связи углерода, которая по условию равна 22 ккал (см. выше). Если подставить все эти величины, то мы получим для оптимального значения энергии связи H-атома с активным центром—величину 56 ккал, близкую к половине энергии диссоциации молекулы H_2 и почти точно совпадающую с тем значением, которое мы получили выше для теплоты адсорбции, обеспечивающей достаточное заполнение активных

центров атомарным водородом. Там величина $\varphi_{\text{Ф-H}}$ составляла 55 ккал.

Если сопоставить эти расчетные величины с опытными данными, полученными, например из теплоты адсорбции, или из электрохимического отношения металлов к водороду, то мы здесь также найдем весьма хорошее согласие. Так, например, из электрохимических данных для платиновых катодов энергия связи Pt—H, вычисляемая по адсорбционной теории перенапряжения, имеет порядок 50 ккал [21]. Если обратиться к теплотам адсорбции, то для никеля энергия связи Ni—H по мере заполнения поверхности снижается от 65 до 57 ккал *г-атом* H. Ту же величину дает и железо. В случае вольфрама энергия связи больше и составляет (при переходе от малых к большим заполнениям) от 74 до 58 ккал. [22].

Как видно, все эти величины в своей нижней границе очень близко лежат к вычисленной величине—56 ккал. Этот факт позволяет понять, почему одноатомные ансамбли (Pt, Pd и т. д.), обладающие слишком

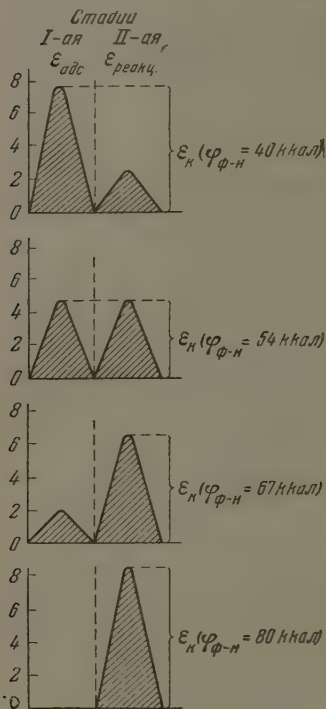


Рис. 1

большим адсорбционным потенциалом, уступают роль активных центров менее насыщенным двухатомным группировкам.

Можно количественно оценить энергию активации гидрогенизационного катализа, задавшись значениями коэффициентов α , α' , β , β' , β'' , т. е. различными параметрами потенциальных кривых для превращаемых связей.

Результаты этого расчета приведены в табл. 1. Из нее видно, что даже сильная варпация коэффициентов слабо меняет значения $\Phi_{\text{Ф-Н (опт)}}$, которые колеблются между 50 и 54 ккал/моль. Энергия же активации при увеличении этих коэффициентов, наоборот, закономерно растет приблизительно от 3 до 11 ккал, составляя в среднем $\sim 6,5$ ккал.

Таблица 1

α	α'	β	β'	β''	$\Phi_{\text{Ф-Н (опт)}}$ ккал	$E_{\text{кат (мин)}}$ ккал
0,07	0,1	0,1	0,03	0,03	51	3,2
0,1	0,15	0,15	0,05	0,05	54	4,6
0,15	0,2	0,2	0,1	0,1	54	4,4
0,3	0,4	0,4	0,2	0,2	54	8,8
0,5	0,6	0,6	0,3	0,3	50,6	11,2

Найденная энергия связи $\Phi_{\text{Ф-Н (опт)}}$, как мы видели, хорошо подтверждается опытом. Малые значения энергии активации при гидрогенизационном катализе также стоят в согласии с экспериментальным материалом, как это показывает табл. 2, взятая из нашей работы с А. Н. Мальцевым [136].

Таблица 2

Сводка значений энергий активаций гидрирования этиленовых углеводородов на Pt, Ni, Fe

Углеводород	Катализатор	Температурный интервал, °C	Энергия активации, ккал/моль
C_2H_4	Pt на силикагеле	100—150	6,8 (Pt_2)
C_2H_4	Pt " "	100—150	10,9 (Pt_1)
C_2H_4	Pt " "	44—138	4,3
C_2H_4	Pt " "	20—100	3,5
C_2H_4	Ni-пластинка	—23 до 50	5,0
C_2H_4	Платинированная Pt-фольга	0—150	10,0
C_2H_4	Ni-катализатор	0—78	6,0
C_2H_4	2,9% Fe контакт, промотированный 0,3% Cu	—84 до 25	2,0
C_2H_4	1% Ni-контакт на угле	0—75	3,6
C_3H_6	1% Ni " "	0—75	4,8
C_4H_8	1% Ni " "	0—75	5,6—6,8
C_2H_4	Ni-фольга	73—137	3,2
C_2H_4	Fe-катализатор	20—50	4,2
C_3H_8	Fe " "	—5 до 61	3,2
C_4H_{10}	Fe " "	2,9—20	2,8
C_2H_4	Fe на огнеупоре	0—20	6,2

В среднем 5,1 ккал

Хотя энергии активации, приведенные в табл. 2, являются кажущимися, так как они не исправлены на теплоты адсорбции и десорбции компонентов, но, благодаря большому числу случаев, можно считать, что они в среднем отражают реальное значение энергии активации и по-

зволюют сделать вывод о ее малости (~ 5 ккал). Это подтверждается и температурами гидрирования, которые в ряде случаев спускаются значительно ниже нуля*.

К этому анализу, который представляет усовершенствование наших расчетов 1930—1946 гг. [14 а], близки по ходу мысли некоторые работы А. А. Баландина [14 б] и недавняя статья М. И. Темкина [14 в] в настоящем журнале. Это показывает, что начинает нащупываться некоторый общий подход к энергетике катализа. Конечные результаты наших расчетов имеют более общий вид и отличны от указанных авторов, так как мы учитываем различный тип потенциальных кривых превращаемых связей (коэффициенты α , α' , β , β' и т. д.), что, как видно из табл. 1, может менять энергию активации в несколько раз. Упрощенное решение задачи на экстремум дает для оптимальной энергии связи простейшее уравнение типа [21], которое встречалось в наших первых работах и впоследствии было вновь выведено М. И. Темкиным в указанной статье.

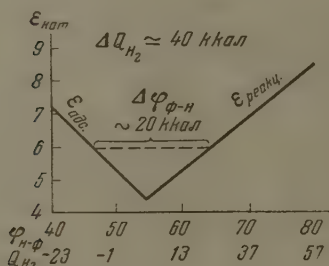


Рис. 2

Нужно подчеркнуть, что хотя энергия активации имеет минимальное, а скорость катализа максимальное значение, при некоторой определенной энергии связи Н-атома и С-атома с активным центром, однако существует довольно широкая область этих величин, в которой энергия активации все же остается на достаточно малом уровне. Эту область позволяет оценить график, приведенный на рис. 2, который показывает, что малый уровень энергии активации (порядка 6 ккал) отвечает интервалу энергии связи атома водорода около 20 ккал и интервалу теплоты адсорбции около 35 ккал.

Как видно, экспериментальные значения энергии связи, найденные из теплот адсорбции, вполне укладываются в этот интервал. Это тем более существенно, что эти термодимические данные относятся как раз к активным гидрогенизационным катализаторам и, таким образом, показывают, что гидрогенизационный катализ может идти с большой скоростью (т. е. с малой истинной энергией активации) в значительном диапазоне энергии связи, а следовательно, и теплоты адсорбции.

Эта теплота адсорбции и по нашему расчету и по опытным литературным данным, естественно, является положительной величиной. У нас она составляет для водорода около +7 ккал/моль H_2 , по литературным данным, колеблется от +10 до +30 ккал/моль H_2 .

Как показывает анализ, положительная теплота адсорбции несколько не мешает активированию реагирующих компонентов, несмотря на падение их полной энергии. Причиной этого является, во-первых, «размножение» связей при адсорбции, вследствие чего средняя энергия адсорбционной связи снижается даже при значительном выделении тепла [см. уравнение (2)]; и, во-вторых, существование довольно значительного энергетического «зазора» между адсорбционной и реакционной стадиями катализа, в результате чего во второй стадии не появляется термодинамического торможения (эндотермичности) даже при значительной положительной теплоте адсорбции.

Мы уже определили ту теплоту адсорбции, с которой начинается это торможение. Этот суммарный тепловой эффект, равный ~ 20 ккал/моль, совпадает со средней теплотой адсорбции водорода на никеле и железе. Таким образом даже значительный тепловой эффект еще не создает обязательного, т. е. термодинамического торможения катализа. Этим, естественно, разрешаются недоумения [3.4] — каким образом положительная теплота адсорбции, снижающая полную энергию молекулы, не препятствует ее активации.

* Согласно нашим данным, энергия активации гидрирования этилена на двухатомных центрах Pt_2 которую можно считать приближающейся к истинной, составляет около 7 ккал. На одноатомных же центрах она заметно выше, достигая 11 ккал. Это стоит в согласии с большей энергией адсорбции водорода на слабо заполненной поверхности.

Сопоставление рассчитанных и опытных энергетических параметров гидрогенизационного катализа показывает, что наш «идеальный катализатор» оказывается весьма близким к группе наиболее активных гидрогенизационных катализаторов Pt, Pd, Ni, Fe, которые, таким образом, находятся близко к максимуму гидрогенизационной активности.

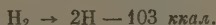
ГОМОГЕННО-ЦЕПНОЕ ГИДРИРОВАНИЕ

В плане поставленной задачи представляется существенным сравнить энергетику гетерогенно-каталитического гидрирования с энергетикой гомогенно-цепного процесса.

Гидрирование этилена в газовой фазе:



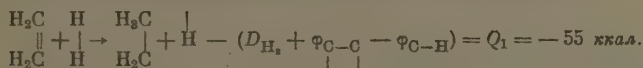
представляет довольно сильно экзотермический процесс, состоящий в перестройке четырех химических связей: $\text{H}-\text{H}$, $\text{C}=\text{C}$ и двух связей $\text{C}-\text{H}$. Если бы все эти четыре связи успевали за время соударения претерпевать превращение, изображенное написанным уравнением, то подобная реакция нуждалась бы в очень малой энергии активации. Однако элементарный процесс практически никогда не охватывает перестройку четырех связей, особенно если она происходит с нефиксированными молекулами в газовой фазе. Поэтому гидрирование этилена в газовой фазе разбивается на более элементарные звенья, каждое из которых представляет собой комбинацию, соответствующую изменению меньшего числа связей. Таким элементарным звеном может быть, например, разрыв связей в молекуле водорода с образованием атомов водорода:



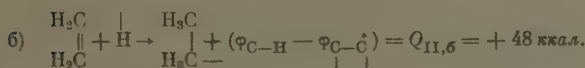
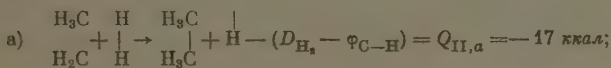
Эта реакция резко эндотермична, зато, как известно, атомы водорода легко гидрируют этилен.

Другой возможный объемный процесс, состоящий в перестройке трех связей, что для объема, по-видимому, является пределом, выражается схемой, в первом звене которой молекула этилена при соударении с молекулой водорода дает радикал C_2H_5 атом водорода.

I. Разрыв связей и возникновение двух свободных валентностей:

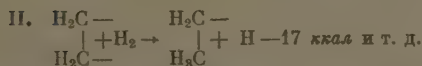
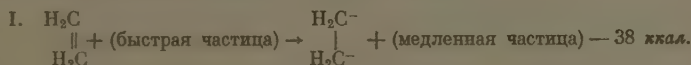


II. Обмен связями с сохранением свободной валентности:



затрата энергии на этот процесс также велика (55 ккал), но значительно меньше, чем при активации водорода.

Не вполне исключена возможность такого процесса:



он является энергетически наиболее выгодным, и его первое звено отвечает разрыву всего лишь одной связи. Но зато длительность жизни бирадикала $-\dot{\text{C}}\text{H}_2$, как пра-

$-\dot{\text{C}}\text{H}_2$

вильно отмечают Н. Н. Семенов и В. В. Воеводский, должна быть очень мала и поэтому его роль в реакции не может быть значительной*.

Таким образом энергия активации гомогенного цепного гидрирования через радикалы и Н-атомы составит не менее 38 ккал, а вероятно, даже не менее 55 ккал. Это отвечает температуре процесса порядка 700—1000°С, в то время как каталитическое гидрирование этилена идет, начиная с -25°С, и его энергия активации не поднимается выше ~10 ккал.

Разобранное цепное гидрирование не только имеет высокий активационный барьер, но и термодинамически невозможно при обычных условиях, так как для указанных температур свободная энергия процесса

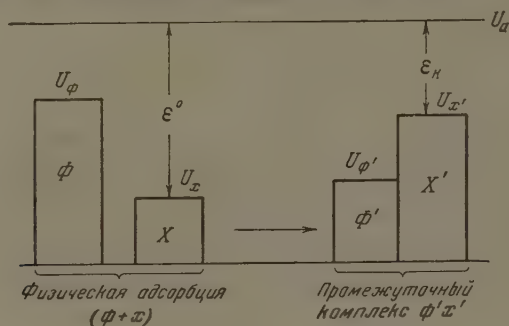


Рис. 3. U_Φ — уровень энергии незанятого активного центра Φ , $U_{\Phi'}$ — уровень энергии активного центра Φ' в промежуточном комплексе $\Phi'X'$; U_X — уровень энергии свободного субстрата X ; $U_{X'}$ — уровень энергии субстрата X' в промежуточном комплексе $\Phi'X'$; U_a — уровень активации свободного субстрата; ϵ^0 — энергия активации для свободного субстрата X ; ϵ_k — энергия активации для субстрата X' в промежуточном комплексе с катализатором $\Phi'X'$.

имеет большое положительное ($\Delta F_{1000^\circ K}^0 = +31$ ккал) значение и может быть компенсирована только применением очень больших давлений порядка несколько миллионов атмосфер.

Таким образом, цепное гомогенное гидрирование двойных связей вообще неосуществимо при обычном давлении и температуре, и, следовательно, цепной процесс не может конкурировать с каталитическим.

Термодинамика активационного процесса на катализаторах. До сих пор и мы рассматривали энергетику активационного процесса без учета энтропийного фактора, интересуясь лишь высотой активационного барьера. Сейчас мы постараемся углубить наш анализ.

Поскольку активные центры катализаторов представляют атомные структуры с повышенным запасом энергии (т. е. с повышенным химическим или электрическим потенциалом), то активацию молекулы субстрата, вступающей в контакт с таким центром, термодинамически можно представлять как перераспределение этой избыточной энергии между активным центром (Φ) и субстратом (X). Такой процесс изображен на приведенной выше диаграмме (рис. 3).

* Эти авторы почему-то считают, что разрыв одной из двойных связей в этилене и образование бирадикала требуют около 70 ккал. В действительности эта энергия (точнее 53 ккал) отвечает разрыву одинарной связи. Разрыв же обеих двойных связей требует 101 ккал, откуда для разрыва одной углерод-углеродной связи в этилене, т. е. для образования бирадикала $\begin{array}{c} -CH_2 \\ | \\ -CH_2 \end{array}$ с одинарной связью, требуется 38 ккал.

На этой диаграмме от некоторого нулевого уровня отложены энергетические уровни активного центра и субстрата в отдельности и их же уровни в промежуточном комплексе ($\Phi'X'$). Чтобы исключить поступательные степени свободы, не играющие существенной роли в активации субстрата, за начальное состояние системы взят субстрат, физически адсорбированный на активном центре, а за конечное — хемосорбционный промежуточный комплекс ($\Phi'X'$). Эта диаграмма показывает, что благодаря высокому энергетическому уровню активного центра, в принципе, имеется возможность подъема энергетического уровня субстрата вплоть до уровня активации без притока энергии извне. Это отвечает протеканию реакции без энергии активации, т. е. с очень большой скоростью. Практически уровень активации расположен всегда выше уровня субстрата в промежуточном комплексе на величину ε_K , выражающую энергию активации каталитического процесса. Соответственно ε^0 выражает энергию активации некаталитического превращения*.

Воспользовавшись обозначениями, приведенными на диаграмме, получим следующее выражение для абсолютных значений энергии активации некаталитического и каталитического процессов:

$$\begin{aligned}\varepsilon^0 &= (U_a - U_X) \\ \varepsilon_K &= (U_a - U_{X'}).\end{aligned}\quad (23)$$

Если процесс $(\Phi + X) \rightarrow (\Phi'X')$ происходит с малым тепловым эффектом, которым можно пренебречь (что часто бывает при катализе)**, то подъем энергетического уровня субстрата в комплексе ($\Phi'S'$) будет равен снижению энергетического уровня активного центра в том же комплексе:

$$\Delta U_{X',X} = -\Delta U_{\Phi,\Phi'} \quad (24)$$

или

$$U_{X'} = U_X + \Delta U_{\Phi,\Phi'}, \quad (25)$$

где $\Delta U_{\Phi,\Phi'} = -\Delta U_{\Phi',\Phi}$ и отсюда

$$\varepsilon_K = [(U_a - U_{X'}) - \Delta U_{\Phi,\Phi'}] = \varepsilon^0 - \Delta U_{\Phi,\Phi'} \quad (26)$$

Это выражение показывает, что снижение энергии активации при катализе имеет своим источником повышенный энергетический уровень или потенциал активного центра и будет тем значительней, чем сильнее снижается этот уровень, или потенциал, в промежуточном комплексе.

Свободная энергия активации каталитического процесса соответственно напишется:

$$\Delta F_a = F_a - F_{X'} = (U_a - U_{X'}) - T(S_a - S_{X'}). \quad (27)$$

Прибавив и вычтя из правой части величину $TS_{X'}$, получим

$$\Delta F_a = \varepsilon_K - T(S_a - S_{X'}) + T(S_{X'} - S_X) \quad (28)$$

или

$$\Delta F_a = \varepsilon_K - T\Delta S_a + T\Delta S_{X',X}.$$

Здесь ΔS_a выражает энтропию активации некаталитического процесса; $\Delta S_{X',X}$ — изменение энтропии при хемосорбции субстрата, т. е. при образовании промежуточного комплекса субстрата с активным центром.

* В этой схеме и в последующих рассуждениях считается, что каталитические и некаталитические превращения осуществляются при достижении молекулой субстрата (ее связями) некоторого определенного энергетического уровня U_a .

** Это пренебрежение тем более допустимо, что из теплового эффекта хемосорбции исключен член $T\Delta S_{\text{пост.}}$, составляющий его значительную долю.

Отсюда константа скорости превращения активированного субстрата X' выразится

$$k_{\text{кат}} = \nu e^{-\Delta F_a/RT} = \nu e^{\Delta S_a/R} e^{-\epsilon_H/RT} e^{-\Delta S_{X'X}/R} \quad (29)$$

или, вводя фактор $e^{\Delta S_a/R}$, не зависящий от природы катализатора, в частный множитель, получим

$$k_{\text{кат}} = \nu' e^{-\epsilon_H/RT} e^{-\Delta S_{X'X}/R} \quad (30)$$

Из этого выражения вытекает важный вывод, что повышение энтропии субстрата в промежуточном комплексе должно снижать скорость катализатора*.

Таким образом, здесь имеют место отношения, обратные активным комплексам Эйринга, повышенная энтропия которых ускоряет процесс.

Этот, неожиданный на первый взгляд, результат физически объясняется тем, что по отношению к активному состоянию $(\Phi'X')_a$ состояние субстрата в промежуточном комплексе $(\Phi'X')$ является начальным и, следовательно, повышение его энтропии должно смещать равновесие активации в сторону *начальной* неактивной формы.

Полученный принципиальный результат трудно проверить на примерах гетерогенного катализа, так как для этих процессов неизвестны энтропии перехода X в X' . Но он может быть проверен на каталитическом разложении перекиси водорода ионными катализаторами MoO_4^{2-} и $\text{Cr}_2\text{O}_7^{2-}$, для которых нами [24] были определены полные, свободные энергии и энтропии образования активных промежуточных продуктов MoO_6' , MoO_8'' , $\text{Cr}_2\text{O}_9''$ и $\text{HCr}_2\text{O}_9'$. В табл. 3 сопоставлены энтропии этих промежуточных комплексов с константами скоростей катализа, идущего через данный комплекс.

Таблица 3

Промежуточный комплекс	Изменение полной, свободной энергии и энтропии при разложении промежуточного комплекса (в расчете на два активных О-атома)			Константа скорости (k) при 25°C $k \cdot 10^8 \text{ сек}^{-1}$ (в расчете на два актив. О-атома)
	$\Delta U_X, \text{ ккал}$	$\Delta F, \text{ ккал}$	$\Delta S_{X'X}$	
MoO_6'	+0,6	-3,5	+24,6	0,66
MoO_8''	0	-2,2	+15	0,83
$\text{Cr}_2\text{O}_9''$	-1,4	-1,4	0	75,0
$\text{HCr}_2\text{O}_9'$	—	—	ок. -29	370,0

Как видно, здесь действительно наблюдается четкая антибатная зависимость между k и $\Delta S_{X'X}$, требуемая соотношением (30). Так как активация при катализе, как мы видели, сопряжена с ослаблением и «размножением» связей субстрата при его взаимодействии с активным центром, то внутренняя энтропия хемосорбционных комплексов, как правило, должна быть повышенной по сравнению с нормальным субстратом.

Отсюда следует вывод, важный для общей теории катализа, что энтропийное торможение каталитического процесса должно представлять достаточно широкое явление, часто сопровождающее энергетическую активацию при катализе. Иными словами, — энергетическое ослабление связи в субстрате при его адсорбции является фактором, благоприятным

* Первые попытки учесть роль энтропийного фактора в катализе принадлежат Шефферу и Констамму [23], которые, однако, не проводили четкого различия между промежуточным продуктом и активным состоянием.

для катализа: это главный механизм каталитической активации; структурное же разрушение комплекса, т. е. увеличение его фазового объема, наоборот, представляет для катализа факт отрицательный.

Можно примерно оценить возможную величину этого энтропийного торможения. Так как размах энтропии при химических процессах без изменения числа частиц обычно не превышает 10—20 для не очень сложных молекул (по 5—10 э. е. в отрицательную и положительную область), то энтропийное влияние промежуточного комплекса на скорость катализа составит

$$\sim e^{10/R} \div e^{20/R}, \quad \text{т. е.} \sim 10^2 \div 10^4.$$

Таким образом, здесь можно ожидать весьма значительных эффектов, которые, однако, в сотни тысяч и миллионы раз уступают энергетической активации при катализе. Поэтому только в случае очень мало актив-

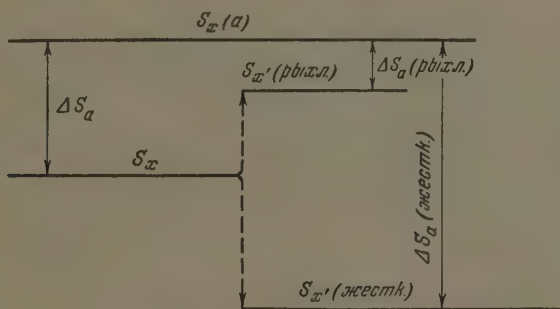


Рис. 4. $S_{X'}$ — внутренняя энтропия свободного субстрата X; $S_{X(a)}$ — внутренняя энтропия активного состояния субстрата; $S_{X'(\text{рыхл})}$ — внутренняя энтропия субстрата в промежуточном «рыхлом» комплексе $(\Phi'X')_{(\text{рыхл})}$; $S_{X'(\text{жест.})}$ — внутренняя энтропия субстрата в промежуточном «жестком» комплексе $(\Phi'X')_{\text{жест.}}$; ΔS_a — энтропия активации свободного субстрата; $\Delta S_{a(\text{рыхл})}$ — энтропия активации субстрата в рыхлом комплексе; $\Delta S_{a(\text{жестк.})}$ — энтропия активации субстрата в жестком комплексе

ных катализаторов энтропийное торможение способно подавить энергетическую активацию.

Энтропия промежуточного продукта $(\Phi'X')$ может являться не только источником торможения катализа, но и его активации, если промежуточный комплекс имеет более упорядоченную структуру, чем субстрат, и, следовательно, обладает меньшей внутренней энтропией (падение трансляционной энтропии компенсировано тепловым эффектом, обеспечивающим достаточное заполнение активных центров субстратом, см. выше).

На рис. 4 изображено изменение внутренней энтропии субстрата в двух крайних случаях катализа — с «рыхлым» и «жестким» промежуточным продуктом.

Если представить, что субстрат в «жестком» комплексе образует очень избирательную, точно фиксированную структуру, то энтропийный провал может быть при этом весьма значителен. Например, при затвердевании жидкостей со средней, по сложности, молекулярной структурой, падение молярной энтропии составляет около 15 э. е. Если «жесткий» комплекс уподобить элементу твердого тела, то энтропийный провал можно оценить приблизительно в эту величину, что отвечает энтропийному ускорению

катализа в несколько тысяч раз относительно свободного субстрата и в несколько сотен тысяч или миллионов раз относительно «рыхлого» промежуточного комплекса.

Возможно, что эти энтропийные эффекты способны привести к пониманию огромной активности сложно-структурных и в то же время высоко-избирательных природных катализаторов-ферментов.

Исключительная избирательность ферментов позволяет думать, что превращаемый субстрат фиксируется ими с большой жесткостью (т. е. с сильным снижением энтропии) на каких-то структурных элементах фермента. С другой стороны, активное состояние этого субстрата на ферменте, будучи связано с разрушением этой жесткой структуры, а иногда даже с отрывом агона (активной группы) от белкового носителя, может иметь очень высокий уровень энтропии активации. Сложность активного, опережающего комплекса в случае ферментных катализаторов может вызвать появление у него большой дополнительной t -энтропии, способной, как было показано раньше [19], давать ускорение в сотни тысяч раз.

Тогда энтропийное ускорение при ферментном катализе за счет энтропии активации составит

$$e^{(\Delta S_{X,X'} + \Delta S_{a,X'})/R} \quad (31)$$

и может достигнуть многих миллионов раз. Возможно, именно с этим связан эффект аггравации сложных катализаторов [11]. Мельвин-Хьюз [25], пытаясь оценить на основании зависимости энергии активации от температуры число квадратных членов, т. е. степеней свободы или связей, вовлекаемых в активацию при ферментном катализе, нашел, что это число меньше, чем при обычном катализе, т. е. фермент действует более «точно», чем обычный катализатор.

Хотя надежность такой оценки невелика, она все же может служить указанием на большую «жесткость» промежуточного комплекса (субстрат + фермент) и, следовательно, на его низкую энтропию. Таким образом, если в области обычного катализа мы скорее должны считаться с энтропийным торможением процесса, то в области сложно-структурного, биологического катализа оказывается возможным сильное энтропийное ускорение реакций.

ГИДРОГЕНИЗАЦИОННЫЙ КАТАЛИЗ С ВЫКЛЮЧЕННОЙ АДОРБЦИОННОЙ СТАДИЕЙ

Общий вывод о существовании для данного вида катализа оптимальной энергии связи подтверждается всем опытом каталитических исследований.

Конкретная опытная проверка этой нашей схемы катализа была дана путем сопоставления обычного адсорбционного катализа с электродным катализом, например, обычного гидрирования непредельных связей молекулярным водородом с гидрированием подобных же связей электрохимическим водородом, когда данный металл-катализатор делается катодом и водород на нем выделяется электрическим током.

Особенностью электродного катализа является то, что в этом случае полностью выключается первая адсорбционная стадия катализа — стадия получения адсорбированных атомов водорода за счет активированной адсорбции. Эта стадия выпадает благодаря тому, что H -атомы в готовом виде подаются на электрод-катализатор за счет внешней работы тока. Отсюда следует, что скорость электродного катализа должна определяться энергией связи совершенно иначе, чем скорость обычного адсорбционного катализа, так как в случае электродного катализа энергия связи $Me-H$ входит не с положительным и отрицательным знаком в обе стадии, а только с положительным знаком в реакционную стадию катализа [см. уравнение (17)]. Следовательно, чем больше эта энергия, тем должна быть больше энергия активации электродного катализа (электрогидрирования) и тем, следовательно, оно должно идти трудней. С другой стороны, как было показано нами с Н. И. Некрасовым [21] и сейчас общепризнано в науке, ряд перенапряжения, начинающийся платиной и кончающийся свинцом и ртутью, есть ряд убывающей энергии связи $Me-H$ и, следовательно, электродный катализ должен повышаться по этому ряду. Получается как будто парадоксальный вывод, что лучшими электродными катализаторами должны быть те, которые совсем не проявляют нормальной каталитической активности и даже являются ядами для обычных гидрогенизационных катализаторов.

Отсюда же следует, что все факторы, способные понижать энергию связи металла с атомами водорода, как, например, отравление каталитическими ядами (серой, мышьяком и др.) и термическое сглаживание (спекание) поверхности, должны не отравлять, а активировать электрокатализ.

Все эти выводы теории были подтверждены на опыте (табл. 4*)

* Весьма яркую иллюстрацию определяющей роли энергии адсорбционной связи в катализе дает явление диффузии через металлические мембраны. Схема этого процесса точно та же, что и для катализа, лишь с тем отличием, что вторая реакционная стадия преобразуется в окклюзионную с заменой энергии присоединения

Таблица 4

Активирующее действие каталитических ядов на электрогидрирование коричной кислоты (катализ с выключенной адсорбционной стадией)

(А) Катод — железо; яд — активатор : свинец		(В) Катод — гл. платина; яд — активатор : ртуть	
Число атомарных слоев свинца на видимой поверхности железного катода	Выход по току, %	Число атомарных слоев Hg на видимой поверхности платинового катода	Выход по току, %
0	0	0	0
0,5	15,5	1,5	11,0
1,0	21,5	3,0	25,1
1,5	30,5	4,5	30,0
3,0	40,4	6,0	31,0
6,0	44,0		
16	53,4		
Видимая поверхность свинца	60,1		

Прогрессивное снижение энергии активации электрогидрирования при активации платинового катода каталитическим ядом Hg

Концентрация яда	Энергия активации, ккал
0	7
10^{-4} моль $HgCl_2$	5,95
1,5 атомарных слоев Hg	2,3
Амальгамированная платина	1,2

Описанное обращение свойств нормального катализа при выключении адсорбционной стадии и резкое ускорение процесса при этом доказывают, во-первых, правильность двухстадийной схемы катализа и, во-вторых, то, что при нормальном гидрировании адсорбционная стадия является лимитирующей.

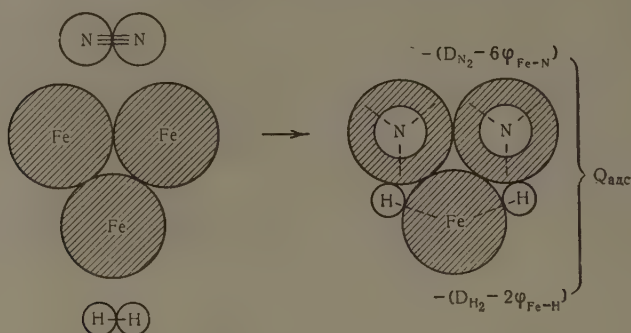
ОБОБЩЕНИЕ ДВУХСТАДИЙНОГО МЕХАНИЗМА НА ДРУГИЕ СЛУЧАИ КАТАЛИЗА

Изложенная схема катализа не ограничивается каким-либо одним типом реакций, например гидрогенизацией, но имеет общее значение. Например такие процессы, как синтез аммиака, окисление сернистого газа и другие важные случаи гетерогенного катализа, на языке этой схемы выразятся следующим образом.

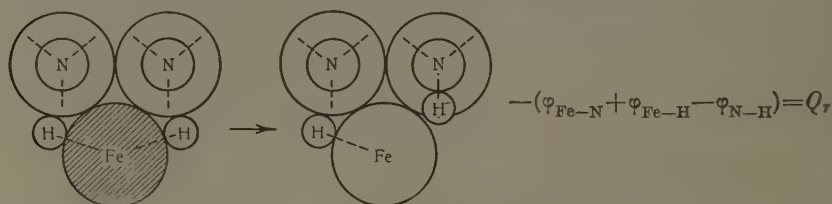
Н-атома к С-связи энергией его перехода из газовой фазы в решетку (окклюзия: $\epsilon_{\text{оккл}} = -\beta\Phi_{\text{Me-H}} - \Phi_{\text{оккл}}$).

Переход к электродиффузии, включая адсорбционную стадию, ускоряет проникновение адсорбированных Н-атомов в решетку при уменьшении энергии связи $\Phi_{\text{Me-H}}$ и благодаря этому сообщается прохождению через поверхность металлов (палладия, железа), отравленных каталитическими ядами (ртутью, мышьяком, серой и др.), такую скорость, которая не может быть достигнута повышением давления молекулярного водорода до десятков тысяч атмосфер. В результате металлы, полностью не пропонищаемые для молекулярного водорода при обычной температуре, как, например, железо, будучи отравлены, начинают его почти количественно пропускать через себя при электролизе.

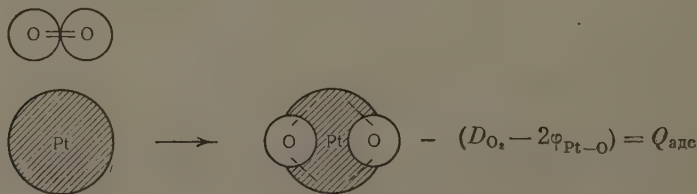
Синтез NH_3 на железе. *I* адсорбционная стадия — активация молекулы азота и водорода путем полного или частичного разрыва химических связей и замены их адсорбционным. Активный центр — трехатомный железный ансамбль Fe_3 :



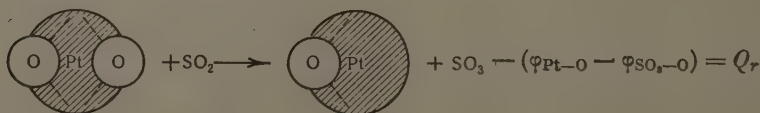
II реакционная стадия — последовательное гидрирование адсорбированного азота адсорбированным водородом:



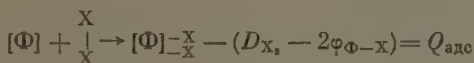
Окисление SO_2 на платине. *I* адсорбционная стадия — адсорбционная активация молекулы кислорода. Активный центр — одноатомный ансамбль Pt_1 :



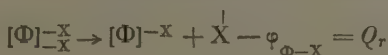
II реакционная стадия — реакция адсорбированного кислорода с молекулой SO_2 :



Той же схеме подчиняется и простейший процесс: каталитическая диссоциация двухатомной молекулы X_2 . I адсорбционная стадия — адсорбция с диссоциацией на атомы:



II реакционная стадия — последовательное испарение X-атомов в объем:



Минимальная энергия активации этого процесса отвечает условию

$$D_{X_2} - 2\varphi_{\Phi-X} = \varphi_{\Phi-X}.$$

Откуда

$$\varphi_{\Phi-X} (\text{опт}) = \frac{1}{3} D_{X_2}. \quad (32)$$

Для не слишком прочных молекул, как, например, Br_2 , Cl_2 , такая каталитическая диссоциация с отдачей атомов в объем (конечно, не выше равновесия) может идти уже при невысоких температурах. Например, для хлора ($D_{\text{Cl}_2} = 57$ ккал) энергия активации составит около 20 ккал. Таким образом этот процесс, допускаемый Христиансенем и Н. Н. Семеновым с сотрудниками, действительно может идти на стенках при температуре порядка 100 — 200°, облегчая возникновение цепи в объеме.

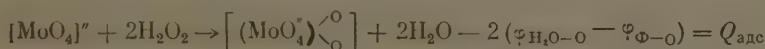
Таким образом во всех случаях двухстадийного катализа энергетические эффекты и энергии активации I и II стадий выражаются однотипно:

$$\begin{aligned} Q_{\text{адс}} &= -(D_{X_2} - n\varphi_{\Phi-X}), \\ \varepsilon_a &= -(\alpha D_{X_2} - n\alpha\varphi_{\Phi-X}), \\ Q_r &= -(\varphi_{\Phi-X} - \varphi_{B-X}), \\ \varepsilon_r &= -(\beta\varphi_{\Phi-X} - \gamma\varphi_{B-X}), \end{aligned} \quad (33)$$

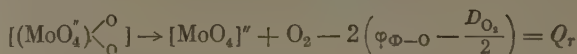
Следовательно, те эффекты, которые были разобраны на примере гидрогенизационного катализа — антибатное влияние энергии связи $\varphi_{\Phi-H}$ на обе стадии катализа, наличие оптимальной для катализа энергии связи $\varphi_{\Phi-X}$, прохождение энергии активации через минимум в точке, где $\varepsilon_a = \varepsilon_r$, имеют общее значение для катализа.

Изложенная двухстадийная схема охватывает также и гомогенный катализ, примером чего может служить распад перекиси водорода под действием ионных катализаторов MoO_4^{2-} , $\text{Cr}_2\text{O}_7^{2-}$, WO_4^{2-} и др. (см. выше), идущий по следующему рекомбинационному механизму:

I стадия — отрыв O-атомов от молекул перекиси и присоединение к катализирующему иону (например MoO_4^{2-}):



II стадия — рекомбинация О-атомов в промежуточном комплексе с выбросом молекулы O_2 :



Как видно, энергия связи атомов кислорода с катализатором φ_{O-O} входит в обе стадии гомогенного катализа точно так же, как энергия адсорбционной связи при гетерогенном катализе.

Таким образом, в общем механизме катализа и его энергетике между гомогенным и гетерогенным катализом нет принципиальной разницы.

Из приведенного случая видна недостаточность понятия свободной валентности, как синонима каталитической активной структуры, поскольку ионы MoO_4'' , WO_4'' , Cr_2O_7'' и им подобные выполняют каталитическую функцию, не обладая свободной валентностью, за счет электростатических сил*.

В заключение этой части нашей работы отметим одну существенную особенность: при анализе отдельных элементарных стадий, определяющих катализ, нигде не приходилось считаться со структурой и энергией реагирующих молекул в целом, но только с параметрами отдельных превращаемых связей. Эта молекулярная структура, вероятно, играет роль в энтропии промежуточных комплексов: субстрат-катализатор. Но и здесь основным источником увеличения или уменьшения энтропии является не геометрия комплексов, а степень жесткости их структуры. Таким образом, основными параметрами обычного гетерогенного катализа нужно считать энергию и энтропию отдельных превращающихся связей.

Московский государственный
университет им. М. В. Ломоносова

Поступила
5. V. 1956 г.

ЛИТЕРАТУРА

1. Г. К. Боресков, Гетерогенный катализ в химической промышленности, Материалы Всесоюзного совещания 1953 г., Госхимиздат, Москва, 1955, стр. 5.
2. Ф. Ф. Волькенштейн, Журн. физ. химии, 27, 159, 167, 1955; 28, 422, 1954.
3. В. В. Воеводский, Ф. Ф. Волькенштейн и Н. Н. Семенов, Вопросы химической кинетики, катализа и реакционной способности, Изд-во АН СССР, Москва, 1955 стр. 423.
4. Н. Н. Семенов и В. В. Воеводский, Гетерогенный катализ в химической промышленности, Материалы Всесоюзного совещания 1953 г., Госхимиздат, 1955, стр. 233.
- 5 а). Н. А. Шиллов, О сопряженных реакциях окисления, т-во типографии А. И. Мамонтова, 1905.
- 5 б). Е. И. Шпитальский, Z. Phys. Chem., 122, 17, 1926.
6. Н. Taylor, Proc. Roy. Soc., A108, 105, 1925.
7. R. E. Burk, Journ. Phys. Chem., 30, 1134, 1926.
8. J. E. Lennard-Jones, Trans. Farad. Soc., 28, 333, 1932.
9. G. M. Schwab and E. Pietch, Z. Elektrochem. 35, 135, 1929; Z. Phys. Chem., B, 1, 385, 1929; 2, 262, 1929.
10. А. А. Баландин, V. Phys. Chem., B 2, 289, 1929; Успехи химии, 4, 1104, 1935.
11. Н. И. Кобозев, Журн. физ. химии, 13, 1, 1939; Уч. зап. МГУ, вып. 174, 17, 1955.
12. Н. И. Кобозев, Успехи химии, 25, № 5, 545, 1956
- 13 а). Н. И. Кобозев и Н. А. Решетовская, Журн. физ. химии, 23, 388, 1949.
- 13 б). В. Н. Мальцев и Н. И. Кобозев, Журн. физ. химии, 29, 291, 1955.

* Нет никаких данных предполагать, что при этих процессах появляются свободные радикалы и развиваются процессы в объеме, так как истинные предэкспоненциальные множители каталитического процесса имеют не только обычный, но даже, пожалуй, несколько пониженную величину порядка 10^{10} — 10^{11} сек⁻¹, видимо, из-за энтропийного торможения. В случае катализа перекиси водорода элементарными ионами, например, Fe^{3+} , вероятно, имеет место цепной механизм, осуществляющийся через радикал: $HO_2: Fe^{3+} + HO_2 \rightarrow Fe^{2+} HO_2$.

- 4 а). Н. И. Кобозев, Журн. физ. химии, 5, 180, 1930. Ученые записки МГУ, 86, 1946. Н. И. Кобозев и Н. И. Некрасов, Zeits. Elektrochem., 36, 502, 1930; Н. И. Кобозев и В. Л. Анохин, Z. Phys. Chem., В, 13, 65, 1931; Н. И. Кобозев и В. В. Монбланова, Журн. физ. химии, 6, 308, 1935, Acta Physicochimica URSS, 1, 611, 1934; Н. И. Кобозев и В. В. Монбланова, Журн. физ. химии, 7, 645, 1936. Н. И. Кобозев, В. В. Монбланова и Л. С. Филиппович, Журн. физ. химии, 13, 326, 1939; Н. И. Кобозев, В. В. Монбланова и С. В. Кприлова, Журн. физ. химии, 20, 653, 1946.
- б). А. А. Баладин, Успехи химии, 4, 1104, 1935.
- в). А. Баладин, Журн. общ. химии, 16, 793, 1946.
- г). А. Баладин, Сборник «Вопросы химич. кинетики, катализа и реакционной способности», Изд-во АН СССР, М., 1955.
- д). М. И. Темкин, Журн. физ. химии, 31, 3, 1957.
- е). М. Polanyi, Zs. Elektrochem., 27, 143, 1921.
- 6 а). Н. И. Кобозев и Ю. М. Гольдфельд, Журн. физ. химии, 10, 251, 1937. Ю. М. Гольдфельд и Н. И. Кобозев, Журн. физ. химии, 15, 257, 1941.
- б). М. И. Темкин, Журн. физ. химии, 31, 3, 1957.
- в). У. Кембэл, Катализ. Вопросы теории и методы исследования. М., ИИЛ, 1955, 256 и след.
- г). Н. И. Кобозев, Журн. физ. химии, 22, 1002, 1948.
- д). Н. И. Кобозев, Журн. физ. химии, 28, 2067, 2234, 1954.
- е). Н. Еyring, Journ. Amer. Chem. Soc., 53, 2537, 1931;
- ж). I. O. Hirschfelder, Journ. Chem. Phys., 9, 645, 1941;
- з). М. Polanyi, H. Ekstein, Zs. phys. chem., В, 15, 334, 1932.
- и). A. Scherman, H. Eyring, Journ. Amer. Soc., 54, 2661, 3191, 1932.
- й). Н. И. Кобозев и Н. И. Некрасов, Zeits. Elektrochem., 36, 502, 1930;
- к). Н. Кобозев, Журн. физ. химии, 26, 112, 1952.
- л). О. Бак, Катализ. Вопросы теории и методы исследования, ИИЛ, 1955, стр. 200 и след.
- м). Scheffer, A. Kohnstamm, Proc. Roy. Acad. Amsterdam, 13, 789, 1910; 15, 1109, 1911.
- н). Н. И. Соколов и Н. И. Кобозев, Журн. физ. химии, 4, 400, 275, 1933; Zs. Anorg. Chem., 214, 321, 1933.
- о). Н. Кобозев и Гальбрайт, Журн. физ. химии, 14, 1550, 1940.
- п). Moelwyn-Huges, The Enzymes Chemistry a. Mechanism of action, № 5, 1950.

ПРИМЕНЕНИЕ МЕТОДА СПЕКТРОВ ПОГЛОЩЕНИЯ СПИРТО-ВОДНЫХ РАСТВОРОВ ЭЛЕКТРОЛИТОВ ДЛЯ ИЗУЧЕНИЯ СОЛЬВАТАЦИИ ИОНОВ

И. С. Поминов

Исследованию поведения ионов в смешанных растворах (соль — бинарный растворитель) с количественной точки зрения посвящено лишь несколько работ [1—3].

Так, В. Ротштейн [1], пользуясь методом спектров поглощения, получила для иона неодима при двух близких концентрациях хлористого неодима в спирто-водном растворе координационное число гидратации, равное в среднем 3,8. Однако этот метод был проверен ею только для одной тройной системы, и, кроме того, как это будет видно ниже*, предложенный В. Ротштейн вывод уравнения для вычисления координационного числа гидратации основан на неправильных представлениях о сольватации ионов в смешанных растворах.

Поскольку знание координационных чисел гидратации ионов необходимо для вычисления их химических энергий гидратации, настоящая работа ставит своей целью рассмотреть возможность применения метода спектров поглощения смешанных растворов электролитов для определения этих чисел.

МЕТОД ИССЛЕДОВАНИЯ

Метод спектров поглощения в смешанных растворах был применен В. Ротштейн [1] для определения координационного числа гидратации иона Nd^{3+} . Однако предложенное ею уравнение не может быть использовано для исследования сольватации других ионов в спирто-водных растворах в силу следующих причин.

Прежде всего для исследованных нами ионов Cu^{2+} , Co^{2+} и, по-видимому, в случае всех других ионов [4, 5], кроме редкоземельных, максимум поглощения гидратированными ионами перекрывается полосой поглощения сольватированных ионов.

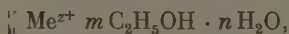
Далее, на что уже указывал М. С. Барвинок [6], при вычислении константы равновесия В. Ротштейн берет не равновесную концентрацию воды, а общее ее количество, прибавляемое к спиртовому раствору.

Наконец, при выводе своего уравнения она основывается на предположении о существовании в спирто-водном растворе ионов неодима, сольватированных или только спиртом, или только водой.

Как было показано нами ранее [7], это предположение оказывается несправедливым; наоборот, в спирто-водных растворах при недостатке воды для гидратации всех ионов существуют ионы неодима, сольватированные одновременно молекулами спирта и воды.

Учитывая сказанное относительно равновесной концентрации воды, существования смешанных спирто-водных сольватов и необходимости принимать за максимальное поглощение для данной длины волны поглощение в чисто спиртовом растворе, ниже приводится вывод уравнения для определения числа молекул воды n , входящих в состав смешанной спирто-водной оболочки данного иона.

Полагая, что при добавлении малых количеств воды в спиртовой раствор некоторой соли в последнем образуются смешанные спирто-водные сольваты типа:

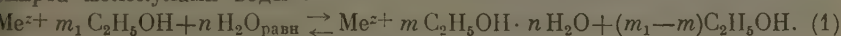


где z^+ — валентность иона, m — число молекул спирта, символом Me^{z+} мы обозначаем катионы, число n для данного иона можно вычислить из

* См. также [7].

выражения для константы равновесия реакции, определив концентрацию сольватированных ионов по интенсивности соответствующих линий поглощения в спектре раствора.

Напишем реакцию равновесия, имеющую место для иона в случае замещения в его сольватной оболочке некоторого количества молекул спирта молекулами воды*:



Константа этой реакции запишется в виде:

$$K = \frac{[\text{Me}^{z+} + m \text{C}_2\text{H}_5\text{OH} \cdot n \text{H}_2\text{O}][\text{C}_2\text{H}_5\text{OH}]^{m_1 - m}}{[\text{Me}^{z+} + m_1 \text{C}_2\text{H}_5\text{OH}][\text{H}_2\text{O}]_{\text{равн}}^n}. \quad (2)$$

Введем следующие обозначения: общую концентрацию ионов в растворе — c_0 , концентрацию сольватированных ионов при определенной добавке воды — c , концентрацию смешанно-сольватированных ионов c_1 .

Тогда выражение (2) можно переписать следующим образом:

$$\frac{c}{c_1} = \frac{[\text{C}_2\text{H}_5\text{OH}]^{m_1 - m}}{K [\text{H}_2\text{O}]_{\text{равн}}^n}. \quad (3)$$

В выражении (3) слева имеем отношение концентрации сольватированных ионов к концентрации смешанно-сольватированных ионов, которое можно определить в соответствии с законом Ламберта — Бера следующим образом.

Применяя этот закон для поглощения света при определенной длине волны λ_1 в чисто спиртовом и спирто-водном растворе, получим путем несложных вычислений:

$$\frac{c}{c_0} = \frac{D}{D_0} = y. \quad (4)$$

Так будет выражена доля y сольватированных ионов через измеримые опытным путем оптические плотности чисто спиртового раствора D_0 и спирто-водного раствора D при длине волны λ_1 .

Так как суммарная концентрация сольватированных и смешанно-сольватированных ионов равна общей концентрации ионов в растворе, то можно написать

$$\frac{c_1}{c_0} = 1 - \frac{c}{c_0}; \quad (5)$$

с учетом (4) можем написать далее

$$\frac{c_1}{c_0} = 1 - y. \quad (6)$$

Разделив равенство (4) на (6), получим

$$\frac{c}{c_1} = \frac{y}{1 - y} = \frac{D/D_0}{1 - (D/D_0)}. \quad (7)$$

Подставляя выражение (7) в (3) и логарифмируя, имеем

$$\lg \frac{y}{1 - y} = -n \lg [\text{H}_2\text{O}]_{\text{равн}} + (m_1 - m) \lg [\text{C}_2\text{H}_5\text{OH}] - \lg K.$$

Поскольку исходный раствор чисто спиртовый, то при небольших добавках воды в раствор концентрацию спирта можно считать постоянной и ее значение ввести в выражение константы равновесия. Тогда

$$\lg \frac{y}{1 - y} = -n \lg [\text{H}_2\text{O}]_{\text{равн}} + \lg A. \quad (8)$$

* Индекс равн. относится к равновесной концентрации воды в растворе.

Рассмотрим теперь, каким образом может быть вычислена равновесная концентрация воды $[H_2O]_{\text{равн}}$, входящая в уравнение (8).

Если в спиртовой раствор некоторой соли вводится некоторое количество воды, то часть ее пойдет на гидратацию ионов, а оставшаяся ее часть может рассматриваться как свободная вода, участвующая в уравнении реакции равновесия. Таким образом, в первом приближении $[H_2O]_{\text{равн}}$ будет равняться общей концентрации воды, добавляемой в спиртовой раствор, за вычетом той воды, которая идет на гидратацию катионов. Последнее положение, конечно, не является очевидным.

Действительно, добавленная в раствор вода может идти не только на гидратацию катионов, но и анионов. Кроме того, вода может давать и со спиртом сольваты переменного состава [8], и в общем случае мы должны были бы рассматривать не только равновесие между спиртом, водой и катионами соли, но и равновесие, относящееся к анионам, и иметь дело со сложным комбинированным равновесием. Однако такое усложнение вопроса не является необходимым, так как равновесием, относящимся к анионам, можно пренебречь в силу следующих причин.

Уже при исследовании сольватации ионов неодима В. Ротштейн [1] было показано, что гидратация ионов хлора происходит после гидратации ионов неодима. Сравнение энергий гидратаций катионов и анионов по новым данным К. П. Мищенко [9, 10] показывает, что энергия гидратации двухвалентных катионов в 5—7 раз превышает таковые у анионов.

Далее, поглощение гидратированных и сольватированных анионов Cl^- и ClO_4^- (в случае солей с этими анионами) лежит в далекой ультрафиолетовой области спектра, так что оно не может повлиять на поглощение рассматриваемых нами сольватированных катионов, которое начинается при значительно больших длинах волн. Поэтому, если даже некоторое количество воды и будет связано с анионами и спиртом, все же эту воду мы можем рассматривать как свободную по отношению к катионам и включить ее в равновесную концентрацию.

Итак, если в спиртовой раствор добавлено n_0 молекул воды на одну молекулу соли, то из общего количества добавленной воды $[n_0 c_0]$ в состав смешанно-сольватированных ионов перейдет $[nc_1]$.

Тогда $[H_2O]_{\text{равн}}$, т. е. концентрацию воды, не участвующей в гидратации катионов, можно записать в виде:

$$[H_2O]_{\text{равн}} = [n_0 c_0] - [nc_1].$$

Подставляя это выражение в (8), получим

$$\lg \frac{y}{1-y} = -n \lg \{[n_0 c_0] - [nc_1]\} + \lg A. \quad (9)$$

Это выражение может быть преобразовано к виду

$$\lg \frac{y}{1-y} = -n \{ \lg c_0 + \lg (n_0 - n \frac{c_1}{c_0}) \} + \lg A.$$

Учитывая (6), получим окончательно

$$\lg \frac{y}{1-y} = -n \{ \lg c_0 + \lg [n_0 - n(1-y)] \} + \lg A. \quad (10)$$

В частном случае ионов неодима, имеющего неперекрывающиеся максимумы «водного» и «спиртового» поглощения [7], определение n также можно проводить по отношению оптических плотностей спирто-водных растворов к оптической плотности чисто водного раствора D'_0 при любой длине волны, лежащей в области «водного» поглощения.

Расчетное уравнение, вывод которого в основных чертах аналогичен

выводу уравнения (10), получается в следующем виде:

$$\lg \frac{x}{1-x} = n \{ \lg c_0 + \lg [n_0 - nx] \} + \lg B. \quad (11)$$

где $x = D/D'_0$; B — постоянная величина.

Остановимся кратко на определении отношения оптических плотностей растворов (y, x) применительно к работе на спектрографе. При последовательном фотографировании спектров поглощения растворов, даже незначительные колебания в интенсивности источника света приводят к неравенству почернения исследуемых спектров вне области поглощения для одной и той же длины волны. Поэтому необходимо производить учет неравенства интенсивностей спектров вне области поглощения [11].

Не приводя здесь простого, но довольно длинного расчета, дадим окончательное выражение для вычисления y :

$$y = \frac{\gamma_1 \Delta S_2 - \gamma_2 \Delta S_1}{\gamma_1 \Delta S_{02} - \gamma_2 \Delta S_{01}}. \quad (12)$$

Здесь ΔS_2 — разность почернений между спектрами спирта и спирто-водного раствора в области поглощения λ_2 ; ΔS_1 — то же вне области поглощения при λ_1 ; ΔS_{02} — разность почернений между спектрами спирта и чисто спиртового раствора при λ_2 ; ΔS_{01} — то же при λ_1 ; γ_1 и γ_2 — контрастность фотопластинки для λ_1 и λ_2 .

Аналогичным образом вычисляется и величина x ; только вместо чисто спиртового раствора нужно брать чисто водный раствор.

В случае, если все спектры вне области поглощения равноинтенсивны, предыдущее выражение запишется значительно проще:

$$y = \frac{\Delta S_2}{\Delta S_1}.$$

Причем, как показывает дополнительный расчет, выражение (12) не изменится, если спектр растворителя фотографировать при другом времени экспозиции, чем спектры растворов.

При работе на стилометре y вычисляется по следующей формуле:

$$y = \frac{\lg \operatorname{tg} \alpha'_0 - \lg \operatorname{tg} \alpha}{\lg \operatorname{tg} \alpha'_0 - \lg \operatorname{tg} \alpha_0}, \quad (13)$$

где α'_0 , α_0 , α — углы поворота анализатора, при которых выбранная пара линий λ_1 и λ_2 (λ_2 — в области поглощения раствора, λ_1 — на краю области поглощения) кажется равноинтенсивной, соответственно, в спектре растворителя, чисто спиртового раствора и спиртового раствора с добавками воды.

Уравнения (10) и (11) являются трансцендентными относительно n и могут быть решены методом итераций. Решение таких уравнений представляет известные трудности, поэтому для вычисления нами были использованы приближенные уравнения, полученные из уравнений (10) и (11).

ЭКСПЕРИМЕНТАЛЬНАЯ ЧАСТЬ И ОБСУЖДЕНИЕ

Нами было определено число молекул воды n , входящих в состав смешанной спирто-водной оболочки ионов Cu^{2+} в растворах хлористой меди в этиловом спирте с добавками воды.

Безводная хлористая медь CuCl_2 готовилась из двухводной соли $\text{CuCl}_2 \cdot 2\text{H}_2\text{O}$ марки х. ч. по известной методике [12]. Абсолютный этиловый спирт готовился обычным способом [7]. Спектры растворов последовательно фотографировались на спектрографе ИСП-22. Фотометрирование спектров проводилось на микрофотометре МФ-2. Марки интенсивности наносились через девятиступенчатый ослабитель.

Как уже указывалось выше, уравнения (10) и (11) являются трансцендентными относительно n . Однако нами был использован более простой путь вычисления n .

Так как стоящие справа под знаком логарифма члены $n(1-y)$ и nx оказываются много меньше n , то мы можем ими пренебречь. В таком случае уравнения (10) и (11) могут быть заменены следующими приближенными уравнениями, линейными относительно n :

$$\lg \frac{y}{1-y} = -n \lg [\text{H}_2\text{O}] + \lg A; \quad (14)$$

$$\lg \frac{x}{1-x} = n \lg [\text{H}_2\text{O}] + \lg B, \quad (15)$$

где $[n_0 c_0] = [\text{H}_2\text{O}]$ — молярная концентрация воды в растворе. Уравнение (15) совпадает в этом случае с уравнением, полученным В. Ротштейн [1].

Уравнения (14) и (15) могут быть решены аналитически или графически, если известен ряд оптических плотностей спиртовых растворов при различных добавках воды в них.

Покажем прежде всего, пользуясь экспериментальными данными, что значение n практически не зависит от того, будет ли оно определено

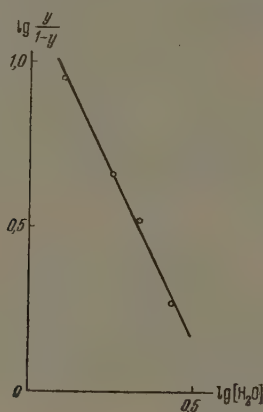
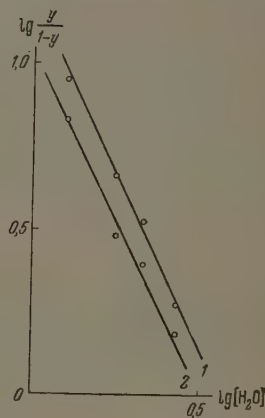


Рис. 1

Рис. 2. 1 — для $\lambda_1 = 3925 \text{ Å}$;
2 — для $\lambda_2 = 4119 \text{ Å}$

по уравнению (10) или (14). В табл. 1 содержатся экспериментальные данные, необходимые для решения уравнения (10).

Концентрация CuCl_2 во всех растворах $0,01784$ моль/л.

Составляя по данным этой таблицы системы уравнений типа (14) и решая их, получим значения n , приведенные в последнем столбце таблицы для соответствующих пар уравнений. В последней строке дано среднее значение n . Число n может быть также определено по уравнению (14) графически (рис. 1). Из рис. 1 следует, что n равно 2,1. Как видим, оно совпадает со средним значением n , полученным аналитически.

Таблица 1

n_s	H_2O	$1-y$	$\lg \frac{y}{1-y}$	$\lg [\text{H}_2\text{O}]$	n
70	1,249	0,10	0,95	0,10	1,9
100	1,784	0,18	0,66	0,25	1,8
120	2,141	0,23	0,52	0,33	2,5
150	2,676	0,35	0,27	0,43	

Среднее 2,1

Если теперь решить соответствующие пары уравнений типа (10) методом итераций, то мы получим то же самое значение n , что и выше.

Таким образом, исходя из результатов вычисления n по уравнению (10) и (14), можно определенно сказать, что при решении поставленной задачи введение в уравнение (1) равновесной концентрации воды только усложняет окончательное уравнение (10) для вычисления n , не внося существенного изменения в его значение. Замена уравнений (10) и (11) уравнениями (14) и (15) справедлива, конечно, только при больших значениях n_0 . При малых n_0 определение n необходимо проводить по трансцендентным уравнениям.

Выше указывалось, что значение n не зависит от того, при какой длине волны определяются оптические плотности растворов. Для подтверждения того в табл. 2 приводится один из примеров экспериментальных данных для одной и той же серии спирто-водных растворов хлористой меди, концентрация которой равна 0,01784 моль/л.

Таблица 2

n_0	[H ₂ O]	lg [H ₂ O]	Для $\lambda_1 = 3925 \text{ Å}$		Для $\lambda_2 = 4119 \text{ Å}$	
			ν	$\lg \frac{\nu}{1-\nu}$	ν	$\lg \frac{\nu}{1-\nu}$
70	1,249	0,10	0,90	0,95	0,87	0,83
100	1,784	0,25	0,82	0,66	0,75	0,48
120	2,141	0,33	0,77	0,52	0,71	0,39
150	2,676	0,43	0,65	0,27	0,60	0,18

Определение оптических плотностей проводилось при двух длинах волн: $\lambda_1 = 3925$ и $\lambda_2 = 4119 \text{ Å}$.

На рис. 2 приведены графики, построенные по данным табл. 2 по формуле (14). Из этих графиков n равно 2,1 для обеих длин волн.

Считаю своим приятным долгом выразить глубокую благодарность проф. К. П. Мищенко и Л. В. Поцову за внимание, ценные советы и обобщение результатов работы.

ВЫВОДЫ

1. Получены уравнения (10) и (11) для определения числа молекул воды, входящих в смешанную спирто-водную оболочку иона. Так как эти уравнения являются трансцендентными относительно n , то экспериментально показано, что при больших n_0 они могут быть заменены уравнениями (14) и (15), линейными относительно n .

2. Показано, что в случае отсутствия в спектрах спирто-водных растворов электролитов максимума поглощения, при определении n можно проводить измерения при любой длине волны в области поглощения растворов.

3. Для хлористой меди при концентрации 0,01784 моль/л в спирто-водном растворе измерено число молекул воды, входящих в состав смешанной спирто-водной оболочки иона Cu^{2+} . Это число равно двум.

Казанский государственный
университет
им. В. И. Ульянова-Ленина

Поступила
26. XI. 1955

ЛИТЕРАТУРА

- В. Ротштейн, ДАН, 71, 335, 1950.
- J. Vjergum a. Jorgensen, Acta chem. scand., 7, 1951, 1953.
- Н. М. Барон и К. П. Мищенко, Журн. общ. химии, 18, 2067, 1948.
- А. Н. Теренин, Усп. физ. наук, 17, 1, 1937.
- Б. Я. Данин, Изв. АН СССР, сер. физ., 12, 513, 1948.
- М. С. Барвинок, Докторская диссертация, Ленинград, 1953, стр. 23.

7. И. С. Поминов, Журн. физ. химии, 31, 1926, 1957.
 8. Д. И. Менделеев, Исследование водных растворов по удельному весу, 1887.
 9. К. П. Мищенко, Журн. физ. химии, 26, 1736, 1952.
 10. К. П. Мищенко и А. М. Сухотин, Журн. физ. химии, 27, 26, 1953.
 11. В. М. Татевский, Спектроскопия, Изд-во, МГУ, 1951.
 12. Ю. В. Карякин. Чистые химические реактивы. Госхимиздат, 1947.
-

APPLICATION OF THE ABSORPTION SPECTRA OF AQUEOUS ALCOHOL SOLUTIONS OF ELECTROLYTES IN STUDIES ON ION SOLVATION

I. S. Pominov (Kazan)

Summary

Equations have been obtained (10) and (11) for determining the number (n) of water molecules contained in the mixed alcohol-water envelope of an ion. As these equations are transcendental with respect to n , it has been experimentally demonstrated that for large values of n_0 they can be substituted by equations (14) and (15) which are linear with respect to this term. It has been shown that in the absence of an absorption maximum in the aqueous alcohol solutions of electrolytes n may be determined at any wave length in the region of absorption by the solutions.

The number of water molecules in the water-alcohol envelope of the Cu^{2+} ion has been determined for copper chloride for the concentration in the aqueous alcohol solution of 0.01784 mole/l. The number was found equal to 2.

СКОРОСТЬ РАСПРОСТРАНЕНИЯ УЛЬТРАЗВУКА И ГИДРАТАЦИЯ РАСТВОРОВ

Е. Ф. Дубинина и Б. Б. Кудрявцев

В последние годы при исследовании физико-химических свойств растворов нашли себе плодотворное применение акустические измерения [1—4]. Они открывают новую возможность изучения гидратации молекул или ионов растворенного вещества [5—10], которая может осуществляться двумя существенно различными способами.

При распространении ультразвуковой волны в жидкости возникают большие ускорения, в результате которых наблюдается частичное разделение анионов и катионов, имеющих различные эффективные массы [11]. Это приводит к появлению в растворе электролита переменной разности потенциалов, величина которой, помимо других факторов, зависит от кажущихся грамм-ионных масс, соответственно, катиона и аниона. Измеряя экспериментально [12] переменный потенциал, возникающий в растворе при распространении ультразвука, можно определить отношение кажущихся грамм-ионных масс аниона и катиона или, другими словами, гидратацию ионов. Следует отметить, однако, что экспериментальное определение переменного потенциала, вызванного распространяющейся ультразвуковой волной, весьма сложно, и поэтому для определения гидратации чаще пользуются иным путем.

Скорость звука c связана с плотностью ρ и адиабатической сжимаемостью β жидкости соотношением $c = \sqrt{1/\rho\beta}$.

Определяя экспериментально скорости звука в растворах и плотности последних, можно вычислить адиабатическую сжимаемость растворов. Как показывает опыт, адиабатическая сжимаемость водных растворов электролитов меньше сжимаемости чистой воды. Одной из причин уменьшения сжимаемости является добавочное давление, возникающее под влиянием электрического поля иона в окружающих его слоях воды [13].

В непосредственной близости от иона это добавочное давление может достигать больших величин. На этом основании принимают, что гидратная оболочка иона лишена сжимаемости или, другими словами, характеризуется бесконечно большой скоростью звука. Приравняв сжимаемость гидратной оболочки $\beta_{г.о}$ нулю, А. Г. Пасынский [5, 6] вычисляет гидратацию различных ионов по данным о сжимаемостях растворов, определенным на основании акустических измерений.

Обозначив коэффициенты адиабатической сжимаемости раствора и растворителя соответственно β и β_0 , несжимаемую часть растворителя через α , получим

$$\beta = \beta_0(1 - \alpha),$$

откуда

$$\alpha = 1 - \frac{\beta}{\beta_0}.$$

Для вычисления гидратации h , выраженной в граммах растворителя на 1 г растворенного вещества, для раствора, в 100 г которого содержится g г растворенного вещества, таким путем находится уравнение:

$$h = \frac{[1 - (\beta / \beta_0)](100 - g)}{g}. \quad (1)$$

Нам представляется, однако, что предположение о несжимаемости гидратной оболочки не соответствует действительности и потому должно приводить к вычислению неправильных величин гидратации. Действи-

тельно, эффективное давление, обусловленное электрическим полем иона на расстоянии R от его центра, определяется из уравнения

$$P_{эфф} = \frac{\varepsilon - 1}{8\pi e^2} \frac{e^2}{R^4}.$$

в котором ε — диэлектрическая постоянная и e — заряд иона. Принимая, как это делает А. Г. Пасынский, $\varepsilon = 10$, легко убедиться в том, что на тех расстояниях от центра иона, на которых могут находиться прилегающие к иону молекулы воды (приблизительно от 2,5 до 3,5 Å), эффективное давление близко к 3000 атм.

При повышении давления адиабатическая сжимаемость воды, согласно экспериментальным данным [14], хотя и уменьшается, но стремится

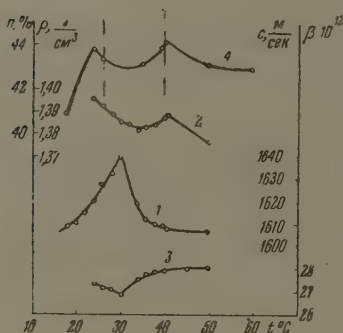


Рис. 1. 1 — скорость звука в насыщенном растворе ацетата бария при разных температурах; 2 — плотность; 3 — адиабатическая сжимаемость растворов; 4 — растворимость. Максимум слева на кривой 4 соответствует $\text{Ba}(\text{CH}_3\text{COO})_2 \cdot 3\text{H}_2\text{O}$, справа $\text{Ba}(\text{CH}_3\text{COO})_2 \cdot \text{H}_2\text{O}$

водных растворах ацетатов бария и калия, салицилата и формиата натрия и изовалериановокислового кальция в интервале температур 15—55°C. Для этих солей известна гидратация донной фазы при разных температурах.

Исходным же предположением в данной работе являлось допущение, согласно которому в насыщенном растворе, находящемся в равновесии с гидратированной твердой фазой, гидратация молекул в растворе соответствует гидратации молекул донной фазы. Одновременно с измерением скорости звука при помощи специально сконструированного dilatометра определялись плотности исследуемых растворов.

Скорость звука измерялась оптическим методом по наблюдению дифракционных спектров, возникающих при прохождении светового луча через прозрачную кювету, наполненную жидкостью, в которой создавалась стоячая ультразвуковая волна. Дифракционные спектры фотографировались, и полученные спектрограммы превращались при помощи регистрирующего микрофотометра в соответствующие кривые. Расстояние между максимумами на кривых измерялось при помощи компаратора. Расчет скорости звука производился обычным способом [15]. Суммарная ошибка в измерении скорости звука $\pm 0,5\%$.

На рис. 1 изображены найденные экспериментально величины скорости звука, плотностей и адиабатических сжимаемостей в случае насыщенных растворов ацетата бария. На том же рисунке изображена кривая растворимости этой соли и указан состав донной фазы*. Как можно убедиться

* Данные о растворимости солей и гидратация твердой фазы заимствованы из литературы [16].

не к нулю, а к некоторому предельному значению, отличному от нуля. При давлении же около 3000 атм сжимаемость воды уменьшается всего лишь до половины своего значения при нормальном давлении. Наличие иона в центре гидратной оболочки незначительно изменяет положение, поскольку сжимаемость одновалентных ионов (вычисленная из скоростей звука в расплавленных металлах) для Na^+ , K^+ , Rb^+ немногим меньше сжимаемости воды, а сжимаемость Cs^+ даже больше, чем сжимаемость воды. Все эти соображения убеждают в ошибочности предположения о несжимаемости гидратной оболочки.

Для выяснения влияния гидратации на скорость звука в растворах было предпринято экспериментальное исследование распространения звука в растворах солей в таких условиях, при которых гидратацию ионов можно считать известной. С этой целью были определены экспериментально скорости звука в насыщенных

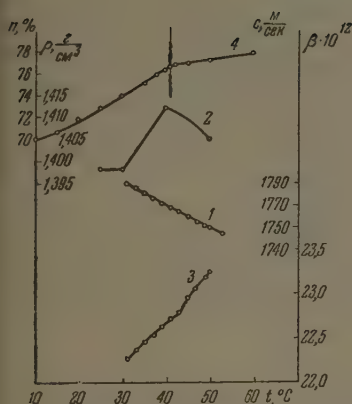


Рис. 2

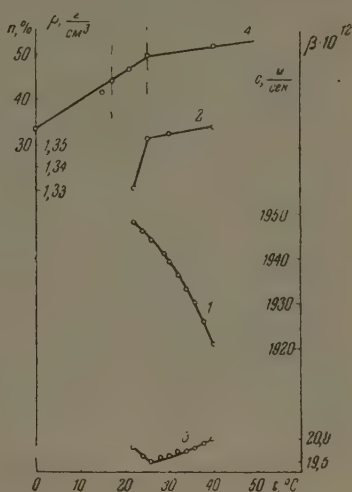


Рис. 3

Рис. 2. 1 — скорость звука в насыщенном растворе ацетата калия при разных температурах; 2 — плотность и 3 — адиабатическая сжимаемость раствора. 4 — Растворимость. Левый участок кривой 4 соответствует $2\text{KOOCCH}_3 \cdot 3\text{H}_2\text{O}$, правый — $2\text{KOOCCH}_3 \cdot \text{H}_2\text{O}$

Рис. 3. 1 — скорость звука в насыщенном растворе формата натрия при разных температурах; 2 — плотность; 3 — адиабатическая сжимаемость раствора; 4 — растворимость. Левый участок кривой 4 соответствует $\text{HCOONa} \cdot 2\text{H}_2\text{O}$, средний $\text{HCOONa} \cdot 2\text{H}_2\text{O}$ и правый — HCOONa

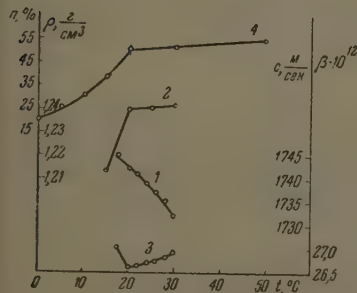


Рис. 4

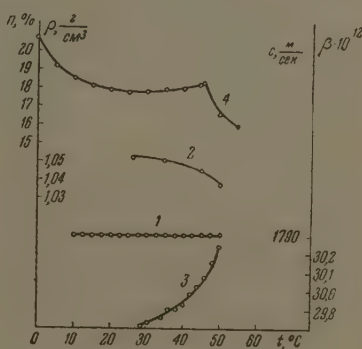


Рис. 5

Рис. 4. 1 — скорость звука в насыщенном растворе салицилата натрия при разных температурах; 2 — плотность; 3 — адиабатическая сжимаемость раствора; 4 — растворимость в воде. Левый участок кривой 4 соответствует $\text{ONC}_6\text{H}_4\text{COONa} \cdot 6\text{H}_2\text{O}$, правый — $\text{ONC}_6\text{H}_4\text{COONa}$

Рис. 5. 1 — скорость звука в насыщенном растворе изовалериановокислого кальция при разных температурах; 2 — плотность; 3 — адиабатическая сжимаемость раствора; 4 — растворимость в воде

ся, в данном случае аномальное изменение растворимости с возрастанием температуры, обусловленное скачкообразным изменением состава донной фазы, сопровождается аномальным изменением с температурой плотности и сжимаемости раствора, так же как и скорости звука в нем.

В насыщенных растворах ацетата калия, салицилата и формиата натрия, как это видно из рис. 2, 3, 4, скачкообразное изменение гидратации донной фазы (и, следовательно, согласно основному предположению такое же изменение гидратации растворенной соли), вызывая аномальное изменение плотности и сжимаемости раствора, не сказывается на характере кривых: скорость звука — температура. Рассмотрение рис. 5 убеждает в том, что в насыщенных растворах изовалериановокислого кальция скачкообразное изменение гидратации донной фазы не вызывает в исследованном интервале температур аномального изменения скорости звука, плотности или адиабатической сжимаемости раствора.

Для объяснения особенностей изменения скорости звука при повышении температуры исследованных растворов обратимся к связи, существующей между скоростью звука и другими физико-химическими свойствами жидкости. Если условиться изображать энергию межмолекулярного взаимодействия в жидкости Φ уравнением, содержащим два гиперболических члена

$$\Phi = \frac{A}{V^n} - \frac{B}{V^m}, \quad (2)$$

в котором A и B — функции температуры, V — молекулярный объем, n и m — постоянные, и ограничиться температурами, далекими от критической, с таким расчетом, чтобы в выражении для полной энергии жидкости кинетической энергией молекул можно было бы пренебречь по сравнению с потенциальной энергией молекулярных взаимодействий [уравнение (2)], то, как можно показать [17], скорость звука в жидкости определяется уравнением

$$c^2 = \gamma n m \Phi_0, \quad (3)$$

в котором $\gamma = C_p / C_v$ — отношение теплоемкости при постоянном давлении к теплоемкости при постоянном объеме.

В жидких смесях, в которых внутреннюю энергию можно считать аддитивной функцией состава и для которых одинакова функциональная зависимость внутренней энергии системы от ее объема, скорость звука может быть [18], в хорошем согласии с опытом, вычислена по уравнению:

$$c^2 = (1 - \nu) c_1^2 + \nu c_2^2, \quad (4)$$

в котором c_1 и c_2 — скорости звука в отдельно взятых компонентах и ν — весовая доля второго компонента в смеси.

Уравнение (4) можно распространить и на растворы твердых веществ, в частности растворы электролитов [19]. В этом случае (3) следует заменить Φ энергией кристаллической решетки U соответствующей соли так, что уравнение (4) запишется в виде

$$c^2 = (1 - \nu) c_1^2 + \nu \gamma n m U. \quad (5)$$

Это уравнение не учитывает энергичного взаимодействия образующихся при растворении ионов солей с молекулами воды, входящими в гидратную оболочку иона. Учесть это взаимодействие можно двояким образом. Можно отказаться при выводе уравнения (4) от требования аддитивности внутренней энергии и попытаться получить аналогичное выражение, учитывающее изменение энергии в результате взаимодействия ионов с сольватной оболочкой.

Можно, однако, поступить иначе. С физико-химической точки зрения ионы, образующиеся при растворении соли, вместе с окружающими их гидратными оболочками можно рассматривать как особого рода квазимолекулы некоторой жидкости, характеризующейся определенной сжимаемостью β_2 и скоростью звука c_2 .

В этом случае ν в уравнение (4) будет уже не весовой концентрацией растворенной соли, а весовой концентрацией гидратных комплексов. Для нахождения этой величины необходимо знать количество молекул n_r в гидратном комплексе.

Обозначая k — концентрацию соли в процентах и n_r — число молекул в гидратной оболочке, легко показать, что

$$\nu = k \left[1 + n_r \frac{M_{H_2O}}{M_{\text{соли}}} \right]. \quad (6)$$

При этом расчете гидратация относится к молекуле в целом.

Соль	$t, ^\circ\text{C}$	Состав гидратного комплекса	Скорость звука в гидрат. оболочке, м/сек	Радиус катиона, Å
[CH ₃ COO] ₂ Ba	20	[CH ₃ COO] ₂ Ba · 3H ₂ O	1714	1,71
	24	[CH ₃ COO] ₂ Ba · 3H ₂ O	1720	
	36	[CH ₃ COO] ₂ Ba · H ₂ O	1711	
	40	[CH ₃ COO] ₂ Ba · H ₂ O	1694	
CH ₃ COOK	31	2CH ₃ COOK · 3H ₂ O	1800	1,61
	34	2CH ₃ COOK · 3H ₂ O	1800	
	36	2CH ₃ COOK · 3H ₂ O	1791	
	40	2CH ₃ COOK · 3H ₂ O	1775	
	41	2CH ₃ COOK · 3H ₂ O	1772	
	45	2CH ₃ COOK · H ₂ O	1796	
	50	2CH ₃ COOK · H ₂ O	1786	
	50	2CH ₃ COOK · H ₂ O	1786	
HCOONa	21	HCOONa · 2H ₂ O	2107	1,26
	22	HCOONa · 2H ₂ O	2092	
	24	HCOONa · 2H ₂ O	2071	
	30	Безводная соль	2280	
	42		2200	
	42		2200	
[C ₄ H ₁₀ COO] ₂ Ca	20	[C ₄ H ₁₀ COO] ₂ Ca · 3H ₂ O	2603	1,34
	40	[C ₄ H ₁₀ COO] ₂ Ca · 3H ₂ O	2493	
	45	[C ₄ H ₁₀ COO] ₂ Ca · 3H ₂ O	2477	
	50	[C ₄ H ₁₀ COO] ₂ Ca · H ₂ O	2643	
	55		2666	
ONC ₆ H ₄ COONa	17,5	[ONC ₆ H ₄ COONa] · 6H ₂ O	1822	1,34
	25	Безводная соль	1932	
	30	» »	1915	
	35	» »	1878	
	35	» »	1878	

Если бы была известна скорость звука в гидратном комплексе c_2 то, решая совместно (4) и (6), можно было бы определить гидратацию растворенных молекул n_r .

В случае же насыщенных растворов исследованных веществ, как уже сказано выше, можно считать известной гидратацию соли и на этом основании определить скорость звука в жидкости, состоящей из квазимолекул, состав которых соответствует составу гидратных оболочек. Результаты подобного расчета приведены в данной таблице.

В случае растворов ацетата бария гидратированным является, вероятно, ион Ba⁺⁺. Учитывая сравнительно большой радиус Ba⁺⁺, равный в водных

растворах приблизительно $1,71 \cdot 10^{-8}$ см, можно считать, что все молекулы гидратной оболочки располагаются в первом слое. Незначительное уменьшение скорости звука в гидратной оболочке с повышением температуры может объясняться влиянием теплового расширения жидкостей.

Если считать [20], что свойства раствора электролита эквивалентны свойствам чистой воды, подвергнутой некоторому эффективному давлению $P_{\text{эфф}}$, и на основании экспериментальных данных [14] определить при каком давлении скорость звука в воде равна 1700 м/сек, мы получим $P_{\text{эфф}} = 10^3$ атм, что соответствует эффективному радиусу сольватной оболочки около 4Å^* . Подобного рода расчеты могут дать только ориентировочные значения, так как в них не учтено влияние на скорость звука в растворе присутствия аниона, которое иногда очень сильно сказывается на величине скорости звука. В качестве примера можно указать на то, что скорость звука в растворах йодида калия меньше, чем скорость звука в чистой воде, а в растворах хлорида значительно больше.

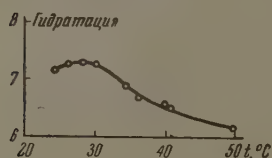


Рис. 6. Гидратация ацетата бария, рассчитанная в предположении несжимаемости гидратной оболочки

На рис. 6 приведены величины гидратации в растворах ацетата бария, рассчитанные при помощи уравнения (1). Следует подчеркнуть отсутствие какого-либо подобия в рассчитанной таким способом гидратации молекул в насыщенных растворах с гидратацией, находящейся в равновесии с растворами твердой фазы.

Сходные рассуждения для растворов ацетата калия приводят к существенно меньшему эффективному радиусу гидратной оболочки, который в данном случае составляет около $2,6\text{Å}$. Это, возможно, свидетельствует о способности иона калия внедряться в оболочку молекулы воды. Некоторый подъем скорости звука в гидратной оболочке при 45°C , вероятно, связан с потерей гидратной оболочки двух молекул воды. Расчет гидратации иона калия в растворах ацетата калия обычным методом, т. е. в предположении исчезающе малой сжимаемости гидратной оболочки, приводит к величинам, существенно меньшим гидратации донной фазы. Это наглядно доказывает недопустимость предположения о несжимаемости гидратной оболочки, так как трудно привести рациональные доводы в пользу вытекающего из этого предположения следствия о дегидратации молекул твердой соли при переходе их в насыщенный раствор.

Средняя скорость звука в гидратной оболочке иона Na^+ , определенная на основании измерения скоростей звука в насыщенных растворах формата натрия в интервале $21\text{--}24^\circ\text{C}$, составляет ~ 2090 м/сек. Увеличение скорости звука в гидратной оболочке иона натрия, по сравнению с гидратной оболочкой иона калия, может объясняться меньшим, при одном и том же заряде, радиусом иона натрия. Эффективный радиус гидратной оболочки, вычисленный без учета влияния на скорость звука присутствия центрального иона, имеет в этом случае величину порядка $\sim 2,3\text{Å}$.

Измерения, выполненные при 30°C и выше, соответствуют равновесию раствора с твердой фазой, состоящей из безводной соли, так что расчет скорости звука должен был бы соответствовать скорости звука в твердой соли. Эти измерения наглядно показывают необходимость учитывать влияние на скорость звука наряду с катионом также и аниона.

Расчет гидратации по методу А. Г. Пасынского опять же приводит к расхождению величин гидратации соли в насыщенном растворе и в на-

* Эффективным радиусом в данном случае названо расстояние от центра иона до центра молекулы воды.

находящейся в равновесии с ним твердой фазе. Так, при 35° твердой фазой является безводная соль, а в растворе, согласно расчету, на молекулу соли приходится две молекулы воды. Скорость звука в гидратной оболочке иона кальция (2600 м/сек при 20°), вычисленная на основании измерения скоростей звука в растворах изовалерианового кислого кальция, значительно больше, чем в гидратной оболочке иона бария. Это может объясняться существованием меньшим радиусом иона Ca^{++} по сравнению с ионом Ba^{++} . Эффективный радиус гидратной оболочки в этом случае $\sim 2,3 \text{ \AA}$, однако эта величина получена опять же без учета влияния центрального иона, и в действительности размер гидратной оболочки, вероятно, существенно больше.

Расчет гидратации иона Ca^{++} , на основании представления о несжимаемости гидратной оболочки, применительно к насыщенному раствору изовалериановокислого кальция приводит к исключительно большим величинам гидратации (18—20 молекул воды на молекулу соли) и к аномальной зависимости гидратации молекул от температуры (рис. 7).

Еще более резко выражено влияние аниона на вычисляемую из акустических данных величину скорости звука в гидратной оболочке молекул в случае солей со сложным анионом. При этом этому является результат акустических измерений в растворах салициловокислого натрия. Рассчитанная из измерений насыщенных растворов скорость звука в безводной соли составляет при 25°C в этом случае всего 1940 м/сек .

Следует отметить также, что рассчитанная при помощи уравнения (1), на основании акустических измерений в насыщенном растворе, гидратация молекул этой соли в растворе меньше, чем в находящейся в равновесии с раствором твердой соли (при $7,5^\circ \text{C}$, 4 молекулы H_2O вместо 6). Приведенные выше результаты экспериментального исследования убеждают в том, что величина скорости звука в растворе мало чувствительна к изменениям во взаимодействии молекул растворителя и растворенного вещества. Такое свойство скорости звука легко объяснить. Как следует из уравнения (3), скорость звука пропорциональна корню квадратному из общей энергии молекулярных взаимодействий в жидкости. Удельная энергия молекулярных взаимодействий для воды очень велика, и поэтому добавка к ней энергии гидратации мало сказывается на общей величине потенциальной энергии. Еще меньше это влияние сказывается там, где речь идет только об изменении гидратации, поскольку вероятно, что энергия присоединения первых молекул воды к иону значительно больше, чем энергия присоединения последующих молекул. Если учесть при этом, что при вычислении скорости звука из величины внутренней энергии извлекается квадратный корень, то такая чувствительность скорости звука к изменениям гидратации ионов будет вполне понятна.

Более чувствительна к изменениям взаимодействия в растворах адиабатическая сжимаемость последних. Это объясняется тем, что адиабатическая сжимаемость связана с плотностью жидкости и скоростью звука в ней уравнением $\beta = [\rho c^2]^{-1}$, т. е. зависит от произведения ρ и c^2 . В то же время плотность жидкости и скорость звука в ней зависят от интенсивности молекулярных взаимодействий, причем рост интенсивности вызывает увеличение как скорости звука, так и плотности вещества, следуя определенным законам. Вполне естественно, поэтому, что произведение ρc^2 может быть более чувствительным к изменению энергии молекулярных взаимодействий, чем какая-либо иная комбинация из этих величин, или каждая из этих величин, взятая в отдельности.

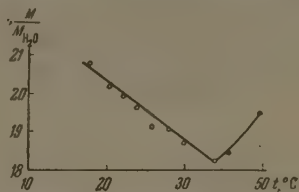


Рис. 7. Зависимость от температуры гидратации изовалериановокислого кальция, вычисленная в предположении о несжимаемости гидратной оболочки

ВЫВОДЫ

1. Величина скорости звука в растворе мало чувствительна к изменениям во взаимодействии молекул растворителя и растворенного вещества.

2. При использовании акустических измерений для изучения свойств растворов и, в частности, при определении гидратации нельзя считать гидратную оболочку вместе с гидратированным ионом или молекулой несжимаемой.

В подобных расчетах необходимо оценивать сжимаемость гидратной оболочки и учитывать ее в дальнейших расчетах. Для оценки сжимаемости различных гидратных оболочек следует использовать изучение акустических свойств насыщенных растворов, находящихся в равновесии с твердой фазой.

3. Акустические измерения могут быть использованы для точного определения энергии гидратации, если учесть последнюю при выводе выражения для скорости звука. Однако подобные вычисления потребуют повышения точности экспериментального определения скорости звука на 1—2 порядка.

4. Адиабатическая сжимаемость более чувствительна к изменениям взаимодействия в растворах, чем скорость звука.

Московский областной
пединститут

Поступила
4.V.1956

ЛИТЕРАТУРА

1. S. Barnart. *Convent. Rec. I. R. E.*, 6, 86, 1954.
2. E. L. Carstensen, *Journ. Acoust. Soc. Amer.*, 26, 6, 862, 1954.
3. D. Alan Bies, *Journ. Chem. Phys.*, 23, 3, 428, 1955.
4. E. Yeager, F. Novorka, *Journ. Acoust. Soc. Amer.*, 25, 3, 443, 1953.
5. А. Г. Пасынский, *Журн. физ. химии*, 11, 606, 1938.
6. А. Г. Пасынский, *Журн. физ. химии*, 20, 981, 1946.
7. T. Sasaki, T. Yasunaga, *Bull. Chem. Soc. Japan.*, 28, 4, 269, 1955.
8. Ю. К. Новодранов, С. Н. Синьков, *Уч. записки Ленингр. ун-та, серия хим. наук*, № 169, вып. 13, 72, 165, 1953.
9. Y. Wada. *Applied Phys. (Japan)*, 17, 257, 1948.
10. H. Shio, T. Ogawa, H. Yoshihashi, *Journ. Amer. Chem. Soc.*, 77, 19, 4980, 1955.
11. P. Debye, *Journ. Chem. Phys.*, 1, 13, 1933.
12. E. Yeager, H. Dietrick, F. Novorka, *Journ. Acoust. Soc. Amer.*, 25, 3, 456, 1953.
13. P. Debye, *Festschrift. H. Zanger*, 2, 877, 1935.
14. A. H. Smith, A. W. Lawson, *Journ. Chem. Phys.*, 22, 3, 351, 1954.
15. Б. Б. Кудрявцев, *Применение ультразвуковых методов в практике физико-химических исследований, ГТТИ*, 1952.
16. J. Walker, A. Fyffe, *Journ. Chem. Soc. (Lond.)*, 83, 179, 1903; R. A. Be, *Journ. Tok. Chem. Soc.*, 32, 980, 1911; E. Groschuff, *Ber.*, 36, 1783, 1903; N. V. Sidgwick, E. K. Ewbank, *Journ. Chem. Soc. (Long.)*, 121, 1844, 1922; J. S. Lamsden, *Journ. Chem. Soc. (Lond.)*, 81, 350, 1902.
17. Б. Б. Кудрявцев, *Журн. физ. химии*, 29, 4, 671, 1955.
18. Б. Б. Кудрявцев, *Акуст. журн.*, 2, 39, 1956.
19. Б. Б. Кудрявцев, *Акуст. журн.*, 2, 1956.
20. G. Tamman, *Zs. phys. Chem.*, 11, 676, 1893.

THE VELOCITY OF ULTRASONICS PROPAGATION AND THE HYDRATION
OF SOLUTIONS*E. F. Dubinina and B. B. Kudriavtsev (Moscow)*

Summary

Sonic velocity in solutions is little sensitive to changes in the interaction between solvent and solute molecules. In applying acoustic measurements to the study of solutions, particularly in determining hydration, the hydrate layer and the hydrated ion or water molecule can not be considered as incompressible. This compressibility should be evaluated and corrected for in the subsequent calculations. In estimating the compressibility of various hydrate layers use should be made of the acoustic behavior of saturated solutions in equilibrium with the solid phase. Acoustic measurements may be used for exact determinations of the hydration energy, provided the latter is accounted for in deriving an expression for the sonic velocity. Such calculations, however, require an increased precision in the experimental determination of sonic velocity, of the order of 1 or 2 magnitudes. The adiabatic compressibility is more sensitive to changes in the interaction in solutions than the velocity of sound.

ПОЛЯРОГРАФИЧЕСКОЕ ИССЛЕДОВАНИЕ СОСТАВА И КОНСТАНТ НЕСТОЙКОСТИ ПИРИДИНОВЫХ КОМПЛЕКСОВ НИКЕЛЯ

Я. И. Турьян и Г. Ф. Серова

Ранее [1] было показано, что, начиная с определенной концентрации пиридина Ру, процесс электровосстановления пиридиновых комплексов никеля на ртутном капельном электроде протекает обратимо. В отсутствие желатины электродный процесс становится обратимым при значительно меньших концентрациях пиридина, чем при добавке желатины. Обратимость процесса выражена наиболее четко при малых концентрациях никеля (0,1—0,2 ммоль/л). Результаты этих опытов (табл. 1, 2) на фоне 0,1 и 1 М KNO_3 без желатины были использованы в настоящей работе для определения состава и констант нестойкости пиридиновых комплексов никеля. Температура измерений $25 \pm 0,3^\circ\text{C}$.

В литературе отсутствуют данные по устойчивости пиридиновых комплексов никеля в растворе [2], если не считать приведенную в работе Бьеррума [3] константу образования комплекса $[\text{NiPy}_6]^{2+}$. К сожалению, из работы [3] не ясно, в каких условиях существует этот комплекс. Состав пиридиновых комплексов никеля в растворе исследовался Кохом [4] потенциометрическим методом (косвенное определение при помощи серебряного электрода) и методом распределения. Автором [4] было установлено, что при $c_{\text{Py}} = 0,2\text{—}0,5$ М и $c_{\text{NiSO}_4} = 0,03\text{—}0,1$ М образуется комплексный ион $[\text{NiPy}_2]^{2+}$.

Таблица 1

Расчет функций $F(x)$ для нахождения констант нестойкости пиридиновых комплексов никеля в растворе 0,1 М KNO_3 ; $c_{\text{NiSO}_4} \sim 0,2$ ммоль/л

c_{Py} , ммоль/л	$\frac{i_d}{c_{\text{Ni}}}$, μA ммоль/л	Условный коэфф. при- макс $\frac{i}{i_d - i}$	$-\frac{\varphi^{1/2}}{V}$	$F_0(x)$	$F_1(x)$	$F_2(x)$	$F_3(x)$
Без пиридина	7,14	—	0,779	1,00	—	—	—
$1,27 \cdot 10^{-2}$	6,63	0,033	0,781	1,26	20,5	—	—
$2,73 \cdot 10^{-2}$	6,98	0,028	0,783	1,40	14,7	—	—
$5,31 \cdot 10^{-2}$	6,38	0,030	0,790	2,64	30,9	299	3940
$9,91 \cdot 10^{-2}$	6,34	0,029	0,799	5,36	44,0	293	2050
$1,24 \cdot 10^{-1}$	6,14	0,028	0,906	9,58	69,2	437	2800
$2,39 \cdot 10^{-1}$	5,18	0,032	0,826	53,8	221	862	3230
$3,63 \cdot 10^{-1}$	5,52	0,030	0,842	167,6	459	1224	3130
				K_1	K_2	K_3	
				$6,7 \cdot 10^{-2} \pm 2,2 \cdot 10^{-2}$	$1,1 \cdot 10^{-2} \pm 0,5 \cdot 10^{-2}$	$3,3 \cdot 10^{-4} \pm 0,5 \cdot 10^{-4}$	

Найденная нами зависимость между потенциалом полуволны ($\varphi^{1/2c}$) и логарифмом концентрации комплексообразователя (пиридина) выражается кривой (рис. 1), что, как известно, свидетельствует об одновременном электровосстановлении нескольких форм комплексного иона, а также простых (гидратированных) ионов никеля.

Таблица 2

Расчет функций $F(x)$ для нахождения констант нестойкости пиридиновых комплексов никеля в растворе 1 М KNO_3 ; $c_{\text{NiSO}_4} \sim 0,2$ ммоль/л

c_{Py} , ммоль/л	$\frac{i_d}{c_{\text{Ni}}}$, $\frac{\mu\text{A}}{\text{ммоль/л}}$	Угловой коэфф. пря- мых $\frac{i - i_{\text{P}_2}}{i - i_{\text{P}_1}}$	$-\varphi_{1/2}$, В	$F_0(x)$	$F_1(x)$	$F_2(x)$	$F_3(x)$
без пири- дина	4,88	—	0,778	1,00	—	—	—
$1,27 \cdot 10^{-2}$	6,25	0,028	0,780	(0,91)	—	—	—
$2,73 \cdot 10^{-2}$	6,51	0,030	0,784	1,20	7,3	—	—
$5,31 \cdot 10^{-2}$	6,52	0,029	0,791	2,07	20,2	239	3000
$9,91 \cdot 10^{-2}$	6,29	—	0,804	5,90	49,5	424	3470
$1,24 \cdot 10^{-1}$	6,30	0,027	0,808	8,06	57,0	399	2580
$3,63 \cdot 10^{-1}$	5,84	0,027	0,845	156	427	1155	2960
$6,04 \cdot 10^{-1}$	5,64	0,030	0,862	606	1002	1648	2600
				K_1 $1,3 \cdot 10^{-1}$	K_2 $1,2 \cdot 10^{-2}$	K_3 $3,4 \cdot 10^{-4}$	

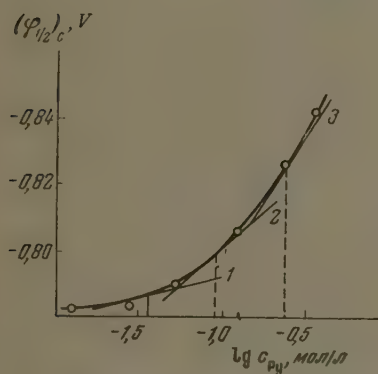


Рис. 1. Зависимость между потенциалом полувольты и логарифмом концентраций пиридина: 1 — $\text{tg} \alpha = 0,015$; 2 — $\text{tg} \alpha = 0,045$; 3 — $\text{tg} \alpha = 0,075$

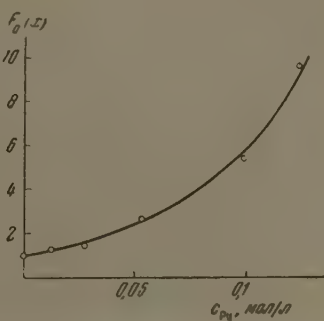


Рис. 2. Зависимость функции $F_0(x)$ от концентрации пиридина

В этом случае определение состава комплексных ионов и соответствующих констант нестойкости может быть выполнено при помощи метода де-Форда и Юма [5], либо по более простому, но приближенному методу Л. Б. Яцимирского [6]. Одним из нас [7] были проведены анализ и сравнение этих методов. В настоящей работе мы пользовались обоими методами.

Согласно [5], зависимость между потенциалом полувольты $(\varphi_{1/2})_c$ и концентрацией адденда (c_{Py}) при ступенчатом комплексообразовании выражается следующим уравнением:

$$(\varphi_{1/2})_c = (\varphi_{1/2})_s - \frac{RT}{nF} \ln \frac{i_s}{i_c} - \frac{RT}{nF} \ln \left(1 + \frac{c_{\text{Py}}}{K_1} + \frac{c_{\text{Py}}^2}{K_2} + \dots + \frac{c_{\text{Py}}^j}{K_j} \right), \quad (1)$$

где $(\varphi_{1/2})_s$ — потенциал полувольты при электровосстановлении простых ионов; i_c — константа диффузионного тока комплексного иона; i_s — то же для простого иона; K_1, K_2, \dots, K_j — соответствующие константы нестойкости.

Для нахождения констант нестойкости из уравнения (1) вычисляют $F_0(x)$ для различных значений c_{Py} (табл. 1, 2):

$$F_0(x) = \text{anti ln} \left\{ \frac{nF}{RT} [(\varphi_{1/2})_s - (\varphi_{1/2})_c] + \ln \frac{i_s}{i_c} \right\} = \\ = 1 + \frac{c_{Py}}{K_1} + \frac{c_{Py}^2}{K_2} + \dots + \frac{c_{Py}^j}{K_j}. \quad (2)$$

Вычисление $F_0(x)$ требует знания обратимого потенциала полуволны простого иона никеля $(\varphi_{1/2})_s$. Эта величина была нами найдена ранее [1]:

$$(\varphi_{1/2})_s = -0,779 \text{ В } (0,1 \text{ М } \text{KNO}_3) \text{ и } (\varphi_{1/2})_s = -0,778 \text{ В } (1 \text{ М } \text{KNO}_3).$$

Строя график $F_0(x)$ в зависимости от c_{Py} (рис. 2), можно путем нахождения наклона касательной в точке $c_{Py} = 0 \left\{ \left[\frac{\partial F_0(x)}{\partial c_{Py}} \right]_{c_{Py}=0} = \frac{1}{K_1} \right\}$ определить K_1 . Подобный график, как и последующие, приводятся для растворов $0,1 \text{ М } \text{KNO}_3 + \text{Py}$; для $1 \text{ М } \text{KNO}_3 + \text{Py}$ эти графики имели аналогичный вид. Константы нестойкости были найдены для обоих растворов (табл. 1, 2).

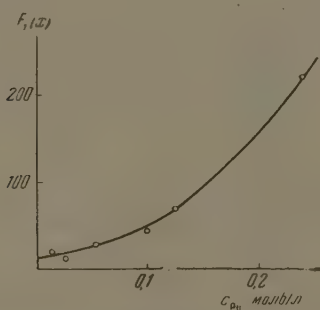


Рис. 3. Зависимость функции $F_1(x)$ от концентрации пиридина

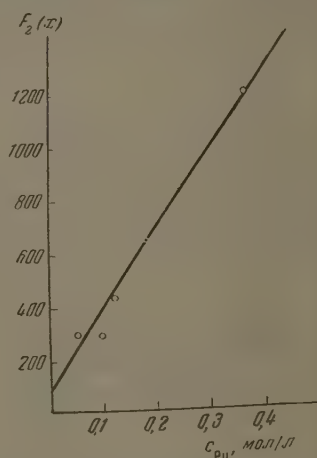


Рис. 4. Зависимость функции $F_2(x)$ от концентрации пиридина

Из значения наклона касательной к кривой $F_0(x) - c_{Py}$ при $c_{Py} = 0$ $K_1 = 8 \cdot 10^{-2}$. Эту же величину можно определить путем вычисления $F_1(x)$ (табл. 1, 2)

$$F_1(x) = \frac{F_0(x) - 1}{c_x}, \quad (3)$$

Затем при помощи графика $F_1(x) - c_{Py}$ (рис. 3), экстраполируя кривую к $c_{Py} = 0$, получим $K_1 = 6,7 \cdot 10^{-2}$. Как видно, K_1 , найденная экстраполяцией, хорошо совпадает с K_1 из наклона касательной. В табл. 1, 2 даны константы нестойкости, полученные экстраполяцией. Наклон касательной к кривой $F_1(x) - c_{Py}$ при $c_{Py} = 0$ дает $K_2 = 9,1 \cdot 10^{-3}$. Построение же графика $F_2(x) - c_{Py}$ (рис. 4), где

$$F_2(x) = \frac{F_1(x) - (1/K_1)}{c_{Py}}, \quad (4)$$

и экстраполяция прямой к $c_{Py} = 0$ дает $K_2 = 1,1 \cdot 10^{-2}$, достаточно близкую к K_2 из наклона касательной. Повторяя аналогичное построение

рафика для $F_3(x)$

$$F_3(x) = \frac{F_2(x) - (1/K_3)}{c_{Py}}, \quad (5)$$

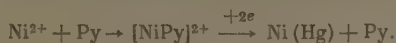
найдем $K_3 = 3,3 \cdot 10^{-4}$ (рис. 5), совпадающую с значением $K_3 = 3,3 \cdot 10^{-4}$ наклона прямой (рис. 4).

В работе [7] указывалось, что отличие $F(x)$ от нуля при $c_x = 0$ свидетельствует о существовании соответствующего комплексного иона в растворе. Кроме того, из уравнения (1) следует, что для наибольшего координационного числа, возможного в данных условиях, зависимость между $F(x)$ и c_{Py} имеет вид прямой, параллельной оси абсцисс. В нашем случае это получилось для $F_3(x)$ (рис. 5). Таким образом в исследованном интервале концентраций пиридина 0,01—0,5M при концентрации $Ni^{2+} \approx 0,2$ ммоль/л образуются три комплексных иона $[NiPy]^{2+}$, $[NiPy_2]^{2+}$ и $[NiPy_3]^{2+}$ с константами нестойкости $K_1 = 6,7 \cdot 10^{-2}$, $K_2 = 1,1 \cdot 10^{-2}$ и $K_3 = 3,3 \cdot 10^{-4}$ (0,1M KNO_3). Все константы соответствуют растворам с одинаковой ионной силой.

Приняв сумму концентраций

$$c_{Ni^{2+}} + c_{[NiPy]^{2+}} + c_{[NiPy_2]^{2+}} + c_{[NiPy_3]^{2+}} = 100\%.$$

используя вышеприведенные константы нестойкости, мы построили кривые зависимости концентраций различных форм комплексного иона, также концентрации простого иона, от концентрации адденда (рис. 6). Интересно отметить, что при малых концентрациях пиридина ($\sim 10^{-2}$ M) в растворе доминируют простые ионы никеля ($\sim 80\%$). Однако, в отличие от растворов никеля без пиридина, электродный процесс протекает обратимо. Это, как уже указывалось [1], свидетельствует об участии электродной реакции пиридинового комплекса, скорее всего, в данных условиях $[NiPy]^{2+}$, присутствующего уже в заметном количестве ($\sim 15\%$). Следовательно, электродная реакция может быть записана так:



При более высоких концентрациях Py не исключено участие в электродной реакции других комплексов $[NiPy_2]^{2+}$ и $[NiPy_3]^{2+}$.

Для нахождения констант нестойкости при помощи метода К. Б. Яцимирского [6] проводят касательные к кривой $(\varphi_{1/2})_c - \lg c_{Py}$ (рис. 1) под определенными углами:

$$\frac{\partial (\varphi_{1/2})_c}{\partial \lg c_{Py}} = -\frac{0,059}{n} \left(p + \frac{1}{2} \right), \quad (6)$$

где $p = 1, 2, 3, \dots$ и т. д.

Точки касания дают c_{Py} , равную $x_1 = K_2/K_1$ ($\lg \alpha = 0,045$), $x_2 = K_3/K_2$ ($\lg \alpha = 0,075$) и т. д. Определив x , при помощи уравнения

$$(\varphi_{1/2})_c = (\varphi_{1/2})_s + \frac{0,059}{n} \lg K_{p-1} - \frac{0,059}{n} \lg 2 - \frac{0,059}{n} \lg x^{p+1}, \quad (7)$$

вычисляют значения констант нестойкости. В таком виде метод К. Б. Яцимирского, как и метод де-Форда и Юма, требует знания потенциала полуволны простого иона. Однако некоторое развитие метода К. Б. Яцимирского позволяет обойтись в расчетах без потенциала полуволны простого

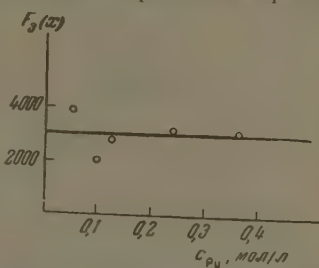


Рис. 5. Зависимость функции $F_3(x)$ от концентрации пиридина

иона, что особенно важно в случае необратимого электровосстановления простых ионов (Ni^{2+} , Co^{2+} и др.). С этой целью следует построить касательную к кривой $(\varphi_{1/2})_c - \lg c_{\text{Py}}$, соответствующую углу при $p = 0$ [уравнение (6)], т. е. $\lg \alpha = 0,015$ (рис. 4). Очевидно, что в точке касания $c_{\text{Py}} = x_0 =$

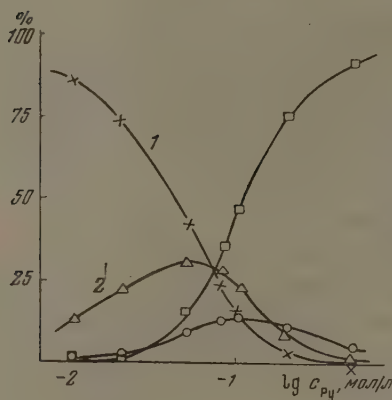


Рис. 6. Зависимость концентраций простого иона и различных форм комплексного иона от концентрации пиридина: 1 — Ni^{2+} ; 2 — $[\text{NiPy}]^{2+}$; 3 — $[\text{NiPy}_2]^{2+}$; 4 — $[\text{NiPy}_3]^{2+}$

$$(c_{\text{Ni}^{2+}} = c_{[\text{NiPy}]^{2+}}, \quad c_{[\text{NiPy}]^{2+}} = c_{[\text{NiPy}_2]^{2+}}, \quad c_{[\text{NiPy}_2]^{2+}} = c_{[\text{NiPy}_3]^{2+}}).$$

ни одна из пар ионов не доминирует. Отсюда некоторая неточность констант, найденных по методу К. Б. Яцимирского.

Таблица 3

Сравнение констант нестойкости, найденных методами [5] и [6]

	K_1 $[\text{NiPy}]^{2+}$	K_2 $[\text{NiPy}_2]^{2+}$	K_3 $[\text{NiPy}_3]^{2+}$
Метод [5]	$6,7 \cdot 10^{-2}$	$1,1 \cdot 10^{-2}$	$3,3 \cdot 10^{-4}$
Метод [6]	$3,6 \cdot 10^{-2}$	$0,3 \cdot 10^{-2}$	$8,0 \cdot 10^{-4}$

В заключение необходимо указать, что изменение ионной силы раствора в 10 раз практически не изменяло константы нестойкости пиридиновых комплексов никеля (табл. 1, 2). Некоторое понижение константы с уменьшением ионной силы наблюдалось только для иона $[\text{NiPy}]^{2+}$.

ВЫВОДЫ

1. Из полярографических данных определены состав и константы нестойкости пиридиновых комплексов никеля в растворах 0,1 и 1 М KNO_3 .

2. Показано, что в интервале концентраций пиридина 0,01—0,5 М ($c_{\text{NiSO}_4} \approx 0,2$ ммоль/л) образуются пиридиновые комплексы никеля состава $[\text{NiPy}]^{2+}$, $[\text{NiPy}_2]^{2+}$ и $[\text{NiPy}_3]^{2+}$ с константами нестойкости соответственно $K_1 = 6,7 \cdot 10^{-2}$; $K_2 = 1,1 \cdot 10^{-2}$ и $K_3 = 3,3 \cdot 10^{-4}$ (0,1 М KNO_3).

3. Константы нестойкости, найденные по методу [5], по порядку величин совпадали с соответствующими константами, полученными при помощи метода К. Б. Яцимирского [6].

4. Некоторое развитие метода К. Б. Яцимирского позволило выполнить расчет констант нестойкости без использования потенциала полупроницаемого электрода, что особенно важно в случае необратимого электровосстановления простых ионов (Ni^{2+} , Co^{2+} и др.).

Кишленовский государственный
университет

Поступила
17. V 1956

ЛИТЕРАТУРА

- Я. И. Турьян и Г. Ф. Серова, Журн. физ. химии, **31**, 1976, 1956,
К. Б. Яцимирский, Усп. химии, **22**, 410, 1953.
J. Bjerrum, Chem. Rev., **46**, 381, 1951.
F. K. V. Koch, Journ. Chem. Soc., 1418, 1931.
D. D. DeFord and D. N. Hummel, Journ. Amer. Chem. Soc., **73**, 5321, 1951.
К. Б. Яцимирский, Сб. статей по общей химии, **1**, 193, 1953.
Я. И. Турьян, Журн. общ. химии, **7**, 1956.

A POLAROGRAPHIC INVESTIGATION OF THE COMPOSITION AND THE INSTABILITY CONSTANTS OF THE PYRIDINE COMPLEXES OF NICKEL

Ya. I. Turyan and G. F. Serova (Kischenev)

Summary

The composition and instability constants of pyridine complexes of nickel in 0.1 and 0.5 M KNO_3 solutions have been determined from polarographic data. It has been shown that in the range of 0.01–0.5 M pyridine concentration ($C_{\text{NiSO}_4} \approx 0.2 \text{ mmole/l}$) pyridine-nickel complexes of the composition $(\text{NiPy})^{2+}$, $(\text{NiPy}_2)^{2+}$ and $(\text{NiPy}_3)^{2+}$ and instability constants $K_1 = 6.7 \times 10^{-2}$, $K_2 = 1.11 \times 10^{-2}$ and $K_3 = 3.3 \times 10^{-4}$ (0.1 M KNO_3) respectively are formed. The instability constants obtained according to DeFord and Hummel's method are of the same order of magnitude as the respective constants obtained by the method of K. B. Yatsimirskii. A slight modification of the latter method permitted the calculation of the instability constants without use of the half wave potential of the complex ion, which is highly important for cases of the irreversible reduction of such ions (Ni^{2+} , Co^{2+} , etc.).

ТЕРМОДИНАМИКА РЕДКИХ МЕТАЛЛОВ

VII. РАВНОВЕСИЕ ВОЛЬФРАМАТА НИКЕЛЯ С ВОДОРОДОМ

Т. Н. Резухина, Г. М. Дугачева и Ю. П. Симаков

Ранее были опубликованы исследования [1—5] по термодинамике вольфраматов кальция, магния, марганца, железа, кобальта, меди и молибдатов магния и кальция.

В настоящей работе было проведено исследование равновесия вольфрамата никеля с водородом, дополненное рентгенографическим исследованием продуктов его восстановления.

ЭКСПЕРИМЕНТАЛЬНАЯ ЧАСТЬ

Приготовление и анализ препарата. Вольфрамат никеля получался путем осаждения $\text{Ni}(\text{NO}_3)_2$ эквивалентным количеством K_2WO_4 .

Исходные соли предварительно очищались трехкратной перекристаллизацией. Осадок NiWO_4 тщательно промывался, высушивался и прокаливался при 800—900°C. Полученный препарат подвергался химическому анализу. NiWO_4 с трудом разлагается даже при продолжительном кипячении в смеси $\text{HNO}_3 + \text{HCl}$, поэтому навеска прокаленного вольфрамата полностью восстанавливалась в токе водорода, причем убыль в весе отвечала содержанию кислорода в препарате. Вначале восстановление NiWO_4 производилось при низкой температуре (около 700°C) во избежание улетучивания W_2O_8 , который является одним из промежуточных продуктов восстановления. Восстановленный препарат, состоявший, как показало рентгенографическое исследование, из смеси металлического вольфрама и интерметаллического соединения, разлагался обработкой концентрированными $\text{HNO}_3 + \text{HCl}$, причем вольфрамовая кислота выпадала в осадок (для полного осаждения вольфрама применялся цинхонин [6]), а никель переходил в раствор. Далее вольфрам определялся в виде WO_3 , а никель — с диметилглиоксимом. Анализ показал, что полученному соединению отвечает формула NiWO_4 (точность 0,2%).

Интерметаллические соединения в системе Ni-W. Для выяснения природы продуктов частичного и полного восстановления NiWO_4 нами был использован рентгенофазовый анализ. Ввиду того что рентгенограмма продуктов полного восстановления NiWO_4 при 900°C показала наличие в них металлического вольфрама и отсутствие металлического никеля, а также наличие других фаз, следовало ожидать, что никель с вольфрамом дали одно или несколько интерметаллических соединений. В литературе имеются указания на существование в системе Ni-W различных интерметаллических соединений и твердых растворов.¹

В монографии Хансена [7] указано, что Ирман методом термического анализа обнаружил в этой системе интерметаллическое соединение Ni_6W ; Рабес и Шенк [8], изучавшие при 800°C тройную систему Ni — W — O методом измерения констант равновесия восстановления окисью углерода смесей WO_3 и NiO различного состава, указывают на существование кроме Ni_6W еще одного интерметаллического соединения NiW .

Диаграмма состояния системы Ni — W изучалась Ф. К. Гарьяновым и В. П. Третьковым [9] методом рентгеновского анализа. Образцы получались восстановлением смеси WO_3 и Ni_2O_3 при 950—1100°C.

Полученные сплавы отжигались при 700—1100°C. Оказалось, что образцы, отожженные ниже 1000°C и содержащие по весу до 35% вольфрама, — однофазны (так называемая α -фаза, представляющая собой твердый раствор W в Ni); образцы, содержащие от 35 до 43% W — двухфазны (α - и β -фазы, последняя, как установили авторы, представляет собой интерметаллическое соединение Ni_4W , содержащее 43,6% вольфрама и имеющее кубическую решетку с $a = 12,785 \pm 0,003 \text{ \AA}$).

При 43,6% W получается однофазный образец (β -фаза), а образцы, содержащие до

5% W, двухфазны (β -фаза и новая γ -фаза, представляющая раствор Ni в W, причем содержание Ni в твердом сплаве не больше 5%). Сплавы, содержащие больше 95% W однофазны (γ -фаза).

Авторами [9] установлено, что β -фаза устойчива лишь в области температур ниже $900-1000^\circ\text{C}$.

Сплавы, отожженные при $1000-1100^\circ\text{C}$, в зависимости от состава состоят или из твердого раствора W в Ni (α -фаза, область гомогенности до 35% W), или никеля в вольфраме (γ -фаза, область гомогенности до 4-5% Ni), или из обоих твердых растворов (α - и γ -фаз). Авторы признают, что небольшую область гомогенности имеет и β -фаза. Постоянные решетки сплавов, взятые из участков, лежащих по обе стороны от этого соединения, изменяются следующим образом: сплав с содержанием W = 38,87% имеет $a = 12,779 \text{ \AA}$, а с содержанием W = 47,06% — $a = 12,796 \text{ \AA}$. Никаких других соединений, в частности Ni_6W , не обнаружено.

Позже Элингер и Сайке [10], исследуя систему Ni — W, также подтвердили как наличие двух твердых растворов, так и образование фазы Ni_4W в результате пирротической реакции α - и γ -фаз, которая имеет место при 970°C . Области гомогенности α - и γ -фаз, по их мнению, сужены (например, γ -фаза содержит лишь 0,3% Ni). α -фаза вторы приписывают кубическую решетку с $a = 3,66 \text{ \AA}$; β -фаза имеет объемноцентрированную кубическую решетку, но значение a не дано. Для β -фазы данных ни о параметрах, ни о структуре не приведено.

Детальному изучению структуры и природы β -фазы посвящена обстоятельная работа Эпремиана и Харкера [11]. Авторы приходят к выводу, что Ni_4W может быть классифицирован как интерметаллическое соединение, так как оно имеет узкий интервал гомогенности, простую стехиометрическую формулу и упорядоченную структуру; β -фаза характеризуется большой хрупкостью, высокой твердостью и относительно высоким электросопротивлением.

Структура Ni_4W — тетрагональная, объемноцентрированная с $a = 5,730 \pm 0,001 \text{ \AA}$, $c = 3,553 \pm 0,001 \text{ \AA}$ и $c/a = 0,620$.

Элементарная ячейка состоит из двух атомов W и восьми атомов Ni. Авторы пришли к убеждению, что β -фаза образуется при продолжительном нагревании ниже $70 \pm 10^\circ\text{C}$ из α -гранцентрированной кубической фазы и γ -объемноцентрированной кубической фазы.

Структура Ni_4W основывается первоначально на α -гранцентрированной кубической решетке, которая испытывает легкое тетрагональное искажение.

Полученные нами рентгенограммы полностью восстановленного при $0-900^\circ\text{C}$ NiWO_4 показали, что конечными продуктами восстановления NiWO_4 являются металлический W и интерметаллическое соединение Ni_4W (полученные нами постоянные решетки NiWO_4 совпадают с данными Эпремиана и Харкера [11]).

Исследование равновесия $\text{NiWO}_4 + \text{H}_2$. Мы пользовались циркуляционным методом, подробно описанным ранее [1, 2]. Состав равновесного препарата определялся по убыли веса лодочки с препаратом до и после опыта. Однако одним из промежуточных продуктов восстановления NiWO_4 является, по-видимому, W_3O_8 , который в вакууме при высоких температурах легко сублимируется, что может дать ошибку в определении состава препарата. Во избежание этого, мы не оставляли частично восстановленный NiWO_4 в вакууме при нагревании.

Восстановление NiWO_4 водородом идет в три стадии.

Рабес и Шенк [8], изучая систему Ni, W — O при температуре 800°C — восстанавливали окись углерода, наряду со смесями $\text{NiO} + \text{WO}_3$, также NiWO_4 . Восстановление оксидов никеля производилось ими при одной температуре, так что рассчитать термодинамические функции этой соли по их данным нельзя. Из полученной Рабес и Шенком [8] при 800°C изотермы восстановления NiWO_4 водородом видно, что оно идет в три стадии, которым отвечают следующие твердые фазы:

1. 79% CO_2 — NiWO_4 , $\text{NiW}(\text{WO}_4)_4$, Ni.
2. 68% CO_2 — Ni_6WO_4 , W_3O_8 , WO_2 .
3. 38% CO_2 — WO_3 , Ni_6W , NiW .

Рентгенографического исследования твердых продуктов Рабес и Шенк не проводили*.

* В работе Н. А. Гаспльевой, Я. Н. Герасимова, Ю. П. Симанова (Журн. физ. химии 31, 682, 1957) показано, что восстановление WO_3 водородом выше 600°C идет в четыре стадии: $\text{WO}_3 \rightarrow \text{WO}_{2,90} \rightarrow \text{WO}_{2,72} \rightarrow \text{W}$, и даны межлосконостные расстояния, отвечающие всем промежуточным окислам вольфрама.

Сопоставление наших рентгенографических данных с данными вышеуказанной работы позволило установить, что конечными продуктами на первой стадии восстанов-

Таблица 1
Константы равновесия восстановления NiWO_4 водородом

Водород				Водород				
№	Состав препарата (атомов О на 1 атом W)	$K_p = \frac{P_{H_2O}}{P_{H_2}}$	Средн. значен. K_p	№	Состав препарата (атомов О на 1 атом W)	$K_p = \frac{P_{H_2O}}{P_{H_2}}$	Средн. значен. K_p	
806° С				950,4° С				
1	3,89	1,906	$K_p \text{ I} = 1,876$	46	3,60	3,813	$K_p \text{ I} = 3,814$	
2	3,72	1,832		47	3,11	3,880		
3	3,65	1,880		48	2,92	3,826		
4	3,69	1,745		49	2,93	3,715		
5	3,44	1,860		50	2,7	3,750		
6	3,04	1,933		51	3,06	3,970		
7	2,99	1,790		52	2,73	3,948		
8	2,66	1,828		53	3,78	3,609		
9	2,59	1,764		54	2,6	1,969		
10	2,50	1,360		55	2,6	1,920		
11	2,365	1,165	$K_p \text{ II} = 1,185$	56	2,34	1,862	$K_p \text{ II} = 1,836$	
12	2,38	1,173		57	2,11	1,805		
13	2,28	1,232		58	2,20	1,790		
14	2,214	1,209		59	2,04	1,844		
15	2,20	1,144		60	2,55	1,880		
16	2,09	1,040		61	1,99	0,896		
17	2,08	0,800		62	1,84	0,670		
18	2,06	0,483		63	1,61	0,681		
19	2,00	0,670		64	1,529	0,675		
20	1,90	0,414		$K_p \text{ III} = 0,422$	65	1,419		0,661
21	1,88	0,430	66		0,923	0,682		
22	1,6	0,425	67		0,787	0,675		
23	1,512	0,417	68		0,346	0,682		
24	1,35	0,417	69		0,10	0,675		
25	1,37	0,389	994,1° С					
861° С					70	3,93	4,475	$K_p \text{ I} = 4,484$
26	3,9	2,417	$K_p \text{ I} = 2,460$	71	3,45	4,500		
27	3,42	2,445		72	3,12	4,411		
28	3,33	2,452		73	3,10	4,430		
29	3,307	2,530		74	2,84	4,480		
30	3,12	2,380		75	2,732	4,448		
31	2,73	2,490		76	2,60	2,572		
32	2,68	1,450		77	2,64	2,065		
33	2,64	1,907		78	2,55	2,028		
34	2,60	2,113		79	2,56	2,035	$K_p \text{ II} = 2,00$	
35	2,58	1,403	$K_p \text{ II} = 1,451$	80	2,43	1,978		
36	2,39	1,513		81	2,23	1,950		
37	2,139	1,486		82	2,02	1,180		
38	2,12	1,402		83	2,00	1,090		
39	2,03	1,173		84	2,00	0,748		
40	1,99	0,808		85	1,55	0,749		
41	1,87	0,502		86	1,271	0,729		
42	1,77	0,508		87	0,857	0,757	$K_p \text{ III} = 0,743$	
43	1,324	0,510	$K_p \text{ III} = 0,510$	88	0,38	0,720		
44	1,1	0,530		89	0,127	0,757		
45	0,1	0,500						

На рис. 1 представлены наши данные по константам равновесия восстановления NiWO_4 водородом при 806, 861, 950 и 994° С. Нами было измерено около 90 величин констант равновесия, особо тщательно опреде-

ления NiWO_4 , которая заканчивается при составе $\text{NiWO}_{2,7}$, являются Ni и $\text{WO}_{2,72}$ (линии исходного NiWO_4 сохраняются почти до конца первой стадии) и что рентгенограммы продуктов, отвечающих второй стадии восстановления содержат линии $\text{WO}_{2,72}$, WO_2 и Ni (решетка Ni слегка изменена: вместо стандартной $a = 3,52 \text{ \AA}$ имеем $a = 3,54 \text{ \AA}$). По-видимому, вторая стадия отвечает восстановлению $\text{WO}_{2,72}$ до WO_2 , а никель в равновесии не участвует. Это подтверждается также и тем, что константа равновесия на этой стадии при 800° у нас совпадает с константой равновесия при этой же температуре в указанной работе. В конце второй стадии на рентгенограмме имеются линии только WO_2 и Ni (также с измененной решеткой).

лялись места переходов от одной стадии к другой. Из рис. 1 отчетливо видно, что первая стадия оканчивается при всех температурах при валовом составе твердой фазы $\text{NiWO}_{2.67}$, вторая — при NiWO_2 . Полученные константы равновесия приведены в табл. 1. По-видимому, двухфазные дивариантные области, которые имеются на изотерме Рабес и Шенка, вовсе отсутствуют или очень узки по составу. Возможно, что удлинение второй стадии восстановления NiWO_4 у Шенка и Рабеса объясняется улучшением W_3O_8 , в связи с чем точки сдвинуты в сторону меньшего содержания кислорода в препарате. Кроме того, каждая из областей наклона кривой у Шенка и Рабес определяется всего лишь одной точкой, что явно недостаточно.

Следует отметить, что наличие неотчетливых переходов у Шенка

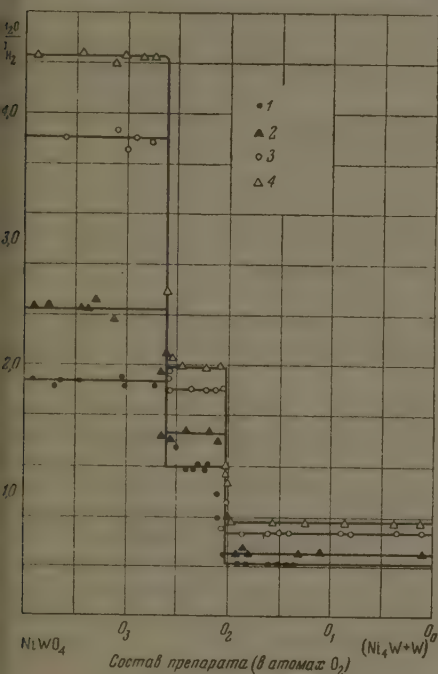


Рис. 1. Зависимость константы равновесия восстановления NiWO_4 водородом от состава твердой фазы и от температуры. 1 — 806,4°C, 2 — 861°C, 3 — 950°C, 4 — 994°C

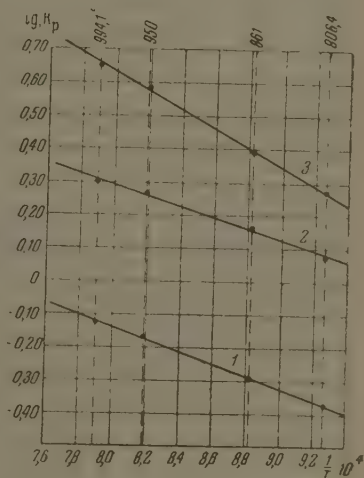


Рис. 2. Зависимость $\lg K$ от $1/T$ для равновесия восстановления NiWO_4 водородом. 1 — третья стадия; 2 — вторая стадия; 3 — первая стадия

и Ребеса может быть также объяснено недостаточной чистотой препарата (получение препарата в работе не описано). Нами было замечено, что если получать NiWO_4 спеканием WO_3 и NiO в эквивалентных соотношениях при 800—1000°C, то на рентгенограмме, наряду с преобладанием линий NiWO_4 , обнаруживаются линии WO_3 и NiO , а зависимость константы равновесия от температуры указывает на наличие твердых растворов. Поэтому все измерения нами производились с NiWO_4 , полученным осаждением.

На рис. 2 нанесены в зависимости от $1/T$ значения десятичных логарифмов средних для каждой температуры констант равновесия для всех трех стадий. Точки хорошо укладываются на соответствующие прямые, что также доказывает, что восстановление идет в исследованном интервале температур (800—900°C) при всех температурах с образованием одних и тех же фаз для каждой из всех трех стадий восстановления.

Нужно отметить, что при восстановлении NiWO_4 при температурах выше 1000° (данные в работе не приводятся) логарифмы констант не укладываются на эти прямые, что, очевидно, связано с образованием α -фазы вместо β -фазы (Ni_3W).

Применение метода наименьших квадратов позволило дать для зависимости $\lg K_p$ от $1/T$ следующие уравнения:

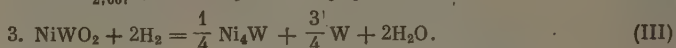
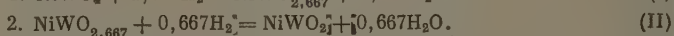
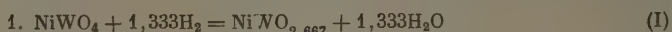
$$\text{Для 1 стадии } \lg K_p \text{ I} = \lg \left(\frac{P_{\text{H}_2\text{O}}}{P_{\text{H}_2}} \right)_{\text{I}} = -\frac{2828,03}{T} + 2,8881.$$

$$\text{Для 2 стадии } \lg K_p \text{ II} = \lg \left(\frac{P_{\text{H}_2\text{O}}}{P_{\text{H}_2}} \right)_{\text{II}} = -\frac{1667,3}{T} + 1,62337.$$

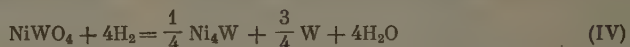
$$\text{Для 3 стадии } \lg K_p \text{ III} = \lg \left(\frac{P_{\text{H}_2\text{O}}}{P_{\text{H}_2}} \right)_{\text{III}} = -\frac{1827,15}{T} + 1,3181.$$

Расхождение наших опытных данных с константами, вычисленными по этим уравнениям, составляет соответственно по стадиям в среднем 1,0; 1,3 и 0,5.

Уравнения реакций восстановления на этих трех стадиях суммарно (по содержанию кислорода в твердой фазе) могут быть записаны в следующем виде:



Общее уравнение восстановления NiWO_4 водородом имеет вид



Приводимые в этих уравнениях формулы $\text{NiWO}_{2,667}$ и NiWO_2 дают только суммарный состав твердой фазы в конце первой и второй ступеней восстановления NiWO_4 .

Так как опытные величины констант равновесия относятся соответственно к трем стадиям восстановления NiWO_4 , то для вычисления $\lg K_p \text{ IV}$, характеризующего процесс полного восстановления, необходимо сложить величины логарифмов $K_p \text{ I}$, $K_p \text{ II}$, $K_p \text{ III}$ для всех трех стадий, умножив каждую из величин предварительно на величину n — число затраченных молей H_2 , или, что то же, на число грамм-атомов кислорода, отнятых у вольфрамата в данной стадии восстановления:

$$\lg K_p \text{ IV} = 1,333 \lg K_p \text{ I} + 0,667 \lg K_p \text{ II} + 2 \lg K_p \text{ III}.$$

Используя вышеприведенные уравнения зависимости от $1/T$ для $\lg K_p \text{ I}$, $\lg K_p \text{ II}$ и $\lg K_p \text{ III}$, имеем

$$\lg K_p \text{ IV} = -\frac{8536,48}{T} + 7,6789.$$

Зная $\lg K_p \text{ IV}$, нетрудно найти ΔZ_{IV}^0 для реакции (IV)

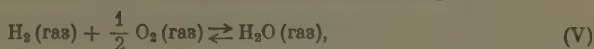
$$\Delta Z_{\text{IV}}^0 = -RT \ln K_p \text{ IV} = 39054 - 7,6789 \cdot 4,575T = 39054 - 35,131T.$$

В табл. 2 приведены величины $\lg K_p \text{ IV}$ и ΔZ_{IV}^0 для нескольких температур в той области, где изучались равновесия.

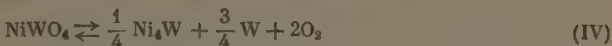
Таблица 2

Т °С	$\lg K_p \text{ IV}$	ΔZ_{IV}^0 (кал)	ΔZ_{V}^0 (кал)	ΔZ_{VI}^0 (кал)
800	-0,2767	1359	-45 130	181 880
850	+0,0747	-400	-44 465	177 460
900	+0,4015	-2155	-43 800	173 040
950	+0,6960	-3911	-43 130	168 610
990	+0,9200	-5316	-42 950	166 480

Комбинируя равновесие (IV) с равновесием водяного пара



получаем равновесие диссоциации вольфрамата никеля



Для изобарного потенциала реакции образования водяного пара (V) воспользуемся уравнением Чипмена [12]:

$$\Delta Z_V^0 = -59251 + 2,006T \lg T - 0,0475T^2 + \frac{408000}{T} + 6,808T.$$

Сочетая ΔZ_{IV}^0 и ΔZ_V^0 , находим ΔZ_{VI}^0 . Уравнение для зависимости ΔZ_{VI}^0 от T имеет вид:

$$\begin{aligned} \Delta Z_{VI(\text{нал})}^0 &= \Delta Z_{IV}^0 - 4\Delta Z_V^0 = \\ &= 276,060 - 8,024T \lg T + 0,033T^2 - \frac{1632000}{T} - 62,363T. \end{aligned}$$

Величины ΔZ_V^0 и ΔZ_{VI}^0 также приведены в табл. 2 (столбцы 4 и 5).

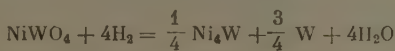
Расчета ΔZ_{VII}^0 для реакции



сделать пока нельзя из-за отсутствия термодинамических данных о Ni_4W .

ВЫВОДЫ

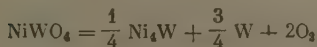
1. Измерены константы равновесия восстановления NiWO_4 водородом при четырех температурах в интервале 806—990°C.
2. Восстановление NiWO_4 водородом идет в три стадии. Конечными продуктами восстановления являются Ni_4W и W.
3. Зависимость $\lg K_p$ IV от $1/T$ для реакции



имеет вид

$$\lg K_p \text{ IV} = \lg \frac{P_{\text{H}_2\text{O}}^4}{P_{\text{H}_2}^4} = -\frac{8536,48}{T} + 7,6789.$$

4. Для реакции



получено уравнение

$$\Delta Z_{VI(\text{нал})}^0 = 276,060 - 8,024T \lg T + 0,033T^2 - \frac{1632000}{T} - 62,363T.$$

Московский государственный
университет им. М. В. Ломоносова

Поступила
25.VI.1956

ЛИТЕРАТУРА

1. Т. Н. Резухина, Я. И. Герасимов и Ю. П. Симанов. Вестн. Моск. ун-та, № 6, 103, 1949.
2. Я. И. Герасимов и Т. Н. Резухина, Вестн. Моск. ун-та, № 9, 77, 1949.
3. Т. Н. Резухина, Я. И. Герасимов, В. А. Морозова, Журн. физ. химии, 25, 93, 1951.
4. Т. Н. Резухина, Ю. П. Симанов и Я. И. Герасимов, Журн. физ. химии, 25, 305, 1951.
5. Ю. П. Симанов, Т. Н. Резухина, В. А. Морозов и Я. И. Герасимов. Журн. физ. химии, 25, 357, 1951.

6. И. М. Кольтгаф и Сэндалл, Количественный анализ.
7. М. Хансен, Структура бинарных сплавов, т. II, М., 1941.
8. J. Rabes, R. Schenck, Zs. anorg. Chem., 259, 201, 1949.
9. Ф. К. Гарьяпов и В. И. Третьяков, Журн. техн. физики, 8, 1326, 1938.
10. F. H. Ellinger a. W. P. Sykes, Trans. Amer. Soc. Metals, 28, 619, 1940.
11. E. Epremian a. D. Harker, Journ. of Metals., № 4, 266, 1949.
12. J. Chipman, Trans. Amer. Soc. Metals, 22, 385, 1934.

THE THERMODYNAMICS OF RARE METALS

V. THE EQUILIBRIUM OF NICKEL TUNGSTATES WITH HYDROGEN

T. N. Rezukhina, G. M. Dugacheva and Yu. P. Simanov (Moscow)

Summary

The equilibrium constants in the reduction of NiWO_4 by hydrogen have been measured for four temperatures in the range 806–990°C. The reduction process proceeds in 3 stages. The final reduction products are Ni_4W and W. The dependence of $\lg K_{\text{pIV}}$ on $1/T$ for the reaction $\text{NiWO}_4 + 4\text{H}_2 = 1/4\text{Ni}_4\text{W} + 3/4\text{W} + 4\text{H}_2\text{O}$ has the form: $\lg K_{\text{pIV}} = \frac{-8536.48}{T} + 7.67894$. For the dependence of $\Delta Z_{\text{VI}}^\circ$ on T for the reaction $\text{NiWO}_4 = 1/4\text{Ni}_4\text{W} + 3/4\text{W} + 2\text{O}_2$ the equation $\Delta Z_{\text{VI}}(\text{cal}) = 276060 - 8.024 T \lg T + 0.03T^2 - \frac{4637000}{T} - 62.363 T$ has been derived.

О ХИМИЧЕСКОМ СТРОЕНИИ ПОВЕРХНОСТИ КВАРЦА И СИЛИКАГЕЛЯ И ЕЕ ГИДРАТАЦИИ

С. П. Жданов и А. В. Киселев

Образование силикагеля начинается с полимеризации мономера ортокремневой кислоты $\text{Si}(\text{OH})_4$. Полимеризация кремневой кислоты сопровождается не только ростом размеров частиц, но и обеднением их состава относительно групп OH [1]. Ряд данных указывает на значительную роль поверхностных гидроксильных групп в адсорбции и различного рода поверхностных, химических реакциях [1—8]. Термическая дегидратация приводит к потере поверхностностью силикагеля электронно-акцепторных свойств [9], что проявляется, в частности, в резком снижении величины адсорбции воды [5, 4]. Это связано с изменениями строения поверхности и в первую очередь с числом гидроксильных групп, остающихся на единице поверхности в различных условиях термической обработки. Однако такие важные вопросы, как степень покрытия поверхности гидроксильными группами в разных условиях, величина площади, приходящейся на группу OH , ω_{OH} , механизм термической дегидратации, возможность образования на поверхности силикагеля других активных групп, еще недостаточно выяснены.

Силикагель является аморфным телом, тетраэдры SiO_4 не имеют определенного пространственного порядка, расстояния между атомами кремния в нем не постоянны. Однако они не могут значительно отличаться от расстояний в кристаллических модификациях кремнезема. Поэтому приблизительно оценить минимальную величину ω_{OH} для силикагеля можно из данных, относящихся к структуре одной из кристаллических модификаций кремнезема, например α -кварца. В настоящей работе рассматривается строение поверхности раскола кварца и поверхности силикагеля в разных ее состояниях, а также влияние дегидратации и гидратации силикагеля на его адсорбционные свойства.

СТРОЕНИЕ ПОВЕРХНОСТИ КРЕМНЕЗЕМА

Возможные состояния атомов кремния на поверхностях раскола кварца. Состояние тетраэдров SiO_4 на поверхности, образованной раскалыванием кварца, сильно отличается от состояния в толще кристалла. Эти различия обусловлены невозможностью нормальной компенсации валентных связей у атомов на поверхности, что приводит к образованию кремнекислородных групп, у которых координация атомов Si , направление связей и распределение зарядов могут отличаться от таковых в тетраэдрах SiO_4 внутри кристалла. Рассмотрим возможные состояния атомов Si на поверхности раскола кварца.

а) Раскалывание по плоскости спайности. α -кварц обладает спайностью, проходящей по плоскости ромбоэдра $10\bar{1}1$ [10, 11]. При его раскалывании распространение трещин должно происходить преимущественно в направлении этих плоскостей. На рис. 1 изображена модель строения α -кварца [12]. Плоскость $10\bar{1}1$ не показана на этом рисунке, но не трудно убедиться в том, что при сечении кристалла этой плоскостью у всех атомов кремния, лежащих ниже и выше нее, должна разрываться только одна связь $\text{Si}-\text{O}$. В этом случае кремнекислородные группы, оказавшиеся на вновь образованных поверхностях, могут находиться в двух различных состояниях. Отнесем условно к состоянию (1) поверхностные кремнекислородные груп-

пы, в которых атомы кремния остаются в тетраэдрической координации, но каждый из таких поверхностных тетраэдров имеет по одному неразделенному атому кислорода:



В состоянии (II) поверхностные атомы кремния связаны только с тремя разделенными кислородами и несут нескомпенсированный положительный заряд или свободную валентность у атома Si:



Количество атомов Si, находящихся в состоянии (I) на одной из поверхностей, должно быть равно количеству атомов Si в состоянии (II) на другой*. Штобер [14], так же как и Вейль, рассматривает лишь эти два состояния. Возможны, однако, и другие состояния поверхностных атомов кремния в том случае, когда раскалывание происходит и по другим плоскостям вследствие несовершенной спайности кварца [10].

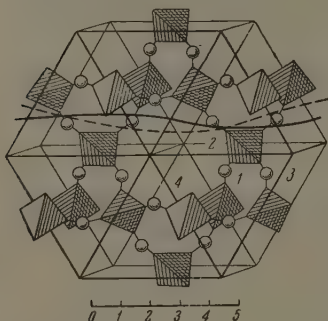
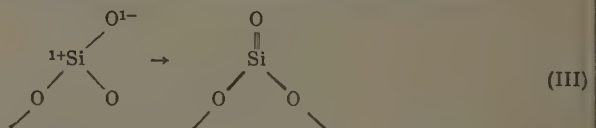


Рис. 1. Элементарная ячейка α -кварца, $a=4,90\text{\AA}$; $c=5,39\text{\AA}$. Тетраэдры—атомы Si, шарики—атомы O. Положение атомов Si: 1—в плоскости рисунка; 2—выше на $1/3c$; 3—выше на $2/3c$ и 4—выше на c

б) Раскалывание по произвольным плоскостям. Рассмотрим, например, в каких состояниях оказываются атомы кремния на поверхности при раскалывании α -кварца по граням кристалла. На рис. 1 сплошной и пунктирной линиями показаны два варианта разрыва связей Si—O при раскалывании в направлении плоскости, параллельной одной из граней кристалла $1\bar{1}00$. При раскалывании по плоскостям, отвечающим другим граням, результаты будут аналогичными. Если трещина распространяется по направлению, показанному пунктирной линией,

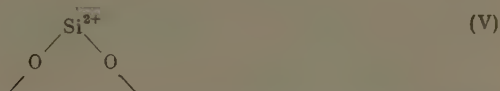
то вместе с состояниями (I) и (II), образующимися на одной из возникающих поверхностей, на другой поверхности должны появиться атомы Si в ином состоянии (III), которое можно схематически представить так:



Образующиеся разноименные заряды или свободные валентности могут здесь компенсироваться при помощи двойной связи между кремнием и поверхностным атомом кислорода. При раскалывании по направлению, показанному на рис. 1 сплошной линией, возможны еще два других состояния**.

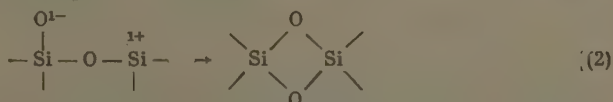
* Эти состояния соответствуют поверхностным единицам E и D, описанным Вейлем [13].

** Следует ожидать, что поверхностные группы (IV) вследствие электростатического отталкивания отрицательных зарядов поверхностных ионов кислорода должны



В отличие от состояний (I) и (II), образующихся при разрыве только одной связи у двух соседних тетраэдров, состояния (III)(IV) и (V) образуются при участии трех соседних тетраэдров SiO_4 .

Состояния (I) и (II), в которых кремнекислородные группы несут свободные заряды или валентности, не стабильны, и здесь имеется стремление к компенсации валентностей или избыточных зарядов. Когда состояния (I) к (II) возникают у соседних атомов кремния, компенсация, вероятно, осуществляется путем образования дополнительной связи этих тетраэдров через второй атом кислорода по схеме



Такие поверхностные кремнекислородные группы следует отнести к особому состоянию (VI):

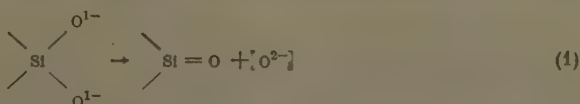


Сочленение соседних тетраэдров двумя общими кислородами (общими ребрами) противоречит одному из кристаллохимических принципов построения кристаллов силикатов, согласно которому соседние тетраэдры SiO_4 могут иметь лишь одну общую вершину [13]. Однако существование на поверхности кремнезема кремнекислородных тетраэдров, связанных общими ребрами, допущенное в работах [1, 5, 15], подтверждается работой [16], в которой получен и исследован кремнезем цепочечной структуры со звеньями (IV).

В том случае, когда состояния (I) и (II) образуются не у соседних тетраэдров, возможно более длительное их существование на поверхности при отсутствии внешних воздействий, например при раскалывании кварца в вакууме и без нагревания. Образующиеся на поверхностях раскола различные состояния кремнекислородных групп должны быть неодинаково устойчивыми. Вероятно, наиболее стабильны группы (VI) и (III) со скомпенсированными валентностями.

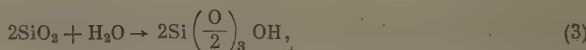
Гидратация поверхности кремнезема. Образование поверхностных групп $\text{Si}-\text{OH}$ в присутствии воды стабилизирует неустой-

чивые нестабильными. Эти группы, вероятно, переходят в более стабильное состояние (II) по схеме



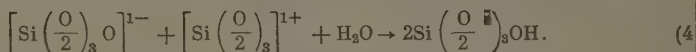
Образование на поверхности групп $>\text{Si}^{2+}$, по-видимому, является наименее вероятным, так как оно связано с одновременным разрывом двух связей $\text{Si}-\text{O}$ в одном и том же тетраэдре и требует большей затраты энергии.

чивые кремнекислородные группировки, возникающие на поверхности кремнезема при механическом диспергировании или при термической дегидратации. Химическое взаимодействие поверхности свежего раскола кварца и дегидратированной поверхности силикагеля с водой обнаруживается в виде необратимой адсорбции, тем большей, чем большее количество воды было выделено с поверхности силикагеля при его прокаливании до начала спекания [5, 2]. При этом взаимодействии поверхностных кремнекислородных групп с водой не может быть просто описано одним стехиометрическим уравнением

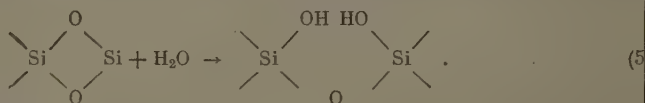


так как гидратация кремнекислородных групп, в которых атомы находятся в различных состояниях, должна происходить не одинаково как в отношении состава конечных продуктов, так и ее скорости.

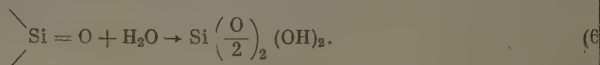
Рассмотрим возможные схемы реакций гидратации различных кремнекислородных групп. Гидратация групп (I) и (II) идет по реакции



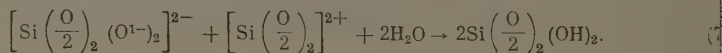
Необратимая адсорбция воды на прокаленном силикагеле и пористых стеклах приводит к восстановлению утраченной в результате прокаливания адсорбционной способности по отношению к воде. Это послужило [5] основанием для заключения о том, что поверхностные кремнекислородные группы (VI) могут взаимодействовать с водой по схеме



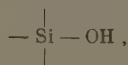
Гидратация группы (III) должна происходить легче, чем группы (VI) путем присоединения воды по двойной связи



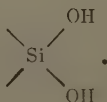
Несколько более сложно, вероятно, с выделением ионов H^+ и O^{2-} , гидратируются кремнекислородные группы (IV) и (V), но в конечном счете и гидратация приводит к образованию такого же гидрата:



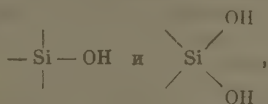
При гидратации поверхности SiO_2 возможно, следовательно, появление как групп



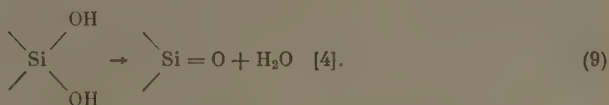
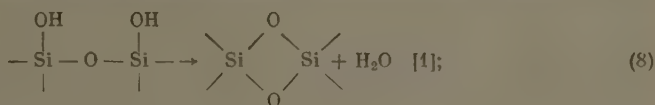
так и групп



Термическая дегидратация гидратированной поверхности кварца и силикагеля. При дегидратации поверхности SiO_2 , несущей группы



на ней должны образовываться кремнекислородные группы, по крайней мере, двух видов. Выделение воды при прокаливании гидратированной поверхности может быть представлено следующими схемами:



При более высоких температурах выделение воды возможно и не только за счет соседних гидроксильных групп, но и за счет гидроксильных групп, находящихся на поверхности различных частиц [1]. Этот процесс приводит к спеканию и сокращению поверхности.

«Структурная вода», образующаяся за счет гидроксильных кремнекислоты, выделяется из силикагеля и с гидратированной поверхности кварца вплоть до температур 1100—1200°C. В начальной стадии дегидратации выделяется остаточная адсорбционная вода. Она может быть удалена с поверхности при длительной откачке силикагеля в вакууме. Этот процесс ускоряется при нагревании в вакууме до 100—200°C. Удаление остатков адсорбированной воды происходит, по-видимому, одновременно с началом выделения структурной воды, благодаря чему обычно затруднительно резко разграничить эти два процесса*.

Оценка максимального количества гидроксильных групп на поверхности α -кварца и силикагеля. Из приведенного выше следует, что количество групп OH на поверхности α -кварца не может быть точно оценено по количеству атомов кремния, поскольку гидратация во многих случаях приводит к образованию не только групп —Si—OH .

и групп $\begin{array}{c} \text{OH} \\ \diagup \text{Si} \diagdown \\ \text{OH} \end{array}$. Максимальное количество гидроксильных групп на единице поверхности кварца α_{mOH} будет соответствовать количеству связей Si—O, разорванных при образовании единицы поверхности. Эта величина α_{mOH} может быть оценена следующим образом. Для плоскости 0001, лежащей

плоскости рис. 1, площадь, приходящаяся на каждую разорванную

* Вейль [13] считает, что при термической дегидратации силикагеля вместе с водой выделяются протоны и ионы $(\text{H}_3\text{O})^+$, а поверхностные кремнекислородные группы получают отрицательный заряд. В последнем случае следует ожидать повышенной активности поверхности прокаленного силикагеля, особенно в отношении адсорбции диарных молекул. Однако экспериментальные данные [5, 7, 8, 15], так же как и вновь полученные в работе [2] и в настоящем исследовании, не подтверждают этого. Эти акты говорят в пользу схемы дегидратации (8), которая находится в соответствии с результатами работы [16].

связь Si — O, составляет $10,4 \text{ \AA}^2$; для призматических граней кристалла эта величина равна $13,2 \text{ \AA}^2$. Для ромбоэдрических плоскостей $10\bar{1}1$ площадь, приходящаяся на каждую связь Si — O, равна $16,8 \text{ \AA}^2$. Пока не представляется возможным оценить долю участия различных плоскостей в образовании поверхности частичек дробленного кварца, поэтому средняя величина площади, приходящаяся на группу OH ($\omega_{\text{ОН}}$), может быть рассчитана лишь при некоторых допущениях, например при том допущении, что доли различных плоскостей в общей поверхности частичек кварца относятся так же, как доли этих поверхностей в элементарной ячейке кристалла, расколотой по ромбоэдру. Общая поверхность всех граней элементарной ячейки α -кварца, включая две плоскости ромбоэдра $10\bar{1}1$, равна $214,8 \text{ \AA}^2$. На этой поверхности при максимальной гидратации может находиться 16 групп OH, поэтому средняя $\omega_{\text{ОН}} = 215, / 16 = 13,4 \text{ \AA}^2$ или округленно 13 \AA^2 . Отсюда $\alpha_{\text{тОН}} = 1, \omega_{\text{ОН}} = 12,8 \text{ \mu моль/м}^2$.

Величина $\alpha_{\text{тОН}}$ может быть также оценена из данных по термической дегидратации поверхности кварца. При этом мы считаем, что адсорбированная на поверхности вода полностью выделяется при нагревании до 200°C , а выше этой температуры выделяющаяся при прокаливании вода образуется за счет структурных групп OH. По данным Штобера [14], в интервале температур $200\text{--}800^\circ$ выделяется воды 5 \mu моль/м^2 , что соответствует 10 \mu моль/м^2 групп OH. Кроме этого, при высоких температурах ($500\text{--}1200^\circ$) выделяется $0,6 \text{ \mu моль/м}^2$ водорода, что отвечает $1,2 \text{ \mu моль/м}^2$ групп OH. Отсюда $\alpha_{\text{тОН}} = 11,2 \text{ \mu моль/м}^2$.

Эта величина близка к значению $12,8 \text{ \mu моль/м}^2$, полученному выше только из кристаллохимических данных*.

Максимальное число групп OH на поверхности силикагеля может быть оценено несколькими различными путями. Одним из возможных путей является пересчет значений $\alpha_{\text{тОН}}$, полученных для α -кварца, с учетом различий в плотностях α -кварца и аморфного кремнезема. Для приближенной оценки можно принять, что средние площади, приходящиеся на тетраэдр (на атом Si), в различных модификациях кремнезема обратно пропорциональны плотности скелета δ в степени $2/3$. Принимая δ силикагеля равной $2,2 \text{ г/см}^3$ и допуская, что отношение средних площадей на атом Si равно отношению средних площадей на гидроксил, находим $\omega_{\text{ОН}} = (2,65/2,2)^{3/2} \cdot 13,0 \approx 14,5 \text{ \AA}^2$, откуда $\alpha_{\text{тОН}} \approx 11,5 \text{ \mu моль/м}^2$.

Другим возможным способом расчета является оценка $\alpha_{\text{тОН}}$ и $\omega_{\text{ОН}}$ из количества структурной воды, выделяемой при термической дегидратации силикагеля с известной поверхностью. Впервые стехиометрическое соответствие удвоенного количества структурной воды, выражающего количество групп Si — OH, и величины поверхности силикагеля было установлено в работе [1]. В предыдущей работе [2] была оценена величина $\omega_{\text{ОН}}$ для крупнопористых силикагелей в $14,5 \text{ \AA}^2$ и $\alpha_{\text{тОН}}$ в $11,5 \text{ \mu моль/м}^2$. Айлер [17] пришел к выводу, что на 1 м^2 поверхности SiO_2 должны располагаться $7,85\text{--}8$ групп OH. Отсюда $\alpha_{\text{тОН}} = 13,1 \text{ \mu моль/м}^2$ и $\omega_{\text{ОН}} = 12,7 \text{ \AA}^2$. В случае примененного в настоящей работе силикагеля с известной поверхностью приведенный ниже расчет величины $\alpha_{\text{тОН}}$ из кривой обезвоживания дает $12,1 \text{ \mu моль/м}^2$ ($\omega_{\text{ОН}} =$

* Штобер [14] вычислил $\alpha_{\text{тОН}}$ для α -кварца при допущении, что раскалывание происходит только по плоскости $10\bar{1}1$. Для этой плоскости $\omega_{\text{ОН}} = 16,6 \text{ \AA}^2$, откуда $\alpha_{\text{тОН}} = 9,9 \text{ \mu моль/м}^2$. Эту величину Штобер далее делит на коэффициент 1,2, связанный с неоднородностью поверхности кристалла, и получает $\alpha_{\text{тОН}} = 8,2 \text{ \mu моль/м}^2$. По данным термической дегидратации Штобер [14] получил для $\alpha_{\text{тОН}}$ величину $6,2 \text{ \mu моль/м}^2$, которая представляется нам весьма заниженной, так же как и значение $\alpha_{\text{тОН}}$, рассчитанное им из кристаллохимических соображений (см. [2]).

$= 13,7 \text{ \AA}^2$). Все эти величины находятся в достаточно хорошем соответствии с величиной $\alpha_{\text{тОН}} \approx 11,5 \text{ }\mu\text{моль/м}^2$, рассчитанной только из кристаллохимических представлений. Сопоставление значений $\alpha_{\text{тОН}}$ и $\omega_{\text{ОН}}$ для силикагеля, полученных разными путями, показывает, что эти значения в разных случаях изменяются в довольно узких пределах.

Таким образом можно принять, что для силикагеля, построенного из достаточно крупных частиц [18, 4], наиболее вероятное значение $\alpha_{\text{тОН}}$ составляет около $11,5\text{--}12,5 \text{ }\mu\text{моль/м}^2$, а наиболее вероятное значение $\omega_{\text{ОН}}$ составляет около $13,5\text{--}14,5 \text{ \AA}^2$.

АДСОРБЦИОННЫЕ СВОЙСТВА ПОВЕРХНОСТИ ПРОКАЛЕННОГО СИЛИКАГЕЛЯ И ИХ ИЗМЕНЕНИЕ В РЕЗУЛЬТАТЕ ГИДРАТАЦИИ

В этой работе мы исследовали влияние дегидратации силикагеля при нагревании до 600 и 650°C на снижение адсорбции паров метанола и воды, а также восстановление его адсорбционных свойств в результате последующей гидратации. В таблице приведены структурные характеристики примененного силикагеля, вычисленные из изотерм адсорбции паров метанола (одна из этих изотерм изображена на рис. 2).

Структурные характеристики примененных образцов силикагеля

Температура дегидратации	Общий объем пор $V_g, \frac{\text{см}^3}{\text{г}}$	Поверхность пор по БЭТ $S, \frac{\text{м}^2}{\text{г}}$	Поверхность адсорбционной пленки $S', \frac{\text{м}^2}{\text{г}}$	Диаметр пор (без поправки на толщину пленки) $d, \text{ \AA}$
200	0,81	380	385	70
400	0,85	400	380	70
600	0,83	380	400	60

Как видно из таблицы и кривой распределения, приведенной на рис. 2, этот силикагель является крупнопористым, хотя и с довольно размытым распределением объема пор по их размерам. Прокаливание его в вакууме до 600°C заметно не сказывается ни на величине поверхности S и поверхности пленки S' [19], ни на общем объеме пор. Таким образом, заметное изменение данного силикагеля начинается при температурах выше 600°C . Однородность величин S и S' характерна для гелей с крупнопористой структурой, являющихся термически устойчивыми. Величину поверхности данного образца силикагеля, прокаленного в интервале температур $200\text{--}600^\circ\text{C}$, можно принять приблизительно постоянной и равной $400 \text{ м}^2/\text{г}$.

Из кривой дегидратации этого силикагеля следует, что в интервале температур $200\text{--}650^\circ\text{C}$ выделяется $1,85 \text{ ммоль/г}$ структурной воды. Исходя из количества структурных групп ОН , удаляющихся с 1 м^2 поверхности при прокаливании в этом интервале температур, составляет $9,2 \text{ }\mu\text{моль/м}^2$. Эта величина примерно на 20% меньше $\alpha_{\text{тОН}}$, рассчитанной выше, так что при температурах выше 650°C около 20% гидроксильных групп еще остается на поверхности этого образца.

Изотерма адсорбции паров воды на столь сильно дегидратированной поверхности силикагеля (прокаленного в вакууме при 650°C) приведена на рис. 3. Обращает на себя внимание вогнутая форма изотермы первичной адсорбции паров воды; такая форма изотермы была отмечена в работе [6]. Далее изотерма характеризуется гистерезисом, распространяющимся на весь интервал малых p/p_s вплоть до нулевого значения, причем этот

* Эта же величина S была принята и для образца, прокаленного при 650°C , с которым изучалась адсорбция паров воды.

гистерезис значительно больше полученного в работе [2] для силикагелей, прогретых лишь до 400° . При $p, p_s = 0$ необратимо адсорбированным оказалось 1,95 ммоль/г воды. Эту необратимо хемосорбированную воду не

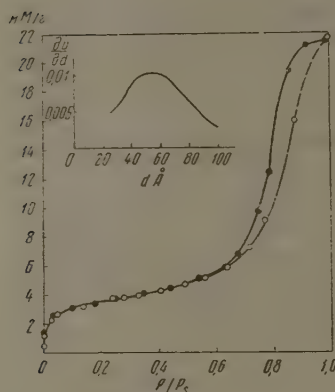


Рис. 2

Рис. 2. Изотерма адсорбции паров метанола на силикагеле, прокаленном в вакууме при 200° . Здесь и далее черные точки — десорбция. Вверху — кривая распределения объема пор по эффективным их диаметрам, вычисленная по десорбционной ветви изотермы

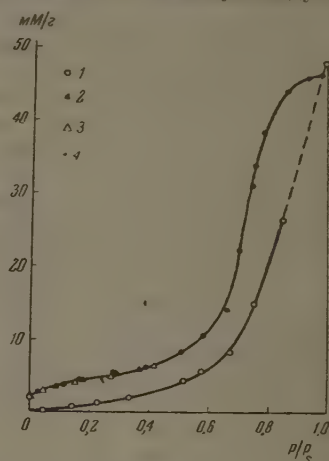


Рис. 3

Рис. 3. Адсорбционно-десорбционная изотерма для паров воды на силикагеле, прокаленном в вакууме при 650° . 1 — первая адсорбция; 2 — вторая десорбция; 3 — вторая адсорбция; 4 — первая десорбция

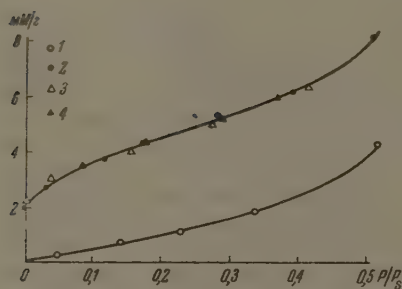


Рис. 4

Рис. 4. Начальный участок адсорбционно-десорбционной изотермы адсорбции паров воды на силикагеле, прокаленном в вакууме при 650° . 1 — первая адсорбция; 2 — первая десорбция; 3 — вторая адсорбция; 4 — вторая десорбция

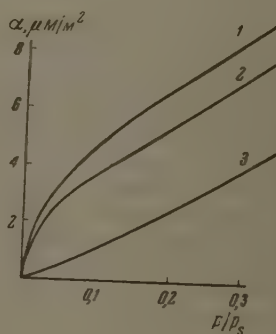


Рис. 5

Рис. 5. Абсолютные изотермы первичной адсорбции паров воды на крупнопористых силикагелях, прокаленных в вакууме при: 1 — 200° ; 2 — 400° и 3 — 650° C

удалось удалить откачкой образца при 20° в высоком вакууме в течение 8 час.

На рис. 4 начальные участки изотермы рис. 3 показаны в более крупном масштабе. Здесь особенно ясно видна малая первичная адсорбция воды на силикагеле, прокаленном при 650° , причем изотерма в начальной области

p/p_s вогнута, в отличие от изотермы адсорбции воды на силикагеле, не подвергнувшись прокаливанию в вакууме при столь высоких температурах [2]. При повторной адсорбции начальный участок изотермы становится обратимым и выпуклым, а величины адсорбции при малых p/p_s значительно превосходят адсорбцию в первом адсорбционном опыте, когда вода адсорбировалась на дегидратированной поверхности прокаленного образца.

На рис. 5 сопоставлены абсолютные величины адсорбции паров воды (в $\mu\text{моль}/\text{м}^2$) на этом силикагеле, прокаленном при 650° , с абсолютной изотермой адсорбции паров воды на образцах силикагеля КСК-2 [2], прокаленных при 200 и 400° . Повышение температуры прокалывания приводит к значительному снижению адсорбции воды единицей поверхности силикагеля. Это снижение находится в связи с уменьшением на поверхности силикагеля числа групп ОН, являющихся теми активными местами поверхности, на которых в первую очередь адсорбируются молекулы воды, так как эти места способны проявить электронно-акцепторную функцию [9]. Таким образом, полученные в настоящей работе данные находятся в согласии с данными нами ранее представлениями о значительной роли поверхностных групп ОН в адсорбции воды [4, 5, 15, 9, 4, 2]*.

В случае адсорбции паров метанола дегидратация поверхности не сказывается так резко, как для воды, но и в этом случае уменьшение числа групп ОН на поверхности приводит к существенному снижению абсолютной величины адсорбции, что хорошо иллюстрируется кривыми рис. 6. Аналогичное снижение абсолютных величин адсорбции метанола в результате дегидратации поверхности было отмечено И. Н. Соболевой [7] для силикагеля и Штобером [14] для кварца**. Если построить обратимый начальный участок изотермы адсорбции паров воды на силикагеле, прокаленном при 650° по методу [5, 2], т. е. с вычетом хемосорбированного количества воды, то точки первой десорбции и повторной адсорбции и десорбции ложатся весьма близко к абсолютной обратной изотерме адсорбции паров воды, полученной для ряда крупнопористых силикагелей с гидратированной поверхностью в работе [2]. Таким образом, свойства поверхности, измененные нагреванием до 50° , восстанавливаются в процессе полного адсорбционно-десорбцион-

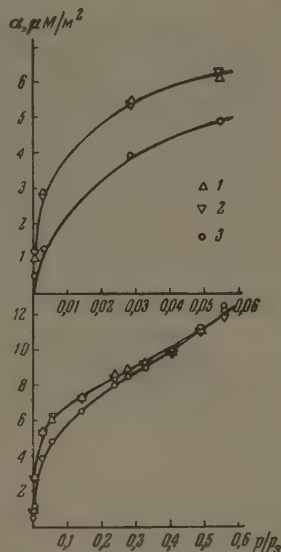


Рис. 6. Абсолютные изотермы первичной адсорбции паров метанола на образцах силикагеля, прокаленных в вакууме при 1 — 200° , 2 — 400° и 3 — 600° C

* В. Н. Никитин, А. И. Сидоров и В. А. Карякин [20] на основании исследования инфракрасных спектров пришли к заключению, что вода адсорбируется не на поверхностных группах ОН, а на атомах О или Si. Однако адсорбция воды, как мы видели, уменьшается весьма значительно (рис. 4 и 5) именно при уменьшении $\alpha_{\text{г ОН}}$. Возможно, что наблюдаемая в работе [20] спектральная картина является отражением химических особенностей процесса адсорбции воды. В этом направлении нужны новые исследования, в которых спектральные и адсорбционные измерения должны быть проведены на одних и тех же объектах в идентичных условиях.

** Снижение адсорбции при прокаливании кремнезёмов было отмечено также для паров аммиака [8, 14], метиламина [8] и бензола [7, 21]. Молекулы этих веществ, способные образовывать водородные связи с поверхностными гидроксильными кремнеислоты или π -комплексы (бензол [9]), адсорбируются преимущественно на гидроксилах с выделением большей энергии [21].

ного опыта. В результате химического взаимодействия с водой происходит и в этом случае возрождение поверхностных гидроксидов по схеме (8), а вместе с этим и адсорбционной способности по отношению к парам воды.

ВЫВОДЫ

1. Рассмотрены возможные состояния атомов кремния на поверхности раскола α -кварца и схемы гидратации и дегидратации поверхности кварца и силикагеля. Определена средняя площадь, занимаемая группой OH на поверхности кварца и силикагеля при максимальной гидратации, и определено количество гидроксидов на единице этой поверхности. Эти величины согласуются с определенными по дегидратации поверхности силикагеля и необратимой адсорбции воды на ней.

2. Дегидратация при 650° в вакууме крупнопористого силикагеля значительно снижает абсолютную величину адсорбции паров воды и придает изотерме адсорбции вогнутую форму.

3. Даже в случае столь сильно дегидратированной поверхности хемосорбция воды возрождает адсорбционные свойства силикагеля.

Академия наук СССР
Институт химии силикатов
Московский государственный
университет им. М. В. Ломоносова

Поступила
4. VII. 1956

ЛИТЕРАТУРА

1. А. В. Киселев, Коллоидн. журн., 2, 17, 1936.
2. Л. Д. Белякова, О. М. Джигит и А. В. Киселев, Журн. физ. химии, 31, 1577, 1957.
3. А. В. Киселев, Сборник «Труды комиссии по аналитической химии», 6, (9), 46. Изд-во АН СССР, 1955.
4. А. В. Киселев, Сборник «Поверхностные химические соединения и их роль в явлениях адсорбции», Изд-во МГУ, 1957, стр. 90 и 199.
5. С. П. Жданов, ДАН, 68, 99, 1949.
6. О. М. Джигит, А. В. Киселев, Н. Н. Микос-Авгуль и К. Д. Щербакова, ДАН, 70, 441, 1950.
7. А. В. Киселев, К. Г. Красильников и Л. Н. Соболева, ДАН, 94, 85, 1954.
8. L. Miller, Kolloid. Zs., 131, 154, 1953; 142, 117, 1955.
9. А. В. Киселев, ДАН, 106, 102, 1956.
10. А. Г. Бетехтин, Курс минералогии, т. 1, Гостеолтехиздат, 1956.
11. W. Engelhart, Nachr. d. Akad. d. Wiss. Göttingen, Math.-Phys., 43, 1944.
12. Б. Ф. Ормонт, Структуры неорганических веществ, ГТТИ, 1950.
13. W. A. Weyl, Research., 3, 230, 1950.
14. W. Stöber, Kolloid. Zs., 145, 17, 1956.
15. С. П. Жданов, ДАН, 100, 1115, 1955.
16. A. Weis, A. Weis, Zs. anorg. allg. Chem., 276, 95, 1954.
17. R. K. Iler, The Colloid Chemistry of Silica and Silicates, N. Y., 1955.
18. А. В. Киселев, ДАН, 98, 427, 1954.
19. А. В. Киселев, Усп. химии, 14, 367, 1945.
20. В. А. Никитин, А. Н. Сидоров и В. А. Карякин, Журн. физ. химии, 30, 117, 1956.
21. А. А. Исирикян и А. В. Киселев, ДАН, 115, 244, 1957.

THE CHEMICAL STRUCTURE OF QUARTZ AND SILICA GEL SURFACES AND THEIR HYDRATION

S. P. Zhdanov and A. V. Kiselev (Moscow)

Summary

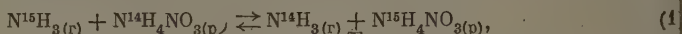
The possible states of the silica atoms on the cleavage surface of α -quartz and the mechanism of the hydration and dehydration of quartz and silica gel surfaces have been examined. The mean area occupied by an OH group on the quartz and silica gel surface at maximum hydration has been determined, as well as the number of hydroxyl groups per unit area of that surface. The results agree with measurements on the dehydration of the silica gel surface and on the irreversible chemisorption of water upon it.

Dehydration at 650° in vacuum of silica gel with large pores considerably lowers the absolute value for the absorption of water vapor, giving the absorption isotherm a concave form. Even in the case of such a strongly dehydrated surface the chemisorption of water leads to recovery of the adsorption properties.

РАЗДЕЛЕНИЕ СТАБИЛЬНЫХ ИЗОТОПОВ АЗОТА МЕТОДОМ ХИМИЧЕСКОГО ОБМЕНА. II

Г. М. Панченков, И. А. Семиохин и О. П. Калашников

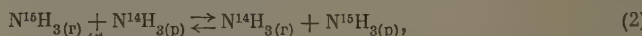
Нами отмечалось ранее [1], что при разделении изотопов азота методом химического обмена по реакции:



большую роль, играет, наряду с природой насадки, внешняя поверхность ее, определяемая геометрическими размерами отдельных элементов насадки. Было показано, что разделение изотопов улучшается при понижении парциального давления аммиака в колонке. При этом указывалось также на то, что одновременно с понижением парциального давления аммиака за счет введения азота происходит увеличение линейной скорости потока аммиака в системе. Было высказано предположение о том, что увеличение скорости потока, по-видимому, тоже влияет на эффективность разделения изотопов.

Вопрос о влиянии скорости потока компонентов обменной реакции (1) на разделение изотопов азота, судя по литературным данным, исследован недостаточно полно. Описаны результаты лишь нескольких несистематических опытов Юри, Хаффмана, Тоде и Фокс [2], проведенных при различных скоростях подачи раствора, из которых нельзя сделать однозначных выводов о роли скорости потока при химическом разделении изотопов азота.

На разделение изотопов известное влияние должна оказывать температура, при которой протекает процесс разделения. Повышение ее, с одной стороны, ведет к уменьшению константы равновесия реакции (1) и с другой — к уменьшению растворимости аммиака в растворе нитрата аммония и константы равновесия реакции:



происходящей одновременно с первой реакцией. Если первый эффект будет иметь результатом уменьшение коэффициента однократного разделения, последние два, наоборот, — увеличение его. Благодаря этому можно ожидать наличия оптимальной температуры для рассматриваемого процесса. В литературе по этому вопросу известно мало данных. В работе [2] было показано, что коэффициент разделения, наблюдаемый при комнатной температуре, выше, чем при 60° С. Накане [3] пришел к выводу, что оптимальной температурой является 10° С.

В задачу настоящей работы входило выяснение зависимости разделения изотопов азота от скорости потока реагентов и температуры в колонке.

Влияние скорости потока. Исследование выполнено в ранее описанной установке, в которой была изменена только длина колонки (до 220 см). Разделение изотопов азота осуществлено на насадке из пассивированной хромовой проволоки, приготовленной в виде трехгранных призмочек в 3 мм. Скорость подачи раствора нитрата аммония изменялась от 2 до 8 мл/мин. Температура воды, подаваемой во внешний

тожух колонки, менялась от 20 до 80°C. Общее давление в системе (оно равнялось сумме давлений аммиака и водяных паров) составляло 1 атм. На рис. 1—3 изображены кинетические кривые разделения изотопов азота, полученные при трех скоростях подачи раствора соли: 2, 5 и 8 мл/мин. Каждая скорость исследована при 20, 40 и 80°. Анализ кинетических кривых показывает, что наибольшее обогащение при всех температурах (в условиях наших опытов) получалось при скорости подачи раствора 5 мл/мин. При этом время достижения стационарного состояния уменьшается по мере увеличения скорости подачи раствора (рис. 4). Провести опыты при большей скорости на использованной нами насадке не удалось, так как уже при

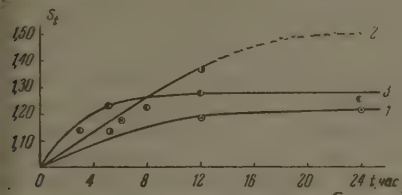


Рис. 1

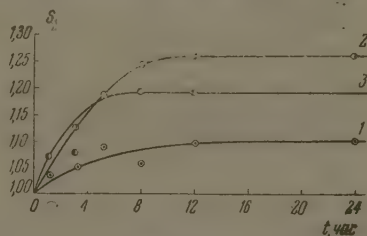


Рис. 2

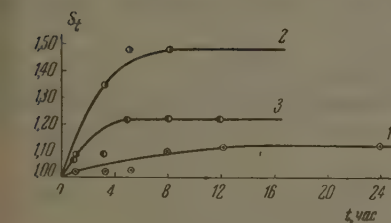


Рис. 3

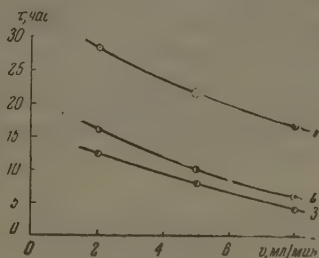


Рис. 4

Рис. 1. Зависимость общего коэффициента обогащения от времени при 20°С и различных скоростях подачи раствора: 1 — 2 мл/мин; 2 — 5 мл/мин; 3 — 8 мл/мин.

Рис. 2. Зависимость общего коэффициента обогащения от времени при 40°С и различных скоростях подачи раствора. Обозначения те же, что и на рис. 1

Рис. 3. Зависимость общего коэффициента обогащения от времени при 80°С и различных скоростях подачи раствора. Обозначения те же, что и на рис. 1

Рис. 4. Зависимость времени достижения стационарного состояния от скорости подачи раствора в колонку при различных температурах: 1 — 20°; 2 — 40°; 3 — 80°С. Точка, окруженная пунктиром, получена экстраполяцией

10 мл/мин колонка начинала «захлебываться». Это можно объяснить высокой скоростью потока образующегося аммиака (100 л/час или 11 см/сек), который оказывал большое сопротивление потоку раствора соли. При скоростях подачи раствора меньше 2 мл/мин было трудно регулировать постоянно ее во времени. Изотопный анализ образцов, отобранных в разное время из жидкой фазы, в этом случае был бы подвержен большим колебаниям за счет кратковременных флуктуаций [4], в частности за счет флуктуации скорости потока.

Влияние температуры. Изучение влияния температуры на разделение изотопов азота проведено в интервале температур 10—80°, при скорости подачи раствора в 2 мл/мин и в интервале 20—80°, при ско-

ростях в 5 и 8 мл/мин, соответственно. Нами было получено пять кинетических кривых (рис. 5) для скорости 2 мл/мин (по одной при 10, 20, 40, 60 и 80°) и по три кривые для скоростей 5 и 8 мл/мин (при 20, 40 и 80°, рис. 6, 7). Как видно из рисунков, наибольшее обогащение в наших опытах достигнуто при 20°. При повышении температуры до 40° обогащение

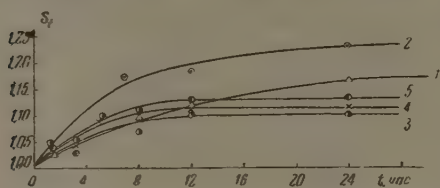
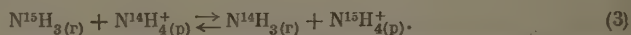


Рис. 5. Зависимость общего коэффициента обогащения от времени при $v = 2$ мл/мин и различных температурах: 1—10°; 2—20°; 3—40°; 4—60° и 5—80°С

уменьшается при всех исследованных нами скоростях подачи раствора, возрастаая затем снова по мере дальнейшего роста температуры. В результате этого при скоростях подачи раствора 5 и 8 мл/мин и температуре 80° величина равновесных общих коэффициентов разделения становится почти равной соответствующим значениям для 20°. Наблюдавшуюся нами зависимость можно объяснить, по-видимому, компенсацией двух

факторов, противоположно влияющих при повышении температуры на величину коэффициента разделения. Это, с одной стороны, уменьшение константы равновесия реакции изотопного обмена (1), приводящее к понижению коэффициента однократного разделения и, с другой стороны, уменьшение высоты теоретической тарелки вследствие увеличения скорости обмена. Из спектроскопических данных нами была вычислена константа равновесия реакции



Для 10, 20, 40 и 60° были получены значения K , соответственно равные 1,0369; 1,035; 1,032 и 1,030. Полученная экстраполяцией для 80° величина

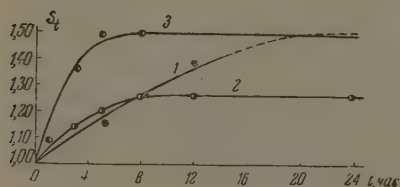


Рис. 6. Зависимость общего коэффициента обогащения от времени при $v = 5$ мл/мин и различных температурах: 1—20°; 2—40° и 3—80°С

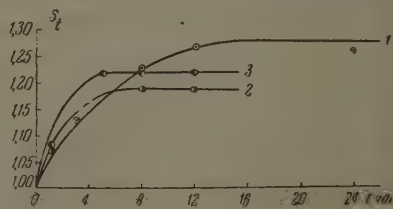


Рис. 7. Зависимость общего коэффициента обогащения от времени при $v = 8$ мл/мин и различных температурах: 1—20°; 2—40° и 3—80°С

K равнялась 1,028. С другой стороны, при повышении температуры уменьшаются также и константа K' , обменной реакции (2), и растворимость аммиака в растворе солей. Согласно полуэмпирической формуле:

$$\alpha = K - (K - K') M, \quad (4)$$

предложенной Киршенбаумом с сотрудниками [5], это приводит к увеличению коэффициента однократного разделения. Здесь K и K' — константы равновесия обменных реакций (3) и (2), соответственно, а M — мольная доля растворенного аммиака в растворе, равная

$$M = \frac{[\text{NH}_3]_p}{[\text{NH}_3]_p + [\text{NH}_4^+]_p}. \quad (5)$$

Мы не ставили своей задачей определение мольной доли растворенного аммиака в растворе нитрата аммония в условиях работы нашей установки, но из литературных данных [6] известно, что в равновесных условиях она мало отличается от растворимости аммиака в воде. Вследствие этого даже на основании косвенных данных о резком понижении растворимости аммиака в водных растворах при повышении температуры, можно считать достаточно обоснованным предположение о некоторой компенсации α в формуле (4) за счет уменьшения M . Как видно из рис. 5, величина общего коэффициента обогащения при 10° на протяжении всей кинетической кривой (вплоть до равновесия, наступившего через 44 часа) меньше соответствующей величины при 20° . Этот факт может быть отчасти объяснен уменьшением растворимости нитрата аммония, которое при прочих равных условиях приводит к уменьшению коэффициента однократного разделения [2]. Вследствие уменьшения растворимости нитрата аммония мы вынуждены были при 10° применять 50%-ный его раствор, тогда как во всех других опытах был использован 60%-ный раствор NH_4NO_3 . Зависимость времени достижения стационарного состояния от температуры представлена на рис. 8. Кривые показывают, что при всех исследованных нами скоростях и температурах величина этого времени уменьшается с ростом температуры.

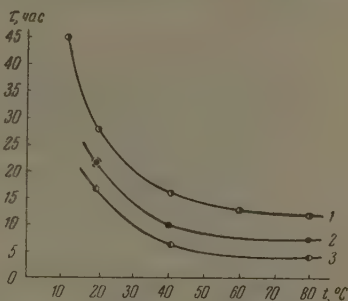


Рис. 8. Зависимость времени достижения стационарного состояния от температуры при различных скоростях подачи раствора в колонку: 1 — 2 мл/мин; 2 — 5 мл/мин; 3 — 8 мл/мин. Точка, окруженная пунктиром, получена экстраполяцией

ВЫВОДЫ

1. В колонке с насадкой в условиях противотока исследовано влияние скорости потока и температуры на разделение изотопов азота.
2. Показано, что время достижения стационарного состояния уменьшается с ростом скорости потока и температуры.
3. Обнаружено, что в условиях работы нашей установки существует оптимальная скорость потока (подачи раствора и, соответственно, возврата аммиака в колонку), при которой достигается наибольшее разделение изотопов азота.
4. Найдено, что общий коэффициент обогащения изотопов уменьшается при повышении температуры от 20 до 40 (при всех исследованных нами скоростях потока), увеличиваясь затем снова по мере дальнейшего роста температуры. Такая зависимость объяснена изменением коэффициента обогащения за счет одновременного изменения с температурой констант равновесия обменных реакций, протекающих в колонке, скорости обмена и мольной доли растворенного аммиака.

Московский государственный университет им. М. В. Ломоносова

Поступила
6. VIII. 1956

ЛИТЕРАТУРА

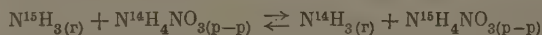
1. Г. М. Панченков, И. А. Семиохин, А. А. Рензаева, В. В. Молчанов и О. П. Калашников, Журн. физ. химии, 31, 1352, 1957.
2. H. C. Urey, J. R. Huffman, H. G. Thode, A. M. Fox. Journ. Chem. Phys., 5, 856, 1937; H. G. Thode, A. H. C. Urey, Journ. Chem. Phys., 7, 34, 1939.
3. R. Nakane, Repts. Sci. Res. Inst. (Japan), 28, 276, 1952; цит. по Chem. Abstr., 47, 11022 g, 1953.

4. E. W. Becker u. H. Baumgärtel, Zs. Naturforsch., 1, 514, 1946.
5. J. Kirshenbaum, J. S. Smith, T. Crowell, J. Graff a. R. Mc Kee, Journ. Chem. Phys., 15, 440, 1947.
6. Д. П. Коновалов, ЖРФХО, 26, 48, 1894; 31, 910, 985, 1900; F. M. Raoult, Ann. chim. phys., (5), 1, 262, 1874; цит. по справочнику J. W. Mellor, A comprehensive treatise on inorganic a. theoretical chemistry, т. III, стр. 198, 1947.

SEPARATION OF STABLE NITROGEN ISOTOPES BY CHEMICAL EXCHANGE

G. M. Panchenkov, I. A. Semiokhin and O. P. Kalashnikov (Moscow)

This paper describes the results obtained in studying the influence of the rate of flow and the temperature on the separation of nitrogen isotopes effected in a counter flow column according to the reaction



It has been found that the time in which a stationary state is reached diminishes as the flow velocity and temperature grow. Under the conditions of the experiments there was an optimal rate of flow, at which the concentration of N^{15} in the liquid phase was a maximum. When the temperature was raised from 20 to 40°C the separation of the isotopes was reduced (at all of the flow rates investigated), but it increased again with further rise of temperature. This is because the value of separation is compensated by a simultaneous variation of the exchange reaction equilibrium constants in the column, of the exchange velocity and of the mole ratio of dissolved ammonia.

ЗАКОНОМЕРНОСТИ ЗАМЕЩЕНИЯ АТОМОВ ВОДОРОДА В БЕНЗОЛЬНОМ ЯДРЕ АЛКИЛЬНЫМИ ГРУППАМИ

СООТНОШЕНИЕ КОНСТАНТ СКОРОСТИ ОБРАЗОВАНИЯ ИЗОПРОПИЛБЕНЗОЛОВ
И УРАВНЕНИЯ СОСТАВА ПРОДУКТОВ АЛКИЛИРОВАНИЯ БЕНЗОЛА
ПРОПИЛЕНОМ В ПРИСУТСТВИИ ФТОРИСТОГО ВОДОРОДА

В. Г. Плюснин, А. П. Лысенко и Е. И. Бабин

В статье [1] приводились уравнения состава продуктов последовательных реакций, позволяющие установить соотношение между константами скорости образования продуктов каждой ступени.

В настоящей статье сделана попытка применить эти уравнения для определения соотношения между константами скорости образования изопробензолов, образующихся в процессе алкилирования бензола пропиленом в присутствии фтористого водорода, а также установить зависимость состава продуктов алкилирования от молярного соотношения. С этой целью было проведено алкилирование бензола пропиленом при молярных соотношениях пропилен—бензол (n) от 0,1 до 5.

ЭКСПЕРИМЕНТАЛЬНАЯ ЧАСТЬ

При алкилировании был использован химически чистый бензол (d_4^{20} 0,877 n_{20}^D 1,4912) и 97—98% пропилен, полученный дегидратацией изопропилового спирта над оксидом алюминия.

Алкилирование проводилось в периодически действующей установке, схема которой приведена на рис. 1.

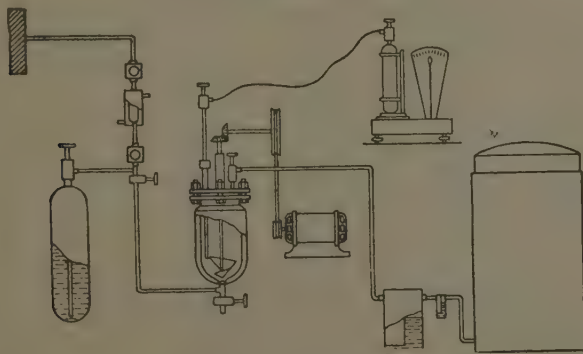


Рис. 1. Периодически действующая установка для алкилирования бензола олефинами в присутствии фтористого водорода

Процесс осуществлялся при постепенном поступлении пропилена в реактор с постоянной скоростью, около 100 г пропилена на 1 кг бензола в час. Указанная скорость, как показали предшествующие исследования, является оптимальной, обеспечивая наибольший выход алкилбензолов. Полимеризация пропилена при этой скорости сводится до минимума.

В каждом опыте в реактор заливалось по 1 кг сухого бензола и по 150 г 96—98% фтористого водорода.

При больших молярных отношениях в качестве растворителя, образующегося при реакции тетраизопропилбензола, использовался *n*-гептан (весовое отношение бензол—гептан 1 : 1). Пропилен подавался через капиллярную трубку из баллона с весом при энергичном перемешивании реагирующей массы и охлаждении ее водопроводной водой.

Количество алкилбензолов различной степени замещения, содержащихся в катализатах, полученных при различных молярных соотношениях, устанавливалось на основании фракционной разгонки. При этом все катализаты, полученные при молярном соотношении $n < 3$, несмотря на наличие в них кристаллических продуктов, подвергались разгонке в полном составе, и только от катализата, полученного при молярном соотношении $n = 5$, предварительно были отделены кристаллические продукты.

При фракционировании была использована колонка с погоноразделительной способностью 28 теоретических тарелок.

Следует подчеркнуть, что при фтористоводородном алкилировании бензола пропиленом, независимо от величины молярного соотношения, не получается пентаизопропилбензол. Не был получен этот алкилбензол и в специально поставленных опытах по алкилированию тетраизопропилбензола пропиленом. Таким образом, алкилирование бензола пропиленом возможно только в четыре ступени с образованием тетраизопропилбензола.

Выходы алкилбензолов с одинаковым числом алкильных групп определялись по кривым однократной ректификации с делением промежуточных фракций, выход которых составлял всего 1—2%, пополам между соседними по числу алкильных групп алкилбензолами.

Используя указанный метод установления выходов алкилбензолов по кривым разгонок, в табл. 1 приводится часть результатов по составу продуктов алкилирования бензола пропиленом при различных молярных соотношениях, вплоть до исчерпывающего алкилирования. В этой же таблице приводится также количество израсходованного пропилена в процентах от общей смеси, рассчитанное, исходя из молярного соотношения, и процент пропилена, рассчитанный, исходя из состава полученных продуктов. При расчете не учитывалось, что часть пропилена может полимеризоваться.

Таблица 1

Состав системы при алкилировании бензола пропиленом при различных молярных соотношениях олефин—бензол (*n*)

Состав системы в вес. %						Олефин	
<i>n</i>	<i>P</i> ₀	<i>P</i> ₁	<i>P</i> ₂	<i>P</i> ₃	<i>P</i> ₄	израсходовано	получено по балансу
0,13	82,0	16,5	1,3	0,0	0,0	6,5	6,5
0,20	74,0	22,6	3,4	0,0	0,0	9,7	9,6
0,50	46,3	43,4	8,9	1,4	0,0	21,2	20,7
0,71	34,1	42,0	19,7	4,2	0,0	27,8	27,5
1,00	19,4	41,8	30,8	8,0	0,0	35,0	35,9
1,16	15,7	40,0	34,9	9,4	0,0	38,3	37,9
1,60	7,8	25,6	45,0	15,4	6,2	46,2	44,7
2,00	3,1	18,0	47,5	23,0	8,4	51,6	49,8
3,00	0,6	2,8	27,5	42,2	26,0	61,7	59,1
3,20	0,0	0,5	20,5	43,0	36,0	63,5	62,0
5,00	0,0	0,0	0,0	9,0	91,0	73,0	67,6

Примечание. Индекс при *p* указывает на число алкильных групп в бензольном ядре.

Сравнивая результаты по исходной смеси и полученные по расчетам, исходя из результатов разгонки, видно, что расхождения между ними невелики. Однако при сравнении видно, что расхождение между результатами нарастает по мере увеличения молярного соотношения *n*. Это следовало ожидать, так как полимеризация пропилена, хотя и в небольшой степени при любом молярном соотношении имеет место. По мере увеличения молярного

ого соотношения процент полимеров в смеси повышается, в силу чего баланс по олефину, рассчитанный по результатам разгонки, все больше расходится с истинным соотношением между бензолом и олефином.

Надо полагать, что полимеризация олефина в процессе алкилирования, как параллельно идущая реакция, не должна влиять на закономерность замещения водородов в бензольном ядре алкильными группами. Однако, чтобы установить эту закономерность, необходимо знать количество олефина, пошедшее на образование только алкилбензолов.

ОБСУЖДЕНИЕ РЕЗУЛЬТАТОВ

Полимерные продукты концентрируются в остатке при ректификации продуктов алкилирования. Таким образом, количество их может быть установлено из уравнения баланса по олефину

$$y = \frac{M}{M_1} p_1 + \frac{2M}{M_2} p_2 + \frac{3M}{M_3} p_3 + \dots + \frac{mM}{M_m} (p_m - \Delta y) + \Delta y, \quad (1)$$

где y — количество олефина в вес. % в исходной смеси, исходя из молярного соотношения, Δy — количество полимеров в системе в вес. %, p_i — содержание соответствующего алкилбензола в смеси в вес. %, M_i — молекулярный вес соответствующего алкилбензола, M — молекулярный вес олефина.

По уравнению (1) было рассчитано количество полимеризовавшегося пропилена в опытах, приведенных в табл. 1. Результаты расчетов сведены в табл. 2.

Таблица 2

Состав катализатора за вычетом полимеров для системы бензол—пропилен

Молярное соотношение		Состав системы без полимеров					Полимеров
опытное n	исправлен. n ₁	P ₀	P ₁	P ₂	P ₃	P ₄	Δy
0,13	0,13	82,0	16,5	1,3	0,0	0,0	0,0
0,20	0,20	74,0	22,6	3,4	0,0	0,0	0,1
0,50	0,48	46,6	43,7	9,0	0,6	0,0	0,9
0,71	0,68	34,4	42,3	19,8	3,5	0,0	0,8
1,00	1,00	19,4	41,8	30,8	8,0	0,0	0,0
1,16	1,10	15,9	40,5	35,4	8,2	0,0	1,2
1,60	1,50	8,0	26,0	46,0	15,7	4,3	2,0
2,00	1,86	3,2	19,1	50,4	24,4	2,8	5,6
2,50	2,36	0,8	5,3	45,0	35,4	13,5	2,7
3,00	2,68	0,6	3,0	29,5	45,3	21,4	6,7
3,20	3,00	0,0	0,5	21,5	45,0	33,2	4,7
5,00	3,88	0,0	0,0	0,0	10,8	89,2	16,8

Сравнивая условия проведения опытов, приведенных в табл. 1 и 2, условиями, для которых выводились уравнения последовательной реакции замещения водородов в бензольном ядре алкильными группами [1], видно, что они тождественны. Следовательно, результаты этих таблиц могут быть использованы для определения соотношения между скоростными постоянными или, что одно и то же, между константами скорости образования алкилбензолов.

Учитывая, что в бензольном ядре возможно замещение изопропильными группами только четырех водородных атомов, для случая алкилирования бензола пропиленом были использованы уравнения скорости последовательной реакции в четыре ступени.

Принимаем в качестве единиц измерения концентраций молярные проценты, начальная концентрация алкилируемого компонента $c = 100$.

Тогда из первого уравнения системы уравнений (10), приведенных в [1], следует

$$kt = \ln \frac{100}{c_0}. \quad (2)$$

Заменяя kt его значением из уравнения (2) и подставляя c_0 и c_i , пересчитанных по результатам табл. 2, последовательно в систему уравнений (10) в [1], находим методом подбора постоянные a_i .

Было установлено, что наиболее близко опытные и расчетные данные по алкилированию бензола пропиленом сходятся при соотношении констант скорости $k_1 : k_2 : k_3 : k_4$, как 1 : 0,8 : 0,3 : 0,15. При этом соотношении скоростных постоянных уравнения состава представляются в виде

$$\begin{aligned} c_0 &= 100e^{-kt}; \\ c_1 &= 100(5e^{-0,8kt} - 5e^{-kt}); \\ c_2 &= 100(2,286e^{-0,8kt} - 8,0e^{-0,8kt} + 5,715e^{-kt}); \\ c_3 &= 100(2,896e^{-0,15kt} - 4,573e^{-0,3kt} + 3,692e^{-0,8kt} - 2,016e^{-kt}); \\ c_4 &= 100(1 - 2,896e^{-0,15kt} + 2,287e^{-0,3kt} - 0,692e^{-0,8kt} + 0,302e^{-kt}); \\ \sum_{c_0}^c c &= 100. \end{aligned} \quad (3)$$

Пересчет молярных процентов в весовые проводился по формуле

$$P_i = \frac{M_i c_i}{M_6 + M n_1}, \quad (4)$$

где p_i — содержание любого компонента системы в вес.%, c_i — содержание любого компонента системы в мол.%, M_i — молекулярный вес любого компонента системы от c_0 до c_4 ; M — молекулярный вес олефина, M_6 — молекулярный вес бензола, n_1 — исправленное молярное соотношение олефин—бензол.

Из уравнений (3) видно, что состав системы зависит от kt , а, в свою очередь, kt есть функция молярного соотношения n_1 , в котором участвовали реагирующие компоненты к моменту времени t . Зависимость kt от n_1 можно установить, исходя из следующего. Например, в случае алкилирования бензола пропиленом, задаваясь различными значениями c_0 в пределах до 100, можно по первому уравнению системы (3) установить значение kt .

Подставляя найденное значение kt в другие уравнения (3), определяем концентрацию алкилбензолов c_1 , c_2 , c_3 и c_4 в молярных процентах для данного значения kt . Имея состав системы, нетрудно установить расход пропилена в молях на 100 молей первоначально взятого бензола по уравнению

$$1c_1 + 2c_2 + 3c_3 + 4c_4 = N. \quad (5)$$

Равенство

$$\frac{N}{100} = n_1 \quad (6)$$

даст молярное соотношение n_1 олефин — бензол.

С учетом уравнений (3) и (5) зависимость молярного соотношения n_1 от kt представляется в следующем виде:

$$n_1 = 4 - 2,896e^{-0,15kt} - 3,692e^{-0,8kt} + 1,59e^{-kt}. \quad (7)$$

Так как при алкилировании бензола пропиленом можно получить только тетраизопротилбензол, то, следовательно, n_1 не может быть больше четырех.

В табл. 3. приводятся величины n_1 в зависимости от значений kt , рассчитанные по уравнению (7).

Зависимость n от kt

Таблица 3

kt	0,5	0,8	1,0	2,0	3,0	4,0	6,0
n	0,49	0,72	0,88	1,56	1,98	2,33	2,82

С практической точки зрения чрезвычайно важно знать состав системы зависимости от молярного соотношения олефин—бензол. Такая зависимость может быть установлена при помощи уравнений (3) и (6).

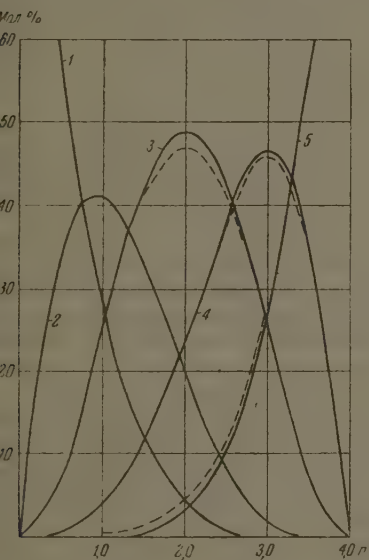


Рис. 2. Кривые зависимости молярного состава продуктов алкилирования бензола пропиленом от молярного соотношения реагирующих компонентов рассчитано по уравнениям (3) и (6): 1 — бензол, 2 — моноизопропилбензол, 3 — диизопропилбензол, 4 — триизопропилбензол, 5 — тетраизопропилбензол

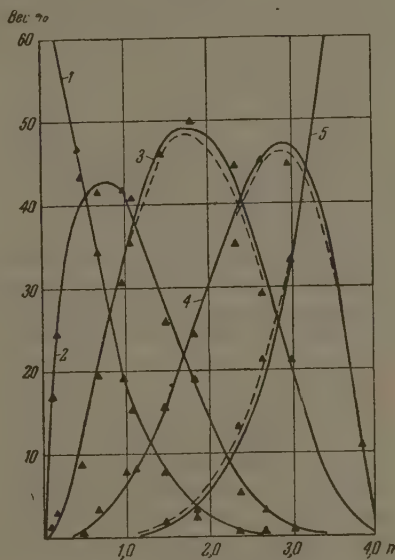


Рис. 3. Кривые зависимости весового состава продуктов алкилирования бензола пропиленом от молярного соотношения реагирующих компонентов: 1 — бензол, 2 — моноизопропилбензол, 3 — диизопропилбензол, 4 — триизопропилбензол, 5 — тетраизопропилбензол, \blacktriangle — экспериментальные данные

На рис. 2 и 3 представлены кривые зависимости состава системы в молярных и весовых процентах от молярного соотношения n_1 . На рис. 3 нанесены также опытные точки, полученные в процессе алкилирования бензола пропиленом (табл. 2). Как видно по расположению опытных точек около кривых состава, сходимость опытных и расчетных данных хорошая.

По кривым рис. 2 видно, что для каждого алкилбензола, за исключением последнего, имеется максимум его содержания в системе. Этот максимум соответствует молярному соотношению n_1 , примерно равному числу алкильных групп в алкилбензоле.

Кривые зависимости состава системы от молярного соотношения, представленные на рис. 3, получены, исходя из уравнения (3). В этих

уравнениях соотношение скоростных постоянных было установлено на основании опытных данных табл. 2. Результаты же этих таблиц были получены в условиях максимально возможного выхода алкилбензолов. Таким образом, кривые рис. 3 следует рассматривать как кривые теоретически возможных выходов изопропилбензолов в зависимости от молярного соотношения. Надо полагать, что такая зависимость выходов алкилбензолов от молярного соотношения будет иметь место во всех случаях и со всеми катализаторами, если дезалкилирующая способность их не будет заметным образом отличаться от дезалкилирующей способности фтористого водорода.

На рис. 3 видно, что получение только ди- и триизопропилбензола невозможно. Моноизопропилбензол в чистом виде может быть получен только при чрезмерно большом избытке бензола. Даже при десятикратном избытке бензола ($n = 0,1$) часть моноизопропилбензола переходит в диизопропилбензол. Состав системы при этом будет следующий: бензола — 85,87%, изопропилбензола — 13,48% и диизопропилбензола — 0,65%. Если катализатор не обладает заметной дезалкилирующей способностью, то в чистом виде может быть получен только тетраизопропилбензол, который накапливается в системе и, в конце концов, может быть получен в качестве единственного алкилбензола.

Сходимость опытных данных по составу продуктов алкилирования бензола пропиленом с расчетными, полученными, исходя из уравнений кинетики последовательной реакции, показывает, что реакция алкилирования бензола пропиленом бесспорно является последовательной реакцией первого порядка. Исходя из того, что вступление изопропильных групп в бензольное ядро принципиально ничем не отличается от любого другого замещения атомов водорода в бензольном ядре, следует полагать, что любое замещение в бензольном ядре элементами и группами является последовательной реакцией. Разница будет заключаться только в том, что в каждом отдельном случае будет свое соотношение между константами скорости замещения и в количестве ступеней последовательной реакции.

Из соотношения констант скорости образования изопропилбензолов следует также, что введение изопропильной группы в бензольное ядро понижает реакционную способность бензольного ядра к дальнейшему замещению водородов изопропильными группами. При этом реакционная способность понижается тем больше, чем больше число алкильных групп. Таким образом установившееся мнение, что алкильная группа в бензольном ядре повышает реакционную способность ядра к дальнейшему замещению, по-видимому, не является общим.

ВЫВОДЫ

1. Установлено соотношение констант скорости образования изопропилбензолов в процессе алкилирования бензола пропиленом.
2. Выведены уравнения состава продуктов алкилирования бензола пропиленом и установлена зависимость состава продуктов алкилирования от молярного соотношения пропилен—бензол.

Уральский филиал
Академии наук СССР
Свердловск

Поступила
9. VII. 1956

ЛИТЕРАТУРА

1. В. Г. Плюснин и Н. М. Родигин, Журн. физ. химии, 31, 2066, 1957.

CORRELATIONS IN THE ALKYL SUBSTITUTION OF HYDROGEN ATOMS
IN THE BENZENE NUCLEUS

THE RATIO OF THE RATE CONSTANTS OF FORMATION OF THE ISOPROPYLBENZENES
AND THE EQUATIONS FOR THE COMPOSITION OF THE PRODUCTS OF THE ALKYLATION
OF BENZENE BY PROPYLENE IN THE PRESENCE OF HYDROGEN FLUORIDE

V. G. Plusnin, A. P. Lysenko, and E. P. Babin (Sverdlovsk)

Summary

The ratio has been established of the rate constants of formation of the isopropylbenzenes in the process of alkylation of benzene by propylene.

An equation has been derived for the composition of the alkylation products and a relation has been found between this composition and the molar ratio of propylene and benzene.

ИССЛЕДОВАНИЕ МЕХАНИЗМА АТМОСФЕРНОЙ КОРРОЗИИ ЖЕЛЕЗА В ПРИСУТСТВИИ СЕРНИСТОГО ГАЗА КАК АГРЕССОРА

З. А. Иофа и Г. Г. Беспроскурнов

Коррозия железных и стальных изделий в присутствии сернистого газа является наиболее распространенным видом низкотемпературной атмосферной коррозии в городах, промышленных центрах и на железнодорожном транспорте. Однако механизм такой коррозии изучен недостаточно.

В ряде работ, посвященных изучению атмосферной коррозии [1—8], показано, что для образования ржавчины необходима влажность не ниже определенного критического порога, равного примерно 60—70% относительной влажности [7—9], в других работах [10—12], а также в нашей работе [13] показано, что в совершенно чистом воздухе коррозии железа не развивается даже при 100% влажности воздуха. Следовательно, ни влага, ни кислород в отдельности или совместно не являются аггессорами атмосферной коррозии железа. Последними являются пары кислот, солей, пыль различных веществ и пр. Однако в большинстве работ по изучению атмосферной коррозии мало уделялось внимания изучению особенностей реакции аггессора с железом — основного компонента газовой фазы, наличие которого и вызывает коррозию железа.

ЭКСПЕРИМЕНТАЛЬНАЯ ЧАСТЬ

Метод исследования. Тонкие пластинки железа «Армко» ($Fe = 99,9\%$, $C = 0,04\%$, $Mn = 0,02\%$, $Si = 0,03\%$) подвешивались на стеклянных крючках в плотно закрывающихся двухлитровых мерных колбах над свежеприготовленными растворами сернистой кислоты или растворами $H_2SO_4 + Na_2SO_3$. Скорость коррозии определялась по

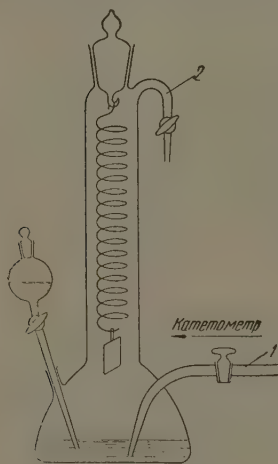


Рис. 1

прибыли в весе периодически взвешиваемых пластинок на аналитических весах. Опыты в бескислородной атмосфере (водородной или азотной) проводились в специальном сосуде, снабженном весами из кварцевой спирали. На дно сосуда (рис. 1) наливался раствор H_2SO_4 определенной концентрации, устанавливавший необходимую влажность газовой фазы. В воронку наливался водный раствор сульфита. На кварцевую спираль, которая заранее калибровалась, подвешивалась железная пластинка. Через ходы 1 и 2 пропусклся водород или очищенный азот до полного вытеснения кислорода из сосуда. После этого отменялось начальное растяжение кварцевой спирали при помощи настольного микрокатетометра, приливался раствор сульфита из воронки, закрывались краны 1 и 2 и производились измерения растяжения спирали со временем. Вес пластинок (толщиной 0,05 мм) не превышал 0,1 г. Чувствительность кварцевых весов составляла $4 \cdot 10^{-6}$ г на 1 деление окулярмикрометра. Железные пластинки перед опытом полировались при помощи пасты ГОИ, очищались протиранием дихлорэтаном, спиртом и затем обезжиривались катодной полризацией в растворе КОН, промывались водой, подсушивались фильтровальной бумагой и под вакуумом без подогревания. Опыты проводились при комнатной температуре ($\sim 20^\circ C$).

Анализ продуктов коррозии производился химическим путем и при помощи радиоактивного изотопа серы S^{35} , которым метился сернистый газ. Измерение счета импульсов радиоактивного излучения пластинками, по мере образования ржавчины, производилось на β установке с торцевой счетной трубкой. Количество железа в ржавчине определялось по разности начального веса пластинок и веса их после полного удаления ржавчины ингибированной кислотой.

В случае очень тонких слоев ржавчины поправка на поглощение не производилась. В других случаях она производилась на основании предварительного определения поглощения пластинками алюминиевой фольги.

Коррозия железа в атмосфере влажного воздуха. На рис. 2 приведены кривые скорости коррозии по прибыли веса железных пластинок над растворами H_2SO_3 . Наблюдение показало, что коррозия начинается в отдельных точках поверхности, затем эти точки сливаются в сплошную пленку ржавчины бархатисто черного цвета. Продукты коррозии гигроскопичны, поэтому поверхность корродирующей пластинки вскоре становится влажной. Начальный цвет через некоторое время переходит в темно-бурый, часто пятнами.

В начальный период, как видно из кривых рис. 2, скорость коррозии зависит от концентрации H_2SO_3 и сравнительно велика. Примерно через 25—30 час. коррозия замедляется и становится мало зависящей от концентрации SO_2 в газовой фазе, что связано с торможением реакции сплошным слоем ржавчины, образующейся к этому времени.

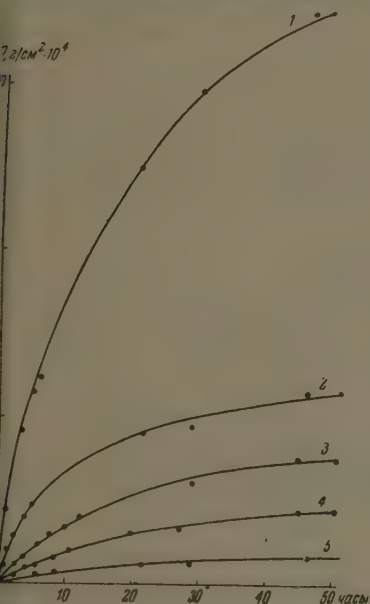


Рис. 2. Кривые скорости коррозии по прибыли веса корродирующих железных пластинок в двухлитровых колбах над растворами H_2SO_3 : 1 — 0,0233N; 2 — 0,0058 N; 3 — 0,0033N; 4 — 0,0016N; 5 — 0,0004 N

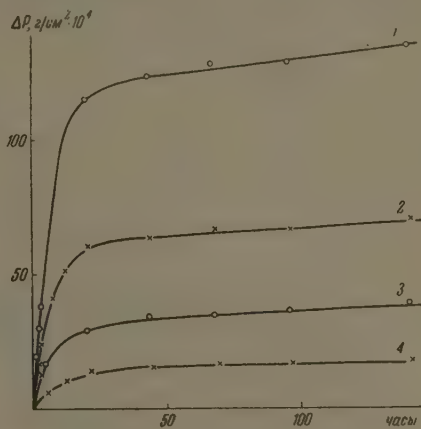


Рис. 3. Кривые скорости коррозии по прибыли веса железных пластинок над растворами 2 N H_2SO_4 , содержащими Na_2SO_3 : 1 — 0,038N; 2 — 0,019N; 3 — 0,0088N; 4 — 0,0044N

В табл. 1 приведены результаты опытов по определению скорости коррозии по прибыли веса в зависимости от парциального давления SO_2 в воздухе* за первые 5 час. и по количеству железа, перешедшего в ржавчину

Таблица 1

конц. H_2SO_3 , N	$2,3 \cdot 10^{-2}$	$5,8 \cdot 10^{-3}$	$3,3 \cdot 10^{-3}$	$1,6 \cdot 10^{-3}$	$4 \cdot 10^{-4}$
конц. SO_2 , г/л	0,75	0,186	0,106	0,051	0,013
пр. давл. SO_2 , мм	2,1	0,46	0,29	0,12	0,0025
начальная скорость за 5 час. $\text{г/см}^2 \cdot \text{час} \cdot 10^4$	12	5,0	2,4	0,8	0,3
железа в ржавч. за 46 час. $\text{г/см}^2 \cdot 10^4$	42	20	17,7	13,4	8,3

* Парциальное давление SO_2 над растворами H_2SO_3 взято из таблиц Ландольта [4]. Парциальное давление над растворами H_2SO_3 ниже $3 \cdot 10^{-3}$ N получено приближительной экстраполяцией.

за 46 час. Коррозия железа протекает с заметной скоростью и при значительно меньших концентрациях SO_2 в воздухе (менее 0,001 мм или $\sim 10^{-4} \%$).

На рис. 3 приведены кривые прироста веса пластинок при коррозии их над растворами $2N \text{H}_2\text{SO}_4$, содержащими сернистокислую соль в различных концентрациях. В данном случае более резко выявляется указанная выше форма кривой $\Delta p-t$. Между концентрацией Na_2SO_3 в растворе кислоты и приростом в весе пластинок, например за 30 час., наблюдается приблизительно пропорциональность. Отсюда вытекает заключение, что с увеличением концентрации SO_2 в газовой фазе увеличивается толщина пленки ржавчины, образующейся за первый период, и возрастает

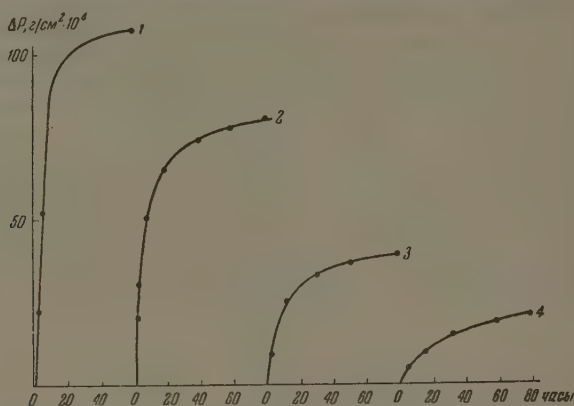


Рис. 4. Кривые прироста веса со временем железных пластинок (№ 1, 2, 3 и 4), поочередно помещаемых в двухлитровую колбу над одним и тем же раствором ($2N \text{H}_2\text{SO}_4 + 0,038N \text{Na}_2\text{SO}_3$).

скорость ее наращивания. Для доказательства этих выводов приведем кривые рис. 4, которые иллюстрируют процесс коррозии свежих железных пластинок, поочередно помещаемых в одну и ту же колбу над раствором $2N \text{H}_2\text{SO}_4 + 0,038N \text{Na}_2\text{SO}_3$. Как видно из рисунка, каждая новая пластинка повторяет процесс образования пленки ржавчины, способной замедлять процесс коррозии. По мере уменьшения концентрации SO_2 снижается высота второго пологого отрезка $\Delta p-t$ кривой. Замедление коррозии к началу второго периода связано, таким образом, не с недостатком SO_2 в атмосфере, а с образованием слоя ржавчины, замедляющего коррозию. Интересно также отметить, что если в период, когда такой слой уже образовался, увеличить концентрацию SO_2 , то скорость коррозии снова возрастает и устанавливается более толстая пленка ржавчины, отвечающая более высокой концентрации сернистого газа в воздухе.

С уменьшением влажности воздуха при одинаковой концентрации в нем сернистого газа уменьшается начальная скорость коррозии и одновременно уменьшается предельная толщина пленки ржавчины, отвечающей началу замедленной коррозии. Это видно из данных табл. 2.

На рис. 5 показана зависимость начальной скорости коррозии (за первые 5 час.) от относительной влажности воздуха при одинаковом содержании в нем SO_2 . Порог критической влажности в данном случае лежит в пределах 65—70%, что находится в согласии с данными Вернона [8] Паттерсона [9] и др.*

* В случае агрессивных галогеноводородных кислот порог критической влажности лежит значительно ниже [13].

Таблица 2

Раствор 0,038 N Na_2SO_3

конц. H_2SO_4 N	2	3	4	6	7,5	9	10,6	12,4
труг. паров воды при 20°, мм	23	22,2	21,7	19,6	17,8	15,7	13,4	10,9
влажности	96	93,5	91,6	83	75	66	56	42
начальн. скорость коррозии, $\text{г/см}^2 \cdot 10^{-4}$	8,5	5,0	3,8	1,3	0,6	0,1	—	—
предельная прибывь веса за 24 часа, $\text{г/см}^2 \cdot 10^{-4}$	120	67	57	16	10	2,0	0,2	0

Примерный анализ ржавчины, образующейся на железных пластинках над раствором 0,038 N Na_2SO_3 в 2 N H_2SO_4 , проведенный с использованием метода радиоактивных индикаторов, показан в табл. 3.

Таблица 3

Продолжительность коррозии, часы	20	100
Количество в ржавчине H_2O , $\text{г/см}^2 \cdot 10^4$	53,3	64
Количество в ржавчине железа, $\text{г/см}^2 \cdot 10^4$	58,6	104
» » » серы, $\text{г/см}^2 \cdot 10^4$	3,4	3,6
Отношение эквив. S/Fe	0,103	0,053

Из таблицы видно, что количество серы, входящее в реакцию с железом, ало по сравнению с общей прибывью веса или с количеством прореагировавшего железа и незначительно меняется с продолжительностью

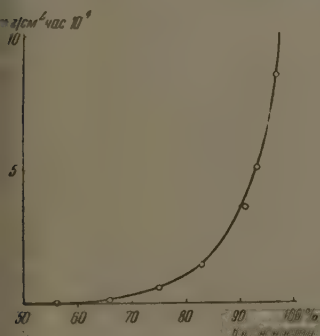


Рис. 5

ис. 5. Зависимость начальной скорости коррозии по прибыви веса за первые 5 час. относительной влажности воздуха при одинаковом содержании в нем сернистого газа

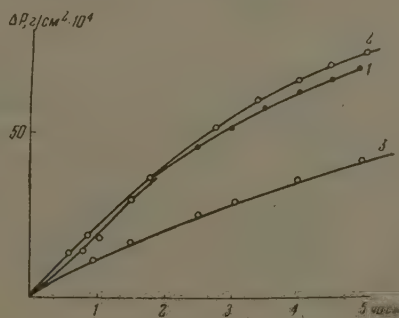


Рис. 6

ис. 6. Кривые скорости коррозии железных пластинок по прибыви веса над раствором 0,038 N $\text{Na}_2\text{SO}_3 + 2\text{N H}_2\text{SO}_4$: 1 — в водородной атмосфере, 2 — в азотной атмосфере, 3 — в воздухе

коррозии. Отношение эквивалентов серы к железу в ржавчине за первые 20 час. коррозии составляет примерно 0,1 и падает до 0,05 за 100 час.

Был проверен интересный результат опытов Вернона [8], заключающийся в том, что железо, предварительно находившееся некоторое время в атмосфере, содержащей SO_2 при влажности ниже критического порога, корродирует в чистом влажном воздухе с такой же скоростью, с какой оно корродирует в воздухе с тем же постоянным содержанием SO_2 и H_2O . Проверка показала, что это заключение Вернона качественно правильно: такая пластинка действительно корродирует в воздухе, не содержащем SO_2 , однако со скоростью, которая меньше, чем в воздухе с сернистым газом. Эти опыты показывают, что то небольшое количество сернистого газа, которое способно адсорбироваться на поверхности железа в «сухом» воздухе, может развивать коррозию железа, если оно переносится во влажный воздух, не содержащий сернистого газа.

Коррозия в бескислородной атмосфере. Выше отмечалось, что железо почти совсем не подвергается коррозии в чистом влажном воздухе. Оно, как показали опыты, не корродирует и в чистой

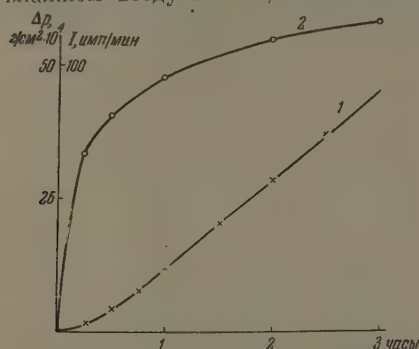


Рис. 7. Кривые прироста 1 — веса и 2 — роста радиоактивности железной пластинки, корродирующей во влажной водородной атмосфере, содержащей сернистый газ

водородной или азотной атмосфере. Однако в присутствии сернистого газа в бескислородной атмосфере при влажности, превышающей критический порог, железо корродирует с не меньшей скоростью, чем в воздухе.

На рис. 6 показаны типичные кривые прироста веса железных пластинок, корродирующих над раствором $0,038 \text{ N Na}_2\text{SO}_3 + 2 \text{ N H}_2\text{SO}_4$ за первые 5 час. в водородной атмосфере (кривая 1), азотной атмосфере (кривая 2) и в воздухе (кривая 3). Из кривых этого рисунка видно, что в водородной и азотной атмосфере в присутствии сернистого газа и влаги в тех же концентрациях коррозия протекает практически с одинаковой скоростью.

В присутствии же кислорода скорость коррозии несколько меньше, что связано, вероятно, с защитным действием получающейся ржавчины. В водородной атмосфере в опыте, результат которого показан на рис. 6, уже через 6 мин. можно было видеть черные точки коррозионных поражений. В воздухе такие точки были заметны лишь через 20 мин.

Из рис. 7, на котором приведены кривая роста радиоактивности и кривая прироста веса со временем в водородной атмосфере видно, что скорость абсорбции сернистого газа в первые 15—20 мин. значительно больше, чем в последующее время, прирост же веса, наоборот, сначала

Таблица 4

	Газовая атмосфера		
	водородная	азотная	воздушная
Конц. Na_2SO_3 в $2\text{NH}_2\text{SO}_4$	0,009		0,018
Продолжительность, часы	2	5	5
Количество S, $\text{г/см}^2 \cdot 10^4$	2,1	3,1	3,7
Количество Fe, $\text{г/см}^2 \cdot 10^4$	11,6	15,1	39,3
Отношение эквив. S/Fe	0,33	0,36	0,16

чала, затем она возрастает. Отсюда можно сделать вывод, что за первые 5 мин. в очень тонкой пленке влаги, которая образуется на поверхности железа, происходит преимущественно образование сернистой кислоты только в последующее время она реагирует более интенсивно с железом одновременным поглощением влаги.

В табл. 4 приведены результаты анализа ржавчины, проведенного при использовании метода радиоактивных индикаторов.

Из данных табл. 4 видно, что соотношение эквивалентов S/Fe в ржавине, получающейся в водородной атмосфере, не зависит от продолжительности коррозии и близко к величине 0,33, в то время как в воздухе это соотношение падает со временем.

ОБСУЖДЕНИЕ РЕЗУЛЬТАТОВ

Низкотемпературная атмосферная коррозия протекает в пленке влаги на поверхности железа по реакциям, которые качественно аналогичны таковым в растворах электролитов. Это следует из того факта, что железо корродирует со сколь-либо заметной скоростью лишь в атмосфере с влажностью не ниже определенного критического порога с одновременным содержанием в ней аггрессора.

Коррозия начинается на отдельных мелких точечных участках, на которых возможна капиллярная конденсация влаги (при относительной влажности ниже 10%) и абсорбции аггрессора. В случае малой относительной влажности воздуха точечный характер коррозии может продолжаться длительное время.

Для выяснения механизма атмосферной коррозии в присутствии сернистого газа важно иметь сведения относительно реакций, приводящих к растворению или ржавлению железа, погруженного в электролит из SO_2 . В литературе таких сведений очень мало. В. А. Карницкий и Н. А. Голубев [15], изучавшие влияние SO_2 и H_2S в H_2SO_4 и HCl на скорость растворения технического железа, считают, что ускоряющее действие SO_2 связано с образованием H_2S . В работе Макрайдеса и Хаккермана [16], изучавших действие производных тиомочевины на скорость растворения железа в растворах сернистой кислоты, ускоряющее действие тиомочевинны объясняют образованием ионов HS^- , которые облегчают переход ионов железа в раствор через промежуточное образование FeS . В работе [17] стимулирующее действие HS^- объясняется ускорением анодной и катодной реакций благодаря устанавливающемуся отрицательному ϕ_1 -потенциалу. Опыты последнего времени по изучению совместного действия HS^- -ионов и ингибиторов показали более сложное действие этих анионов. В присутствии ряда ингибиторов исчезает стимулирующее действие ионов HS^- и последние усиливают действие этих ингибиторов, подобно тому, как это происходит в случае галогенных анионов [18].

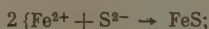
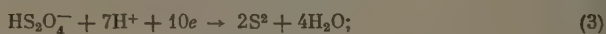
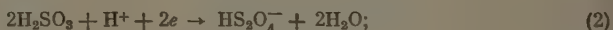
Действие сернистого газа должно отличаться от действия сероводорода тем, что в первой стадии реакции сернистая кислота, получающаяся при растворении сернистого газа в воде, является сильным деполаризатором катодной реакции, при этом она раскисляется до сероводорода. Реакция деполаризации катодного процесса сернистым газом, растворяющимся в пленке влаги на поверхности железа и других металлов в условиях, имитирующих атмосферную коррозию, изучалась И. А. Розенфельдом с сотрудниками [19].

Мы изучали реакции между железом и сернистым газом в растворах с различным значением pH. Это исследование показало, что в сильно подкисленных растворах сернистой кислоты железо обильно выделяет водород и продукты восстановления сернистой кислоты: сероводород и серу. Раствор из-за выделения серы принимает молочно-желтый цвет. Поверхность железа остается свободной от продуктов реакции. С уменьшением кислотности раствора уменьшается скорость выделения водорода и воз-

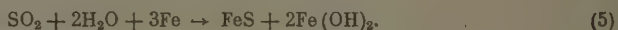
растает относительное количество образующегося сероводорода. При дальнейшем снижении кислотности сернистой кислоты (от 3 до 6 pH), а также в чистом водном растворе сернистой кислоты железо покрывается слоем сернистого железа бархатисто-черного цвета. Водород и сероводород при этом совсем не выделяются. В растворах с pH больше 7 преимущественно находятся ионы сернистой кислоты SO_3^{2-} , которые не являются окислителем, и железо в таких растворах совсем не подвергается коррозии.

Результаты проведенных опытов позволяют сделать предварительные выводы о механизме коррозии железа в атмосфере, содержащей сернистый газ. В кислой среде сернистая кислота является окислителем (для реакции $\text{H}_2\text{SO}_3 \rightarrow \text{S}$ $E_0 = 0,45 \text{ V}$ [20]). Ионы же SO_3^{2-} при стационарном потенциале железа являются восстановителем ($E_0 = -0,59 \text{ V}$). Сернистая кислота деполяризует катодный процесс, восстанавливаясь до сероводорода.

Восстановление сернистой кислоты на железе в слабо кислой среде протекает, по-видимому, через гидросернистую кислоту по следующим схематическим уравнениям:

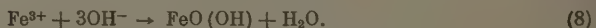
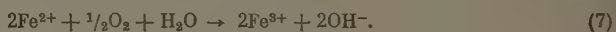


Суммарная реакция в отсутствие кислорода:



Справедливость этих уравнений подтверждается найденным на опыте соотношением эквивалентов серы к железу в ржавчине.

В присутствии кислорода происходит деполяризация катодного процесса и окисление двухвалентного железа:



В результате количество гидроокиси и окиси железа возрастает и уменьшается соотношение эквивалентов серы к железу. Ионы HS^- , получающиеся в процессе восстановления сернистой кислоты, способны ускорять не только реакцию (1), что известно из ранее проведенных работ, но, по-видимому, и реакцию (7).

ВЫВОДЫ

1. Исследовалась коррозия железа в атмосфере, содержащей сернистый газ.

2. Показано, что начальная скорость коррозии возрастает с увеличением концентрации сернистого газа в воздухе. Уменьшение влажности снижает скорость коррозии и при относительной влажности ниже 65—70% коррозия практически прекращается.

3. Через 25—30 час. коррозии во влажном воздухе образуется слой ржавчины, замедляющий этот процесс: чем больше концентрация сернисто-

газа в атмосфере, тем толще слой ржавчины, образующийся за это время.

4. Коррозия, начавшаяся в атмосфере с сернистым газом, продолжается совершенно чистом влажном воздухе, но с меньшей скоростью.

5. Анализ ржавчины, проведенный при помощи радиоактивного изотопа ^{59}Fe , показал, что в бескислородной (водородной и азотной) атмосфере отношение эквивалентов серы к железу в ржавчине близко к 0,33 и почти не изменяется со временем коррозии. В присутствии кислорода это соотношение уменьшается со временем.

6. Сделан вывод о механизме атмосферной коррозии в присутствии сернистого газа. Коррозия протекает по электрохимическому механизму под пленкой влаги на поверхности железа. Сернистая кислота, образующаяся при растворении SO_2 в этой пленке, является окислителем, деполяризует катодную реакцию и восстанавливается до ионов сульфида, которые, благодаря устанавливающемуся отрицательному ψ_1 -потенциалу, стимулируют и анодную реакцию. В воздухе происходит деполяризация кислородом катодного процесса и окисление двухвалентного железа в трехвалентное. Ионы сульфида, по-видимому, катализируют последнюю реакцию.

Московский государственный
университет им. М. В. Ломоносова

Поступила
11. VII. 1956

ЛИТЕРАТУРА

- Г. В. Акимов, Основы учения о коррозии и защите металлов, 1945.
Г. В. Акимов, Теория и методы исследования коррозии металлов, Изд-во АН СССР, 1945.
Ю. Эванс, Коррозия, пассивность и защита металлов, 1941.
Н. Д. Томашев, Теория атмосферной коррозии металлов, Металлургиздат, 1951.
Н. Д. Томашев, Теория коррозии металлов, Металлургиздат, 1952.
В. А. Кистяковский, Труды I Конференции по коррозии металлов, Изд-во АН СССР, 1935.
А. В. Соловьев, Исследование некоторых факторов атмосферной коррозии металлов, Изд-во АН СССР, 1938.
W. Vernon, Trans. Farad. Soc., 19, 886, 1924.
W. Patterson, L. Hebb, Trans. Farad. Soc., 27, 277, 1931; W. Patterson, J. Soc. Chem. Ind., 49, 203, 1930.
О. Кренке, Э. Маас, В. Бек, Коррозия и защита металлов, ОНТИ, 1935.
В. Скорчелетти и С. Тукачинский, Журн. прикл. химии, 26, 1953.
А. Кочетков, Изв. АН СССР, № 6, 320, 1944.
З. А. Иофа и Л. Д. Шibaева, Труды 5-го Всесоюзного совещания по коррозии и защите металлов, 1956, стр. 96.
Landolt-Börnstein, Phys. chem. Tabellen, 1 Erg. B., 764.
В. А. Карницкий и Н. А. Голубев, Журн. прикл. химии, 8, 864, 1938.
A. Makrides a. N. Haskergerman, Ind. Eng. Chem., 47, 1773, 1955.
В. А. Кузнецов и З. А. Иофа, Жур. физ. химии, 21, 201, 1947.
З. А. Иофа, Труды конференции по ингибиторам коррозии металлов, 1956.
И. Л. Розенфельд и Т. И. Павлуцкая, Исследования по коррозии металлов, Изд-во АН СССР, т. 4, 198, 1956.
Т. Лукошина, К. Жигалова и И. Розенфельд, Журн. Зав. лаб., 26, 1463, 1956.
В. М. Латимер, Окислительные состояния элементов и их потенциалы в водных растворах, ИИЛ, М., 1954.

A STUDY OF THE MECHANISM OF THE ATMOSPHERIC CORROSION OF IRON IN THE PRESENCE OF SULFUR DIOXIDE AS AGGRESSIVE AGENT

Z. A. Iofa and G. G. Besproskurnov (Moscow)

Summary

The corrosion of iron has been investigated in an atmosphere containing sulfur dioxide. The initial corrosion rate (at constant humidity) was shown to be proportional to the sulfur dioxide concentration in the atmosphere. After 25—30 hours a layer of rust is formed that slows down the process. Corrosion once having started in an atmosphere with sulfur dioxide continues to progress in absolutely pure humid air.

Analysis of the rust carried out with the aid of labeled sulfur showed that in an oxygenless (hydrogen or nitrogen) atmosphere the ratio of the equivalents of sulfur and iron are close to 0.33. In the presence of oxygen the ratio diminishes as the corrosion progresses.

Equations have been presented for the electrochemical reactions proceeding under the film of water at the iron surface leading to corrosion in the presence of the aggressive agent sulfur dioxide.

ВЛИЯНИЕ СОСТАВА АЛЮМОСИЛИКАТНЫХ КАТАЛИЗАТОРОВ НА РЕАКЦИИ ГИДРАТАЦИИ ДИЭТИЛОВОГО ЭФИРА И ДЕГИДРАТАЦИИ ЭТИЛОВОГО СПИРТА

Т. В. Антипина и О. В. Псаев

Целью настоящего исследования является изучение зависимости скоростей реакций гидратации диэтилового эфира и дегидратации этилового спирта от концентрации ОН-групп на поверхности алюмосиликатного катализатора и окиси алюминия.

Ранее, в работах [1,2] было показано, что обработка щелочью синтетического и промышленного алюмосиликатов приводит к резкому снижению степени превращения спирта в этилен, в то время как выход эфира слабо изменяется. Кинетика дегидратации этилового спирта на алюмосиликатных катализаторах (50% Al_2O_3 ; 50% SiO_2 ; 16% Al_2O_3 ; 84% SiO_2) в широком изменении объемных скоростей интервала температур изучалась К. В. Топчиевой и К. Юн-Пином [3, 6]. Ими была предложена схема, описывающая протекание данной реакции, согласно которой гидратация эфира, так же как и дегидратация спирта в одинаковых условиях, в равной мере должны приводить к стадии образования этилена. Изучая при 275 и 300°C на Al_2O_3 гидратацию эфира, К. В. Топчиева и К. Юн-Пин получили высокую степень превращения для этилена, и кинетическая кривая для спирта проходила через максимум.

При постановке данного исследования нам казалось интересным изучить кинетику гидратации эфира на четырех катализаторах с различным

Таблица 1

Исходный образец	Новое название	NNaOH	Количество NaOH г/г катал
Пром. 16/84	К-Н	0,1073	0,033
Гудри	АС-IV	0,1073	0,078
	Г-III	0,475	0,123

содержанием Al_2O_3 , а также на образцах, обработанных щелочью, и сравнить полученные результаты с данными по изучению кинетики дегидратации этилового спирта на тех же образцах при одинаковых объемных скоростях и температурах.

Кинетика гидратации диэтилового эфира и дегидратации этилового спирта изучались в проточной системе по методике, описанной ранее [1]. При проведении гидратации эфир и вода в соотношении 6:1 см^3 подавались одновременно из двух бюреток. Анализ на спирт и эфир проводился как из эфирного, так и из водного слоя по методике, описанной ранее [1, 2]. В качестве объектов исследования было выбрано семь образцов катализаторов; характеристика катализаторов, обработанных щелочью, приводится в табл. 1. Изучение кинетики гидратации эфира и дегидратации спирта проводилось при 400°C при изменении объемных скоростей от 0,015 до 0,25 $\text{моль/час}\cdot\text{см}^3$, количество катализатора (5 см^3) во всех опытах оставалось постоянным.

Результаты по изучению кинетики гидратации эфира на алюмосиликатных катализаторах состава 80% Al_2O_3 ; 20% SiO_2 ; 30% Al_2O_3 ; 70% SiO_2 и 16% Al_2O_3 ; 84% SiO_2 приведены на рис. 1, 2 и 3, на рис. 4 и 5 представлены кинетические кривые реакции гидратации эфира на алюмогеле и на промышленном образце Al_2O_3 .

Как видно из рисунков, кривая выхода этилена при небольших значениях $1/\bar{v}_0$ быстро возрастает, а затем $y_{\text{эт}}$ незначительно изменяется с ростом времени контакта ($1/\bar{v}_0$). Если на алюмогеле выход этилена достигает

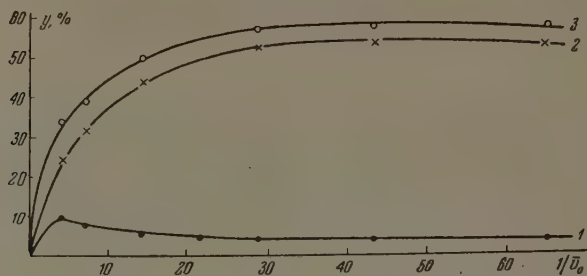


Рис. 1. Гидратация эфира на алюмосиликате 80/20 при 400°C.
1 — превращение эфира в спирт; 2 — то же в этилен; 3 — общая степень превращения

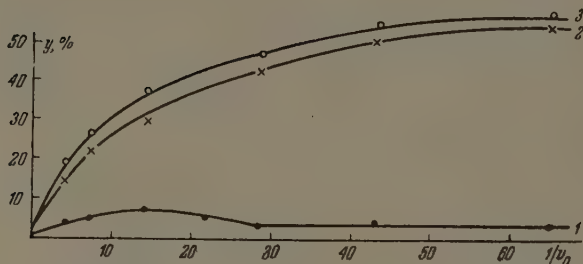


Рис. 2. Гидратация эфира на алюмосиликате 30/70 при 400°C.
1 — превращение эфира в спирт; 2 — то же в этилен; 3 — общая степень превращения

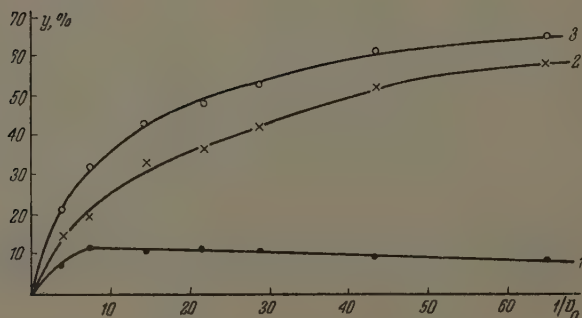


Рис. 3. Гидратация эфира на алюмосиликате 16/84 при 400°C.
1 — превращение эфира в спирт; 2 — то же в этилен; 3 — общая степень превращения

%, то для алюмосиликатов 80/20 — 53%, 30/70 — 55% и для 16/84 — 57%, т. е. с уменьшением % Al_2O_3 в катализаторе $y_{\text{эт}}$ незначительно возрастает.

Степень превращения спирта для всех изученных катализаторов проходит через не резко выраженный максимум и незначительно падает по мере увеличения времени контакта. При этом следует отметить, что спиртовой максимум при гидратации эфира с уменьшением содержания Al_2O_3 в алюмосиликате размывается и становится менее отчетливым.

Для выяснения влияния воды на изменение выхода этилена и спирта реакция гидратации эфира была изучена кинетика дегидратации эфира

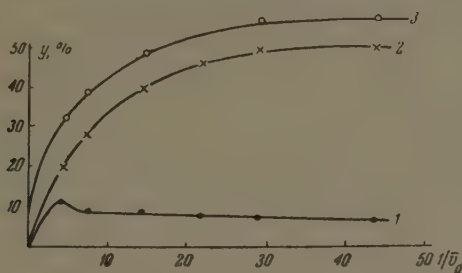


Рис. 4. Гидратация эфира на алюмогеле при 400°C. 1 — превращение эфира в спирт; 2 — то же в этилен; 3 — общая степень превращения

на алюмосиликате 16/84 (рис. 6). Выход этилена, как и следовало ожидать, увеличился, но лишь на 10%, а выход спирта снизился до 6%, вместе с тем снизился и выход этилового спирта на 10%. Интересно отметить, что при дегидратации эфира не было обнаружено максимума по кривой выхода спирта.

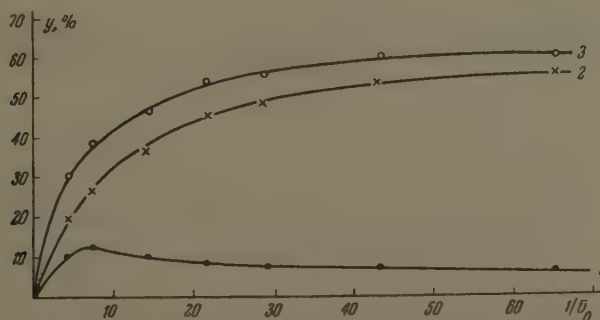


Рис. 5. Гидратация эфира на череновой окиси алюминия промышленного изготовления при 400°C. 1 — превращение эфира в спирт; 2 — то же в этилен; 3 — общая степень превращения

Для выяснения роли OH- и ONa- групп на поверхности катализатора реакции гидратации эфира представляло интерес изучить кинетику данной реакции на образцах катализаторов, обработанных щелочью (методика получения образцов катализаторов, обработанных щелочью, приведена в [11]). Кинетика гидратации эфира изучалась на К-II, АС-IV и АС-III (табл. 1); результаты опытов представлены на рис. 7, 8 и 9. При

сравнении полученных данных с результатами гидратации эфира на необработанных образцах видно, что обработка щелочью резко снижает выход этилена. Так, если для промышленной Al_2O_3 (рис. 5) выход этилена — 57%, то на К-II он подавлен до 8%, в то время как максимальное значение для спирта осталось без изменения ($\sim 12\%$), хотя максимум спирта для катализатора К-II практически исчезает.

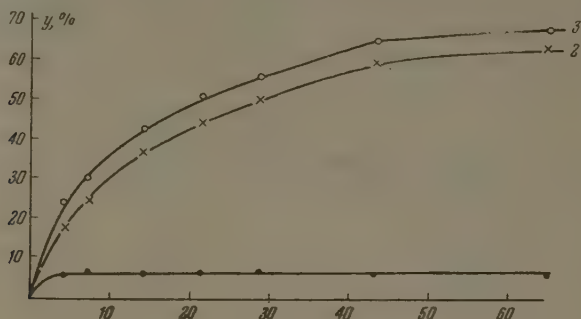


Рис. 6. Дегидратация эфира на алюмосиликате 16/84 при $400^\circ C$. 1 — превращение эфира в спирт; 2 — то же в этилен; 3 — общая степень превращения

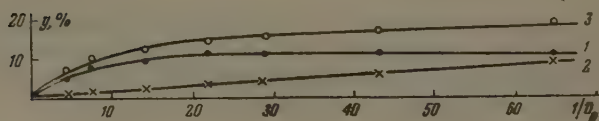


Рис. 7. Гидратация эфира на К-II при $400^\circ C$. 1 — превращение эфира в спирт; 2 — то же в этилен; 3 — общая степень превращения

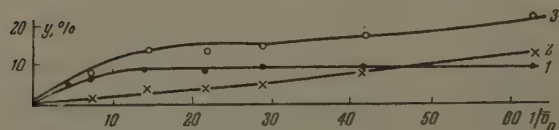


Рис. 8. Гидратация эфира на AC-IV. 1 — превращение эфира в спирт; 2 — то же в этилен; 3 — общая степень превращения

Аналогичная картина наблюдается при сравнении кинетических кривых для реакции гидратации эфира на алюмосиликате 16/84 и на образце AC-IV (табл. 1); выход этилена снижается от 58 до 12%, а максимальный выход спирта — от 10 до 7%. Выход этилена на катализаторе Г-III при гидратации эфира (рис. 9) полностью подавлен. Следовательно, рассмотрение результатов по изучению кинетики гидратации эфира на образцах катализаторов, обработанных щелочью, и сравнение их с данными кинетических исследований на исходных показывают, что превращение

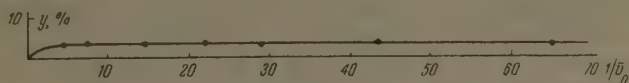


Рис. 9. Гидратация эфира на Г-III при 400°C

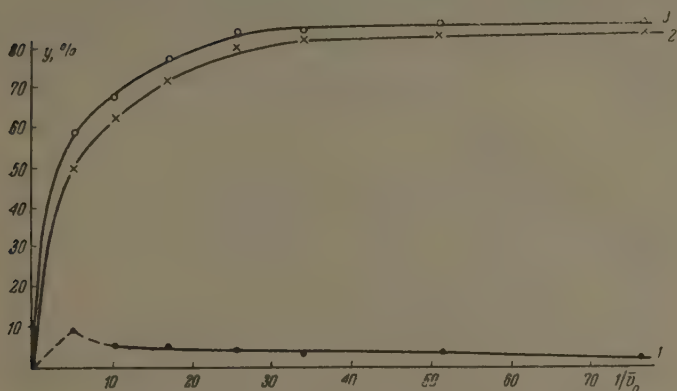


Рис. 10. Дегидратация спирта на алюмогеле при 400°C. 1 — превращение эфира в спирт; 2 — то же в этилен; 3 — общая степень превращения

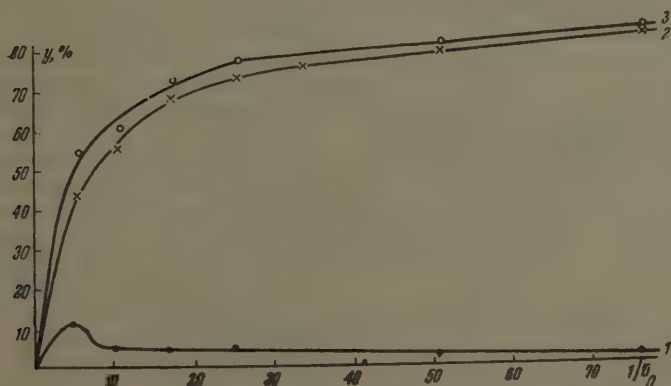


Рис. 11. Дегидратация спирта на алюмосиликате 80/20 при 400°C. 1 — превращение эфира в спирт; 2 — то же в этилен; 3 — общая степень превращения

эфира в этилен зависит от количества оставшейся щелочи на катализаторе, и последнее мало влияет на характер кинетической кривой выхода спирта.

Для того чтобы провести сравнение влияния HO- и NaO- группы на поверхности катализатора в реакциях гидратации эфира и дегидратации спирта, необходимо было изучить кинетику дегидратации этилового спирта на тех же образцах. Изучение кинетики дегидратации этилового спирта проводилось по методике, описанной ранее [1], при 400°C .

Результаты опытов представлены на рис. 10—12. Полученные кинетические кривые сходны с кривыми разложения спирта, полученными в работах К. В. Топчиевой и К. Юн-Пина [3—5]. Как видно из приводимых рисунков, максимальный выход этилена для алюмогеля равен 88%, для

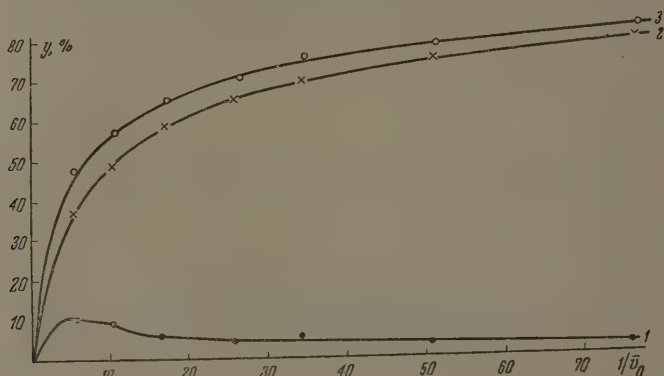


Рис. 12. Дегидратация спирта на алюмосиликате 30/70 при 400°C . 1 — превращение эфира в спирт; 2 — то же в этилен; 3 — общая степень превращения

алюмосиликатных катализаторов 80/20 — 87%, для 30/70 — 85% и для 16/84 — 83%. Кривая выхода эфира имеет резко выраженный максимум, который по мере роста $\% \text{Al}_2\text{O}_3$ сдвигается к оси ординат. После достижения максимума кривая выхода эфира с увеличением времени контакта резко спадает.

Таблица 2

Зависимость максимальных степеней превращения в этилен при гидратации эфира и дегидратации спирта в зависимости от содержания Al_2O_3

Исходный образец	Дегидратация спирта макс. Ует	Гидратация эфира макс. Ует
Черенковая Al_2O_3	83,5*	57,1
Алюмогель	86,8	51,3
80/20	85,6	54,1
30/70	83,6	54,9
16/84	80,5**	58,5

* См. работу [7];

** См. работу [1].

ции гидратации эфира, хотя в последнем это проявляется менее резко. Изучение кинетики дегидратации этилового спирта на образцах, обрабо-

анных щелочью [2], и гидратации эфира на тех же образцах показывает, что выход этилена приблизительно в одинаковой степени зависит от количества щелочи, оставшейся на катализаторе после обработки. Причем наблюдается закономерность, аналогичная той, которая обнаруживается при сравнении кинетики этих реакций на исходных алюмосиликатах разного состава, а именно, выход этилена при дегидратации на $1/3$ ниже выхода C_2H_4 при дегидратации спирта.

Следует также отметить, что достижение максимального выхода этилена для данного катализатора достигается при реакции гидратации эфира при большем времени контакта, чем при дегидратации спирта.

На рис. 13 и табл. 2 представлена зависимость максимального выхода этилена как при гидратации эфира, так и при дегидратации спирта в зависимости от процентного содержания Al_2O_3 в катализаторе. Как видно из

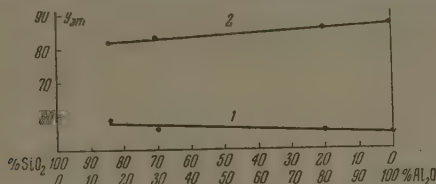


Рис. 13. Зависимость максимальных степеней превращения в этилен при 1 — гидратации эфира и 2 — дегидратации спирта в зависимости от содержания Al_2O_3

рисунка, для алюмосиликатных катализаторов, содержащих 16% Al_2O_3 и выше, наблюдается незначительное изменение в выходе этилена, а именно при дегидратации спирта — небольшое возрастание, а при гидратации эфира — незначительное уменьшение.

ВЫВОДЫ

1. Изучена кинетика гидратации эфира и дегидратации этилового спирта на алюмосиликатах разного состава и на образцах, обработанных щелочью, при температуре $400^\circ C$.

2. Показано, что степень превращения эфира в этилен при реакции гидратации эфира ниже на $\sim 1/3$, чем степень превращения спирта в этилен при дегидратации спирта.

3. Установлено, что выход этилена при гидратации эфира незначительно возрастает с уменьшением процента окиси алюминия, в то время как при дегидратации спирта линейно уменьшается.

Авторы статьи выражают глубокую благодарность проф. К. В. Топчиевой за интерес к данной работе и ценные указания.

Московский государственный
университет им. М. В. Ломоносова

Поступила
11. VII. 1956

ЛИТЕРАТУРА

1. Т. В. Антипина и М. Д. Сипицына, Вестн. МГУ, №1, 137, 1957.
2. Т. В. Антипина и О. В. Исаев, Журн. физ. химии, 31, 2078, 1957.
3. К. В. Топчиева, К. Юн-Пин, ДАН, 101, 305, 1955.
4. К. В. Топчиева и К. Юн-Пин, Журн. физ. химии, 24, 1678, 1956.
5. К. В. Топчиева и К. Юн-Пин, Журн. физ. химии, 24, 1854, 1956.
6. К. В. Топчиева и К. Юн-Пин, Журн. физ. химии, 24, 2076, 1956.
7. Т. В. Антипина и М. Д. Сипицына, Журн. физ. химии, 30, 2478, 1956.

THE EFFECT OF THE COMPOSITION OF ALUMOSILICATE CATALYSTS ON THE HYDRATION OF DIETHYL ETHER AND DEHYDRATION OF ETHYL ALCOHOL

T. V. Antipina, O. V. Isaev (Moscow)

Summary

The kinetics of ether hydration and alcohol dehydration have been investigated on aluminosilicate catalysts of varying composition, as well as on specimens treated with alkali at 400°C.

The degree of conversion of the ether to ethylene in the hydration reaction has been shown to be lower by 1/3 than the conversion of alcohol to ethylene on dehydration. The yield of ethylene in the dehydration of ether increases only slightly with decrease in aluminum oxide, whereas during dehydration of the alcohol a linear decrease takes place.

РАСПРЕДЕЛЕНИЕ ТОКА НА ПЛОСКИХ ПАРАЛЛЕЛЬНЫХ ЭЛЕКТРОДАХ В ПРЯМОУГОЛЬНОМ ЭЛЕКТРОЛИЗЕРЕ

Л. И. Каданер и В. М. Цукерник

В предыдущих статьях [1, 2] одним из авторов были рассмотрены аналитические методы распределения тока на бесконечно длинных электродах. При этом было показано, что полученные решения могут быть применены в известных случаях для электродов конечных размеров, и предложен способ оценки точности полученных результатов в зависимости от геометрических параметров, характеризующих рассматриваемую систему электродов.

В настоящей работе приводится точный метод расчета распределения тока для случая плоских параллельных электродов конечных размеров, размещенных в электролите, ограниченном непроводящими стенками (рис. 1).

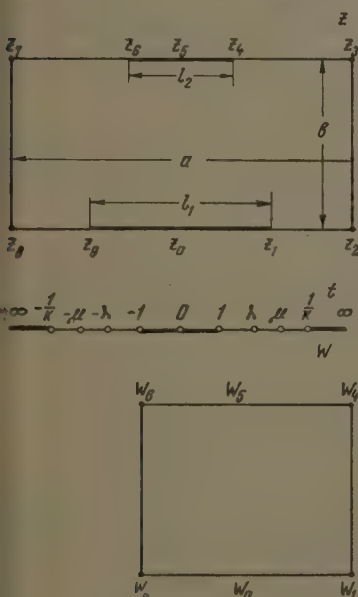


Рис. 1. Схема электролизера и конформно-преобразованных областей

ских параллельных электродов конечных размеров, размещенных в электролите, ограниченном непроводящими стенками (рис. 1).

Рассматриваемая система моделирует весьма важные и распространенные в промышленности случаи расположения электродов в электролизере, и поэтому излагаемое решение, помимо методического значения, представляет интерес для непосредственного использования в технологических расчетах.

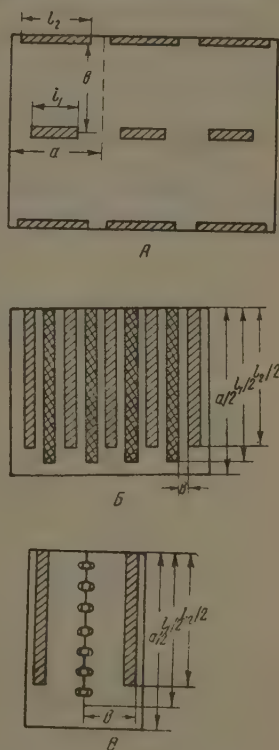


Рис. 2. Установки, моделируемые рассматриваемым в статье электролизером

Так, в частности, изображенная на рис. 1 система электродов моделирует случай, когда плоские предметы (различные пластины) размещаются между плоскими электродами в стационарных и автоматических гальванических ваннах (рис. 2, А).

Ввиду симметричного расположения электродов рассматриваемая система моделирует расположение электродов в самых различных гидроэлектрометаллургических установках — для рафинирования меди, для электроэкстракции меди, цинка, никеля и т. д. (рис. 2, Б).

В первом приближении полученные нами формулы могут быть использованы для расчета распределения тока по высоте подвески с покрываемыми деталями при заданных размерах гальванической ванны (рис. 2, А) и т. д.

РАСЧЕТ РАСПРЕДЕЛЕНИЯ ТОКА В ОТСУТСТВИЕ ПОЛЯРИЗАЦИИ

В отсутствие поляризации поверхности рассматриваемых электродов Z_1Z_9 и Z_4Z_6 эквипотенциальны. Положим потенциал анода $\psi_a = \psi$ и потенциал катода $\psi_k = 0$.

Отобразим конформно область, ограниченную прямоугольником на рис. 1, на верхнюю полуплоскость так, чтобы точки z_0, z_1, z_5 переходили соответственно в точки $0, 1, \infty$ на вещественной оси. При этом точки z_2, z_3, z_4 перейдут в некоторые точки λ, μ и $1/k$ вещественной оси, причём благодаря сохранению направления обхода границ, $1 < \lambda < \mu < 1/k$ [3].

Тогда искомое отображение осуществляется интегралом Кристоффеля — Шварца, который в данном случае при указанном соответствии точек границ имеет вид:

$$Z = C \int_0^t \frac{dt}{\sqrt{(t^2 - \lambda^2)(t^2 - \mu^2)}}.$$

Значения постоянных C, λ, μ и k определяются из уравнений:

$$\frac{a}{2} = C \int_0^\lambda \frac{dt}{\sqrt{(\lambda^2 - t^2)(\mu^2 - t^2)}};$$

$$\frac{l_1}{2} = C \int_0^1 \frac{dt}{\sqrt{(\lambda^2 - t^2)(\mu^2 - t^2)}};$$

$$b = C \int_\lambda^\mu \frac{dt}{\sqrt{(\lambda^2 - t^2)(\mu^2 - t^2)}};$$

$$\frac{l_2}{2} = C \int_{1/k}^\infty \frac{dt}{\sqrt{(t^2 - \lambda^2)(t^2 - \mu^2)}},$$

выражающих размеры электродов и электролизера. Интегралы (2) — (4) являются эллиптическими. Приведем их к каноническому виду при помощи замены переменной интегрирования. Вводя переменную φ в (2) (3) равенством $t = \lambda \sin \varphi$, в (4) — равенством $t^2 = \mu^2 - (\mu^2 - \lambda^2) \sin^2 \varphi$

а в (5) $t = \frac{\mu}{\sin \varphi}$ получим

$$\frac{l_1}{2} = \frac{C}{\mu} \int_0^{\arcsin \frac{1}{\lambda}} \frac{d\varphi}{\sqrt{1 - \frac{\lambda^2}{\mu^2} \sin^2 \varphi}};$$

$$\frac{a}{2} = \frac{C}{\mu} \int_0^{\pi/2} \frac{d\varphi}{\sqrt{1 - \frac{\lambda^2}{\mu^2} \sin^2 \varphi}};$$

$$b = \frac{C}{\mu} \int_0^{\pi/2} \frac{d\varphi}{\sqrt{1 - \frac{\mu^2 - \lambda^2}{\mu^2} \sin^2 \varphi}}; \quad (8)$$

$$\frac{l_2}{2} = \frac{C}{\mu} \int_0^{\arcsin k\mu} \frac{d\varphi}{\sqrt{1 - \frac{\lambda^2}{\mu^2} \sin^2 \varphi}}, \quad (9)$$

Интегралы (6) — (9) удобнее для вычислений, поскольку они табулированы. Для нахождения постоянных C , λ , μ и k вычисления проводятся следующим образом.

Из (7) и (8)

$$\frac{K(V\sqrt{1 - (\lambda/\mu)^2})}{K(\lambda/\mu)} = \frac{\pi}{2} \frac{b}{a}, \quad (10)$$

$$K\left(\frac{\lambda}{\mu}\right) = \int_0^{\pi/2} \frac{d\varphi}{\sqrt{1 - \frac{\lambda^2}{\mu^2} \sin^2 \varphi}}. \quad (11)$$

полный эллиптический интеграл первого рода.

Таблица

Соотношения между элементами полных эллиптических интегралов первого рода

$\frac{K(V\sqrt{1 - (\lambda/\mu)^2})}{K(\lambda/\mu)}$	$K\left(\frac{\lambda}{\mu}\right)$	$\theta = \arcsin \frac{\lambda}{\mu}$	$\frac{\lambda}{\mu} = \sin \theta$	$\frac{K(V\sqrt{1 - (\lambda/\mu)^2})}{K(\lambda/\mu)}$	$K\left(\frac{\lambda}{\mu}\right)$	$\theta = \arcsin \frac{\lambda}{\mu}$	$\frac{\lambda}{\mu} = \sin \theta$
8,66	1,571	0°00'01"	0,000005	0,823	2,08	57°	0,839
7,21	1,571	0°00'10"	0,000048	0,660	2,46	69°	0,934
5,81	1,571	0°00'30"	0,000436	0,549	2,90	77°	0,974
4,82	1,571	0°07'	0,00204	0,451	3,50	83°	0,992
4,05	1,571	0°24'	0,007	0,363	4,34	87°	0,999
3,34	1,571	1°12'	0,021	0,299	5,25	88°48'	1,000
2,76	1,572	3°	0,052	0,248	6,35	89°36'	1,000
2,22	1,577	7°	0,122	0,207	7,58	89°53'	1,000
1,82	1,591	13°	0,225	0,173	9,12	89°58'30"	1,000
1,51	1,625	21°	0,358	0,139	11,33	89°59'50"	1,000
1,21	1,712	33°	0,545	0,116	13,60	89°59'59"	1,000
1,0	1,854	45°	0,707				

Из (10) при данных a и b находится отношение λ/μ при помощи таблицы [3], а по найденному значению λ/μ находится $K(\lambda/\mu)$ по таблице эллиптических интегралов [4]. Из (6) и (7)

$$\frac{l_1}{a} K\left(\frac{\lambda}{\mu}\right) = \int_0^{\arcsin \frac{1}{\lambda}} \frac{d\varphi}{\sqrt{1 - \frac{\lambda^2}{\mu^2} \sin^2 \varphi}}. \quad (12)$$

По таблице эллиптических интегралов находится λ при данных μ и $K(\lambda/\mu)$. По данным λ и λ/μ находится μ . Из (7) и (9)

$$\frac{l_2}{a} K\left(\frac{\lambda}{\mu}\right) = \int_0^{\arcsin \mu k} \frac{d\varphi}{\sqrt{1 - \frac{\lambda^2}{\mu^2} \sin^2 \varphi}}. \quad (13)$$

Это равенство позволяет найти k . Наконец, из (7)

$$C = \frac{\int \mu a}{2K(\lambda/\mu)}. \quad (1)$$

Для окончательного решения задачи отобразим конформно верхнюю полуплоскость на область, ограниченную прямоугольником в плоскости W комплексного потенциала соответствием точек $(0, 1, 1/k) \sim (0, W_1, W_2)$. Это отображение дается интегралом

$$W = C' \int_0^t \frac{dt}{\sqrt{(1-t^2)(1-k^2t^2)}}. \quad (1)$$

Участок W_4W_6 в плоскости W соответствует аноду z_4z_6 в плоскости Z . Поэтому на участке W_4W_6 $ImW = \psi$, где ψ — потенциал анода. Тогда из (1)

$$\psi = C' \int_0^{1/k} \frac{dt}{\sqrt{(t^2-1)(1-k^2t^2)}}. \quad (1)$$

Вводя новую переменную интегрирования φ при помощи равенства $t^2 = 1/k^2 - (1/k^2 - 1)\sin^2 \varphi$, получим

$$\begin{aligned} \psi &= C' \int_0^{\pi/2} \frac{d\varphi}{\sqrt{1 - (1-k^2)\sin^2 \varphi}} = \\ &= C' K(\sqrt{1-k^2}). \end{aligned}$$

Отсюда

$$C' = \frac{\psi}{K(\sqrt{1-k^2})}. \quad (1)$$

Формулы (15) и (1) дают искомого распределение потенциала в параметрической форме.

Найдем теперь напряженность поля. Как известно, величина напряженности поля определяется равенством $E = \left| \frac{dW}{dz} \right|$. В нашем случае это дает

$$E = \frac{C'}{C} \left| \frac{\sqrt{(t^2-\lambda^2)(t^2-\mu^2)}}{\sqrt{(1-t^2)(1-k^2t^2)}} \right|. \quad (1)$$

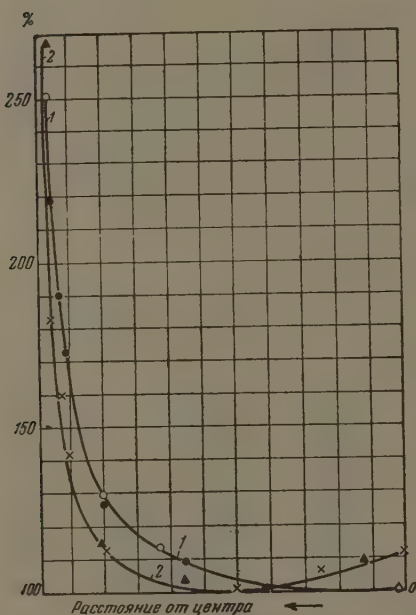


Рис. 3. Распределение плотностей тока на катоде. 1 — $a=596$ мм; $b/a=0,83$; $l_1/a=0,725$; $l_2/a=1$. Расчетные величины обозначены темными кружками, экспериментальные — светлыми кружками. 2 — $a=596$ мм; $b/a=0,83$; $l_1/a=0,725$; $l_2/a=0,564$. Расчетные величины обозначены звездочками, экспериментальные — треугольниками

Для нахождения напряженности поля на катоде следует учесть, что на катоде z вещественно, причем $|z| \leq l_1/2$. На плоскости t это соответствует отрезок $|t| \leq 1$ вещественной оси. Поэтому для точки катода из (18) получаем

$$E = \frac{C'}{C} \sqrt{\frac{(\lambda^2 - t^2)(\mu^2 - t^2)}{(1-t^2)(1-k^2t^2)}} \quad (t^2 \leq 1). \quad (1)$$

Для исключения параметра t сделаем в (1) замену переменной, вводя новую переменную интегрирования $\tau = t/\lambda$. Тогда

$$Z = \frac{C}{\mu} \int_0^{t/\lambda} \frac{d\tau}{\sqrt{(1-\tau^2)(1-[(\lambda^2/\mu^2)\tau^2])}}. \quad (20)$$

Положив $\tau = \sin \varphi$, получим

$$Z = \frac{C}{\mu} \int_0^{\arcsin \frac{t}{\lambda}} \frac{d\varphi}{\sqrt{1-(\lambda^2/\mu^2)\sin^2 \varphi}}. \quad (21)$$

на катоде $y=0$, $z=x$, откуда

$$\frac{\mu x}{C} = \int_0^{\arcsin \frac{t}{\lambda}} \frac{dt}{\sqrt{1-(\lambda^2/\mu^2)\sin^2 \varphi}}. \quad (22)$$

Получаясь значениями x из (22), по таблице эллиптических интегралов находим t/λ , затем t и определяем напряженность E в точке x . Используя известное соотношение, находим плотность тока

$$D_p = E/\rho.$$

При достаточно больших расстояниях между электродами и малой пористости электродов (в кислых медных и цинковых электролитах, электролитах для хромирования и никелирования) действительное распределение плотностей тока будет мало отличаться от расчетного, и поэтому данные расчета могут быть непосредственно использованы для выбора оптимальных геометрических параметров электролизеров.

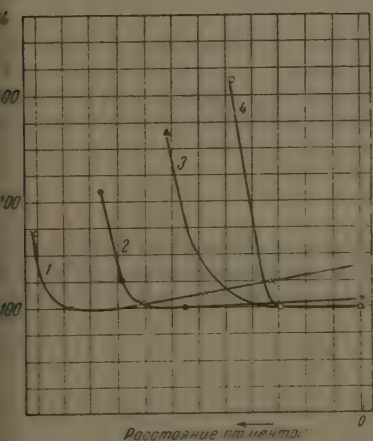


Рис. 4. Распределение плотностей тока на катоде. Значения параметров: $b/a = 0,83$; $l_2/a = 0,178$; 1— $I_1/a = 0,9$; 2— $I_1/a = 0,725$; 3— $I_1/a = 0,57$; 4— $I_1/a = 0,396$

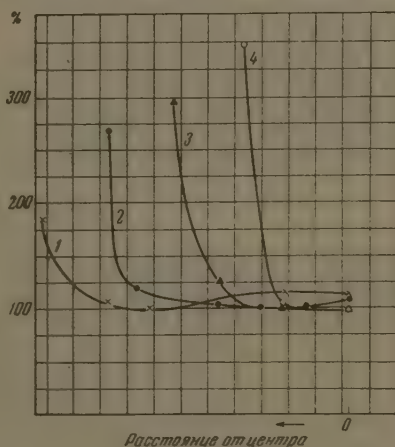


Рис. 5. Распределение плотностей тока на катоде. Значения параметров: $b/a = 0,83$; $l_2/a = 0,564$. 1— $I_1/a = 0,9$; 2— $I_1/a = 0,725$; 3— $I_1/a = 0,75$; 4— $I_1/p = 0,396$

На рис. 3 приведены расчетные (без учета поляризации) и экспериментальные кривые распределения тока на катоде. Экспериментальные кривые получены на установке, описанной в работе [5], в электролизере

с размерами $a = 596$, $b = 248$ и $h = 45$. Состав электролита: $\text{CuSO}_4 \cdot 5\text{H}_2\text{O} - 200$ г/л, $\text{H}_2\text{SO}_4 - 50$ г/л; $t^\circ = 20^\circ$. Средняя плотность тока $0,7 \text{ A}/\text{см}^2$. Удовлетворительное совпадение экспериментальных и теоретических кривых подтверждает отмеченную нами возможность непосредственного использования расчетных данных.

На рис. 4 и 5 приведены кривые распределения тока (экспериментальные) для различных соотношений параметров.

РАСЧЕТ РАСПРЕДЕЛЕНИЯ ТОКА С УЧЕТОМ ПОЛЯРИЗАЦИИ

Для расчета используем способ, описанный в ранее опубликованной работе [1]. Положим минимальную плотность тока равной D_0 . Рассчитав плотности тока без учета поляризации, по поляризационной кривой находим соответственно для каждого участка значение катодного потенциала.

Далее составляем эквивалентную схему, в которой силовые трубки представлены в виде системы параллельно соединенных проводников. Положив равным нулю потенциал участка катода в точке с плотностью тока D_0 и потенциалом ϕ_0 ; соответственно для каждого участка катода определим величину потенциала $(\phi_{ki} - \phi_0) = \Delta\phi_{ki} = f(D_i)$,

Составляем расчетное уравнение для каждого участка:

$$D_0 h \frac{1}{dG_0} ds = D_i h \frac{ds}{dG_i} + f(D_i); \quad (23)$$

где $f(D_i) = \Delta\phi_{ki}$ — приращение потенциала катода на участке x_i относительно потенциала на участке с плотностью тока D_0 ; D_0 — минимальная плотность тока; D_i — плотность тока на участке x_i с учетом катодной поляризации; dG_0 — проводимость трубки электролита, опирающейся на участок с минимальной плотностью тока, dG_i — проводимость трубки электролита, опирающейся на участок с плотностью тока D_i ; h — размер электродов в направлении, перпендикулярном рассматриваемой плоскости.

Уравнение (23) может быть легко решено относительно D_i графически или методом итераций.

Предварительно для решения уравнения (23) определяем величину проводимости трубок электролита, опирающихся на соответствующий участок катода из соотношения

$$\frac{I}{G_0} = D_{ip} h \frac{ds}{dG_i}, \quad (24)$$

где $G_0 = 1/R_0$ — проводимость электролита в рассматриваемом электролизере; I — Полная сила тока D_{ip} — расчетная плотность тока (без учета поляризации). Величину G_0 рассчитываем по формуле В. Смирнова [3]

$$G_0 = \frac{1}{R_0} = \frac{2hK(\lambda/\mu)}{eK(\sqrt{1 - (\lambda/\mu)^2})}. \quad (25)$$

Рассчитав величины проводимостей, определяем соответствующие значения плотностей тока с учетом катодной поляризации из (23)

ВЫВОДЫ

Предложен метод расчета и выведены расчетные формулы для определения плотности тока на катоде для двух плоских противолежащих электродов разной ширины, помещенных в электролизер прямоугольной формы (с конечными размерами).

ЛИТЕРАТУРА

- Л. И. Када нер, Журн. физ. химии, 30, 1560, 1956.
Л. И. Када нер, Журн. физ. химии, 30, 1760, 1956.
В. И. Смирнов, Электричество, № 9, 55, 1953.
Ю. С. Сякорский, Элементы теории эллиптических функций с приложениями к механике, ОНТИ НКТП, М.—Л., 1936, приложения.
Л. И. Када нер, Журн. физ. химии, 29, 832, 1955.
-

CURRENT DISTRIBUTION ON PLANE PARALLEL ELECTRODES
IN A RECTANGULAR ELECTROLYZER*L. I. Kadaner and V. M. Tsukernik (Kharkhov)*

Summary

A method of calculation is suggested and formulae are deduced for the determination of current density on the cathode in the case of two plane electrodes of unequal breadth placed opposite to each other in a rectangular electrolyzer of finite dimensions.

ОБ АССОЦИИ БЕНЗОЛА

Ф. Ф. Чешко

Молекулярное состояние жидкостей исследовал еще П. Н. Павлов [1]. Им были разобраны многочисленные экспериментальные данные и общие формулы Этвеша [2], Юнга [3], Рамзея и Шильдса [4], Беккера [5], Вальдена [6], Кистяковского [7, 8]. Критерием молекулярного состояния жидкостей служили термические коэффициенты поверхностного натяжения и молярного объема. Отклонением их значений от некоторых постоянных, характеризующих нормальные жидкости, обнаруженным для жидкого бензола вдали от температуры кипения, П. Павлов обосновал представление об ассоциации бензольных молекул.

По температурному коэффициенту удельной теплоты испарения, выведенному Льюисом [9] из правила Трутона [10—12], бензол не отличается от нормальных жидкостей. Вблизи температуры кипения, следовательно, ассоциация бензола не наблюдается [9, 13, 14]. Это согласуется и со значением величины парциального давления пара бензола вблизи температуры кипения его растворов [15].

Правильно интерполированные данные Скляра [16] по температурной зависимости магнитной восприимчивости свидетельствуют о том, что около 40° начинает изменяться молекулярное состояние бензола. В названных исследованиях намечается влияние температуры на ассоциацию молекул бензола.

Энергия межмолекулярного взаимодействия в конденсированной (жидкой) фазе бензола, обуславливающая ассоциацию, компенсируется за счет теплоты испарения. Пренебрежение принципом взаимной компенсации этих двух величин приводит к различию во взглядах на ассоциацию бензола [9, 14, 17, 18]. Ассоциация бензола обнаруживается лишь вдали от температуры кипения; приближение температуры жидкого бензола к точке кипения лишает исследователя возможности заметить ассоциацию.

Бриглеб [19] показал, что константа Керра, приведенная к одной плотности и температуре, различна для бензола жидкого и газообразного

$$K_{C_6H_6, \text{жидк}} = 6,2 \cdot 10^{-15}, \quad K_{C_6H_6, \text{газ}} = -8,5 \cdot 10^{-15}.$$

Эффект Керра очень чувствителен к межмолекулярному взаимодействию. Можно считать, что в газообразном состоянии между молекулами бензола отсутствует взаимодействие. Вдали же от температуры кипения в жидком бензоле действуют межмолекулярные силы, устраняющие беспорядочность. Они тем значительнее, чем меньше расстояние между молекулами, т. е. чем больше плотность в конденсированной фазе. Поэтому разница в константе Керра является прямой функцией ассоциации бензола [20].

Лауер и Ода [21] изучили кинетику бромирования и смещение полос поглощения бензола в различных растворителях вдали от температуры кипения. Они обнаружили обратную зависимость скорости реакции от концентрации реагентов и сходство поглощения бензола в конденсированной фазе с поглощением сольватированных молекул. Свои наблюдения Лауер и Ода истолковали как экспериментальное доказательство ассоциации бензольных молекул в конденсированной (жидкой) фазе.

Автор [22] исследовал избирательность ультрафиолетового поглощения жидкого бензола вдали от температуры кипения. В конденсированной фазе вещества молекула никогда не избавлена [23, 24] от кинетических

аров и воздействия силовых полей окружающих молекул. Статистическое распределение молекул неотделимо от фактора массы вещества [5]. Поэтому колебательная полоса поглощения конденсированной фазы бензола (рис. 1) совершенно размыта. Вследствие статистического влияния соседних молекул, находящихся на разных расстояниях, она приобретает вид кривой вероятности. Размытая малоинтенсивная длинноволновая полоса в спектре ультрафиолетового поглощения жидкого бензола характеризует колебательную энергию [26] бензольного ассоциата.

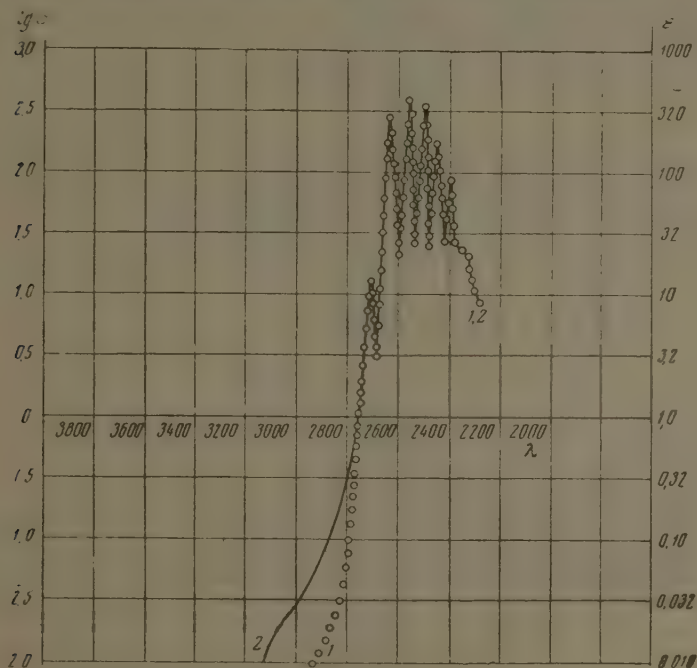


Рис. 1. Кривые спектров ультрафиолетового поглощения бензола при 20°C: 1 — непосредственно после синтеза, 2 — через два года после синтеза [22]

Таковы экспериментальные факты и теоретические соображения, наводящие на мысль об ассоциации бензольных молекул в конденсированной (жидкой) фазе вдали от температуры кипения.

Замкнутость химического строения молекулы бензола, которая ограждает ее электронную систему от воздействия электрических полей соседних молекул, и ее неполярность исключают электростатический механизм ассоциации.

Присущая молекуле бензола анизотропия диамагнитной восприимчивости, поляризуемости [26] и светопоглощения (дихроизм) [27], обусловлена построением металлической модели бензольного кольца [26, 28, 29]. Электронная система бензольного кольца металлоподобна. π -электроны целиком полностью делокализованы в поле шести силовых ядерных центров и играют роль электронов проводимости. Порядок симметрии [30], значения межatomных расстояний [31] и теплот разрыва связей [32], отсутствие дипольного момента [33] согласуются с металлической моделью.

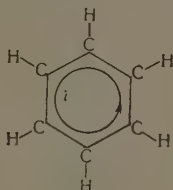
Число носителей π -электронного тока в молекулярных сопряженных системах, описываемых металлической моделью, не зависит от темпе-

ратуры и определяется исключительно химическим строением. В температурном интервале устойчивости органических соединений, при определенном функциональном составе, при определенном взаимодействии функциональных групп число носителей π -электронного тока остается постоянным. Таковы признаки металлических свойств [26, 34] молекулярных сопряженных систем, высшей и наиболее экономной формой которых является бензольное кольцо.

Сопротивление π -электронному току в бензольном кольце отсутствует. Если бы с π -электронным током сочеталась некая э. д. с., то его энергия расходовалась бы на джоулево ротационное и вибрационное тепло, и ток затухал бы соответственно уравнению

$$L \frac{di}{dt} + Ri = 0,$$

где L — самоиндукция, R — сопротивление [35]. Бензольное кольцо действует как углеродный контур, по которому течет ток сверхпроводимости. Бензольное кольцо может рассматриваться как сверхпроводник с замкнутым π -электронным током по его периметру.



В цепи шести углеродных атомов, включающей три сопряженные кратные связи, возможны лишь односторонние отливы и приливы π -электронов при ее поляризации. Замыкание такой цепи в бензольное кольцо открывает π -электронной волне непрерывный путь. Устанавливается π -электронный ток по периметру бензольного кольца, представляющего собой сверхпроводник. В молекулярной системе бензола, благодаря ее копланарности, току сверхпроводимости нет индукционных помех. Результирующий магнитный поток параллелен оси бензольного кольца; плотность его постоянна; силовые линии магнитного потока взаимно параллельны; скалярный магнитный потенциал в каждой копланарной точке внутри контура равен $i/2$ [36]. Магнитное поле, направленное перпендикулярно плоскости контура, обуславливает коаксиальную ориентацию бензольных молекул как магнитных диполей (рис. 2). Магнитное взаимодействие бензольных колец ориентирует их так, чтобы поток магнитной напряженности был наибольшим. Это достигается параллельным расположением колец как контуров с π -электронным током.

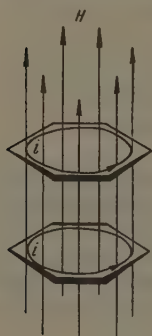


Рис. 2. Коаксиальная ориентация бензольных колец как контуров с π -электронным током

При обсуждении межмолекулярного взаимодействия, вследствие замкнутости электронной и ядерной систем бензола, внутримолекулярными степенями свободы можно пренебречь. Мы полагаем возможность ассоциации бензола в конденсированной (жидкой) фазе только за счет магнитных свойств бензольного кольца как углеродного контура с π -электронным током. Магнитной ассоциации бензола препятствует только тепловое движение его молекул. Вне магнитной ассоциации состояние бензола следует полагать идеальным, т. е. лишенным межмо-

кулярного взаимодействия, и столкновения его молекул — упругими. Средняя кинетическая энергия молекулы бензола в состоянии термодинамического равновесия E_k полагается независимой от ее химической и физической природы и пропорциональной абсолютной температуре [37, 38].

Пользуясь металлической моделью, можно оценить магнитную энергию молекулы бензола в жидкой фазе и сопоставить ее с энергией теплового движения.

Фактором магнитных проявлений служит π -электронный ток в контуре, описанном в бензольную гексагональную систему. Сила π -электронного тока i пропорциональна количеству заряда π -электронов ne , проходящих через поперечное сечение бензольного сверхпроводника в единицу времени, т. е. пропорциональна циклической частоте $v/2\pi r$ шести π -электронов сверхпроводимости по контуру, вписанному в бензольную гексагональную систему [28, 39]:

$$i = ne \frac{v}{2\pi r},$$

где n — количество π -электронов трех сопряженных двойных связей бензольном кольце, равное 6; e — заряд электрона, равный $4,8025 \cdot 10^{-10}$ CGSE [40, 41]; r — радиус контура, вписанного в бензольную гексагональную систему, равный $1,39 \cdot 10^{-8} \cos 30^\circ = 1,39 \cdot 10^{-8} \cdot 0,860 = 1,2037 \cdot 10^{-8}$ см [31]; v — скорость обращения электрона по контуру, описанному в бензольную гексагональную систему, равная скорости электрона на орбите углеродного атома.

Скорость v обращения шести электронов по периметру бензольного кольца не отличается от их скорости на орбитах углеродных атомов, составляющих кольцо. Изменение скорости требует затраты энергии, т. е. работы под действием внешней, по отношению к кольцу силы. Следствием потери энергии было бы затухание обращения электронов. Незатухающий π -электронный ток означает, что на бензольное кольцо распространяется первый постулат Бора.

Для вычисления скорости v электрона на орбите углеродного атома воспользуемся уравнением движения электрона в поле центрального заряда (ядра) [42]:

$$\frac{mv^2}{r_C} = \frac{z_C e^2}{r_C^2},$$

где m — масса электрона, равная $9,107 \cdot 10^{-28}$ г [40, 41]; z_C — число Менделеева—Мозли для углерода, равное 6; r_C — радиус углеродного атома в составе бензольного кольца, равный $0,695 \cdot 10^{-8}$ см [31, 43]. Отсюда

$$v = e \sqrt{\frac{z_C}{mr_C}} = 4,8025 \cdot 10^{-10} \sqrt{\frac{6}{9,107 \cdot 10^{-28} \cdot 0,695 \cdot 10^{-8}}} = 4,6757 \cdot 10^8 \text{ см/сек.}$$

Вычисляем силу π -электронного тока:

$$i = 6 \cdot 4,8025 \cdot 10^{-10} \frac{4,6757 \cdot 10^8}{2 \cdot 3,1415 \cdot 1,2037 \cdot 10^{-8}} = 17,8149 \cdot 10^6 \text{ CGSE.}$$

Средняя напряженность \bar{H} результирующего магнитного потока в центре бензольного кольца может быть вычислена по формуле закона Био-Савара — Лапласа [39, 44, 45], которая для рассматриваемого случая выразится в виде:

$$\bar{H} = \oint \frac{ir \, d\alpha}{cr} = \frac{i}{cr} \int_0^{2\pi} d\alpha = \frac{2\pi i}{cr},$$

c — скорость распространения электромагнитных волн в вакууме, равная $2,9977 \cdot 10^{10}$ см/сек [40, 41]. Следовательно,

$$\bar{H} = \frac{2 \cdot 3,1415 \cdot 17,8159 \cdot 10^6}{2,9977 \cdot 10^{10} \cdot 1,2037 \cdot 10^{-8}} = 31,0204 \cdot 10^4 \text{ эрст.}$$

Пондеромоторные силы результирующего магнитного поля противодействуют тепловому движению бензольного сверхпроводника. В неподвижном бензольном кольце с постоянным π -электронным током и изменением магнитной энергии, и механическая работа равны нулю. Механическая работа может совершаться лишь при перемещении бензольного сверхпроводника, с чем связана э. д. с. индукции.

Изменение магнитной энергии равно суммарному изменению всех прочих видов энергии. Пондеромоторные силы определены на основе закона сохранения энергии. Работа пондеромоторных сил магнитного поля постоянного замкнутого π -электронного тока равна убыли потенциальной функции бензольного кольца.

Всю магнитную энергию бензольного кольца для изотермических процессов и для диа- и парамагнитных сред мы полагаем локализованной в поле. Выразим на основании теоремы Гаусса и векторных преобразований среднюю магнитную энергию \bar{E}_m замкнутого π -электронного тока бензольного кольца в форме интеграла по всему объему полного поля этого тока, как энергию поля [39, 44, 46]:

$$\bar{E}_m = \frac{1}{8\pi} \int \overline{HB} dv + \frac{1}{8\pi} \oint [\overline{HA}]_n dS.$$

Под полным магнитным полем тока понимается область пространства v_{20° , охватывающая ток и все поле этого тока. Интегрирование по всему объему полного поля тока обращает интеграл по пограничной поверхности поля в нуль:

$$\bar{E}_m = \frac{1}{8\pi} \int \overline{HA} dv.$$

Энергия магнитного взаимодействия в отсутствие ферромагнетиков может быть интерпретирована как энергия поля и как энергия взаимодействия токов. В квазистационарных полях оба понимания магнитной энергии равноправны. В отсутствие ферромагнетиков $\bar{B} = \mu \bar{H}$ в пространстве между молекулами $\mu = 1$, $\bar{B} = \bar{H}$;

$$\bar{E}_m = \frac{1}{8\pi} \int_0^{v_{20^\circ}} \bar{H}^2 dv = \frac{1}{8\pi} H^2 v_{20^\circ}.$$

Среднее макроскопическое значение энергии магнитного поля определяется квадратом средней напряженности истинного микроскопического поля [39, 44, 46]. Магнитная поляризация молекул бензола осуществляется изотермически. Виртуальные процессы — обратимы. Плотность энергии магнитного поля является плотностью свободной энергии в термодинамическом смысле, соответственно второму началу термодинамики [47, 48].

Область пространства v_{20° , охватывающая замкнутый π -электронный ток и его поле, является объемом молекулы бензола при 20° C в жидкой фазе. Она зависит от геометрических молекулярных форм и от межмолекулярного взаимодействия [49]:

$$v_{20^\circ} = \frac{M_{C_6H_6}}{d_4^{20} N};$$

$M_{C_6H_6}$ — молекулярный вес бензола, равный 78,108 г [50]; N — число Авогадро, равное $6,0228 \cdot 10^{23}$ [28, 43]; d_4^{20} — плотность бензола при

20° С, равная 0,87866 г/см³ [51]. Следовательно,

$$v_{20^\circ} = \frac{78,108}{0,87866 \cdot 6,0228 \cdot 10^{23}} = 14,7606 \cdot 10^{-23} \text{ см}^3.$$

Вычисляем среднюю энергию магнитного поля π -электронного тока бензольного кольца:

$$\begin{aligned} \overline{E}_M &= \frac{1}{8 \cdot 3,1415} (31,0204 \cdot 10^4)^2 14,7606 \cdot 10^{-23} = 5,6481 \cdot 10^{-13} \text{ эрг} = \\ &= 8,1342 \text{ ккал/моль}. \end{aligned}$$

Такова величина средней магнитной энергии бензольной молекулы, характеризующей ее способность к ассоциации в жидкой фазе при 20° С.

Среднее значение энергии теплового движения \overline{E}_K , препятствующей магнитной ассоциации, можно найти на основе того, что абсолютная температура является мерой, характеризующей среднюю кинетическую энергию молекулы бензола [37, 38].

$$\overline{E}_K = \frac{3}{2} kT^\circ;$$

k — константа Больцмана, равная $1,3805 \cdot 10^{-16}$ эрг/град [28, 43]; T° — абсолютная температура. Следовательно,

$$\overline{E}_K = \frac{3}{2} 1,3805 \cdot 10^{-16} \cdot 293,16 = 6,07 \cdot 10^{-14} \text{ эрг}.$$

Сопоставление магнитной энергии E_M молекулы бензола в жидкой фазе с кинетической энергией ее теплового движения E_K показывает разницу в один порядок:

$$\frac{\overline{E}_M}{\overline{E}_K} = \frac{5,6481 \cdot 10^{-13}}{6,07 \cdot 10^{-14}} = 9,3.$$

Упорядочивающее магнитное взаимодействие бензольных колец почти в 10 раз интенсивней беспорядочного теплового движения:

$$\overline{E}_M = 9,3 \overline{E}_K$$

В жидкой фазе, вдали от температуры кипения (например, при 20° С), ассоциация бензола осуществима за счет магнитного межмолекулярного взаимодействия. В этих условиях энергия теплового движения недостаточна для противодействия магнитной ассоциации; тепловые флуктуационные колебания подавлены; свободная энергия сохраняется от рассеивания. Распределение энергии между молекулами в массе жидкого бензола вблизи температуры кипения имеет флуктуационный характер, т. е. определяется законами статистики разновременных событий; совокупность молекул жидкого бензола представляет собой статистический ансамбль [47, 48].

При температуре кипения бензола 80,07° С [51] тепловое движение его молекул интенсифицируется:

$$\overline{E}_K = \frac{3}{2} kT^\circ = \frac{3}{2} 1,3805 \cdot 10^{-16} \cdot (273,16 + 80,07) = 7,315 \cdot 10^{-14} \text{ эрг}$$

Разница в величине кинетической энергии теплового движения и магнитной энергии уменьшается:

$$\frac{\overline{E}_M}{\overline{E}_K} = \frac{5,6481 \cdot 10^{-13}}{7,315 \cdot 10^{-14}} = 7,7; \quad \overline{E}_M = 7,7 \overline{E}_K$$

Совокупность молекул бензола в жидкой фазе полагаем замкнутой системой. Как система, испытывающая флуктуацию, она может самопроизвольно перейти из более вероятного упорядоченного состояния в менее вероятное беспорядочное состояние. Вблизи температуры кипения бензола актуальны отклонения от состояния термодинамического равновесия. Увеличение кинетической энергии теплового движения вблизи температуры кипения, уменьшая размер флуктуации, повышает ее вероятность [37, 52—56]. Флуктуация становится сравнимой с кинетической энергией теплового движения бензольной молекулы, хотя, разумеется, по-прежнему мала по сравнению с энергией массы жидкого бензола в целом [56]. Поэтому кинетическая энергия теплового движения молекулы бензола вблизи температуры кипения превышает среднее значение магнитной энергии бензольного кольца. В этих условиях ассоциация бензола неосуществима; магнитные ассоциаты разрушаются тепловым движением.

Теплота испарения бензола $E_{\text{исп}}$, поскольку она определяется работой против сил магнитного взаимодействия бензольных колец, при температуре кипения сравнима с магнитной энергией \bar{E}_m :

$$E_{\text{исп}} = 7,25 \text{ ккал/моль} [43, 57]; \bar{E}_m = 8,1342 \text{ ккал/моль}.$$

Возможность ассоциации бензола за счет магнитной энергии бензольного кольца подтверждается сопоставлением ее с энергией светопоглощения бензольного кольца в жидкой фазе. В понятиях металлической модели фактором светопоглощения служит изменение кинетической энергии ларморовой процессии π -электронного тока в бензольном кольце. Энергия возбуждения электронной системы бензольного кольца соответствует ультрафиолетовой части спектра (рис. 1). Электронный спектр выражает все оптические свойства молекулы. Спектр ультрафиолетового поглощения очень чувствителен к межмолекулярному взаимодействию (ассоциации).

По «красному» сдвигу полосы поглощения судят об образовании молекулярных соединений (ассоциатов). Межмолекулярные связи «размывают» колебательную структуру полос поглощения. Энергетическое выражение «красного» сдвига максимума этой полосы при $lg\varepsilon = 2,3$ относительно сплошного поглощения составляет среднюю энергию светопоглощения $\Delta\bar{E}_c$ бензольного кольца

$$\Delta\bar{E}_c = \frac{ch}{\lambda_1} - \frac{ch}{\lambda_2};$$

h — константа Планка, равная $6,62377 \cdot 10^{-27} \text{ эрг/сек}$ [40, 41]; λ_1 — длина волны сплошного поглощения жидкого бензола при $lg\varepsilon = 2,3$, равная $2780 \cdot 10^{-8} \text{ см}$ (рис. 1); λ_2 — длина волны в максимуме полосы поглощения жидкого бензола при $lg\varepsilon = 2,3$, равная $3050 \cdot 10^{-8} \text{ см}$ (рис. 1); $t = 20^\circ \text{ C}$. Следовательно,

$$\Delta\bar{E}_c = 2,9977 \cdot 10^{10} \cdot 6,62377 \cdot 10^{-27} \left(\frac{1}{2780} - \frac{1}{3050} \right) \cdot 10^8 = 6,32 \cdot 10^{-13} \text{ эрг}.$$

Такова величина средней энергии светопоглощения бензольной молекулы характеризующая ее способность к ассоциации в жидкой фазе при 20° C .

Сопоставление магнитной энергии \bar{E}_m бензольного кольца, обуславливающей ассоциацию, с энергией светопоглощения $\Delta\bar{E}_c$, обусловленной ассоциацией, показывает отсутствие разницы в порядке их величины

$$\frac{\bar{E}_m}{\Delta\bar{E}_c} = \frac{5,6481 \cdot 10^{-13}}{6,32 \cdot 10^{-13}} = 0,89.$$

т. е. близко к единице. Сопоставление же энергии светопоглощения $\Delta\bar{E}_c$ бензольного кольца, обусловленной ассоциацией, с кинетической энергией

теплового движения бензольной молекулы \overline{E}_K , препятствующей ассоциации, показывает разницу в один порядок

$$\frac{\overline{\Delta E}_c}{\overline{E}_K} = \frac{6,32 \cdot 10^{-13}}{6,07 \cdot 10^{-14}} = 10,4$$

десятикратное превосходство энергии светопоглощения как функции порядочивающего магнитного взаимодействия бензольных колец также свидетельствует, что при 20° С, т. е. вдали от температуры кипения, ассоциация бензола осуществима.

Значения величин энергетических характеристик бензола сведены в таблицу.

Мера	t° С			
	20			80,07
	\overline{E}_M	$\overline{\Delta E}_c$	\overline{E}_K	$E_{исп}$
erg/1 молекулу	$5,6481 \cdot 10^{-13}$	$6,32 \cdot 10^{-13}$	$6,07 \cdot 10^{-14}$	$5,03 \cdot 10^{-13}$
ккал/моль	8,1342	9,1	0,883	7,25

ВЫВОДЫ

1. Подвергнуто обсуждению предположение об ассоциации бензола конденсированной (жидкой) фазе.
2. Высказаны соображения о магнитной природе ассоциации бензола конденсированной (жидкой) фазе в понятиях металлической модели молекулы.
3. Рассчитаны энергетические характеристики бензола.
4. Показано, что вдали от температуры кипения энергия теплового движения бензольных молекул недостаточна для разрушения магнитных ассоциатов.
5. Показано согласование магнитной ассоциации бензола с его светопоглощением.

Харьковский политехнический
институт им. В. И. Ленина

Поступила
3. VII. 1956

ЛИТЕРАТУРА

1. П. Н. Павлов, ЖРФ-ХО, 48, 1008, 1175, 1728, 1916; 49, 304, 309, 311, 318, 1917.
2. R. Etvös, Ann. Phys., 27, 448, 1886.
3. S. Joung, Phil. Mag., 5s, 33, 153, 1892.
4. W. Ramsay, J. Shields, Zs. phys. Chem., 12, 433, 1893.
5. G. Bakker, Zs. phys. Chem., 21, 127, 1896.
6. P. Walden, Zs. phys. Chem., 65, 129, 1909.
7. В. Кистяковский, ЖРФ-ХО, 45, 782, 1913.
8. Н. Колосовский, ЖРФ-ХО, 49, 615, 1917.
9. Р. Кремман, М. Пестемер, Зависимость между физическими свойствами и химическим строением, ГОНТИ, Л.—М., 1939, стр. 183.
10. Д. Партингтон, А. Раковский, Курс химической термодинамики; Химтехиздат, М.—Л., 1932, стр. 100.
11. Г. Льюис, М. Рендал, Химическая термодинамика; ГОНТИ, Л., 1936, стр. 103.
12. Б. Додж, Химическая термодинамика; ИИЛ, М., 1950, стр. 22.
13. Р. Веинер, Термохимические расчеты, ИИЛ, М., 1950, стр. 26.
14. В. Аносов, С. Погодин, Основные начала физико-химического анализа, Изд-во АН СССР, М.—Л., 1947, стр. 140, 174, 175.
15. Г. Гильдебранд, Растворимость неэлектролитов; ГОНТИ, М., 1938, стр.
16. A. Sklar, Journ. Chem. Phys., 5, 680, 1937.
17. Н. Адам, Физика и химия поверхностей; ГИИТЛ, М.—Л., 1947, стр. 210—215.
18. W. Herz, Zs. anorg. allg. Chem., 169, 173, 1928.

19. G. Briegleb, Zs. phys. Chem. (B), 14, 97, 1931; 16, 249, 1932.
20. П. Дебай, Г. Закк, Теория электрических свойств молекул, ОНТИ, Л.—М., 1936, стр. 51, 133.
21. K. Lauer, R. Oda, Ber., 69B; 141, 146, 851, 1936.
22. Ф. Ф. Чешко, Журн. физ. химии, 27, 157, 1953.
23. В. Плотников, ЖРФ-ХО, 45, 1529, 1916.
24. Э. Шацман, Вопросы космогонии, 3, 296, 1954.
25. A. Schlüter, L. Biermann, Проблемы современной физики, ИИЛ, М., т. 2, 1954, 163.
26. М. М. Волькенштейн, Строение и физические свойства молекул, Изд-во А СССР, М.—Л., 1955, стр. 125, 170, 186—194, 343—346, 536, 555, 560—563.
27. K. Nakamoto, Journ. Am. Chem. Soc., 74, 390, 392, 1952.
28. М. Веселов, Элементарная квантовая теория атомов и молекул, ГИТТЛ, М., 1955, стр. 23, 148, 184.
29. Т. Рекашева, Журн. физ. химии, 29, 1404, 1955.
30. П. Ниггли, Стереохимия, ИИЛ, М., 1949, стр. 30, 33, 34, 156, 184, 218.
31. А. Китайгородский, Органическая кристаллохимия, Изд-во АН СССР, М., 1955, стр. 8.
32. В. Веселовский, Химическая природа горючих ископаемых, Изд-во А СССР, М., 1955, стр. 101.
33. R. Le Févère, Dipole Moments, John Wiley, London—New York, 1953, стр. 13.
34. А. Самойлович и Л. Коренблит, Усп. физ. наук, 57, 577, 1955.
35. Д. Шенберг, Сверхпроводимость, ИИЛ, М., 1955, стр. 34.
36. В. Говорков, Электрические и магнитные поля, Связьиздат, М., 1951, стр. 178.
37. В. Левич, Введение в статистическую физику, ГИТТЛ, М., 1954, стр. 69, 70, 73.
38. Р. Фаулер и Э. Гуггенгейм, Статистическая термодинамика, ИИЛ, М., 1949, стр. 109.
39. И. Тамм, Основы теории электричества, ГИТТЛ, М., 1954, стр. 206, 217, 232, 237, 240, 268, 363, 371, 375, 376, 383, 601.
40. Б. Росси, Частицы больших энергий, ГИТТЛ, М., 1955, стр. 608.
41. В. Горди, В. Смит, Р. Трамбаруло, Радиоспектроскопия, ГИТТЛ, М., 1955, стр. 353.
42. Э. Шпольский, Атомная физика, ГИТТЛ, М.—Л., т. I, 305, 1949.
43. Landoldt-Börnstein, Phys. chem. Tabellen; Springer-verlag, Berlin, т. 2, 797, 1206, 1483, 1949.
44. В. Смайт, Электростатика и электродинамика, ИИЛ, М., 1954, стр. 275, 304.
45. Я. Дорфман, Магнитные свойства и строение вещества, ГИТТЛ, М., 1954, стр. 9.
46. А. Власов, Макроскопическая электродинамика, ГИТТЛ, М., 1955, стр. 124.
47. Абрагам-Беккер, Теория электричества, ОНТИ, М., 1936, стр. 238.
48. С. Васильев, Журн. физ. химии, 29, 2018, 1955.
49. В. Татевский, Химическое строение углеводородов и закономерности в их физико-химических свойствах, Изд-во МГУ, 1953, стр. 264.
50. Bull. Soc. chem. Fr. № 11—12 (вклейка), 1953.
51. G. Egloff, Physical Constants of Hydrocarbons, Reinhold Publishing Corporation, New York, 1946, т. 3, 31.
52. A. Einstein, Ann. Phys., 19, 371, 1906.
53. M. Smoluchowski, Phys. Zs., 13, 1069, 1912; 14, 261, 1913.
54. Я. Френкель, Статистическая физика, Изд-во АН СССР, М.—Л., 1948, стр. 227.
55. Л. Ландау и В. Лифшиц, Статистическая физика, ГИТТЛ, М., 1954, стр. 12, 99, 363, 379.
56. А. Тимирязев, Кинетическая теория материи, Учпедгиз, М., 1956, стр. 193.
57. Сб. физич. констант, ОНТИ, Л.—М., 1937, стр. 5.

ON THE ASSOCIATION OF BENZENE

F. F. Cheshko (Kharkov)

Summary

The assumption of the association of benzene in the condensed (liquid) phase has been discussed. It has been suggested in terms of the metallic model of molecules that the association of benzene in the condensed phase is of magnetic character. A calculation has been made of the energy characteristics of benzene. It has been shown that remote from the boiling point the thermal energy of the benzene molecule is insufficient to decompose the magnetic associates. The magnetic association of benzene has been shown to accord with its light absorption.

ВЯЗКИЕ И ЭЛЕКТРИЧЕСКИЕ СВОЙСТВА ЖИДКИХ БИНАРНЫХ СПЛАВОВ И ИХ СВЯЗЬ СО СТРУКТУРОЙ ЖИДКОСТИ

Д. К. Белащенко

В чистых металлах ближний порядок определяется в основном координационным числом и средним расстоянием между ближайшими соседями. В случае сплавов важную роль играет взаимное расположение атомов компонентов. В случае твердых сплавов можно непосредственно определить тип решетки и степень корреляции при помощи рентгенографического метода. В случае жидких сплавов этого сделать уже нельзя, так как данные по рассеянию рентгеновых лучей в этом случае нельзя однозначно истолковать.

Однако о корреляции в жидком сплаве можно судить, сопоставляя различные его физические свойства. В данной работе предпринята попытка измерить некоторые свойства жидких сплавов ряда двойных систем и на основании полученных данных определить наиболее вероятные характерные черты ближнего порядка в соответствующих жидкостях.

В качестве структурно-чувствительных свойств жидкости были выбраны кинематическая вязкость и удельное электросопротивление.

ЭКСПЕРИМЕНТАЛЬНАЯ ЧАСТЬ

Схема и принцип действия установки. Измерения указанных свойств проводились на установке, схема которой показана на рис. 1. Примененный метод является совмещением метода измерения кинематической вязкости по зауханию крутильных колебаний цилиндрического тигля с жидкостью, подвешенного на упругой нити [1], и метода измерения электропроводности по величине угла закручивания образца во вращающемся магнитном поле [2]. Установка позволяет определять вязкость и электропроводность в процессе одного эксперимента.

Исследуемый сплав помещается в тигель 10 (рис. 1), укрепленный в специальной обойме 7, согнутой из вольфрамовой проволоки (диаметром 1 мм). Обойма 7 подвешена на упругой вольфрамовой нити 8 диаметром 0,1 мм. Верхний конец нити соединен при помощи тангового зажима с молибденовым стержнем, впаянным в стеклянный клиф 9. На обойме 7 укреплено сферическое зеркальце 11, служащее для регистрации крутильных колебаний обоймы с тиглем.

Нагревательным элементом установки служит графитовая труба 5, окруженная теплоизолирующим слоем сажи 2. Ток подводится к трубе при помощи токоподводов 3. Температура измеряется Pt—PtRh термонпарой или оптическим пирометром с изолирующей нитью. Вся установка заполняется водородом.

Для определения электропроводности металла измеряется угол закручивания во вращающемся магнитном поле. Магнитное поле создается при помощи трех пар катушек 1, питающихся от сети трехфазного тока. Для определения абсолютных величин электропроводности была проведена градуировка по ртути. Электропроводность $\kappa_{\text{спл}}$ рассчитывалась по формуле:

$$\kappa_{\text{спл}}/\kappa_{\text{рт}} = (\alpha - \alpha_0)_{\text{спл}} (\alpha - \alpha_0)_{\text{рт}}.$$

Здесь α_0 —угол закручивания пустого тигля в обойме, α —угол закручивания образца в тигле, $\alpha_{\text{рт}}$ —угол закручивания столбика ртути с той же высотой, что и у данного сплава, в том же тигле и при той же силе тока в катушках статора. $\kappa_{\text{рт}}$ (электропроводность ртути) при 20°C взята из таблиц. Точность измерения κ при $\alpha \ll \alpha_0$ можно оценить $\pm 5\%$.

После измерения угла закручивания возбуждаются крутильные колебания тигля посредством периодического включения магнитного поля. По достижении определенной амплитуды колебаний (~ 150 мм по шкале при длине светового луча около 3 м) магнитное поле выключается, и производится запись последовательных отклонений светового луча влево и вправо от положения равновесия. При расчете логарифмического

декремента учитывалось явление упругого последствия в нити подвеса, приводящее к обратимому сдвигу нулевой точки.

Расчет вязкости производился по формулам, выведенным в работе [1] для слабовязких жидкостей

$$\nu = \frac{1}{\pi \sigma^2} \left(\frac{I_0}{MR} \right)^2 \frac{\left(\delta - \frac{T}{T_0} \delta_0 \right)^2}{T}; \quad \sigma = 1 - \frac{3}{2} \frac{\delta}{2\pi} - \frac{3}{8} \left(\frac{\delta}{2\pi} \right)^2 - a + \frac{4R}{2H} \left(b - c \frac{\delta}{2\pi} \right).$$

Здесь ν — кинематическая вязкость, I_0 — момент инерции подвесной системы с пустым тиглем, M — масса жидкости, R — радиус тигля, $2H$ — высота столбика жидкости, T — период крутильных колебаний, δ — логарифмический декремент затухания крутильных колебаний, a, b, c — табличные коэффициенты, T_0 — период колебаний с пустым тиглем.

Расчет ν ведется по методу последовательных приближений: сначала полагается $\sigma = 1$, откуда определяется ν^* . Зная ν^* , находим δ и затем ν . Эту процедуру нужно продолжать, пока новое значение ν не окажется достаточно близким к предыдущему.

Приведенные выше формулы для определения ν выведены для того случая, когда верхний мениск жидкости в тигле неподвижен относительно тигля, для чего поверх образца закладывалась плавающая крышка из графита.

Ошибка измерения вязкости равнялась в наших измерениях примерно $\pm 4\%$. Из них 1,8% составляет систематическую ошибку всех экспериментов со сплавами одной системы.

Выбор двойных систем. При выборе объектов в основу был положен принцип соответствия между структурой и свойствами жидкости, с одной стороны, и типом диаграммы состояния — с другой. Из систем с неограниченной растворимостью в твердом состоянии была выбрана система Fe—Ni. Она представляет интерес в связи с тем, что в ней при содержании никеля от 0 до 40% обнаружена метастабильная кристаллизация, если капли жидкости достаточно малы [3].

Из числа систем, компонент которых близки по своим свойствам, была исследована система Sb—Sn. В твердых сплавах Sb—Sn присутствуют две промежуточные фазы: жидкие олово и сурьма смешиваются с заметным выделением тепла ($\sim 1,4$ ккал/г-ат). Представляло интерес выяснить, будут ли свойства жидких сплавов такой системы сильно отличаться от свойств идеальных растворов.

В качестве систем с интерметаллическими и электронными соединениями были выбраны Cd—Sb, Cd—Cu и Bi—Ti.

В системе Cd—Sb существует интерметаллическое соединение CdSb.

характеризующееся довольно плоским максимумом на кривой ликвидуса. Однако сплавы Cd—Sb интересны ввиду их особенности кристаллизоваться с переохлаждением, причем вместо соединения CdSb кристаллизуется соединение Cd_3Sb_2 .

В системе Cd—Cu существует несколько промежуточных фаз, из которых электр.

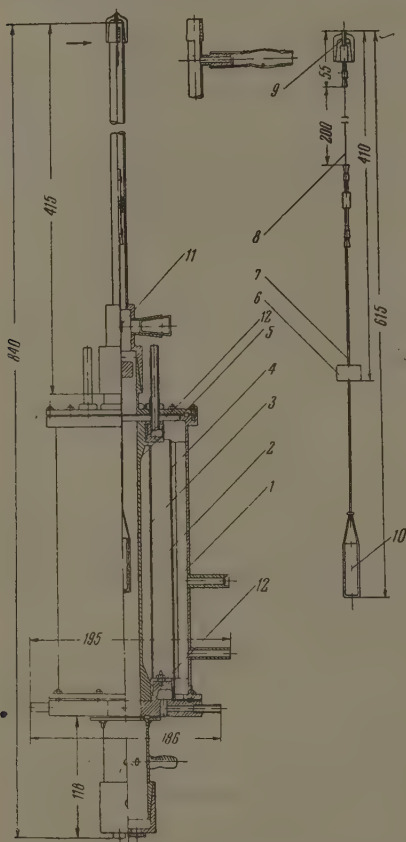


Рис. 1. Схема установки для измерения вязкости и электропроводности жидких металлов. 1 — катушка статора; 2 — теплоизоляция; 3, 4 — графитовые экраны; 5 — нагревательная труба (графит); 6 — грузик; 7 — подвеска; 8 — вольфрамовая проволока; 9 — стеклянный шпиф с впаиванным молибденовым стержнем; 10 — тигель; 11 — сферическое зеркальце; 12 — токопроводы. Справа подвесная система. В середине схема выпуска газа — вид по стрелке

никому соединению Cd_2Cu_3 (8-фаза) соответствует плоский максимум на кривой ликвидуса. Теплота смешения сплавов $Cd - Cu$ близка к нулю, однако изменение энтропии при смешении сильно отличается от своего значения при образовании идеального раствора. Эта система исследовалась нами лишь в области концентраций 0,55 ат. % Cu в связи с высоким давлением пара кадмия при повышенных температурах.

Система $Bi - Ti$ весьма интересна ввиду наличия двух максимумов на кривой ликвидуса. Другая причина выбора этой системы — склонность сплавов $Bi - Ti$ к переохлаждению.

На основании этих же соображений была выбрана система $Pb - Ti$.

Исходные материалы и приготовление образцов. В работе использовались спектрально чистые олово и свинец, сурьма со следами железа, кадмий со следами меди, таллий со следами меди и серебра, висмут со следами меди, электролитические медь, железо и никель.

Образцы чистых металлов, кроме меди, сурьмы, железа и никеля и сплавов, кроме сплавов железа с никелем, готовились путем совместного сплавления в атмосфере дорада и последующей фильтрации (под давлением) через пористые стеклянные фильтры, что позволяло удалить нерастворимые примеси.

Свойства жидких сплавов системы олово — сурьма. В области температур до $900^\circ C$ были исследованы сплавы с содержанием сурьмы 0; 27,2; 36,4; 43,3; 55,5 и 66,3 ат. %. Опыты проводились в цилиндрических графитовых тиглях с внутренним диаметром 2 мм.

Температурная зависимость вязкости хорошо описывается формулой

$$\eta = \eta_0 e^{E/RT}.$$

Изотермы вязкости и электросопротивления жидких сплавов Sb и Pb представляют волнообразные кривые, имеющие седловину в области концентраций 35—65 ат. % Sn . Энергия активации E в зависимости от состава обнаруживает небольшой максимум в области 50—60% Sn .

Форма изотерм вязкости и электросопротивления жидких сплавов системы $Sb - Sn$ позволяет предположить, что атомное размещение в данных жидкостях отличается от беспорядочного. На это указывает также низкое значение изменения энтропии при смешении $[-3,85 (N_1 \lg N_1 + N_2 \lg N_2)]$ вместо $-4,57 (N_1 \lg N_1 + N_2 \lg N_2)$ для идеального раствора и положительный тепловой эффект при смешении жидких компонентов [4]. Однако, как показали измерения диамагнитной восприимчивости [5], межмолекулярное взаимодействие не приводит к возникновению каких-либо «молекул» или «квазимолекул» ни в жидком, ни в твердом состоянии.

Свойства жидких сплавов системы кадмий — сурьма. Сплавы с содержанием кадмия 100; 78; 58; 48; 37,6 и 17,1 вес. % были исследованы при температурах до $\sim 700^\circ C$. Вследствие испарения кадмия из расплава концентрация его к концу опыта уменьшалась на $\sim 2,5\%$. Изменение высоты и массы образцов учитывалось при расчетах. Сплав с 58% Cd после опыта был подвергнут повторной фильтрации и вновь исследовался. Его вязкости в обоих случаях совпали в пределах погрешности опыта.

Изотермы кинематической вязкости ν приведены на рис. 2. Линии зависимости $\lg \nu$ от $1/T$ для исследованных сплавов приблизительно линейны лишь для сплавов с 78, 48 и 17,93 вес. % Cd . В остальных случаях эта зависимость представляется кривой, провисающей к оси $1/T$. Изгиб на высокотемпературных участках прямых $\lg \nu - 1/T$ вычислялась энергия активации вязкого течения E .

Из рис. 2 видно, что изотермы вязкости имеют при 40—50 ат. % Sb максимум, резко выраженный при $450-550^\circ C$ и постепенно сглаживающийся при повышении температуры до $650^\circ C$. При высоких температурах минимум находится при составе около 50 ат. % Sb , а при понижении ее до $450^\circ C$ (при приближении к области, где жидкость переохлаждена) сдвигается к составу ~ 40 ат. % Sb , т. е. к концентрации, соответствующей

неустойчивому соединению Cd_3Sb_2 . Энергия активации также имеет максимум при $\sim 50\%$ Sb.

Если же рассчитать E для температур ниже $500-550^\circ\text{C}$, то максимум сдвигается к составу 40% Sb. При содержании Sb от 0 до 40% температурный коэффициент сопротивления положителен, при $\sim 50\%$ Sb он в среднем равен нулю, при $\sim 60\%$ Sb — отрицателен, а у сплава с 80% Sb при повышении температуры меняет знак с минуса на плюс.

Поведение каждого из исследованных свойств характерно для систем с плавящимся без разложения интерметаллическим соединением. Атомное размещение в жидких сплавах таких систем сильно отличается от беспорядочного. В частности, изменение энтропии при смешении для сплавов Cd — Sb, при 500°C имеет в зависимости от состава седловидную форму [6]; максимумы лежат при 30 и 80% Cd. Диамагнитная восприимчивость при 680°C имеет точку поворота около 50% ат. % [5].

Все эти данные позволяют считать, что после плавления сплавов, близких к 50% ат. %, в жидкой фазе продолжает сохраняться в какой-то мере решетка соединения CdSb; некоторое количество валентных электронов не поступает в электронный газ. При повышении температуры остатки решетки CdSb разрушаются. Частичное

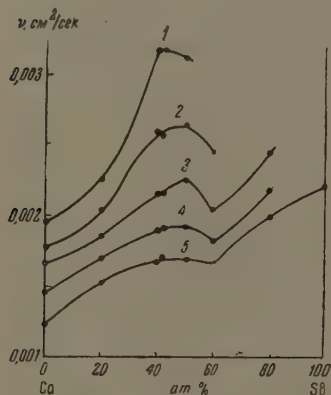


Рис. 2. Изотермы вязкости жидких сплавов кадмия с сурьмой: 1 — при 450°C , 2 — при 500°C ; 3 — при 550°C ; 4 — при 600°C ; 5 — при 650°C

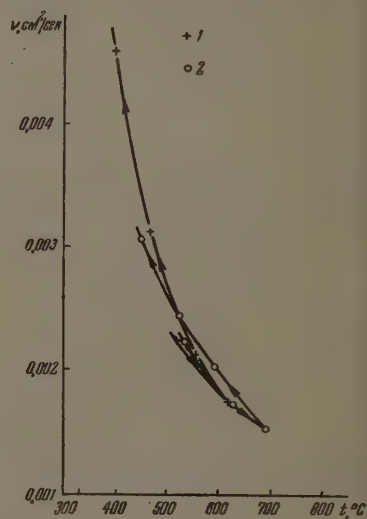


Рис. 3. Вязкость жидких сплавов кадмия с сурьмой: 1 — 40% Sb, 2 — 50% Sb

разложение CdSb происходит уже в самом процессе плавления, вследствие чего у всех сплавов, кроме сплава с 20% Sb, сопротивление при плавлении уменьшается. При больших содержаниях Sb это уменьшение связано с аномальными свойствами сурьмы. Корреляция в сплавах Cd — Sb заметна до температур $\sim 600^\circ\text{C}$ (рис. 2).

Из приведенных данных можно сделать вывод, что состояние жидких сплавов системы Cd — Sb при охлаждении отлично от состояния этих же сплавов при предшествующем нагревании. Сдвиг максимумов вязкости и энергии активации вязкого течения при охлаждении расплава от 5 к 40% Sb указывает на то, что в самой жидкости происходят взаимные перегруппировки частиц, приводящие в дальнейшем к кристаллизации метастабильного соединения Cd_3Sb_2 вместо стабильного CdSb. С этим утверждением согласуется заметный гистерезис вязкости сплава с 50% Sb.

и, в меньшей степени, сплава с 40 ат. % Sb (рис. 3): при охлаждении вязкость проходит несколько выше, чем при нагревании. Электросопротивление меняется в зависимости от температуры также с небольшим гистерезисом.

Приведенные результаты по системе Cd — Sb свидетельствуют о том, что в жидкости могут, по-видимому, существовать состояния, термодинамически неустойчивые по отношению к стабильному состоянию данной жидкости. Переход одного состояния в другое требует в системе Cd — Sb времени во всяком случае порядка длительности эксперимента в наших условиях (около часа).

Свойства жидких сплавов системы висмут — таллий. Остроении жидких сплавов висмута с таллием, как и других систем, трудно судить на основании их термодинамических свойств.

Изменение энтропии при смешении жидких компонентов почти точно равно своему значению при образовании идеального раствора. Однако процесс смешения идет с заметным выделением тепла ($\sim 1,3$ ккал/г-атом при 480°C и 60% Tl [71]); теплота смешения в жидкой фазе значительно больше, чем теплота образования твердых сплавов.

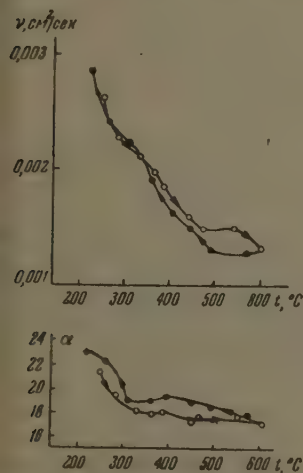


Рис. 5. Вязкость и угол закручивания во вращающемся магнитном поле α (относительные единицы) сплава висмута с 72% таллия

у сплава с 21% Tl. Аномалиям вязкости сопутствует аномальный знак температурного коэффициента сопротивления. Вторая аномалия при $500\text{--}600^\circ\text{C}$ незаметна уже в сплавах с 55,5% и с меньшим содержанием таллия. В сплавах с 72 и 89% Tl она приобретает любопытную форму: при нагреве свыше 500°C и при обратном охлаждении график зависимости вязкости от температуры образует петлю (рис. 5); электропроводность при охлаждении идет выше, чем при нагреве. Вязкость сплавов этой системы не подчиняется экспоненциальной формуле.

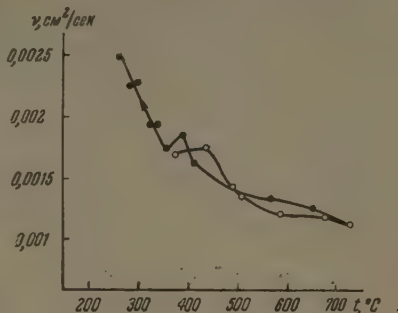


Рис. 4. Вязкость жидкого таллия

Было исследовано пять сплавов с содержанием таллия 21; 38; 55,5; 72 и 89 ат. % и чистый таллий. С каждым сплавом было проведено несколько опытов в одном и том же тигле (использовались кварцевые тигли с внутренним диаметром 9,3 мм). Все образцы затвердевали с переохлаждением ($\sim 20\text{--}40^\circ\text{C}$). Выяснилось, что у чистого таллия имеют место аномалии вязкости, которые обнаруживаются также и у сплавов его с висмутом. Характерные кривые для таллия и сплава с 72% Tl приведены на рис. 4 и 5.

Зависимость вязкости таллия от температуры (рис. 4) имеет две особенности: небольшой максимум в области $350\text{--}450^\circ\text{C}$ и перегиб при $600\text{--}650^\circ\text{C}$. Эти особенности воспроизводятся при охлаждении образца. Электропроводность сплавов при охлаждении, как правило, выше, чем при нагреве. При увеличении содержания висмута аномалия при $350\text{--}400^\circ\text{C}$ постепенно сглаживается и становится незаметной

Зависимость свойств от времени обнаружена лишь в области петли. При выдержке сплава с 72% Тl при 650—670° С обнаружено уменьшение вязкости и значительный рост электропроводности. Процесс носит асимптотический характер (время релаксации около часа).

Затем сплав был медленно охлажден до 337°, медленно нагрет до 630° С и опять медленно охлажден. При этих процедурах никаких аномалий при 500—600° С уже не было замечено.

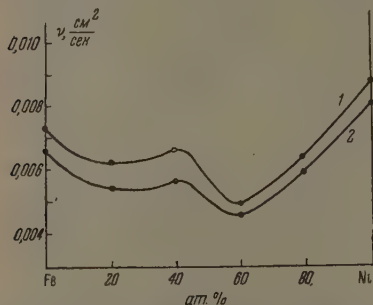


Рис. 6. Изотермы вязкости жидких сплавов железа с никелем: 1 — при 1550; 2 — при 1600°С

Можно предположить, что в жидком таллии при 350—400° С идет процесс изменения ближнего порядка, сопровождающийся относительным увеличением вязкости и электропроводности при нагреве и обратными явлениями при охлаждении. Присутствие второго компонента не оказывает, по-видимому, существенного влияния на этот процесс. Установить с определенностью физическую природу этого процесса на основании имеющихся данных нельзя. Можно предполагать, что он связан с изменением электронных состояний иона таллия.

На процессы, идущие в сплавах висмута с таллием при 500—600° С,

влияют температура и время. Природа аномалий в чистом таллии при 500—600° С также пока не ясна.

Уменьшение электросопротивления сплавов с 30—50% Тl при нагреве от 400 до 600° С позволяет считать, что в жидкости вплоть до этих температур продолжает существовать заметная корреляция.

Свойства жидких сплавов системы свинец — таллий. В этой системе были исследованы свинец и четыре сплава с содержанием 20, 40, 60 и 80 ат. % Тl. Все сплавы затвердевали со значительным переохлаждением (~25—40° С).

В сплавах с 20, 40 и 80 ат. % Тl имеет место гистерезис вязкости: при охлаждении вязкость идет ниже, чем при нагреве. Температурная зависимость вязкости, как и в системе Вi — Тl, не подчиняется экспоненциальной формуле. Изотермы вязкости, построенные по значениям ее при охлаждении, имеют плавный ход, приближаясь при росте температуры к прямой линии. Форма изотерм напоминает кривую ликвидуса с учетом переохлаждения.

Из рассмотрения свойств жидких сплавов свинца с таллием можно заключить, что состояние этих сплавов близко к идеальному. На это указывают и термодинамические данные [4]: небольшая величина теплоты смешения и близкое к идеальной величине изменение энтропии при смешении компонентов.

Свойства жидких сплавов системы железо — никель. Сплавы железа с никелем изготавливались сплавлением электролитических металлов в атмосфере водорода. Опыты проводились в алундовых тиглях. Было исследовано шесть образцов с содержанием железа 0; 19,97; 39,7; 60,5; 80 и 100 вес. %. Все образцы затвердевали с переохлаждением от 50° С (чистые компоненты) до ~120° (60% Ni). Измерения проводились в процессе охлаждения сплавов от ~1700° С.

На рис. 6 приведены изотермы кинематической вязкости сплавов Fe — Ni.

Анализируя кривые, представленные на рис. 6, и данные по электросопротивлению, можно заключить, что в жидких сплавах железа с никелем заметна корреляция; она, по-видимому, оказывает влияние на свой-

ства в основном в области 30—50 вес. % Ni (максимум вязкости и переход на изотерме удельного сопротивления). Можно дать объяснение максимуму вязкости при 40% Ni, имея в виду обнаруженный в работе [3] факт метастабильной кристаллизации сплавов с содержанием никеля от 0 до 32%. Частицы сплавов диаметром от 3 до 30 μ после кристаллизации содержат свободную от структурных напряжений объемноцентрированную кубическую α -фазу. Рост вязкости в области от 20 до 40% Ni связан, по-видимому, с переходом структуры жидкости от α - к γ -подобной, что

можно объяснить повышением плотности упаковки и увеличением вязкости. При дальнейшем увеличении содержания никеля тип ближнего порядка может не меняться; остается

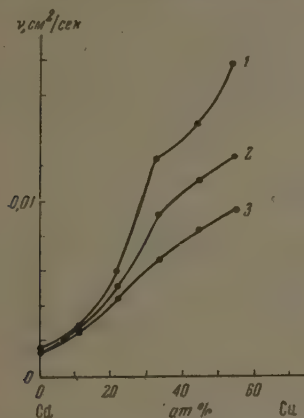


Рис. 7. Изотермы вязкости жидких сплавов кадмия с медью: 1 — при 550, 2 — при 600 и 3 — при 650°C

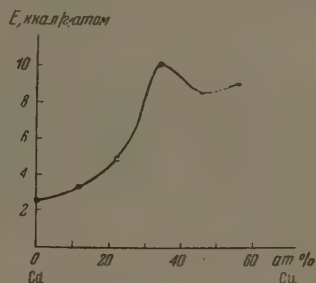


Рис. 8. Энергия активации вязкого течения жидких сплавов кадмия с медью

лишь чисто концентрационное изменение вязкости.

Свойства жидких сплавов системы кадмий — медь. Было исследовано пять сплавов кадмия с медью с содержанием 11,3; 22,4; 33,6; 45,2 и 55,7 ат. % Cu. Так же как и в системе Cd — Sb, в процессе эксперимента происходило испарение кадмия, которое было учтено при расчете вязкости и электросопротивления. Опыты проводились в графитовых тиглях с внутренним диаметром ~ 10 мм.

Изотермы кинематической вязкости представлены на рис. 7. Температурная зависимость вязкости сплавов кадмия с медью хорошо описывается формулой

$$\eta = \eta_0 e^{E/RT}$$

На рис. 8 представлена зависимость энергии активации вязкого течения от состава.

Как видно из приведенных данных, монотонность изменения свойств жидких сплавов Cd — Cu при изменении состава нарушается в области концентраций 30—40 ат. % Cu, т. е. в области, соответствующей электронному соединению Cd_8Cu_{15} (δ -фаза). Аналогичные нашим результаты по электропроводности в данной системе были получены ранее в работе [8]. Авторы [8] объяснили максимум электросопротивления при 30—40 ат. % Cu тем, что при 600—700°C в сплаве присутствуют молекулы Cd_3Cu_2 , которые диссоциируют при повышении температуры.

Более убедительным кажется иное объяснение. Как известно, в твердом состоянии фазы, соответствующие электронным соединениям типа γ -латуни, имеют обычно максимальную для данной двойной системы теплоту образования. По-видимому, можно считать, что после плавления электрон-

ных соединений (в особенности, с решеткой типа γ -латуни) в жидкости сохраняется ближний порядок, свойственный структуре соответствующей фазы. Остатки этого порядка могут сохраняться при нагреве на сотни градусов выше температуры ликвидуса. Можно также утверждать, что фактором, определяющим свойства рассматриваемых жидких сплавов, является концентрация валентных электронов.

Предположение о слабом разрушении структуры γ -латуни при плавлении в системе Cd—Cu подтверждается высокими значениями вязкости и энергии активации вязкого течения; кроме того, изменение энтропии при смешении жидких компонентов аномально мало [4]. О дальнейшем разрушении структуры γ -латуни при нагревании свидетельствует уменьшение при этом удельного сопротивления сплавов.

Дополнительные данные о строении жидких сплавов Cd—Cu может дать исследование изменения свободной энергии при активации вязкого течения $F_{\text{вязк}}$. Согласно Эйрингу [9],

$$F_{\text{вязк}} = RT \ln \frac{M\nu}{Nh},$$

где M — молекулярный вес, ν — кинематическая вязкость, N — число Авогадро, h — постоянная Планка.

Для качественной характеристики можно рассчитать $F_{\text{вязк}}$ для исследованной серии сплавов, принимая за M средневзвешенный атомный вес. В случае системы Cd — Cu зависимость $F_{\text{вязк}}$ от состава изображается двумя прямыми, пересекающимися при ~ 37 ат. % Cu, т. е. как раз над δ -фазой. Это обстоятельство указывает, по-видимому, на то, что и в жидком состоянии может происходить более или менее резкое изменение некоторых свойств при достижении определенной электронной концентрации.

ВЫВОДЫ

1. Установлено явление гистерезиса вязкости и электросопротивления жидких сплавов систем Cd — Sb, Pb — Tl и Bi — Tl. Сплавы систем Sb — Sn и Cd — Cu не обнаруживают гистерезиса указанных свойств.
2. Обнаружено заметное влияние корреляции на свойства исследованных систем. Замечена тенденция к появлению аномалий по мере удаления состояния сплавов от идеальности (в нашем случае в последовательности Pb — Tl \rightarrow Sb — Sn \rightarrow Fe — Ni \rightarrow Bi — Tl \rightarrow Cd — Sb \rightarrow Cd — Cu). Установление более определенных соотношений между кинетическими и термодинамическими свойствами жидких сплавов представляется сейчас затруднительным.

Московский институт стали
им. И. В. Сталина

Поступила
18. VII. 1956

ЛИТЕРАТУРА

1. Е. Г. Швидковский, Некоторые вопросы вязкости расплавленных металлов, ГИТТЛ, Москва, 1955.
2. А. Р. Регель, Журн. техн. физики, 18, 1511, 1948.
3. Chesh, Journ. Metals, 8, 585, 1956.
4. О. Кубашевский и Э. Эванс, Теормохимия в металлургии, ИИЛ, Москва, 1954.
5. K. Honda, H. Endo, Journ. Metals, 37, 37, 1927.
6. J. F. Elliott, J. Chipman, Trans. Farad. Soc., 47, 138, 1951.
7. F. Weibke, O. Kubaschewski, Thermochemie der Legierungen, Berlin, 1943.
8. K. Vornemann, K. Wagenmann, Ferrum, 11, 289, 1913/14.
9. С. Глестон, К. Лейдлер, Г. Эйринг, Теория абсолютных скоростей реакций, ИИЛ, М., 1948

VISCOUS AND ELECTRICAL PROPERTIES OF LIQUID BINARY ALLOYS AND THEIR RELATION TO THE STRUCTURE OF THE LIQUID

D. K. Belashchenko (Moscow)

Summary

From viscosity and electroresistivity studies it was found that liquid alloys of the systems Cd—Sb, Pb—Tl and Bi—Tl show hysteresis of these properties. Alloys of systems Sb—Sn and Cd—Cu do not possess such hysteresis. These findings may be related with the fact that the first three systems supercool whereas the latter do not. Evidently the main reason for this effect is the rebuilding of structure in the liquid in connection with the disappearance of far range order during melting. Whereas in the system Sb the rebuilding consists of a transition from the structure CdSb and Cd_3Sb_2 , the systems containing thallium hysteresis effects are evidently associated with anomalies in the pure thallium, itself. This explains the fact that the heats of mixing of a number of systems with thallium are higher in the liquid phase than in the solid (e. g. in the systems Hg—Tl and Bi—Tl).

The effect of correlation on the properties is also noticeable in the other systems investigated. However, there is a marked tendency for the appearance of anomalies as the systems recede from the ideal state (in our case in accordance with the series Pb—Tl → Sb—Sn → Fe—Ni → Bi—Tl → Cd—Sb → Cd—Cu). At present it is difficult to establish definite relations between the kinetic and thermodynamic properties of liquid alloys.

ТЕПЛОЕМКОСТИ ВОЛЬФРАМАТОВ СВИНЦА И КАДМИЯ ПРИ ВЫСОКИХ ТЕМПЕРАТУРАХ

Л. А. Жаркова и Т. Н. Резухина

В настоящей работе приведены данные для средней удельной теплоемкости в температурном интервале 800—20°С.

Для измерения теплоемкости применялись вольфраматы свинца и кадмия, полученные осаждением раствора вольфрамата калия эквивалентным количеством адетата свинца или соответственно сульфата кадмия. Исходные соли предварительно очились перекристаллизацией. Осадки тщательно промывались, сушились и затем прокалывались на воздухе при 800—900°С. Для анализа навеска вольфрамата разлагалась продолжительным кипячением в смеси $\text{HNO}_3 + \text{HCl}$; при этом свинец и кадмий переходили в раствор, а вольфрам осаждался в виде WO_3 . Для полноты осаждения в ходе анализа добавлялся цинхонин. Свинец и кадмий определялись в виде сульфатов (Анализ проводился по Гиллебранду и Ленделю [1].)

Теплоемкость определялась методом смешения в массивном калориметре. Описание установки приведено в [2].

Калориметром являлся медный блок (вес — 3,6 кг) цилиндрической формы с точечным в нем конусообразным углублением для введения ампулы с исследуемым веществом. Калориметр подвешен на трех нитях к крышке латунной оболочки, соединенной с ее корпусом при помощи винтов, с резиновой прокладкой между фланца (зазор между стенками блока и оболочки около 20 мм). Оболочка погружена в термостат емкостью 150 л, наполненный водой, температура которой поддерживалась в $20^\circ\text{C} \pm 0,005^\circ$. Температура калориметра измерялась платиновым термометром сопротивления, навитым на внешней поверхности калориметра. Сопротивление термометра измерялось термометрическим мостом, схема которого приведена в [2]. Чувствительность гальванометра в измерительной схеме позволяла при силе тока в термометре 0,005А производить измерение сопротивления термометра с точностью $\pm 0,0001$, что отвечает изменению температуры калориметра на $\pm 0,001^\circ$. Необходимость предварительной градуировки термометра и калибрования термометрического моста включалась экспериментальной градуировкой калориметра. Для этой цели в калориметре имелся нагреватель — константановая проволока, навитая на медный стержень (изоляция — бакелит), вплавленный легкоплавным сплавом в специальное углубление, проточенное в теле калориметра. Количество электрической энергии, поданное нагревателю, измерялось по обычной компенсационной схеме и выражалось согласно принятой в СССР стандартизации в двадцатиградусных калориях. Время подачи тока определялось с точностью $\pm 0,003$ сек. печатающим хронографом.

Опыты, проведенные в широком интервале изменений температуры (от 0,5 до 4,5), показали независимость получаемого теплового значения калориметра от величины подъема температуры.

Исследуемое вещество помещалось в платиновую ампулу и нагревалось в электрической вертикальной трубчатой печи, расположенной над калориметром. Температура печи автоматически поддерживалась постоянной с точностью $\pm 0,1^\circ$. Температура ампулы определялась по э. д. с. платина-платинородиевой термопары, рабочий спай которой касался стенки ампулы в печи, а побочный находился в термостате при 20°С.

Э. д. с. термопары измерялась на потенциометре ППТН 1 кл. с точностью $\pm 0,0001$. Ампула удерживалась в печи на тонкой нихромовой проволоке, другой конец которой перекидывался через два блока и закреплялся пружинным зажимом. В начале главного периода опыта зажим открывался и ампула свободно падала в калориметр. Теплоемкость соли определялась по разности между количеством тепла, внесенным в калориметр нагретой пустой ампулой, и ампулой, наполненной солью, при опытах с пустой и наполненной ампулами делались в одинаковых условиях.

Калориметрический опыт проводился обычным путем. Температура термостата во всех опытах равнялась 20°С. Начальная температура калориметра предваритель-

и нагреванием его или охлаждением выбиралась так, чтобы по возможности уменьшить величину поправки на теплообмен калориметра со средой. Поправка эта, не выходящая 2—3% от общего теплового эффекта, вводилась по формуле Реньо—Эундлера — Усова.

Воспроизводимость параллельных опытов была 0,05—0,2%. Для проверки абсолютной точности измерений, которые позволяла получать наша установка, измерялась средняя теплоемкость KCl и KBr. Измерениям их теплоемкости посвящен ряд работ, однако данные различных авторов сильно отличаются друг от друга. Наиболее надежные значения приведены [3]. Для этих солей в интервале 660—20° С опытные данные для средней удельной теплоемкости, полученные с точностью до 0,1—0,2%, охватываются уравнениями

$$\bar{C}_p = 0,1612 + 3,21 \cdot 10^{-5} t \quad \text{для KCl}$$

$$\bar{C}_p = 0,1012 + 1,94 \cdot 10^{-5} t \quad \text{для KBr,}$$

куда $\bar{C}_{p, \text{KCl}}^{573-20^\circ} = 0,1796 \text{ кал/г} \cdot \text{град}$, а $\bar{C}_{p, \text{KBr}}^{562-20^\circ} = 0,1130 \text{ кал/г} \cdot \text{град}$. Наши данные в этих же температурных интервалах для KCl и KBr соответственно равны 0,1800 и 0,1131 кал/г·град, т. е. с точностью $\pm 0,2\%$ совпадают с данными [3].

Полученные данные по средней удельной теплоемкости вольфраматов свинца и кадмия представлены в таблице.

Средняя удельная теплоемкость вольфраматов свинца и кадмия

Средняя температура вольфрамата, °С	Температурный интервал, °К	\bar{C}_p кал/г·град (из опыта)	\bar{C}_p кал/г·град (вычисл. по уравнению (1))	Расхождение, %
Pb(WO₄)				
13,1697	694,2—293,2	0,07286 ± 0,10 %	0,07284	+0,03
13,1697	785,3—293,2	0,07382 ± 0,07 %	0,07378	+0,05
13,1697	873,8—293,2	0,07469 ± 0,06 %	0,07470	—0,01
13,1697	1042,5—293,2	0,07643 ± 0,10 %	0,07644	—0,01
19,3053	710,2—293,2	0,07296 ± 0,07 %	0,07300	—0,05
19,3053	1012,4—293,2	0,07614 ± 0,08 %	0,07613	+0,01
CdWO₄				
14,2196	698,4—293,2	0,09086 ± 0,15 %	0,09083	+0,04
14,2196	822,8—293,2	0,09343 ± 0,07 %	0,09320	—0,2
14,1615	1064,0—293,2	0,09788 ± 0,03 %	0,09780	+0,08
16,4867	636,0—293,2	0,08959 ± 0,01 %	0,08965	—0,07
16,4867	992,4—293,2	0,09622 ± 0,13 %	0,09643	—0,2

В исследованном интервале температур они охватываются уравнениями

$$\bar{C}_{p, \text{PbWO}_4} = 0,06566 + 1,034 \cdot 10^{-5} T \quad (\text{точность } \pm 0,03\%); \quad (1)$$

$$\bar{C}_{p, \text{CdWO}_4} = 0,07754 + 1,9041 \cdot 10^{-5} T \quad (\text{точность } \pm 0,10\%),$$

где \bar{C}_p — средняя удельная теплоемкость в исследованном интервале температур, а T — абсолютная температура. Истинные теплоемкости C_p вольфраматов свинца и кадмия, вычисленные по формуле $C_p (T_2 - T_1) =$

$\int_{T_1}^{T_2} C_p dT$, могут быть выражены уравнениями

$$C_{p, \text{PbWO}_4} = 0,06263 + 2,068 \cdot 10^{-5} T;$$

$$C_{p, \text{CdWO}_4} = 0,07195 + 3,8082 \cdot 10^{-5} T.$$

Авторы благодарны проф. С. М. Скуратову за ряд ценных указаний использованных ими при монтаже установки и выполнении настоящей работы.

ВЫВОДЫ

Методом массивного калориметра в интервале $800-20^{\circ}\text{C}$ измерены средние теплоемкости вольфраматов свинца и кадмия и даны уравнения для вычисления средней и истинной теплоемкости этих солей.

Московский государственный
университет им. М. В. Ломоносова

Поступила
18.VII.1956

ЛИТЕРАТУРА

1. В. Ф. Гиллебранд и Г. Э. Лендель. Практическое руководство по органическому анализу, ОНТИ, М., 1935.
2. М. М. Попов, Термометрия и калориметрия, Изд-во МГУ, 1954.
3. С. М. Скуратов и С. А. Лапушкин, Журн. общ. химии, 21, 2217, 1954.

THE HEAT CAPACITIES OF LEAD AND CADMIUM TUNGSTATES AT HIGH TEMPERATURES

L. A. Zharkova and T. N. Bezukhina (Moscow)

Summary

The mean heat capacities of lead and cadmium tungstates have been measured over the temperature ranges $636.0-293.2^{\circ}\text{A}$ to $1064.0-293.2^{\circ}\text{A}$ by means of a massive calorimeter and equations have been given for calculating the mean and the true heat capacities of these salts.

НЕКОТОРЫЕ ВОПРОСЫ ТЕОРИИ ЭЛЕКТРООСАЖДЕНИЯ СПЛАВОВ

IV. ОСЦИЛЛОГРАФИЧЕСКОЕ ИССЛЕДОВАНИЕ ПОТЕНЦИАЛА КАТОДА
В ПРОЦЕССЕ ОСАЖДЕНИЯ СПЛАВОВ*Ю. М. Полукаров и К. М. Горбунова*

При исследовании механизма электроосаждения сплавов и особенно возможностей возникновения на катоде той или иной фазы существенно важными оказываются данные о потенциале катода и характере его изменения в течение процесса.

Изменения потенциала катода в процессе соосаждения двух металлов в первую очередь являются следствием изменений состава раствора вблизи катода в результате неодинакового потребления ионов различного сорбции при образовании сплава, ибо, как правило, соотношения компонентов сплава и в растворе не совпадают. Процесс осложняется явлениями сорбции, зависящей от потенциала катода и его природы, а также явлениями диффузии составных частей раствора к месту их потребления. Можно ожидать, что отмеченный сложный характер процесса, протекающего на катоде, должен привести к изменениям его потенциала во времени, имеющим односторонне направленный или периодический характер.

В ряде работ отмечалось наличие периодических колебаний потенциала катода, сопровождающих процесс совместного осаждения двух металлов; однако вопрос об их природе, непосредственно связанный с решением вопроса о том, происходит ли процесс разряда ионов металлов одновременно, или путем периодического чередования, остается до сих пор открытым.

Большое значение для понимания механизма явлений, протекающих на катоде в процессе образования сплава, имеют также данные, характеризующие изменение потенциала в первый момент после включения тока. Исследованием потенциала электрода с целью выяснения механизма электрохимических реакций занималось довольно много исследователей. Однако материалы этих работ не всегда позволяют сделать определенные выводы о природе процессов, вызывающих изменения потенциала катода в процессе электролиза. В настоящей статье мы ограничимся рассмотрением лишь тех работ, в которых исследовались изменения потенциала в процессе электроосаждения сплавов.

Мейер и Филлипс [1] изучали изменение потенциала в процессе электроосаждения сплавов меди с кадмием и меди со свинцом. Изменения потенциала отмечались самоиндуцирующим милливольтметром. Ими было обнаружено, что при совместном осаждении меди со свинцом и меди с кадмием потенциал периодически менялся. Наблюдавшиеся отклонения доходили до 50 mV и имели период колебания около 6 мин. Ф. Михалев [2] наблюдал самопроизвольные изменения силы тока и потенциала при осаждении сплава кадмия с цинком. Измерение потенциала производилось потенциометрически. Самопроизвольные колебания потенциала наблюдались только в присутствии добавок кофеина и декстрина. В случае добавки декстрина к сернистой кислоте наблюдались колебания силы тока в пределах 1 mA, а потенциала в пределах 10 mV. Приблизительно такие же колебания наблюдались в случае добавления к раствору кофеина. В присутствии желатины или пептона никаких колебаний обнаружено не было. Автор отмечает, что наилучшие по своему виду осадки получались именно в тех случаях, когда имели место самопроизвольные изменения потенциала катода. Эти колебания автор объяснил сменяющимися друг друга процессами разряда ионов цинка и ионов кадмия. Изменения потенциала катода в процессе выделения кадмия с цинком из растворов их сернистых солей с добавкой 3% декстрина изучались А. Т. Вагрянином

[3]. Автор применил автоматическую запись потенциала катода. Сила тока в цепи в отличие от предыдущей работы, поддерживалась постоянной. Им был получен ряд кривых, анализ которых привел автора к заключению о том, что возникновение периодических колебаний связано с изменениями величины растущей поверхности в процессе электролиза.

Настоящее исследование ставилось с целью выявления зависимости характера изменения потенциала катода от фазового строения образующегося сплава (непрерывный ряд твердых растворов, несколько твердых растворов, образование химического соединения или эвтектическая смесь). Основное внимание было обращено на решение вопроса о том, протекает ли разряд ионов обоих металлов одновременно или последовательно и в какой мере тип возникающей структуры осадка связан с электрохимическими характеристиками процесса.

ЭКСПЕРИМЕНТАЛЬНАЯ ЧАСТЬ

Для регистрации изменений потенциала катода был применен шлейфовый осциллограф с усилителем постоянного тока. Общая схема для регистрации колебаний изображена на рис. 1.

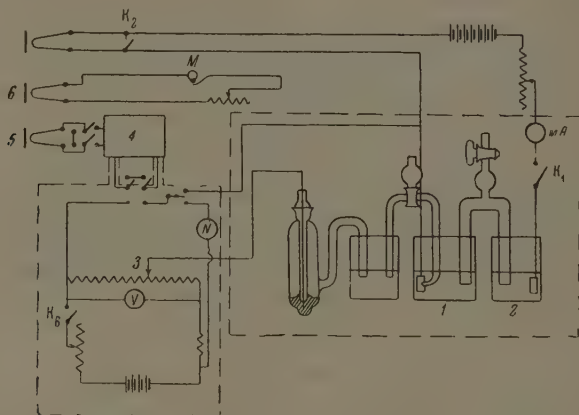


Рис. 1. Принципиальная схема установки для регистрации потенциала катода в процессе осаждения сплава

Катод 1 и анод 2 во избежание влияния продуктов, образующихся у анода, особенно в случае нерастворимых анодов, помещались в различные сосуды, соединенные сфифомом. Потенциал катода определялся по отношению к насыщенному каломельному электроду. В том случае, когда работа велась с растворами солей серебра или ртути, в цепь дополнительно включался промежуточный сосуд с раствором азотнокислого калия. Электродвижущая сила элемента катод—каломельный электрод подавалась на вход усилителя постоянного тока. Избыток напряжения компенсировался встречно э. д. с., которая снималась с потенциометра 3. В качестве нуля-инструмента служил микроамперметр, включенный на выходе усилителя. Усилитель 4 вместе со шлейфом обеспечивал чувствительность 1 мВ на 1 мм на ленте осциллографа. Сопротивление входа усилителя $4 \cdot 10^6 \Omega$. Для предохранения шлейфа 5 от перегрузки использовалось реле максимального тока. Шлейф 6 использовался для регистрации времени на ленте осциллографа. Скорость движения ленты могла меняться от 10 до 6000 см/мин.

В настоящей статье приводятся данные, характеризующие процесс электрокристаллизации сплавов серебро—ртуть и серебро—кадмий.

Совместный разряд ионов серебра и ртути. Первоначально нами была исследована система серебро—ртуть, представлявшая интерес ввиду того, что близость потенциалов выделения этих металлов не потребовала применения добавочных мер для их сближения.

давало возможность получить электролитическую ванну для получения сплава без добавок комплексообразователей или поверхностно-активных веществ, присутствие которых осложнило бы рассмотрение механизма процесса. Кроме того, разряд ионов на поверхности жидкой ртути должен исключить влияние структурных факторов на процесс.

Процесс совместного разряда ионов серебра и ртути изучался в растворе 0,01 N AgNO_3 и 0,002 N $\text{Hg}_2(\text{NO}_3)_2$. При составлении электролита особое внимание обращалось на чистоту солей азотнокислого серебра и азотнокислой ртути; кроме того, соли были предварительно прокалены для удаления органических примесей.

Осциллографически регистрировались потенциалы катода при осаждении серебра на ртуть, ртути на ртуть и совместном осаждении серебра и ртути на поверхности ртути. В качестве катода служила поверхность ртути, выступающей из отверстия загнутой вверх стеклянной трубки, непосредственно к поверхности ртутного катода (площадью $1,5 \text{ см}^2$) подвешен кончик стеклянного ключа; при этом обращалось внимание на то, чтобы вдавливания капилляра в поверхность ртути не происходило. В некоторых опытах, учитывая возможность изменения формы мениска при поляризации, капилляр отводился от поверхности ртути на расстоянии $0,1\text{--}0,2 \text{ м.м.}$ от поверхности катода. При исследовании катодного потенциала в процессе электроосаждения ртути на ртуть в большом интервале плотностей тока (от $0,5$ до 6 мА/см^2) изменений потенциала катода было обнаружено. Осциллограммы представляли собой прямые линии, параллельные оси времени. В случае совместного выделения серебра и ртути при плотностях тока, меньших 25 мА/см^2 , в условиях установившегося процесса также не наблюдалось изменений потенциала катода во времени. При включении тока наблюдалось, вначале резкое, а затем постепенное повышение потенциала до постоянного значения. После установления потенциала значения его оставались неизменными. При переходе к более высоким плотностям тока (37 мА/см^2 и выше) наблюдались резкие скачки потенциала, доходящие до 60 мВ (рис. 2). В случае разряда одних ионов серебра на поверхности ртути из раствора азотнокислого серебра скачки потенциала наблюдались уже при плотностях тока, начиная с 15 мА/см^2 . В случае совместного выделения ртути и серебра при плотностях тока, близких к 37 мА/см^2 , так и в опытах по осаждению чистого серебра при 37 мА/см^2 , колебания потенциала имели довольно закономерный характер и были вполне воспроизводимы. При больших плотностях тока колебания потенциала становились менее закономерными, хотя их общий характер оставался прежним (рис. 3).

Путем микроскопического наблюдения за поверхностью ртутного катода было установлено, что при плотностях тока, для которых колебания потенциала не обнаруживаются, поверхность ртути остается жидкой, выделяющееся серебро полностью растворяется в ртути. В случаях плотностей тока, при которых были обнаружены сильные колебания потенциала, поверхность ртути оказывается покрытой твердой пленкой, по-видимому, из α -фазы сплава серебра с ртутью, на которой со временем развивались дендриты из серебра или, в случае совместного разряда серебра и ртути, их сплав. По достижении определенных размеров дендриты отрывались с поверхности ртути. При сравнительно низких плотностях тока по всей поверхности рос только один дендрит. После исчезновения выросшего дендрита начинал расти новый и т. д. Время от начала роста одного дендрита до исчезновения его в точности соответствовало промежуткам между минимумами потенциала, регистрируемого на ленте осциллографа. При более высоких плотностях тока дендриты возникали по всей поверхности, также периодически исчезая, что и отмечалось на осциллограмме в виде соответствующих не вполне закономерных скачков. Периодическое появление и исчезновение дендритов на поверхности ртутного катода, первоначально довольно быстро покрывающегося твер-

дой пленкой из сплава серебра с ртутью, по-видимому, можно объяснить следующим образом. Если на некотором этапе электролиза создаются условия, способствующие возникновению дендрита, то в дальнейшем, в условиях концентрационно-диффузионных условий, в основном развивается дендрит, а отложение серебра на других участках прекращается. В то же время на поверхности ртути под дендритом непрерывно протекает процесс растворения твердой пленки α -фазы с образованием жидкого сплава

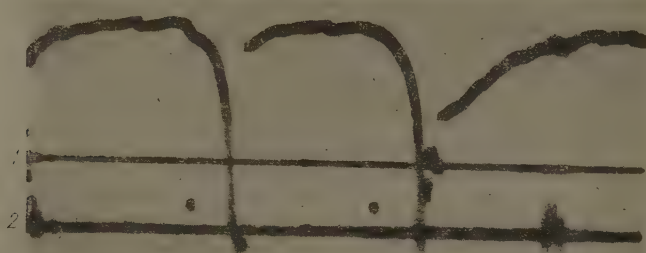


Рис. 2. Осциллограмма процесса осаждения сплава ртуть—серебро; $D_K 37 \text{ mA/cm}^2$: 1—характеризует изменение потенциала катода во времени; 2—характеризует силу тока в цепи ячейки, расстояние между точками соответствует интервалу времени 30 сек.

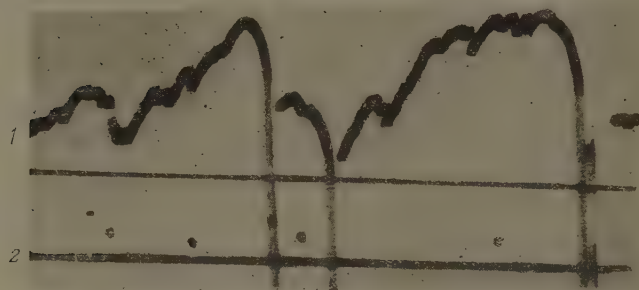


Рис. 3. Осциллограммы процесса осаждения сплава ртуть—серебро; $D_K 50 \text{ mA/cm}^2$: 1—характеризует изменение потенциала катода во времени; 2—характеризует силу тока в цепи ячейки, расстояние между точками соответствует интервалу времени 30 сек.

Со временем пленка серебра, на которой возник дендрит, оказывается целиком растворенной, и дендрит погружается в ртуть. Понятно, что чем толще основная пленка сплава на поверхности ртути, тем до больших размеров успевает вырасти дендрит. Так как пленка по всей поверхности имеет, по-видимому, приблизительно одинаковую толщину, то и полное растворение ее требует примерно одинакового времени. Описанный характер явлений объясняет тот факт, что все дендриты при данной плотности тока вырастают до одинаковых размеров, а обусловленные этим колебания потенциала имеют закономерный характер. С этой точки зрения становится понятным появление скачков в случае осаждения чистого серебра при более низкой плотности тока, чем это имеет место при совместном разряде ионов серебра и ртути.

Совместный разряд ионов кадмия и серебра. Для совместного разряда ионов кадмия и серебра использовался раствор, содержащий 44 г/л иодида кадмия, 120 г/л цианистого натрия и 48 г/л сернокислого натрия. К одному литру этого раствора добавлялось 100 мл раствора из 70 г/л цианистого серебра и 80 г/л иодида натрия. Соотношение серебра к кадмию в ванне соответствовало 1 : 10. Зависимости от плотности тока состав осадка менялся от 7 до 50% Cd.

Система серебро—кадмий относится к типу систем, компоненты которой образуют несколько твердых растворов. Образование твердых растворов сопровождается выделением довольно значительного количества энергии. Расчет, произведенный нами на основании данных работы Гейльберга [4], показывает, что при электроосаждении данной системы можно ожидать смещения потенциала выделения в положительную сторону за счет энергии смешения приблизительно на 0,15 В. Следовательно,

$$\begin{array}{r} + \frac{E_{\text{K}} 5 \text{ МВ/см}^2}{+} \\ - \frac{E_{\text{M}} 10 \text{ МВ/см}^2}{+} \\ \hline \text{30 сек} \end{array}$$

Рис. 4. Осциллограммы процесса осаждения сплава серебро—кадмий

в случае если бы осаждение металлов происходило путем последовательного отложения слоев одного и другого металлов, то даже в том случае, когда их потенциалы выделения были бы равны, можно было ожидать скачков потенциала, обусловленных смещением потенциала в положительную сторону за счет энергии смешения. Действительно, в первый момент отложения одного металла на другой смещение должно иметь максимальное значение и затем резко падать с ростом слоя металла. Таким образом, возникновение каждого нового слоя должно было бы сопровождаться резкими скачками потенциала. Отмеченное выше отсутствие колебаний потенциала, несмотря на наличие энергии смешения, в случае осаждения сплава серебро—ртуть могло быть объяснено условиями процесса, протекающего на жидкой поверхности. При осаждении же сплава серебро—кадмий на твердой поверхности должен был бы проявиться периодический характер колебания потенциала в случае послойного отложения металлов. Однако снятые осциллограммы имели плавный характер без каких-либо резких скачков (рис. 4).

ОБСУЖДЕНИЕ РЕЗУЛЬТАТОВ

Изучение литературы, посвященной исследованиям периодических изменений потенциала катода в процессе электроосаждения, обнаруживает, что вопросу об изменении потенциала катода в процессе электрокристаллизации сплавов до сих пор уделялось мало внимания.

Так, в работе Мейера и Филлипса [1], наряду с металлографическими исследованиями сплавов, затрагивается также вопрос о периодическом изменении потенциала катода в процессе электроосаждения сплавов. Однако применявшаяся авторами установка для записи колебаний потенциала регистрировала не только изменения потенциала катода; в показаниях прибора находили отражение также изменения потенциала анода и изменения падения напряжения в электролите, вследствие непостоянства величины сопротивления в прикатодной и прианодной зонах. Наблюдавшиеся авторами периодические изменения напряжения на ячейке могли быть и целиком вызваны колебаниями потенциала анода.

В упоминавшейся ранее работе П. Ф. Михалева наблюдавшиеся колебания потенциала при осаждении сплава цинк—кадмий имели место только в присутствии добавок поверхностно-активных веществ. В отсутствие добавок осаждение сплава не сопровождалось изменением потенциала. Высказанное автором предположение, что колебания потенциала связаны с послойным отложением, представляется маловероятным. Так как в этом случае осаждение сплава происходит в условиях, когда один из разряжающихся ионов находится в режиме предельного диффузионного

тока, то скорее следует предположить, что при электролизе происходит чередование процесса разряда ионов кадмия с процессами одновременного разряда ионов кадмия и цинка. Такое чередование может быть вызвано, в частности, наличием адсорбционной пленки поверхностно-активного вещества на катоде [3]. Таким образом, изменение потенциала катода при электролизе раствора, содержащего, наряду с ионами кадмия и цинка, также кофеин или декстрин, по-видимому, обусловлено не самим актом разряда ионов, а адсорбцией и десорбцией поверхностно-активного вещества на электроде. Данное предположение подтверждается работами Д. Н. Грицана и Н. С. Цветкова [5], которые наблюдали подобные же колебания потенциала для случая осаждения чистого кадмия в присутствии добавок кофеина и декстрина.

Осуществленный в нашей работе контроль потенциала катода при образовании сплавов серебро—ртуть и серебро—кадмий дает возможность сделать определенное заключение о том, что в случае, когда потенциалы выделения металлов оказываются достаточно близкими и когда достигнут и превышен потенциал разряда ионов наиболее электроотрицательного в данном растворе металла, начинается одновременный разряд ионов; предполагавшееся некоторыми авторами поочередное накопление ионов того или иного металла с последующим послойным отложением этих металлов на катоде, по-видимому, не имеет места. Действительно, подобный периодический процесс сопровождался бы значительными периодическими изменениями потенциала катода в процессе отложения сплава. Как видно из приводившегося экспериментального материала, осаждение сплавов серебра с ртутью и серебра с кадмием протекает при постоянном потенциале. Наблюдавшиеся в некоторых случаях скачки потенциала при осаждении сплава серебро—ртуть вызваны вторичными явлениями растворения твердой пленки сплава в ртути. Небольшие плавные колебания потенциала при электроосаждении сплава серебро—кадмий, по-видимому, связаны с периодическим изменением концентрации раствора, отмечавшимся в работе Бешара [6].

ВЫВОДЫ

1. Установлено, что разряд ионов при образовании сплавов серебро—ртуть и серебро—кадмий, протекающий при потенциалах катода, превышающих потенциалы разряда ионов наиболее электроотрицательного в данном растворе металла, происходит одновременно, а не путем последовательного чередования процессов разряда различных ионов.

Подобное заключение согласуется с данными рентгенографического анализа, проводимого различными авторами [7].

2. На основании микроскопических наблюдений было показано, что наблюдавшиеся в некоторых случаях колебания потенциала при осаждении сплава серебро—ртуть на поверхности ртути связаны с периодическим растворением твердой α -фазы сплава в ртути.

Академия наук СССР
Институт физической химии

Поступила
4. IX. 1956

ЛИТЕРАТУРА

1. W. Meyer, A. Phillips, Trans. Electroch. Soc., 73, 408, 1938.
2. П. Ф. Михалев, ДАН, 24, 899, 1939.
3. А. Т. Ваграмян, Электроосаждение металлов, М., 1950, стр. 160.
4. W. Biltz, Zs. Metallkunde, 29, 73, 1937.
5. Д. Н. Грицан и Н. С. Цветков, Журн. физ. химии, 26, 1110, 1952.
6. C. Bechard, Formation et structure alliages electrolytiques, Paris, 1939.
7. Я. С. Уманский и Д. И. Лайнер, Сборник научных трудов Минцветметзолото, № 8, 1940; H. Kersten, Rev. Metallurgic, 26, 657, 1929; C. Stillwell, L. Staut, Journ. Chem. Soc., 54, 2583, 1932; C. Stillwell Metall. Ind., 31, 47, 1933.

SOME PROBLEMS IN THE THEORY OF THE ELECTRODEPOSITION OF ALLOYS

Yu. M. Polukarov and K. M. Gorbunova (Moscow)

Summary

The paper presents data on the oscillographic investigation of the cathode potential in the process of the electrodeposition of silver-mercury and silver-cadmium alloys. The studies were undertaken with the aim of obtaining data throwing light on the mechanism of the concurrent discharge at the cathode of ions of several metals to form an alloy. On the basis of the results obtained it is inferred that during the formation of a solid solution the ion discharge takes place simultaneously and does not require the alternate adsorption of ions of this or that metal. The observed fluctuations in the cathode potential were caused by various side effects rather than by discharge of the ions, itself.

ТЕРМОДИНАМИЧЕСКИЕ СВОЙСТВА ХЛОРИСТОГО ЦИНКА В РАСПЛАВАХ $\text{ZnCl}_2\text{—RbCl}$

Б. Ф. Марков

В предыдущих статьях [1, 2] помещены результаты измерений э. д. химических цепей с растворами, образованными хлористым свинцом а также хлористым магнием и хлоридами щелочных металлов. На основе этих измерений выполнены расчеты парциальных термодинамических свойств PbCl_2 и MgCl_2 в соответствующих растворах. При этом было установлено, что для систем с химическим воздействием компонентов наблюдается своеобразное изменение термодинамических свойств: например, не правило, найденная энтропия растворения была выше идеальной, а теплота растворения с составом меняла знак.

По термическому анализу [3] в системе $\text{ZnCl}_2\text{—RbCl}$ образуются два конгруэнтно плавящиеся соединения: RbZn_2Cl_5 с т. пл. 306°C , Rb_2ZnCl_4 с т. пл. 528°C . Поэтому термодинамические свойства ZnCl_2 в расплавленных смесях этих солей должны быть типичными для систем с химическим взаимодействием и повторять те особенности, которые наблюдались в ранее изученных системах.

Парциальные термодинамические свойства ZnCl_2 в расплавах $\text{ZnCl}_2\text{—NaCl}$ и $\text{ZnCl}_2\text{—KCl}$ нами не изучались, поскольку соответствующие измерения были выполнены М. Ф. Лантратовым и А. Ф. Алабышевым [4].

ЭКСПЕРИМЕНТАЛЬНАЯ ЧАСТЬ

Метод расчета термодинамических величин по э. д. с. химических цепей смешанными электролитами и их температурным коэффициентом описан в предыдущей статье [1]. Здесь укажем только принятые обозначения термодинамических величин, поскольку они приводятся в таблицах.

Изобарно-изотермический потенциал образования соли $\text{Me}_1\text{X} - \Delta Z_1^0$, то же в солевой смеси ΔZ_1 ; энтропия образования $\text{Me}_1\text{X} - \Delta S_1^0$, то же в солевой смеси ΔS_1 ; энтальпия образования $\text{MeX} - \Delta H_1^0$, то же в солевой смеси ΔH_1 . Изменение соответствующих парциальных величин Me_1X : для реального раствора $\bar{Z}_1 - Z_1^0$, $\bar{S}_1 - S_1^0$, $\bar{H}_1 - H_1^0$; для идеального раствора $\bar{Z}_1^i - Z_1^0$, $\bar{S}_1^i - S_1^0$, $\bar{H}_1^i - H_1^0$.

Избыточные парциальные величины (разность парциальных величин для реального и идеального раствора) \bar{Z}_1^E , \bar{S}_1^E , \bar{H}_1^E . Изучение расплавов, составленных из ZnCl_2 и RbCl , было начато с измерения э. д. с. химической цепи индивидуального ZnCl_2 . Препарат безводного ZnCl_2 был приготовлен так, как описано в статье [3].

Устройство электролитической ячейки показано на рис. 1. Сосуд был изготовлен из тугоплавкого стекла с впаянной снизу вольфрамовой проволокой для осуществления контакта с жидким цинком. Для компенсации термо-э. д. с. пары вольфрам-графит служил графитовый токоподвод, который соединялся с вольфрамовой проволокой в зоне высокой температуры.

Платина-платинородиевая термопара в защитном кварцевом чехле помещалась в расплав, и ее горячий спай располагался между электродами.

Образование цинкового и хлорного электродов на графите происходило во время предварительного электролиза. Измерение э. д. с. цепи выполнялось так, как описано в предыдущей статье [1]; спустя 10 сек. после переключения ячейки на компенсацию измерялась э. д. с., которая в течение последующих 15—20 сек. практически не изменялась и, следовательно, соответствовала обратимо работающей цепи.

При работе со смесями солей состав расплава после измерений определялся, исходя из навесок ZnCl_2 и RbCl за вычетом количества ZnCl_2 разложенного током во время предварительного электролиза. Последняя величина определялась по весу осевшего на катоде цинка.

Опыты проводились следующим образом. В разогретую ячейку заливался заранее подготовленный расплав, затем вставлялся подогретый анод и проводился предварительный электролиз током в 1А. При помощи фототерморегулятора устанавливалась и поддерживалась постоянная температура 500°C.

В последний период предварительного электролиза неоднократно измерялась э. д. с. цепи при указанной температуре. После этих замеров ток снижался до 0,1 А, а температура поднималась выше 550°C. Перед повторными измерениями э. д. с. при новой установившейся температуре ток снова повышался до 1А. При этом каждый раз учитывалось количество ампер-часов, которое было пропущено после измерения э. д. с. при 550°, что позволяло рассчитать изменение состава электролита во время измерений. Ввиду большого объема электролита изменение состава по этой причине было настолько малым, что практически не влияло на величину э. д. с.

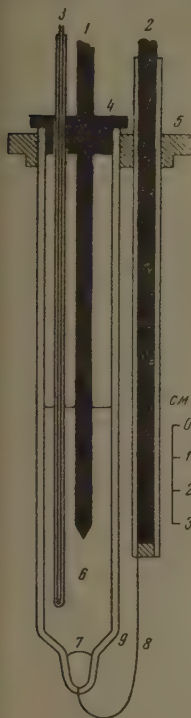


Рис. 1

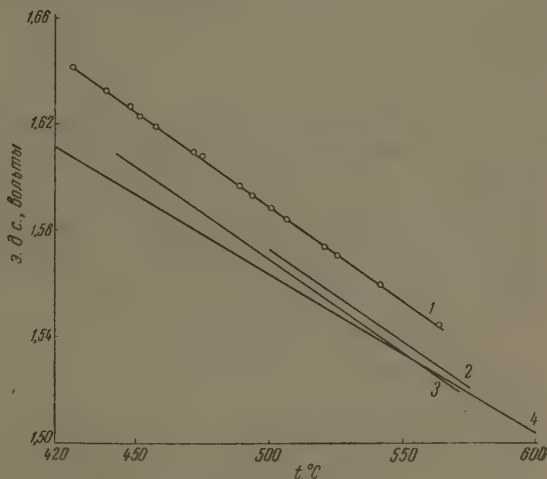


Рис. 2

1. Сосуд-электролизер для химических цепей. 1 — графитовый анод; 2 — графитовый токопровод к вольфраму; 3 — термопара Pt—PtRh; 4 — графитовая крышка; 5 — керамическая крышка трубчатой печи; 6 — расплавленный электролит; 7 — расплавленный цинк; 8 — вольфрам; 9 — сосуд из тугоплавкого стекла

2. Электродвижущая сила химической цепи $\text{Zn} | \text{ZnCl}_2 | \text{Cl}_2$. 1 — наши измерения; 2 — данные [6]; 3 — данные [4]; 4 — данные [5]

В табл. 1 помещены результаты измерения э. д. с. химической цепи ZnCl_2 .

В температурном интервале 426—563°C зависимость э. д. с. химической цепи $\text{Zn} | \text{ZnCl}_2 | \text{Cl}_2$ от температуры линейна и может быть представлена уравнением

$$\text{э. д. с.} = 1,5885 - 0,71 \cdot 10^{-3}(t - 500) \text{ В.}$$

Расчет термодинамических величин для образования жидкого ZnCl_2 при 419,5° дает следующие значения:

$$\Delta H_{\text{ZnCl}_2}^0 = 75\,930 \text{ кал/г-моль}, \Delta S_{\text{ZnCl}_2}^0 = -32,76 \text{ кал/град} \cdot \text{г-моль}, \Delta H_{\text{ZnCl}_2}^2 =$$

$$= -98\,600 \text{ кал/г-моль.}$$

Э. д. с. цепи $\text{Zn} | \text{ZnCl}_2 | \text{Cl}_2$ измерялась рядом исследователей, данные которых для сопоставления приведены на рис. 2. Наиболее заниженные величины получены Лоренцом и Вельде [5]. Данные М. Ф. Лантратора и А. Ф. Алабышева [4] близко совпадают с результатами Вахтера Гильдебранда [6], в особенности по температурному коэффициенту, но все же ниже наших приблизительно на 0,015—0,016 В.

Относящиеся к системе $\text{ZnCl}_2 - \text{PbCl}$ экспериментальные данные помещены в табл. 2 и 3.

По данным табл. 3 рассчитаны термодинамические величины для ZnCl_2 в смесях с RbCl .

Таблица 1

Э. д. с. химической цепи $\text{Zn} | \text{ZnCl}_2 | \text{Cl}_2$

Опыт 1

$t, ^\circ\text{C}$	474	506	493	457	447	438	426	
Э. д. с., вольты	1,6080	1,5846	1,5930	1,6196	1,6270	1,6328	1,6420	

Опыт 2

$t, ^\circ\text{C}$	500	520	541	563	525	488	471	451
Э. д. с., вольты	1,5886	1,5740	1,5594	1,5442	1,5708	1,5970	1,6094	1,6220

Таблица 2

Э. д. с. химической цепи $\text{Zn} | \text{ZnCl}_2(x_1) + \text{RbCl}(1-x_1) | \text{Cl}_2$ молярная доля $\text{ZnCl}_2(x_1)$ 0,789

$t, ^\circ\text{C}$	500	500	500	564	565	565	550					$\frac{dE}{dt} \cdot 10^3 \text{ В/град}$
Э. д. с., вольты	1,5968	1,597	1,5968	1,5536	1,5534	1,5534	(1,5634)					-0,667

молярная доля $\text{ZnCl}_2(x_1)$ 0,736

$t, ^\circ\text{C}$	500	500	500	570	570	570	550					
Э. д. с., вольты	1,6038	1,6040	1,6038	1,5568	1,5564	1,5565	(1,570)					-0,674

молярная доля $\text{ZnCl}_2(x_1)$ 0,685

$t, ^\circ\text{C}$	500	500	500	570	570	570	570	550				
Э. д. с., вольты	1,6084	1,6086	1,6084	1,5638	1,5640	1,5640	1,5640	(1,5767)				-0,634

Таблица 2 (продолжение)

мольная доля ZnCl_2 (x_1) 0,634

$t, ^\circ\text{C}$	500	500	500	500	500	500	571	571	571	571	550	
Д. с., вольты	1,6188	1,6188	1,6184	1,6186	1,6186	1,6188	1,5732	1,5732	1,5732	1,5732	(1,5866)	-0,639

мольная доля ZnCl_2 (x_1) 0,608

$t, ^\circ\text{C}$	500	570	550									
Д. с., вольты	1,6276	1,5834	(1,591)									-0,631

мольная доля ZnCl_2 (x_1) 0,547

$t, ^\circ\text{C}$	501	500	570	550								
Д. с., вольты	1,644	1,6446	1,603	(1,6149)								-0,594

мольная доля ZnCl_2 (x_1) 0,485

$t, ^\circ\text{C}$	500	500										
Д. с., вольты	1,6810	1,6812										

мольная доля ZnCl_2 (x_1) 0,474

$t, ^\circ\text{C}$	550	550										
Д. с., вольты	1,6588	1,6590										-0,58

мольная доля ZnCl_2 (x_2) 0,442

$t, ^\circ\text{C}$	500	500	500									
Д. с., вольты	1,7126	1,7128	1,7128									

Примечание. Цифры в скобках найдены интерполяцией.

Таблица 3

Термодинамические свойства $ZnCl_2$ в расплавленной системе $ZnCl_2-RbCl$

x_1	1	0,789	0,736	0,685	0,634	0,608	0,547	0,485	0,474	0,442
$\frac{dE}{dt} \cdot 10^4, V/град$	-0,71	-0,667	-0,674	-0,634	-0,639	-0,631	-0,594	—	-0,58	—
$\Delta S_1, кал/моль/град$	-32,76	-30,77	-31,17	-29,25	-29,48	-29,1	-27,4	—	-26,75	—
$\bar{S}_1 - S_1^0$	0	1,99	1,58	3,51	3,28	3,66	5,36	—	6,01	—
$\bar{S}_1^i - S_1^0$	0	0,47	0,609	0,752	0,906	0,989	1,094	—	1,484	—
\bar{S}_1^E	0	1,52	0,971	2,758	2,374	2,671	4,266	—	4,526	—
500° E, V	1,5885	1,5968	1,6038	1,6084	1,6186	1,6276	1,6446	1,6812	(1,688)	1,7128
$\Delta Z_1, кал/моль$	-73280	-73660	-73980	-74180	-74680	-75070	-75870	-77550	-77870	-79010
$\bar{Z}_1 - Z_1^0$	0	-380	-700	-900	-1380	-1790	-2590	-4270	-4590	-5730
$\bar{Z}_1^i - Z_1^0$	0	-364	-471	-581	-700	-765	-927	-1112	-1147	-1255
\bar{Z}_1^E	0	-16	-229	-319	-680	1025	-1663	3158	-3443	-4475
550° E, V	1,5530	1,5634	1,570	1,5767	1,5866	1,596	1,6149	—	1,6590	—
$\Delta Z_1, кал/моль$	-71630	-72110	-72430	-72750	-73210	-73630	-74480	—	-76530	—
$\bar{Z}_1 - Z_1^0$	0	-490	-800	-1120	-1590	-2000	-2850	-4900	—	—
$\bar{Z}_1^i - Z_1^0$	0	-388	-502	-619	-746	-814	-987	—	1221	—
\bar{Z}_1^E	0	-102	-298	-501	-844	-1186	-1863	—	-3679	—
ΔH_1	-98600	-97440	-98080	-96790	-97450	-97570	-97050	—	-98540	—
$\bar{H}_1 - H_1^0$	0	+1140	+520	+1810	+1150	+1030	+1550	—	+60	—

ОБСУЖДЕНИЕ РЕЗУЛЬТАТОВ

Особенности парциальных термодинамических свойств ZnCl_2 удовлетворительно объясняются на основе высказанного нами ранее предположения [7], что многие индивидуальные расплавленные соли, в том числе Cl_2 , представляют ассоциированные жидкости.

Избыточный парциальный изобарный потенциал ZnCl_2 (Z_1^E) при 500°C во всей исследованной области составов имеет значительную отрицательную величину. Это находится в согласии с тем фактом, что по химическому анализу в системе обнаруживаются конгруэнтно плавящиеся соединения.

Естественно предположить, что в расплаве цинк находится в виде комплексных ионов Zn_2Cl_3^- и ZnCl_4^{2-} . В частности, существование комплексного иона ZnCl_4^{2-} подтверждается раман-спектрами расплавов $\text{ZnCl}_2 - \text{KCl}$ [8].

Примечателен тот факт, что избыточный парциальный потенциал Cl_2 при 550°C больше по абсолютной величине, чем при 500°C . То же было установлено нами в других ранее изученных системах с ярко выраженным химическим взаимодействием [1, 2]. Такое же изменение избыточного парциального потенциала PbCl_2 с температурой в смесях $\text{PbCl}_2 - \text{Cl}_2$ наблюдали Вахтер и Гильдебранд [6]. Следовательно, в этих случаях ионный потенциал изменялся с температурой сильнее, чем парциальный ионный потенциал, т. е. при повышении температуры резко менялось состояние компонента в чистом виде, которое принято как стандартное. Если компонент в индивидуальном состоянии ассоциирован, то при повышении температуры ассоциация будет ослабевать, а вместе с этим изменится молярный потенциал.

При всех составах избыточная парциальная энтропия (\bar{S}_1^E) положительна. Этот факт согласуется с предположением об ассоциации индивидуального ZnCl_2 .

Растворение ZnCl_2 в смесях сопровождается поглощением тепла, поскольку $\bar{H}_1 - H_1^* > 0$. Поглощение тепла, вероятно, связано здесь разрушением ассоциатов ZnCl_2 при его растворении. В системах, в которых компоненты образуют соединения, а первый компонент в индивидуальном состоянии предположительно ассоциирован, тепловой эффект творения первого компонента с составом меняет знак, например, в системе $\text{PbCl}_2 - \text{RbCl}$ [1].

В системе $\text{ZnCl}_2 - \text{RbCl}$ также намечается перемена знака теплового эффекта.

Разрушение ассоциатов будет сопровождаться, вероятно, поглощением тепла, а образование комплексов, напротив, выделением тепла.

В связи с этим перемена может быть объяснена тем, что при составах, богатых первым компонентом, преобладает тепловой эффект, связанный с разрушением ассоциатов над эффектом от комплексообразования; в растворах, соответствующих составу комплексов, преобладает второй эффект.

Предположение об ассоциации расплавленных солей (по крайней мере, кристаллы которых имеют слоистую решетку), выдвинутое нами для объяснения термодинамических свойств растворов [7], подтвердилось недавно появившейся работой Буса [8] по раман-спектрам расплавленных ZnCl_2 , CdCl_2 и их смесей с хлористым калием.

ВЫВОДЫ

1. Измерены э. д. с. химических цепей в зависимости от температуры состава для двойной расплавленной системы $\text{ZnCl}_2 - \text{RbCl}$.
2. Рассчитаны термодинамические свойства ZnCl_2 в растворах с хлористым рубидием.

3. По термодинамическим свойствам можно заключить, что а) судя о парциальному изобарному потенциалу, установленные термическим анализом в системе конгруентно плавящиеся соединения устойчивы таки в расплаве; б) рост избыточного парциального потенциала $ZnCl_2$ с температурой, положительная избыточная парциальная энтропия и поглощение тепла при растворении $ZnCl_2$ согласуются с предположением, что индивидуальный $ZnCl_2$ является ассоциированной жидкостью.

Академия наук УССР
Институт общей и неорганической химии
Киев

Поступила
21. VII. 1956

ЛИТЕРАТУРА

1. Б. Ф. Марков, Ю. К. Делимарский и И. Д. Панченко, Журн. физ. химии, 28, 1987, 1954.
2. Б. Ф. Марков, Ю. К. Делимарский и И. Д. Панченко, Журн. физ. химии, 29, 51, 1955.
3. Б. Ф. Марков, И. Д. Панченко и Т. Г. Костенко, Укр. хим. журн., 22, 287, 1956.
4. М. Ф. Лантратов и А. Ф. Алабышев, Журн. прикл. химии, 27, 72, 1954.
5. R. Lorenz, H. Velde, Zs. anorg. allg. chem., 183, 81, 1929.
6. A. Wachter, J. Hildebrand, Journ. Amer. chem. Soc., 52, 4655, 1930.
7. Б. Ф. Марков, Укр. хим. журн., 21, 703, 1955.
8. W. Bues, Zs. anorg. all. chem., 279, 104, 1955.

THERMODYNAMIC PROPERTIES OF ZINC CHLORIDE IN $ZnCl_2$ —RbCl MELTS

B. F. Markov (Kiev)

Summary

Electromotive forces of chemical cells, measured while varying the temperature and composition of the $ZnCl_2$ —RbCl melted binary system, have been used as a basis for the calculation of the thermodynamic properties of zinc chloride established by thermodynamic analysis in this system.

From the value of the partial isobaric potential of zinc chloride the congruently melting compounds also appear to be stable in the melt.

Some particular features in the partial properties of zinc chloride are explained on the assumption that the individual zinc chloride is an associated liquid.

ЧУВСТВИТЕЛЬНЫЙ МЕТОД ИЗМЕРЕНИЯ КОЭФФИЦИЕНТОВ ДИФФУЗИИ

В. А. Геодакян и А. А. Жуховицкий

Для измерения малых коэффициентов диффузии, которые представляют интерес, в частности, в связи с проблемой жаропрочности, нужны чувствительные методы.

Существующие методы, основанные на применении радиоактивных индикаторов можно разбить на две группы. Методы первой группы, связанные с разрушением образца, имеют малую чувствительность. Более высокая чувствительность абсорбционных методов, относящихся ко второй группе. Однако их чувствительность зависит от природы излучения поглощающей способности исследуемого вещества. Абсорбционные методы, кроме того, разработаны лишь для α - и β -излучателей.

В этой статье излагается новый чувствительный метод измерения коэффициентов диффузии при помощи меченых атомов [1]. При разработке чувствительного, экспрессного метода естественно сосредоточить внимание на той части образца, в которой при непродолжительном отжиге происходят существенные изменения. Такой частью является поверхность пластины, на которую в начале опыта наносится малое количество диффундирующего вещества, меченого радиоизотопом.

Убыль концентрации на поверхности со временем является наиболее подходящим объектом для построения чувствительного метода.

Зависимость концентрации на поверхности c от времени диффузионного отжига t выражается следующим уравнением [2]:

$$c = \frac{q}{\sqrt{\pi Dt}}, \quad (1)$$

где D — коэффициент диффузии; q — все количество диффундирующего вещества.

Так как при нанесении вещества на поверхность в начальный момент концентрация практически не равна бесконечности, то уравнение (1) имеет асимптотический характер, оказываясь действительным при средних путях диффузии, существенно больших толщины нанесенного слоя.

Задача сводится, таким образом, к разработке методики измерения концентрации на поверхности, как функции времени отжига.

Активность поверхностного слоя измерялась снятием «отпечатка» поверхности. Эта операция должна обеспечить разрушение возможно тонкого слоя поверхности и перенос его на подкладку, позволяющую рационально провести измерение интенсивности излучения.

Для этой цели можно применить, например, описанный Фишером и Вебером [3] метод снятия чрезвычайно тонких и ровных слоев с металлов и сплавов путем катодного распыления.

Однако после ряда испытаний мы остановились на анодном растворении. Пропитанная электролитом фильтровальная бумага зажималась между активной стороной образца и стальной пластинкой (рис. 1). Через образованную таким образом электролитическую ячейку (где анодом является образец, а катодом — пластинка) пропускался электрический ток в течение нескольких минут.

В результате анодного травления на бумаге появлялся радиоактивный отпечаток. При этом радиоактивные ионы целиком оставались в бумаге, катод не приобретал активности. Радиоактивность отпечатка измерялась на счетной установке.

Рассмотрим сначала случай самодиффузии. Очевидно, что полученная интенсивность отпечатка будет пропорциональна концентрации

$$I_t = k_1 c, \quad (2)$$

а величина γ -излучения образца I_γ пропорциональна общему количеству диффундирующего вещества

$$q = k_2 I_\gamma. \quad (3)$$

Из уравнений (1) — (3) можно получить

$$\frac{I_t}{I_\gamma} = \frac{k_1 k_2}{V \pi D t}. \quad (4)$$

Для определения коэффициентов k_1 и k_2 необходимо снять аналогичный «отпечаток» с образца с равномерно распределенным радиоактивным веществом. Такой образец готовится сплавлением. Очевидно, что интенсивность «отпечатка» с этого образца

$$I_\infty = k_1 c_\infty, \quad (5)$$

где c_∞ — концентрация в этом образце.

Общее же количество радиоактивного вещества в образце пропорционально его γ -излучению

$$q_\infty = k_2 I_{\infty \gamma}, \quad (6)$$

с другой стороны,

$$q_\infty = c_\infty \delta_\infty, \quad (7)$$

где δ_∞ — толщина образца.

Ясно, что k_1 и k_2 будут одни и те же для обоих опытов только в том случае, если одинаковы условия электролиза и измерения интенсивности излучения, т. е. если при снятии отпечатков пропускается одно и то же количество электричества и точно соблюдается геометрия счета. При счете γ -активности надо учесть, что, в то время как в исследуемом образце активность целиком сконцентрирована у поверхности, в образце, полученном сплавлением, она равномерно распределена по всей толщине δ_∞ , поэтому во избежание больших ошибок последний образец надо расположить ближе к счетчику на расстояние $\delta_\infty/2$.

Из уравнений (5) — (7) следует, что

$$k_1 k_2 = \frac{I_\infty \delta_\infty}{I_{\infty \gamma}}. \quad (8)$$

Подставляя (7) в (4) получим

$$\frac{I_t}{I_\gamma} = \frac{I_\infty \delta_\infty}{I_{\infty \gamma} V \pi D t}. \quad (9)$$

Если построить зависимость I_t/I_γ от $1/\sqrt{t}$, то из углового коэффициента асимптотической прямой

$$m = \frac{I_\infty \delta_\infty}{I_{\infty \gamma} V \pi D}, \quad (10)$$

можно рассчитать коэффициент диффузии

$$D = \frac{I_{\infty}^2 \delta_{\infty}^2}{I_{\infty \gamma}^2 \pi m^2}. \quad (11)$$

Выполнение линейности $I_t/I_{\gamma} - 1/\sqrt{t}$ является критерием достаточности снятых времен отжига.

Значительные трудности могут возникнуть при снятии рассмотренным методом отпечатков со сплавов из компонентов с сильно отличающимися электродными потенциалами. При анодном растворении менее благородный компонент растворяется легче, вследствие чего поверхностный слой обогащается более благородным компонентом, и меняется активность повторнo снятых отпечатков. Для того чтобы различные компоненты сплава растворялись одинаково, необходимо создать режим анодной полировки, т. е. надо вести электролиз под большим напряжением. При этом требуются большие плотности тока, и становится затруднительным пропускать и точно измерять малые количества электричества.

Для сплавов рационально применять следующее видоизменение методики снятия отпечатков. Две электролитические ячейки из исследуемого образца и образца с равномерно распределенной активностью соединяются последовательно, как показано на рис. 2. Так как через две ячейки проходит одинаковое количество электричества, то отпадает необходимость в измерении силы тока и времени. При этом одна из ячеек служит своего рода радиоактивным кулометром.

Таким образом при исследовании диффузии в сплавах после каждого отжига делаются «парные отпечатки», и по каждой паре рассчитывается коэффициент диффузии. Расчетную формулу (9) удобнее написать для таких сплавов в следующем виде

$$D = \frac{I_{\infty}^2 \delta_{\infty}^2 I_{\gamma}^2}{I_{\infty \gamma}^2 \pi I_t^2 t}, \quad (12)$$

здесь t — время отжига для данной пары «отпечатков». Очевидно, что в этом случае критерием выхода на асимптоту (достаточности времени отжига) будет уже постоянство коэффициента диффузии для разных времен.

При выборе условий снятия отпечатков удобно поступать следующим образом.

Надо приготовить два образца с равномерным распределением различных количеств радиоактивного вещества и добиться, чтобы интенсивности снятых с них отпечатков относились друг к другу как интенсивности γ -излучения образцов:

$$\frac{I_{\infty}^1}{I_{\infty}^2} = \frac{I_{\infty \gamma}^1}{I_{\infty \gamma}^2}. \quad (13)$$

Выполнение этого соотношения, наряду с воспроизводимостью повторных отпечатков является критерием пригодности выбранного режима снятия отпечатков.

При электролитическом снятии отпечатков со сплавов, активность отпечатка I пропорциональна, строго говоря, молярной доле диффундирующего компонента N_B . Поэтому вышеизложенный ход вычисления коэффициента диффузии справедлив только для случая самодиффузии и диффузии в бесконечно разбавленный раствор, так как только в этих случаях концентрация c_B пропорциональна молярной доле N_B . При решении рассматриваемого вопроса для концентрированных растворов необходимо рассмотреть связь между N_B и c_B ...

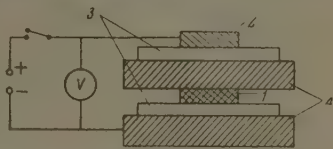


Рис. 2. Схема электролитической ячейки для снятия отпечатков со сплавов

Настоящий метод не ограничен видом излучения. Можно работать с любым изотопом как с чистым (α , β , К-захват), так и со смешанным излучением с любым видом спектра.

В заключение рассмотрим кратко правильную постановку опыта с применением метода «отпечатка» для получения характеристик самодиффузии и гетеродиффузии в растворах.

Для получения коэффициента самодиффузии в любом методе, при точной постановке опыта наносимый слой должен иметь одинаковый с образцом химический состав и отличаться по изотопному для одного из компонентов.

Однако, благодаря тому, что скорость самодиффузии существенно меньше скорости гетеродиффузии, часто бывает достаточно ограничиться нанесением тонкого радиоактивного слоя, содержащего лишь один из компонентов. При этом быстро выравнивается химический состав, и затем медленно протекает самодиффузия. Таким образом часто вместо ожидаемого среднего коэффициента диффузии в сплаве измеряют коэффициент самодиффузии.

Для изучения гетеродиффузии, при строгой постановке опыта, необходимо иметь в образце и в наносимом слое одинаковый изотопный состав и разный химический. Отметим, что такая постановка опыта почти никогда не осуществляется и что при этом возникают специфические трудности, например уменьшение точности и чувствительности.

Метод «отпечатка», как и всякий экспрессный метод, облегчает постановку опыта для изучения гетеродиффузии, в то время как при изучении самодиффузии использование преимуществ этих методов будет затруднено.

При нанесении тонкого слоя радиоактивного компонента на сплав сначала идет процесс гетеродиффузии, который может быть зарегистрирован и измерен экспрессной методикой.

Выполнение асимптотической зависимости может служить критерием, что процесс самодиффузии еще не сказывается на измерении. Для экспрессного измерения самодиффузии в сплаве необходимо нанесение слоя тождественного с образцом химического состава.

Новый метод проверялся нами на примере измерения характеристик самодиффузии серебра и железа.

Самодиффузия серебра исследовалась при семи температурах в интервале 400—925°C. Полученные коэффициенты диффузии приведены в табл. 1

Таблица 1

$t, ^\circ\text{C}$	925	850	750	700	600	500	400
$D, \frac{\text{см}^2}{\text{сек}}$	$3,5 \cdot 10^{-9}$	$9,5 \cdot 10^{-10}$	$1,1 \cdot 10^{-10}$	$3,9 \cdot 10^{-11}$	$2,9 \cdot 10^{-12}$	$2,5 \cdot 10^{-13}$	$2,2 \cdot 10^{-14}$

Зависимость коэффициентов диффузии от температуры изображена на рис. 3. Методом наименьших квадратов без двух точек при 400—500°C, при этих температурах заметно сказывается граничная диффузия, для коэффициента диффузии получена зависимость

$$D = 0,65e^{-45400/RT} \text{ см}^2/\text{сек.}$$

Самодиффузия серебра исследовалась различными методами Джонсоном [4], Турибуллом и Гоффманом [5], Сливкиным, Лазарусом и Томизука [8], Крюгером и Нершом [7], С. И. Крюковым [6], А. А. Жуховицким и нами [9]. В табл. 2 сведены значения энергий активации и предэкспонентных факторов из всех этих работ. Из табл. 2 видно, что данные, полученные

Таблица 2

Температур- ный интеграл, °C	$D, \frac{\text{см}^2}{\text{сек}}$	$Q, \frac{\text{кал}}{\text{г-атом}}$	Метод
725—950	0,895	45 950	снятия слоев [4]
500—900	0,895	45 900	снятия слоев — абсорбционный [5]
726—924	1,8	47 400	тонкого слоя [6]
707—877	0,834	44 900	автораднографии [7]
666—936	0,4	44 700	снятия слоев [8]
750—925	0,53	45 000	толстого слоя [9]
400—925	0,65	45 400	отпечатка, в настоящей работе

Одним отпечатка удовлетворительно согласуются с результатами других исследователей [4—8].

Метод применялся также для исследования самодиффузии железа в интервале температур 700—1200° C.

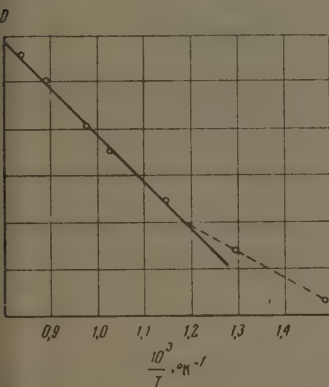


Рис. 3. Температурная зависимость для самодиффузии серебра

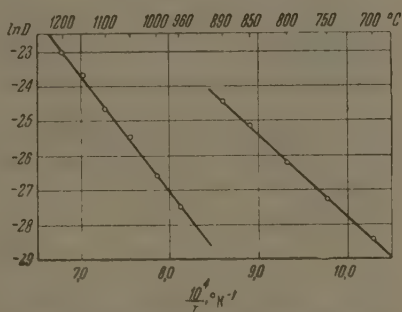


Рис. 4. Температурная зависимость для самодиффузии железа

Коэффициенты диффузии, полученные при этом, представлены в табл. 3. Температурная зависимость коэффициентов самодиффузии для α - и γ -железа представлена на рис. 4.

Таблица 3

t°, C	1200	1150	1100	1050	1000	
$D, \frac{\text{см}^2}{\text{сек}}$	$10,0 \cdot 10^{-11}$	$5,1 \cdot 10^{-11}$	$2,0 \cdot 10^{-11}$	$8,4 \cdot 10^{-12}$	$2,8 \cdot 10^{-12}$	
C	900	890	850	800	750	700
$\frac{\text{см}^2}{\text{сек}}$	$11,2 \cdot 10^{-13}$	$2,4 \cdot 10^{-11}$	$1,2 \cdot 10^{-11}$	$3,9 \cdot 10^{-12}$	$1,4 \cdot 10^{-12}$	$4,4 \cdot 10^{-13}$

Уравнения этих прямых соответственно имеют вид:

$$D_{\alpha\text{-Fe}} = 0,019e^{-47400/RT} \text{ см}^2/\text{сек};$$

$$D_{\gamma\text{-Fe}} = 1,3e^{-67900/RT} \text{ см}^2/\text{сек}.$$

Для сравнения полученных данных по самодиффузии железа с результатами других авторов приводится табл. 4.

Следует считать, что полученные данные для γ -железа хорошо согласуются с наиболее надежными литературными данными. Для α -железа литературные данные, как это видно из табл. 4, очень сильно расходятся.

Коэффициенты диффузии серебра в медь, полученные нами совместно с А. Д. Соцковым, имели следующие значения при $t^\circ \text{C}$:

$$900^\circ - 2,6 \cdot 10^{-9}; 850^\circ - 1,3 \cdot 10^{-9}; 800^\circ - 4,9 \cdot 10^{-10}; 750^\circ - 2,6 \cdot 10^{-10}.$$

Таблица 4

Температурный интеграл $^\circ\text{C}$	D_0 , $\frac{\text{см}^2}{\text{сек}}$	Q , $\frac{\text{кал}}{\text{г-атом}}$	Метод
720—800	$2,3 \cdot 10^8$	73 200	абсорбционный
720—900	5,8	59 700	абсорбционный
785—850	0,14	52 000	тонкого слоя
	0,1	48 000	снятия слоев
700—890	0,019	47 400	отпечатка, в настоящей работе
970—1357	58,0	74 200	абсорбционный
1050—1400	0,58	67 900	абсорбционный
960—1250	0,76	68 000	снятие слоев
960—1200	1,3	67 900	отпечатка, в настоящей работе

Рассчитанное по этим данным значение энергии активации составляло $37\,400 \frac{\text{кал}}{\text{г-атом}}$, в то время как Кубашевский получил для этой системы $37\,200 \frac{\text{кал}}{\text{г-атом}}$.

ВЫВОДЫ

1. Разработан новый метод определения коэффициентов диффузии преимуществами которого являются: высокая чувствительность, простота и универсальность по отношению к характеру излучения.

2. Измерены коэффициенты самодиффузии серебра и железа.

Институт стали
им. И. В. Сталина
Москва

Поступила
23. VIII. 1956

ЛИТЕРАТУРА

1. А. А. Жуховицкий, В. А. Геодакян, Журн. физ. химии, 29, 13, 1955.
2. Р. Баррер, Диффузия в твердых телах, ИИЛ, М., 1948.
3. T. Fisher, C. Weber, Journ. Appl. Phys., 23, 181, 1952.
4. W. A. Johnson, Trans. Amer. J. M. Met. Eng., 143, 107, 1941.
5. K. Hoffman, D. Turnbull, Journ. Appl. Phys., 22, 634, 1951.
6. С. И. Крюков, А. А. Жуховицкий, ДАН, 90, 380, 1953.
7. H. Krueger, H. Nersis, Trans. Amer. J. M. Met. Eng., 203, 125, 1955.
8. L. Slifkin, D. Lazarus, T. Tomizuka, Journ. Appl. Phys., 23, 10, 1952.
9. А. А. Жуховицкий, В. А. Геодакян, ДАН, 102, 301, 1955.
10. C. Birchenal, R. Mehl, Journ. Metals, 188, 144, 1950.
11. F. Buffington, J. Bakalar, Journ. Metals, 188, 1460, 1950.
12. П. Л. Грузин, Сборник «Проблемы металловедения и физики металлов», Металлургия, стр. 201, 1952.
13. O. Kubaschewski, Trans. Farad. Soc., 46, 713, 1950.

A SENSITIVE METHOD FOR DETERMINING DIFFUSION COEFFICIENTS

V. A. Geodakyan and A. A. Zhukhovitsky (Moscow)

Summary

A new method has been described for measuring small diffusion coefficients, making use of radioactive isotopes. The method is based on measuring the surface concentration by making radioactive "prints" through anodic dissolution. The annealing time is reduced a thousand times as compared to the method of separation into layers.

РАВНОВЕСИЕ ЖИДКОСТЬ — ГАЗ В СИСТЕМЕ АЦЕТАЛЬДЕГИД — МЕТАН ПРИ ВЫСОКИХ ДАВЛЕНИЯХ

Д. С. Циклис и Я. Д. Шварц

В связи с изучением систем, содержащих ацетальдегид [1], мы определили растворимость метана в ацетальдегиде и ацетальдегида в метане при давлениях до 100 атм и температурах от 0 до 40° С.

Исследование было проведено на установке, которая была описана ранее [2]. Анализ газовой фазы состоял в пропускании дросселированного из установки газа через поглотители с сернокислым гидроксиламином. Выделяющуюся при реакции между ацетальдегидом и гидроксиламином серную кислоту оттитровывали [1].

Жидкую фазу анализировали, выпуская ее из аппарата в ловушку, находившуюся при —80° С. При этой температуре жидкий ацетальдегид имеет небольшую упругость пара, что позволяет откачать ртутным насосом весь растворенный в нем метан в калиброванные емкости. Количество ацетальдегида в жидкой фазе определяли взвешиванием ловушки, а количество метана по давлению в калиброванной емкости [2].

Для исследования применяли метан, содержавший 2,5% азота и 2% высших углеводородных газов, и ацетальдегид марки «чистый», ГОСТ (ТУ) 2633-51.

Данные приведены в табл. 1 и 2.

Таблица 1

Растворимость метана в ацетальдегиде под давлением
(интерполированные данные)

Давление, атм	Мольная доля метана в жидкой фазе · 10 ² при t, °С			Давление, атм	Мольная доля метана в жидкой фазе · 10 ² при t, °С		
	1	20	40		1	20	40
10	2,2	2,15	2,0	60	13,0	12,3	11,2
20	4,9	4,6	4,0	70	14,7	14,1	12,7
30	7,0	6,7	5,9	80	16,2	15,6	14,1
40	9,1	8,6	7,7	90	18,2	17,2	15,5
50	11,1	10,6	9,4				

Таблица 2

Растворимость ацетальдегида в сжатом метане
(интерполированные данные)

Давление, атм	1°		20°		40 °С	
	Мольная доля ацеталь- дегида · 10 ²	Граммов ацетальдегида в 1 л сжатого газа	Мольная доля ацеталь- дегида · 10 ²	Граммов ацетальдегида в 1 л сжатого газа	Мольная доля ацеталь- дегида · 10 ²	Граммов ацетальдегида в 1 л сжатого газа
10	4,65	1,30	8,00	2,10	—	—
20	3,30	1,34	6,50	2,58	10,7	4,80
30	2,50	1,40	5,40	2,92	9,05	5,23
40	2,08	1,65	4,42	3,44	7,50	5,68
50	1,84	1,93	3,75	3,88	6,22	6,16
60	1,70	2,31	3,40	4,30	5,22	6,70
70	1,62	2,74	3,17	4,73	5,18	7,41
80	1,59	3,20	3,13	5,24	5,05	8,32
90	1,56	3,70	3,10	6,16	5,02	9,39
100	—	—	—	—	5,00	10,44
110	—	—	—	—	4,97	11,60

ОБРАБОТКА ПОЛУЧЕННЫХ РЕЗУЛЬТАТОВ

И. Р. Кричевский и А. А. Ильинская [3] предложили уравнение, хорошо описывающее экспериментальные данные по растворимости газов-неэлектролитов под давлением в их разбавленных растворах:

$$RT \ln \frac{f_2^0 N_2'}{N_2} = RT \ln K(P_1^0, T) + \int_{P_1^0}^P \bar{v}_2 dP - A(P_1^0, T)(1 - N_1^2), \quad (1)$$

где f_2^0 — летучесть чистого метана в газовой фазе; N_2' — мольная доля метана в газовой фазе; N_2 — мольная доля метана в жидкой фазе; \bar{v}_2 — молярный мольный объем метана в его бесконечно разбавленном растворе в ацетальдегиде; P_1^0 — давление насыщенного пара ацетальдегида при данной температуре; $K(P_1^0, T)$ — коэффициент Генри при давлении, равном давлению насыщенного пара ацетальдегида; A — коэффициент; N_1 — мольная доля ацетальдегида в жидкой фазе; P — общее давление.

Значения f_2^0 были взяты нами из работы Г. Т. Левченко [4]. В литературе отсутствуют сведения о парциальных мольных объемах метана в его бесконечно разбавленном растворе ацетальдегида.

Предположив, что \bar{v}_2 в небольшой степени зависит от природы растворителя и мало меняется с давлением, мы воспользовались значением $100 \text{ см}^3/\text{моль}$ парциального мольного объема метана в его растворе в жидком метане, определенном И. Р. Кричевским и Г. Д. Ефремовой [5].

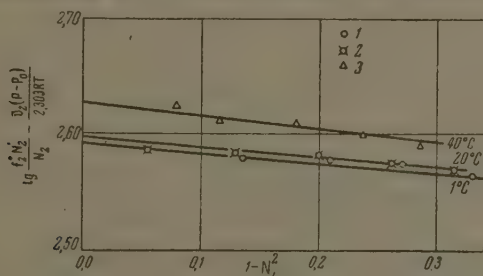


Рис. 1. Проверка уравнения Кричевского—Ильинской: 1 — 1°C, 2 — 20°C; 3 — 40°C

Давление насыщенного пара ацетальдегида определяли по уравнению [6]:

$$\lg P_1^0 = 7,01610 - \frac{1034,52}{t + 230}, \quad (2)$$

где t — температура.

N_2' , N_2 и N_1 были определены нами.

Вычислив значения

$$\lg \frac{f_2^0 N_2'}{N_2} - \frac{\bar{v}_2 (P - P_1^0)}{2,303 RT},$$

и нанесли их на график против значения $(1 - N_1^2)$ (рис. 1). Точки удовлетворительно легли на прямую линию, по наклону которой были определены коэффициенты Генри и A (табл. 3).

Для обработки полученных нами экспериментальных данных по растворимости ацетальдегида в сжатом метане мы воспользовались уравнением Кричевского — Хазановой для растворов полярных жидкостей в неполярных газах [7]:

$$\ln \frac{f_2^0}{K_1} = \frac{N\mu^2}{a^3} \frac{P^0}{RT(P^0 + V_2^0)}, \quad (3)$$

где f_2^0 — летучесть чистого метана; V_2^0 — мольный объем чистого метана; N — число Авогадро; μ — дипольный момент ацетальдегида; a — радиус сферы точечного диполя; P^0 — молекулярная поляризация метана; K_1 — коэффициент Генри для ацетальдегида в газовой фазе.

Значения V_2^0 были взяты нами из работы [4], а значение молекулярной поляризации метана из [8] ($P^0 = 6,76 \text{ см}^3$).

Коэффициент Генри

$$K_1 = \frac{f'_{1,p}}{N'_1}, \quad (4)$$

где $f'_{1,p}$ — летучесть ацетальдегида в газовой фазе. Эту величину можно рассчитывать, определив по уравнению со вторым вириальным коэффициентом*

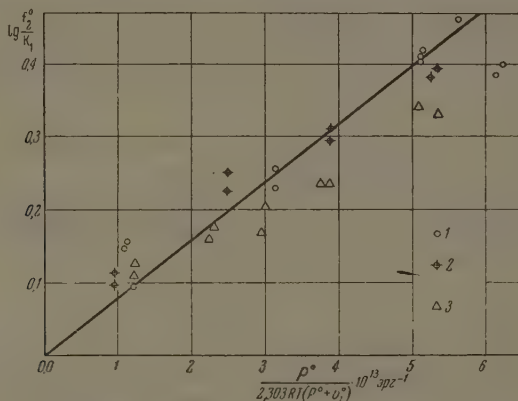


Рис. 2. Проверка уравнения Кричевского—Хазановой: 1 — 1°; 2 — 20°; 3 — 40°С

летучесть ацетальдегида при давлении его насыщенного пара, а затем рассчитав по уравнению Пойнтинга летучесть чистого ацетальдегида при давлении опыта.

Зная летучесть чистого ацетальдегида при давлении опыта, по уравнению:

$$RT \ln f'_{1,p} = RT \ln f_{1,p}^0 N_1 + AN_2^2 \quad (5)$$

рассчитывали летучесть ацетальдегида в газовой фазе. Здесь N_1 и N_2 — соответственно мольные доли ацетальдегида и метана в жидкой фазе, A — коэффициент.

Отложив на графике $\lg f_2^0 / K_1$ против $P^0 / RT(P^0 + V_2^0)$, мы получили рис. 2, из которого видно, что точки легли на прямую линию с отклонением не более 10—15%, т. е. в тех пределах, которые предусмотрены авторами при выводе этого уравнения. Значение $N\mu^2/a^3$, вычисленное по угловому коэффициенту наклона прямой, равно $7,6 \cdot 10^{11} \text{ эрг}$. По данным М. В. Королевой [9] значение этой величины для метанола равно $7,1 \cdot 10^{11} \text{ эрг}$.

* Второй вириальный коэффициент ацетальдегида известен [10].

ВЫВОДЫ

1. Определена растворимость метана в ацетальдегиде при температурах 20 и 40° С и давлениях до 90 *атм*.
 2. Растворимость метана в ацетальдегиде передается уравнением Кричевского — Ильинской.
 3. Определена растворимость ацетальдегида в сжатом метане при температурах 1, 20 и 40° С и давлениях до 110 *атм*.
 4. Уравнение Кричевского — Хазановой удовлетворительно передает данные по растворимости ацетальдегида в сжатом метане.
- Авторы выражают благодарность И. Р. Кричевскому за ценные советы при проведении данной работы.

Институт азотной промышленности
Москва

Поступила
24.VII.1956

ЛИТЕРАТУРА

1. Д. С. Циклис и А. Н. Кофман, Журн. физ. химии, 31, 100, 1957.
2. Д. С. Циклис и А. Н. Кофман, Труды ГИАП, № 5, 1955.
3. И. Р. Кричевский, Фазовые равновесия в растворах при высоких давлениях, ГХИ, 1952.
4. Г. Т. Левченко, Журн. физ. химии, 18, 453, 1944.
5. И. Р. Кричевский и Г. Д. Ефремова, Журн. физ. химии, 27, 1682, 1953.
6. T. E. Smith, R. E. Bonner, Ind. Eng. Chem., 43, 1169, 1951.
7. И. Р. Кричевский и Н. Е. Хазанова, Журн. физ. химии, 13, 106, 1939.
8. H. N. Ulligh, J. G. Kirkwood, F. G. Keyes, Journ. Chem. Phys., 1, 155, 1933.
9. И. Р. Кричевский и М. В. Королева, Acta Physicochem. 15, 327, 1941.
10. E. A. Alexander, J. D. Lambert, Trans. Farad. Soc., 37, 421, 1941.

GAS-LIQUID EQUILIBRIUM IN THE SYSTEM ACETALDEHYDE-METHANE
UNDER HIGH PRESSURES

D. S. Tsiklis and Ya. D. Shvarts (Moscow)

Summary

The solubility of methane in acetaldehyde has been determined at temperatures 1, 20 and 40°C and pressures up to 90 *atm*. The solubility obeys the Krichevskii-Il'inskaya equation. The solubility of acetaldehyde in compressed methane has been determined at 20 and 40°C and pressures up to 110 *atm*. The solubility of acetaldehyde in methane satisfactorily expressed by the equation of Krichevskii and Khazanova.

К ВОПРОСУ ОБ ЭНЕРГИЯХ ДИССОЦИАЦИИ МОЛЕКУЛ ОКИСЛОЩЕЛОЧНО-ЗЕМЕЛЬНЫХ ЭЛЕМЕНТОВ

И. В. Вейц и Л. В. Гурвич

Энергия диссоциации является одной из важнейших характеристик молекул, сведения о которой необходимы для решения ряда теоретических и практических задач физики и химии.

За последние годы исследованию энергий диссоциации окислов щелочноземельных металлов был посвящен ряд работ [1—13]. По принятым методам исследования они могут быть разделены на две группы: к одной относятся работы, выполненные на основании измерения константы равновесия диссоциации в пламенах [1, 2, 7, 8, 13] к другой — работы, основанные на измерении давлений насыщенных паров [3, 5, 6, 9, 11]. Значения энергий диссоциации, полученные различными авторами, приводятся в табл. 1. Как видно из таблицы, значения энергий диссоциации CaO и SrO , найденные в последней работе Хульда и Лагерквиста [7], и значение $D_0(\text{BaO})$, найденное Джеймсом [13], хорошо согласуются с нашими данными [8]. Значение $D_0(\text{MgO}) = 120 \text{ ккал/моль}$, полученное в работе [1], является, по-видимому, ошибочным, так как авторами были допущены ошибки в расчетах, отмеченные Бревеном [4] и в работе [8].

Таблица 1

Энергии диссоциации окислов щелочно-земельных элементов в ккал/моль

Молекула, основное состояние	Измерение констант равновесия диссоциации в пламенах по данным				Измерение давлений насыщенных паров по данным				Теоретич. расчет по данным [12]	Экстраполяция Бердха-Шноер
	[8]	[4]	[7]	[13]	[3]	[5]	[6]	[11]		
$^1\Sigma$										
MgO	100,0	120,0	—	—	—	112,8	94,5	—	103,7	76,0
CaO	114,8	120,0	112,7	—	118,6	—	—	—	—	94,0
SrO	111,0	111,0	111,7	—	112,9	—	88,4	—	—	84,0
BaO	138,1	126,8	128,0	134,5	131,2	—	—	130,5	—	157,0

Таким образом, если отбросить данные [1] для MgO , можно сделать вывод, что значения энергий диссоциации окислов щелочноземельных металлов, найденные различными авторами на основании измерений в пламенах, удовлетворительно согласуются между собой. Дрэммонд и Барроу [3] показали, что значения энергий диссоциации CaO , SrO и BaO , найденные методом пламени, находятся в хорошем согласии с данными по давлениям насыщенных паров этих окислов. Значение $D_0(\text{MgO}) = 100 \text{ ккал/моль}$ также хорошо согласуется с теплотой сублимации этого окисла, вычисленной по данным Руфа и Шмидта [14].

Однако недавнее исследование теплоты сублимации MgO и SrO [6], выполненное на основании масс-спектрометрических измерений, привело к значительно более низким энергиям диссоциации этих окислов. Согласно данным, полученным в этой работе, окислы MgO и SrO имеют низкие энергии диссоциации, и их пары почти целиком состоят из одноатомных паров соответствующих металлов. В работе [6] было высказано предположение, что в предыдущих исследованиях допускались ошибки при измерении давлений насыщенных паров окислов, так как за давление насыщенного пара окисла принималось суммарное давление окисла и продуктов его диссоциации. В связи с этим мы были вынуждены рассмотреть вопрос о возможных источниках систематических ошибок в измерениях энергии диссоциации окислов щелочноземельных металлов в пламенах.

Напомним, что при исследованиях энергий диссоциации в пламенах предполагается, что металл, вводимый в кислородные пламена, присутствует в газах пламени только в виде окисла и одноатомного газа. Образование в пламенах других соединений металла может привести к систематическим ошибкам в вычисляемых значениях пар-

бного давления окисла металла и, следовательно, к завышенным значениям энергии диссоциации.

Между тем, однако, отметить, что сам по себе метод и в этом случае позволяет определить правильное значение энергии диссоциации, если известны соединения, образующиеся в пламени, и известны или могут быть достаточно надежно оценены их энергии диссоциации [15].

Поскольку в работе [8] было показано, что в пламенах щелочноземельные металлы могут существовать в заметных количествах в виде соединений типа Me_2 , MeH и MeN , разование многоатомных соединений этих металлов в пламенах, ввиду низкой концентрации металла, представлялось маловероятным, до самого последнего времени положение о том, что окислы являются основным соединением щелочно-земельных металлов, присутствующим в пламенах, казалось бесспорным.

Однако Джеймс и Сагден [16] при исследовании изменения интенсивности полос Ca , Sr и Ba в спектрах изотемпературных пламен $\text{H}_2 + \text{O}_2 + \text{N}_2$ в зависимости от концентрации H_2 и O_2 высказали предположение, что ряд сложных по структуре полос, приписываемых ранее молекулам окислов [17], в действительности принадлежат молекулам гидроокисей этих металлов типа MeOH .

Это предположение было подтверждено Гейдоном [18], который исследовал спектр дуги, содержащей соединения кальция и следы тяжелой и обычной воды, спектр дуги в воздухе и спектр водородно-кислородного пламени, содержащих соединения кальция. При этом были получены оранжево-красные и зеленые полосы, чиник которых длительное время оставался предметом дискуссии. На основании подсчета смещения голов полос в присутствии дейтерия Гейдон [18] показал, что полосам, которым принадлежат эти полосы, содержится водород. Поскольку самый полос исключает возможность их отнесения к молекулам двухатомного гидроксида, очевидно, что они принадлежат молекулам CaOH^* . Рассматриваемые полосы в спектрах пламен, содержащих Ca , Sr и Ba , имеют интенсивность, сравнимую с интенсивностью полос окислов соответствующих металлов. Джеймс и Сагден [16] считают, что возбуждение полос обусловлено хемилюминесценцией, вызванной образованием в пламени молекул типа MeOH в возбужденном состоянии при столкновении атома OH и атома металла. В этом случае парциальные давления гидроокисей были бы много меньше парциальных давлений окислов. Однако Гейдон [18] высказывает предположение, что излучение гидроокисей является термическим, и так как интенсивность соответствующих полос велика, Гейдон поставил под сомнение данные об энергиях диссоциации окислов щелочноземельных металлов, полученные при исследовании в пламенах, поскольку присутствие гидроокисей металлов в пламенах должно вести к завышенным значениям энергий диссоциации.

СЛЕДОВАНИЕ ЭНЕРГИИ ДИССОЦИАЦИИ CaO и SrO В ПЛАМЕНИ $\text{CO} + \text{O}_2$

Энергии диссоциации в пламенах могут исследоваться только при условии, что в газах пламени имеется химическое и термодинамическое равновесие. При наличии равновесных условий парциальное давление гидроксила в пламени должно быть пропорционально парциальному давлению диоксида. Поэтому предположение Гейдона [18] об ошибочности данных энергий диссоциации CaO и SrO , полученных при исследованиях в пламенах, может быть проверено, если провести аналогичные исследования в пламени, где гидроксил отсутствует или содержится в значительно меньших количествах. Если предположение Гейдона справедливо, то энергии диссоциации, найденные в таком пламени, должны быть существенно ниже полученных в предыдущих работах. В связи с этим нами было проведено исследование энергии диссоциации CaO и SrO в пламени $\text{CO} + \text{O}_2$, в котором практически отсутствует водород, а парциальное давление диоксида, образующегося при введении в пламя растворов солей щелочных металлов, на 1,5—2,0 порядка ниже парциального давления гидроксила в пламенах $\text{C}_2\text{H}_2 + \text{O}_2$ и $\text{H}_2 + \text{O}_2$.

Энергии диссоциации CaO и SrO в пламени $\text{CO} + \text{O}_2$ были исследованы по методу, описанному в [8]. Исходный состав горючей смеси, питающей пламя, температура пламени, вычисленные теоретически, приведены в табл. 2.

В литературе мы не нашли указаний о наличии зоны термического равновесия в этом пламени, поэтому температура пламени $\text{CO} + \text{O}_2$, вычисленная теоретически, была сопоставлена с измеренной экспериментально. Температура газов во внешнем холодном пламени на расстоянии нескольких миллиметров над зоной реакции определялась на основании измерения относительных интенсивностей линий лития, вводимого

* Недавно аналогичные данные были получены для SrOH и BaOH [19—21].

Таблица 2

Состав исходной горючей смеси и температура и состав продуктов сгорания
пламени $\text{CO} + \text{O}_2$

T °K	Состав исходной горючей смеси, моль			Состав, продуктов сгорания, атм							
	CO (газ)	O ₂ (газ)	H ₂ O (ж)	$\text{PO} \cdot 10^3$	$\text{PO}_2 \cdot 10^3$	$\text{PH} \cdot 10^3$	$\text{PH}_2 \cdot 10^4$	$\text{PON} \cdot 10^3$	$\text{PH}_2\text{O} \cdot 10^3$	$\text{PCO} \cdot 10^3$	$\text{H}_2\text{O} \cdot 10^3$
2965	2,00	1,00	$1,33 \cdot 10^{-2}$	3,87	1,51	1,64	1,35	6,10	1,33	3,43	4,59

в пламя в виде раствора его хлористой соли. Для измерений были выбраны линии лития $\lambda = 4972, 4603$ и 4132 \AA . Вероятности переходов для этих линий были любезно предоставлены нам Н. И. Соболевым и А. Г. Свиридовым. Спектр пламени фотографировали на спектрографе ИСП-51 с камерой $f = 270 \text{ мм}$ при ширине щели $0,1 \text{ мм}$. Пламя отображалось на щели спектрографа в натуральную величину конденсорной линзы с фокусным расстоянием, равным 50 мм . Тщательно проверялось равномерное запечатление светом источника объектива коллиматора и призменной системы спектрографа.

Учитывались дисперсия и увеличения спектрографа в различных областях спектра, где расположены исследуемые линии лития. В качестве источника сравнения применялась температурная вольфрамовая лампа накаливания марки ЛТ-1. Для построения кривой почернения в области длин волн изучаемых линий на фотопластинку наносились марки почернения. Фотографирование велось на пластинках «Изохром», выпускаемых фирмой «Агфа». В результате измерений температура пламени $\text{CO} + \text{O}_2$ была найдена равной $2990 \pm 40 \text{ }^\circ\text{K}$. Это значение температуры в пределах ошибки опыта совпадает с равновесной температурой пламени, рассчитанной теоретически (см. табл. 1) в предположении, что энтропия исходной горючей смеси при комнатной температуре равна энтальпии продуктов сгорания, суммарное давление которых равно 1 атм . Тем самым можно считать, что в пламени окиси углерода с кислородом осуществляются условия термического возбуждения атомов металла, и, следовательно, парциальное давление металла в пламени может быть измерено по интенсивности линий атомов в спектре пламени $\text{CO} + \text{O}_2$.

В табл. 3 приведены значения парциальных давлений атомов и окислов Sr и Ca, констант равновесия реакций диссоциации и энергии диссоциации окислов стронция и кальция, найденные описанным ранее методом [8] в пламени $\text{CO} + \text{O}_2$. Если бы парциальные давления гидроокисей

Таблица 3

Вычисление энергий диссоциации CaO и SrO

Молекула	T °K	p_M	$p_{\Sigma, M}$	p_{MO}	p_O	K_p	$\Delta\Phi^*$	$D_0, \frac{Kcal}{mole}$
		в атм.						
CaO	2965	$6,83 \cdot 10^{-10}$	$4,19 \cdot 10^{-8}$	$2,121 \cdot 10^{-8}$	$3,874 \cdot 10^{-2}$	$6,418 \cdot 10^{-4}$	24,67	116
SrO	2965	$6,40 \cdot 10^{-10}$	$4,19 \cdot 10^{-8}$	$4,125 \cdot 10^{-8}$	$3,874 \cdot 10^{-2}$	$6,014 \cdot 10^{-4}$	24,46	115

щелочноземельных металлов в пламенах были сравнимы с парциальными давлениями их окислов, энергии диссоциации, найденные в пламени $\text{CO} + \text{O}_2$, должны были быть значительно ниже найденных в других пламенах. Однако сравнение полученных в пламени $\text{CO} + \text{O}_2$ значений D_0 с приведенными в табл. 1 значениями D_0 окислов, найденными в пламенах ацетилена и водорода с кислородом и воздухом, показывает, что они совпадают в пределах ошибок опыта, а для Sr даже превосходят эту величину. Таким образом предположение Гейдона о том, что молекулы гидроокисей щелочноземельных металлов играют существенную роль в равновесии в условиях высокотемпературных пламен, неверно.

Недавно Сагден и Велер [22], исследуя в водородно-кислородных предварительно смешанных пламенах ионизацию, вызванную введением пламя растворов солей щелочноземельных элементов, пришли к выводу, что наблюдаемая величина ионизации и ее зависимость от температуры могут быть объяснены лишь в предположении, что в пламени присутствуют ионы типа $(\text{MeOH})^+$. Они имеют замкнутую электронную оболочку типа инертного газа, аналогично молекулам гидрооксидов щелочных элементов молекулам оксидов щелочноземельных металлов, поэтому авторы работы считают, что ионы $(\text{MeOH})^+$ могут быть относительно стабильными. Поскольку в пламени парциальное давление ионов $(\text{MeOH})^+$ так же, как и молекул MeOH , должно зависеть от парциального давления гидроксида, что не наблюдалось нами при измерениях в пламенах самого различного состава, можно предполагать, что их количества в пламенах достаточно малы, чтобы их можно было не учитывать при определении энергии диссоциации окислов.

Таким образом предположение о том, что завышенность данных по энергиям диссоциации, полученных при исследованиях в пламенах, по сравнению с найденными другими методами, обусловлена систематическими ошибками из-за пренебрежения образованием каких-либо соединений этих металлов, может быть отвергнуто. В связи с этим следует кратко рассмотреть вопрос о надежности данных по теплотам сублимации MgO , CaO , SrO и BaO , полученных в работах [5, 6, 11] соответственно.

ОБСУЖДЕНИЕ ДАННЫХ ПО ЭНЕРГИИ ДИССОЦИАЦИИ ОКСИДОВ ЩЕЛОЧНОЗЕМЕЛЬНЫХ МЕТАЛЛОВ

В первой из этих работ, выполненной Бревером и Портером [5], теплота сублимации MgO определялась двумя методами: при помощи измерения давления насыщенных паров эффузионным методом Кнудсена и по изменению интенсивности полос MgO при нагревании твердой окиси в печи Кинга по методике, разработанной ранее Бревером с сотрудниками [23].

Найденные таким образом значения хорошо согласовались между собой, хотя точность второго метода невелика, и погрешности в найденном при его помощи значении теплоты сублимации могут превышать по оценке Портера 20 ккал/моль. Следует отметить, что специальный теоретический расчет, проведенный авторами [5], показал, что в условиях их эффузионных опытов окись магния испаряется практически полностью в виде окиси MgO , а равновесное давление атомарного магния должно быть ничтожно. Найденное таким образом в [5] значение $D_0(\text{MgO}) = 112,8$ ккал/моль превышает полученное нами на 13 ккал, что значительно превосходит величину возможной погрешности наших данных.

Через несколько месяцев после опубликования рассмотренной работы Портером совместно с Чалка и Инграмом [6] были опубликованы результаты масс-спектрометрического исследования теплоты сублимации MgO и SrO . В этой работе авторы пришли к прямо противоположному выводу о продуктах сублимации окиси магния и на основании измерения ионизационных токов Mg^+ и MgO^+ приняли, что твердая окись магния практически полностью испаряется в виде атомарного магния. К аналогичному выводу приходят они и в отношении Sr , рекомендуя следующие значения теплот сублимации и энергий диссоциации этих соединений.

$$\Delta H_{298}^0 \text{ субли} (\text{SrO}) = 150,5 \text{ ккал/моль}; D_0 (\text{SrO}) = 88,2 \text{ ккал/моль};$$

$$\Delta H_{298}^0 \text{ субли} (\text{MgO}) > 144,7 \text{ ккал/моль}; D_0 (\text{MgO}) < 95 \text{ ккал/моль}.$$

Авторы этой работы не обсуждают причин столь резкого расхождения в интерпретации состава паров над твердой окисью магния и не указывают источников возможных ошибок в результатах расчетов, проведенных в первой работе. Следует также отметить, что при масс-спектрометрическом исследовании в парах над окисью магния наблюдалось значительно

большее количество атомарного магния по сравнению с кислородом. Сами авторы исследования отмечают, что это свидетельствует о восстановлении окиси магния в кнудсеновских ячейках. Кроме того, при обработке экспериментальных данных, авторами были сделаны некоторые произвольные допущения, в частности о том, что поперечные сечения ионизации Mg , MgO , Sr , SrO и Ag равны. Ошибочность принимаемого ими значения $D_0(SrO)$ может быть показана также следующим образом. На основании приведенных в работе данных по отношению ионизационных токов Sr^+ и SrO^+ и O_2^+ может быть вычислена константа равновесия реакции $SrO \rightleftharpoons Sr + \frac{1}{2} O_2$, если, следуя авторам работы, принять равенство поперечных сечений ионизации Sr , SrO и O_2 . Найденному таким образом значению константы равновесия ($1,8 \cdot 10^3$) соответствует энергия диссоциации

Таблица 4

Рекомендуемые значения энергий диссоциации окислов щелочноземельных элементов

Молекула	D_0 , ккал/моль*
MgO	$100,0 \pm 3$
CaO	$115,0 \pm 3$
SrO	$111,0 \pm 3$
BaO	$135,0 \pm 3$

* Предполагается, что основным электронным состоянием молекул окислов является 1Σ состояние.

В отношении последней работы Инграма, Чашка и Портера [11], посвященной исследованию теплоты сублимации окиси бария, следует отметить, что в ней были приняты определенные предосторожности, позволившие избежать ошибок, допущенных в предыдущей работе. В частности, была изучена зависимость изменения ионного тока Ba^+ от температуры, а также экспериментально определены поперечные сечения ионизации Ba и BaO . Вычисленное на основании полученных данных двумя методами значение $D_0(BaO) = 130,5 \pm 5,0$ ккал/моль согласуется в пределах ошибок экспериментальных данных со значением, найденным нами, а также с величинами, полученными другими авторами при исследованиях в пламенах. В табл. 4 приведены значения энергий диссоциации MgO , CaO , SrO и BaO , являющиеся, по нашему мнению, наиболее надежными в настоящее время. Значение $D_0(BaO)$ принято по данным Джеймса [13], которые согласуются в пределах ошибок эксперимента со значениями энергии диссоциации этой молекулы, найденными нами [8] и в работе [11]. Следует отметить, что при определении энергии диссоциации BaO мы использовали для перехода $6^1P_1 - 6^1S_0$ значение вероятности перехода $A = 1,51 \cdot 10^8$ сек.⁻¹ ($f = 2,1$), найденное [24]. Если принять другое значение вероятности перехода $A = 8,67 \cdot 10^{+7}$ сек.⁻¹ ($f = 1,20$) [25], то наши экспериментальные данные приводят к значению $D_0(BaO) = 135,7 \pm 3,0$ ккал/моль, т. е. практически совпадающему с величиной, приведенной в табл. 4.

ВЫВОДЫ

1. Исследованы энергии диссоциации CaO и SrO на основании измерения констант равновесия их диссоциации в пламени $CO + O_2$, в котором парциальное давление гидроксидов существенно меньше, чем в других пламенах с температурой $\sim 3000^\circ K$. В результате сопоставления значений $D_0(CaO)$ и $D_0(SrO)$, полученных при исследованиях в пламенах с различным содержанием гидроксидов, показано, что присутствие молекул

ОН и SrOH не влияет на определяемые значения энергий диссоциации окислов кальция и стронция.

2. Показано, что температура газов во внешнем конусе пламени $\text{CO} + \text{O}_2$, измеренная по методу Орнштейна, хорошо согласуется с равновесной температурой, вычисленной теоретически.

3. На основании анализа данных об энергиях диссоциации молекул окислов щелочноземельных металлов, полученных разными методами, показано, что наиболее точные значения получены на основании исследования равновесия диссоциации соответствующих окислов в пламенах.

Институт горючих ископаемых
Москва

Поступила
27. VII. 1956

ЛИТЕРАТУРА

- L. Huldt, A. Lagerqvist, Ark. f. Fysik, 2, 333, 1950.
 L. Huldt, Dissertation, Upsala, 1948.
 R. Barrow, L. Drummond, Trans. Farad. Soc., 17, 1275, 1951.
 L. Brewer, Chem. Rev., 52, 1, 1953.
 L. Brewer, R. Porter, Journ. Chem. Phys., 22, 1867, 1954.
 R. Porter, M. Inghram, W. Chupka, Journ. Chem. Phys., 23, 1347, 1955.
 L. Huldt, A. Lagerqvist, Zs. Naturforsch., 9a, 991, 1954.
 Н. В. Вейц, Л. В. Гурвич, Оптика и спектроскопия, 1, 22, 1956.
 L. Drummond, R. Barrow, Trans. Farad. Soc., 49, 599, 1953.
 A. Lagerqvist, Ark. f. Fysik, 7, 473, 1954.
 M. Inghram, N. Chupka, R. Porter, Journ. Chem. Phys., 23, 2159, 1955.
 R. Gaspar, P. Csavizsky, Acta Phys. Acad. Sci. Hung., 5, 65, 1955.
 L. James, Thesis, Cambridge, 1954.
 O. Ruff, P. Schmidt, Zs. anorg. Chem., 117, 172, 1921.
 Н. В. Вейц, Л. В. Гурвич, ДАН, 108, 659, 1956.
 G. James, T. M. Sugden, Nature, 175, 333, 1955.
 Р. Пирс, А. Г. Гейдон, Отождествление молекулярных спектров, ИЛ, М., 1949.
 A. G. Gaydon, Proc. Roy. Soc., A231, 437, 1955.
 L. Huldt, A. Lagerqvist, Naturwissensch., 42, 365, 1955.
 B. Kleman, B. Liljeqvist, Ark. f. Fysik, 9, 377, 1955.
 M. Charton, A. G. Gaydon, Proc. Phys. Soc., 69A, 520, 1956.
 T. M. Sugden, R. C. Wheeler, Disc. Farad. Soc., No. 19, 76, 1955.
 L. Brewer, Gilles, Jenkins, Journ. Chem. Phys., 16, 797, 1948.
 G. Wessel, Zs. Phys., 126, 440, 1949.
 A. M. Kruithof, G. A. Smit, Physica, 11, 129, 1944.

ON THE DISSOCIATION ENERGIES OF OXIDE MOLECULES OF THE ALKALINE EARTH ELEMENTS

I. V. Veits and L. V. Gurvich (Moscow)

Summary

The dissociation energies of CaO and SrO have been determined by measuring the reaction "equilibrium" constant of dissociation reaction in the $\text{CO} + \text{O}_2$ flame, where the partial pressures of the hydroxyl are much lower than in other flames having temperature of about 3000°K. By comparing the values of $D_0(\text{CaO})$ and $D_0(\text{SrO})$, obtained with varying hydroxyl content in the flame, it has been found that the presence of OH or SrOH molecules has no influence on the dissociation energy of calcium oxide and strontium oxide respectively.

The temperature of the gases in the external cone of the $\text{CO} + \text{O}_2$ flame, measured according to OrNSTEIN, is in good agreement with the theoretically computed equilibrium temperature.

Analysis of data obtained by different methods has shown that the most accurate values have been secured by the experiments in which the dissociation of the respective oxides was carried out in the flame, and the equilibrium of this reaction was investigated.

УПРУГОСТЬ И ПЛОТНОСТЬ ПАРА РАСТВОРОВ ХЛОРНОГО ОЛОВА В ЭТИЛ-, *n*-БУТИЛ- И *изо*-АМИЛАЦЕТАТАХ

Ю. Н. Вольнов

Системы, образуемые хлорным оловом со сложными эфирами, изучались различными методами.

Пфейффер [1] выделил препаративным методом ряд соединений хлорного олова со сложными эфирами.

Внутреннее трение, плавкость и электропроводность систем, хлорное олово — сложные эфиры, изучены Н. С. Курнаковым и Э. Б. Штерниным [2]. Н. С. Курнаков и Н. К. Воскресенская [3] изучили системы, образующиеся SnCl_4 и сложными эфирами, калориметрическим методом. В этих системах установлено образование прочных комплексных соединений $\text{SnCl}_4 \cdot 2\text{C}_n\text{H}_{2n+1}\text{COOR}$, где R — спиртовый остаток.

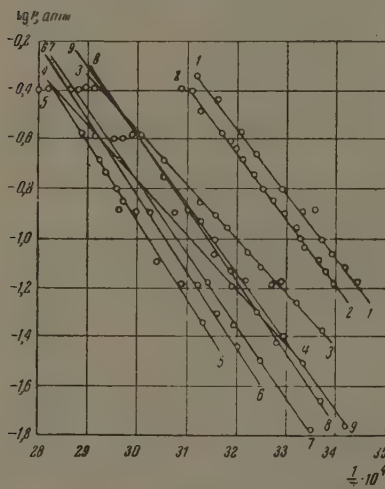


Рис. 1. Система $\text{SnCl}_4\text{—C}_2\text{H}_5\text{OCOCH}_3$:
1 — 5; 2 — 15,0; 3 — 25,0; 4 — 30,0;
5 — 33,4; 6 — 35,0; 7 — 40,0; 8 — 50,0;
9 — 80,0 мол. % SnCl_4

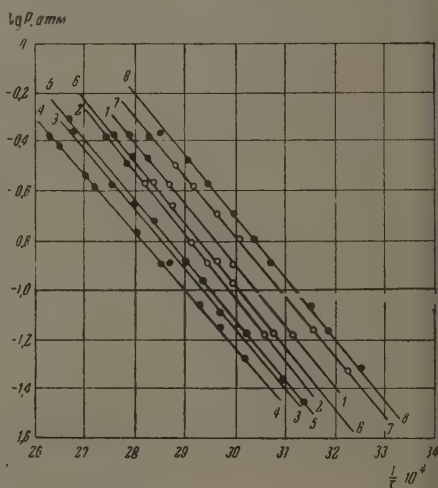


Рис. 2. Система $\text{SnCl}_4\text{—C}_4\text{H}_9\text{OCOCH}_3$:
1 — 10,0; 2 — 20,0; 3 — 30,0; 4 — 33,3;
5 — 35,0; 6 — 45,0; 7 — 60,0;
8 — 80,0 мол. % SnCl_4

Нами изучались упругость и плотность пара систем, образованных хлорным оловом с этил-, *n*-бутил- и *изо*-амилацетатами.

Упругость пара вышеуказанных систем изучалась по точкам кипения в приборе Свентославского [4,5]. Давление в приборе создавалось сухим воздухом и варьировалось от 25 до 500 мм рт. ст.

Полученные данные представлены на рис. 1—6. В пределах ошибки опыта зависимость логарифма давления пара (рис. 1—3) от обратной температуры по абсолютной шкале оказывается линейной и может быть представлена уравнением

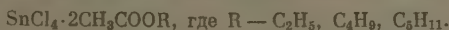
$$\lg P = a - \frac{b}{T}.$$

Значения a и b для различных концентраций хлорного олова в изученных системах приведены в табл. 1

Таблица 1

Система $\text{SnCl}_4\text{—C}_2\text{H}_5\text{OCOCH}_3$			Система $\text{SnCl}_4\text{—C}_4\text{H}_9\text{OCOCH}_3$			Система $\text{SnCl}_4\text{—C}_5\text{H}_{11}\text{OCOCH}_3$		
Содержание SnCl_4 , мол. %	a	b	Содержание SnCl_4 , мол. %	a	b	Содержание SnCl_4 , мол. %	a	b
5,0	7,7	2580	10,0	6,24	2381	5,0	8,35	3125
15,0	7,86	2666	20,0	6,12	2381	18,0	7,93	3030
25,0	5,98	2182	30,0	5,83	2325	25,0	7,31	2857
30,0	4,82	1886	33,3	5,59	2272	30,0	6,90	2777
33,4	8,17	3030	35,0	6,02	2381	33,3	6,30	2631
35,0	8,66	3125	45,0	6,17	2381	35,0	4,65	1960
40,0	11,48	4000	60,0	6,35	2380	40,0	4,86	2000
50,0	12,26	4166	80,0	9,21	3226	50,0	4,93	1944
80,0	11,8	4000				60,0	4,63	1818
						80,0	4,49	1754

Скачкообразное изменение a и b при содержании хлорного олова около 33,3 мол. % на рис. 1—3 отражено изменением наклона и расположением прямых и отвечает образованию в системе устойчивого соединения



при концентрациях ниже 33,33 мол. % SnCl_4 в системах содержится избыток уацетата, при более высоких — избыток хлорного олова.

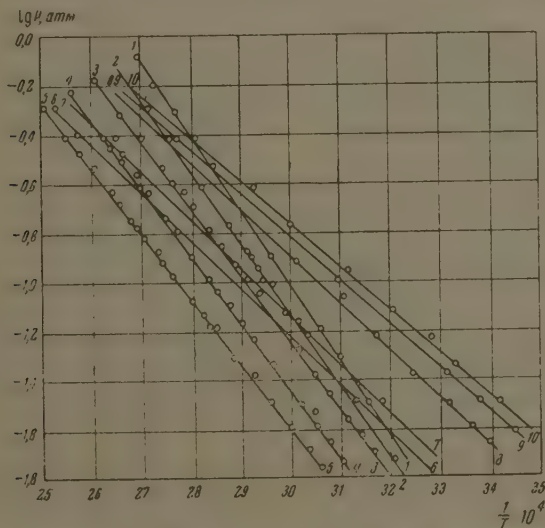


Рис. 3. Система $\text{SnCl}_4\text{—C}_5\text{H}_{11}\text{OCOCH}_3$: 1 — 5,0; 2 — 18,0; 3 — 25,0; 4 — 30,0; 5 — 33,3; 6 — 35,0; 7 — 40,0; 8 — 50,0; 9 — 60,0; 10 — 80,0 мол. % SnCl_4

На рис. 4—6 представлены изобары точек кипения смесей, содержащих различное количество хлорного олова. Содержанию SnCl_4 в 33,33 мол. % соответствует максимум изобар точек кипения.

Плотность пара растворов хлорного олова в этил-, n -бутил- и изопентане определялась по методу Мейера. В рубашке прибора поме-

шался либо кипящий нитробензол, либо кипящий бромбензол, соответственно чему плотность пара определялась при температурах 209 и 155° C. По плотности рассчитывался молекулярный вес пара.

Полученные данные приводятся в табл. 2.

Таблица 2

Содержание SnCl_4 , мол. %	Найденные молекулярные веса пара					
	Система $\text{SnCl}_4-\text{C}_2\text{H}_5\text{OCOCH}_3$		Система $\text{SnCl}_4-\text{C}_3\text{H}_7\text{OCOCH}_3$		Система $\text{SnCl}_4-\text{C}_6\text{H}_{11}\text{OCOCH}_3$	
	155° C	209° C	155° C	209° C	155° C	209° C
0	87	89	115	117	128	131
10,00	135	120	182	150	180	162
20,00	220	195	267	230	220	206
30,00	312	280	360	329	290	263
33,33	350	338	385	363	332	294
40,00	335	330	366	354	327	291
60,00	308	305	332	318	302	283
80,00	287	285	298	292	283	275
100,00	271	269	270	268	269	270

Максимальная плотность пара во всех изученных системах наблюдалась при содержании хлорного олова в 33,33 мол. %. Повторные опыты показали, что погрешность определения не превышала 4%. Образующиеся

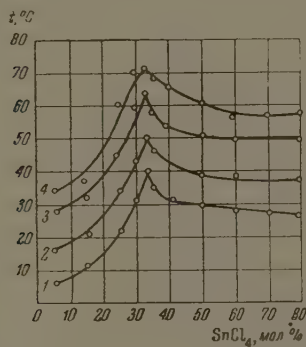


Рис. 4. Изобары точек кипения смесей $\text{SnCl}_4-\text{C}_3\text{H}_7\text{OCOCH}_3$: 1 — 50; 2 — 100; 3 — 200; 4 — 300 мм рт. ст.

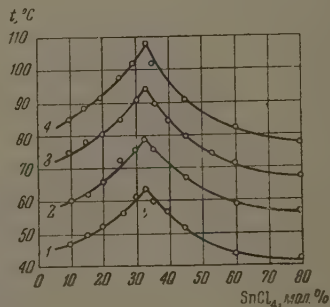


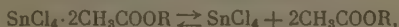
Рис. 5. Изобары точек кипения смесей $\text{SnCl}_4-\text{C}_4\text{H}_9\text{OCOCH}_3$: 1 — 50; 2 — 100; 3 — 200; 4 — 300 мм рт. ст.

в системе соединение $\text{SnCl}_4 \cdot 2\text{CH}_3\text{COOR}$ не диссоциировало полностью и в парах при температуре опыта. Считая, что найденные понижения значения молекулярного веса для содержания в системе 33,33 мол. % SnCl_4

Таблица 3

Система	155° C		209° C	
	x	$K \cdot 10^3$	x	$K \cdot 10^3$
$\text{SnCl}_4-\text{C}_3\text{H}_7\text{OCOCH}_3$	0,296	3,7	0,345	6,3
$\text{SnCl}_4-\text{C}_4\text{H}_9\text{OCOCH}_3$	0,327	5,2	0,393	10
$\text{SnCl}_4-\text{C}_6\text{H}_{11}\text{OCOCH}_3$	0,542	36,4	0,652	79,5

тив теоретически рассчитанных для $\text{SnCl}_4 \cdot 2\text{CH}_3\text{COOR}$ обуславливаясь диссоциацией соединения по уравнению:



принимая количество оставшегося недиссоциированного соединения $\text{SnCl}_4 \cdot 2\text{CH}_3\text{COOR}$ за $1-x$, а количество образовавшегося при диссоциации SnCl_4 и CH_3COOR соответственно x и $2x$, могли рассчитать x по уравнению:

$$x = \frac{3}{2} \left(1 - \frac{M_n}{M_t} \right),$$

где M_n — найденный молекулярный вес пара, а M_t — рассчитанный для $\text{SnCl}_4 \cdot 2\text{CH}_3\text{COOR}$.

Зная x , мы рассчитали K диссоциации по уравнению

$$K = \frac{[\text{SnCl}_4] \cdot [\text{CH}_3\text{COOR}]^2}{[\text{SnCl}_4 \cdot 2\text{CH}_3\text{COOR}]} = \frac{x^3}{1-x}.$$

Результаты расчета приводятся в табл. 3.

Как видно из данных, устойчивость комплексного соединения уменьшается с увеличением температуры и молекулярного веса ацетата.

Оценивая точность определения плотности пара, следует отметить хорошую воспроизводимость данных. Разброс точек не превышал 5—10%.

При определении упругости пара по Свентославскому возможны систематические ошибки вследствие перегрева жидкости. Удовлетворительное наложение опытных данных, полученных как при повышении, так и при понижении температуры, указывает, что погрешность, по-видимому, не превышает 5—10%.

ВЫВОДЫ

1. Изучена зависимость плотности и упругости пара растворов хлорного олова в этил-, *n*-бутил- и *изо*-амилацетатах.
2. Установлено, что минимумы изотерм упругости пара, максимумы изобар температур кипения и максимумы плотности пара соответствуют содержанию хлорного олова в смеси 33,33 мол. %.
3. Дано объяснение найденных зависимостей упругости и плотности пара от концентрации раствора.
4. Оценена величина константы диссоциации комплексных соединений хлорного олова с этил-, *n*-бутил- и *изо*-амилацетатами в паровой фазе при температурах 155 и 209° С.

Ленинградский технологический институт холодильной промышленности

Поступила
30.VII.1956

ЛИТЕРАТУРА

- P. Pfeiffer, Organische Molekülverbindungen, Stuttgart, 1922.
Н. С. Курнаков и Э. Б. Штернин, Изв. Сектора физ. хим. анализа АН СССР, **13**, 135, 1940.
Н. С. Курнаков и Н. К. Воскресенская, Изв. АН СССР, сер. хим., **№ 3**, 439, 1936.
Э. А. Морган, Лабораторная техника в органической химии, Госхимиздат, 1941, стр. 56.
Ю. Н. Вольнов, Журн. общ. химии, **9**, 2269, 1939.

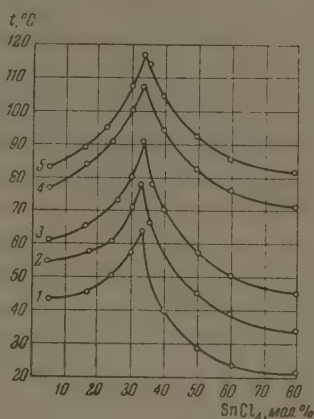


Рис. 6. Изобары точек кипения смесей $\text{SnCl}_4 - \text{C}_5\text{H}_{11}\text{COOH}$: 1 — 25; 2 — 50; 3 — 101; 4 — 200; 5 — 300 мм рт. ст.

THE VAPOR PRESSURES AND VAPOR DENSITIES OF SOLUTIONS OF TIN
CHLORIDE IN ETHYL *n*-BUTYL AND *iso*-AMYL ACETATES

Yu. N. Vol'nov (Leningrad)

Summary

The relationship between the vapor densities and vapor pressures of solutions of tin chloride in ethyl, *n*-butyl and *iso*-amyl acetates has been investigated. It has been found that the minima in the vapor pressure isotherms, the maxima in the boiling point isobar and the maximum vapor pressures correspond to a 33.3% tin chloride content in the mixture. An interpretation has been proposed of the relationships between the vapor densities and pressures and the solution concentration.

ИССЛЕДОВАНИЕ РАВНОВЕСИЯ ЖИДКОСТИ И ПАРА В СИСТЕМЕ АЗОТ—МЕТАН

В. Г. Фастовский и Ю. В. Петровский

Данные о равновесных составах жидкости и пара в системе азот—метан, особенно при повышенных давлениях, представляют значительный интерес для техники разделения некоторых газовых смесей, в частности коксового и природного газов.

Впервые система азот—метан изучалась Мак-Таггартом и Эдвардсом [1], которые получили данные о равновесии при атмосферном давлении, пользуясь статическим методом. Изучалось также равновесие до давления 10 *ата* [2]; циркуляционным методом были получены данные о равновесии при шести различных температурах в области 8 — 132,9° К [3]. Термодинамический анализ результатов последней работы [3] выявляет целый ряд несоответствий, а опытные точки характеризуются большим разбросом, что делает сомнительной достоверность опытных данных. Исследовано [4] равновесие жидкости и пара для природного газа, содержавшего в среднем 79 мол. % этана, 10 мол. % азота, 6 мол. % пропана и незначительные примеси тяжелых углеводородов. На основании обработки опытных данных построены кривые, выражающие значения констант фазового равновесия для азота, метана и пропана при давлениях до 70 *кг/см²* при температурах до 100° С.

Неполнота данных о фазовом равновесии в системе азот—метан и недостаточная надежность определили целесообразность настоящего исследования, выполненного на установке [5].

Уже после выполнения работы нам удалось познакомиться с другими исследованиями, опубликованными в малораспространенном издании [6, 7]. В этих работах, одна из которых была выполнена циркуляционным методом, а другая так называемым ледяным методом [8], охвачена широкая область давлений (до 50 *кг/см²*) и температур (до 170° К); результаты обеих работ удовлетворительно согласуются между собой. Сопоставление результатов, полученных нами, с данными указанных работ [6, 7] произведено ниже.

ЭКСПЕРИМЕНТАЛЬНАЯ ЧАСТЬ

Экспериментальная установка и методика работы детально описаны нами ранее [5]. Чистые газы. Метан очищался от углекислоты под давлением при помощи раствора едкого натра, через который барботировал газ. Для удаления водяных паров смесью тяжелых углеводородов газ пропусклся через слой активированного угля при температуре 0°. При такой системе очистки газ мог содержать примеси только газа, который добавлялся к метану при составлении смесей.

Азот подвергался очистке от примеси кислорода на активной меди при 400–500°С; сильная примесь аргона не могла оказать влияния на результаты исследования. Состав образцов жидкости и пара определялся методом измерения относительной плотности газовой смеси [9]; точность анализа для азото-метановых смесей равняется в $\pm 0,5\%$.

Опытные данные. Определение равновесных составов жидкости и пара производилось для семи различных смесей. Опытные данные приведены в табл. 1.

Методика обработки данных изложена нами ранее [5]. На рис. 1 приведена зависимость $\lg p = f(1/T)$ для семи изученных смесей: опытные точки для каждой смеси ложатся на прямые, располагающиеся между линиями с чистых азота и метана. При помощи рис. 1 построены кривые $T = \varphi(x)$ для указанных пяти давлений, на основании которых вычислены равновесные составы пара [10] и построены кривые $T = \psi(y)$ для тех же давлений. 2. Рассчитанные значения содержания легколетучего компонента жидкости x и в паре y приведены в табл. 2.

Таблица 1

Равновесные составы, мол. % N ₂		Давление абсолют- ное, кг/см ²	Температура, °K	Равновесные составы, мол. % N ₂		Давление абсолют- ное, кг/см ²	Температура, °K
x	y			x	y		
7,4	38,0	16,0	149,50	45,3	96,4	2,08	89,75
7,6	43,6	11,0	140,25	57,8	94,8	16,0	120,10
7,5	52,0	8,0	131,15	57,8	95,2	11,0	111,70
7,3	59,0	5,0	121,35	58,1	95,4	8,0	107,15
7,6	73,6	2,09	106,10	58,0	96,6	5,0	99,15
12,2	54,0	16,0	143,90	58,2	97,4	2,47	90,55
11,9	59,2	11,0	133,75	79,7	97,8	16,0	115,50
12,2	66,0	8,0	126,05	79,6	98,0	11,0	108,50
11,8	72,0	5,0	116,50	79,6	98,2	8,0	103,20
11,9	83,2	2,22	103,00	79,7	98,5	5,0	96,35
24,8	77,6	16,0	133,20	79,4	98,4	5,0	96,45
25,0	81,4	11,0	124,10	79,6	98,8	2,03	85,50
25,0	84,4	8,0	116,20	79,7	99,1	1,65	83,30
24,9	90,0	5,0	108,15	82,2	98,6	16,0	114,30
25,2	92,8	2,12	95,10	82,5	98,6	11,0	107,80
45,6	90,0	16,0	124,00	82,4	98,8	8,0	102,10
45,5	92,0	11,0	116,55	82,4	99,0	5,0	95,90
45,5	93,4	8,0	110,30	82,5	99,5	1,48	81,80
45,6	93,2	5,0	101,45				

Таблица 2

Содерж. N ₂ в жидко- сти, x мол. %	π = 2,0 кг/см ² абс.		π = 5 кг/см ² абс.		π = 8 кг/см ² абс.		π = 11 кг/см ² абс.		π = 16 кг/см ² абс.	
	T, °K	Содерж. N ₂ в па- ре, y, мол. %	T, °K	Содерж. N ₂ в па- ре, y, мол. %	T, °K	Содерж. N ₂ в па- ре, y, мол. %	T, °K	Содерж. N ₂ в па- ре, y, мол. %	T, °K	Содерж. N ₂ в па- ре, y, мол. %
0,0	120,2	0,0	134,6	0,0	143,4	0,0	149,9	0,0	158,4	0,0
1,0	115,2	30,0	132,2	15,6	140,6	14,0	148,8	7,0	157,2	6,0
2,0	112,8	42,8	130,0	26,2	138,6	22,8	147,3	14,8	155,8	12,8
3,0	111,0	51,6	128,0	36,8	136,8	31,2	145,8	21,2	154,4	19,6
5,0	108,0	64,0	125,0	49,0	134,0	43,0	143,0	33,2	151,9	30,0
7,0	105,5	75,0	122,2	58,4	131,7	51,2	140,0	43,4	149,5	38,6
10,0	102,8	80,7	118,6	68,6	128,7	61,0	136,4	55,8	147,1	49,2
20,0	96,6	91,0	111,0	84,5	119,8	79,8	126,7	76,8	136,1	71,7
30,0	92,0	94,7	105,9	90,8	114,5	88,0	121,3	85,8	130,4	82,9
40,0	89,9	96,3	103,1	93,9	111,2	92,1	117,5	90,8	125,9	88,8
50,0	88,5	97,3	100,9	95,7	108,6	94,6	114,5	93,7	122,2	92,6
60,0	87,2	98,0	99,2	97,0	106,5	96,4	112,4	95,9	119,8	94,5
70,0	86,1	98,6	97,8	98,1	104,6	97,5	110,2	97,3	117,5	97,0
80,0	85,0	99,2	96,3	98,7	102,9	98,6	108,2	98,5	115,2	98,3
90,0	84,0	99,6	94,8	99,4	101,3	99,0	106,3	99,4	112,9	99,3
100,0	83,4	100,0	93,7	100,0	100,0	100,0	104,7	100,0	111,0	100,0

Таблица 3

Общее давление кг/см ² абс.	2,0	5,0	8,0	11,0	16,0
Значение коэфф.ц. уравнения A=B	0,31994	0,20323	0,14011	0,11347	0,04680

В табл. 3 приведены значения коэффициентов A и B модифицированного уравнения ван-Лаара [10] для пяти различных давлений; пользуясь ими, можно вычислить состав равновесного пара y для любого выбранного состава жидкости x на основании уравнений (5) — (7), приведенных в предыдущей работе [5].

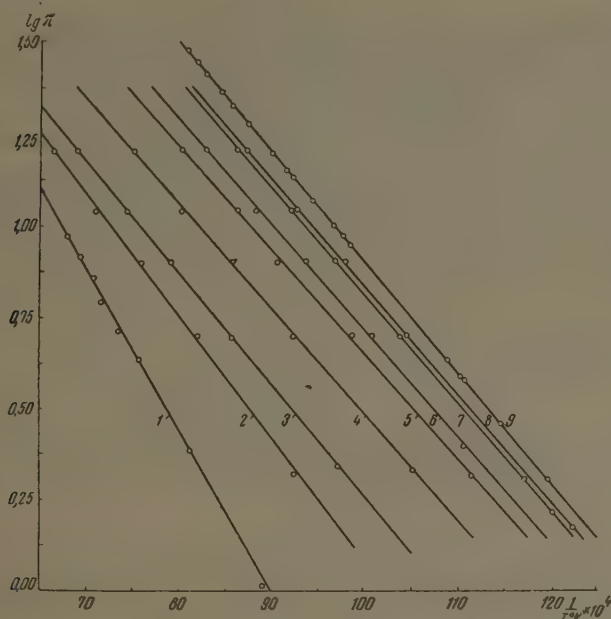


Рис. 1. Система азот — метан: 1 — чистый CH_4 ; 2 — смесь с 7,5 мол. % N_2 ; 3 — смесь с 12 мол. % N_2 ; 4 — смесь с 25 мол. % N_2 ; 5 — смесь с 45,5 мол. % N_2 ; 6 — смесь с 58 мол. % N_2 ; 7 — смесь с 79,6 мол. % N_2 ; 8 — смесь с 82,4 мол. % N_2 ; 9 — чистый N_2 .

ОБСУЖДЕНИЕ РЕЗУЛЬТАТОВ

Система азот — метан обнаруживает значительные отклонения от законов идеальных растворов, вследствие чего применение законов Рауля — Гиббса для расчетного определения составов равновесных жидкости и пара недопустимо.

Таблица 4

Температура, °К	Давление, кг/см ² абс.	Состав жидкости, x , мол. % N_2		Состав пара, y , мол. % N_2	
		Наши данные	Данные [3]	Наши данные	Данные [3]
89,8	2,0	40,8	15,0	96,4	79,0
100,0	5,0	54,0	41,5	96,0	91,0
110,0	5,0	21,6	6,0	85,2	54,0
110,0	8,0	44,4	30,2	93,2	82,5
119,9	8,0	20,0	10,0	79,6	—
129,9	11,0	16,2	9,0	90,4	52,0
132,9	16,0	25,6	18,5	78,4	58,0

Из опубликованных работ наиболее полные данные о равновесии в системе азот—метан содержатся в [6, 7]; поэтому представлялось целесообразным сопоставить полученные нами результаты с данными этих исследователей, что потребовало дополни-

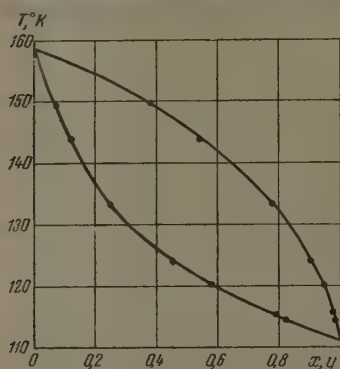


Рис. 2. Зависимости $T = \varphi(x)$ и $T = \psi(y)$ при 61 атм

нительной обработки данных для построения изобар $T - x - y$, соответствующих исследованным нами давлениям. Было установлено, что кривые насыщенной жидкости $T = \varphi(x)$ совпадают весьма близко, а кривые насыщенного пара $T = \psi(y)$ несколько расходятся: в наших опытах содержание азота в паровой фазе оказывалось неизменно выше (в отдельных случаях на 5%), чем в [6, 7]. Причины такого расхождения нам неясны. Следует, однако, заметить, что данные работ [6, 7] приводят для ряда опытных точек к значениям коэффициента активности для одного из компонентов > 1 , а для другого < 1 . Возможно, что причиной этого является погрешность анализа.

Данные [3] плохо согласуются как с нашими, так и с данными, приведенными в [6, 7]: это касается зависимости $T = \varphi(x)$, и в особенности, зависимости $T = \psi(y)$ и иллюстрируется табл. 4.

ВЫВОДЫ

1. Изучено фазовое равновесие жидкости и пара в системе азот—метан при абсолютных давлениях 2, 5, 8, 11 и 16 кг/см². Получены данные о равновесных составах жидкости и пара и соответствующих им температурах для семи различных смесей.

2. На основании экспериментально установленной зависимости температуры кипения от состава жидкости $T = \varphi(x)$ вычислены составы равновесного пара, с которыми сопоставлены опытные данные. Удовлетворительное совпадение расчетных и опытных значений позволяет применить уравнение Ван-Лаара с коэффициентами, значения которых приведены для пяти исследованных давлений. Представлены данные, позволяющие построить диаграммы $x - y$, необходимые для расчета ректификационной аппаратуры.

Электротехнический институт
им. В. И. Ленина
Москва

Поступила
18. VIII. 1956

ЛИТЕРАТУРА

1. H. A. Mc Taggart, E. Edwards, Trans. Roy. Soc., Canada, Sec. II, 13, 57, 1919.
2. М. В. Рысаков, В. П. Теодорович и О. В. Козырева, Бюллетень ГИВД, № 6, 12, 1934.
3. Н. С. Торочешников и Л. А. Левиус, Журн. хим. пром-сти, 16, № 1, 19, 1939.
4. L. F. Stutzman, G. M. Brown, Chem. Engng. Progr., 45, 139, 1949.
5. В. Г. Фастовский и Ю. В. Петровский, Журн. физ. химии, 29, 1311, 1955.
6. M. R. Cines, J. T. Roach, R. J. Hogan, C. H. Roland, Chem. Engng. Progr., Symposium series, 49, № 6, 1, 1953.
7. O. T. Bloomer, J. D. Parent, Chem. Engng. Progr., Symposium Series, 49, № 6, 11, 1953.
8. В. Г. Фастовский, Разделение газовых смесей, Гостехиздат, 1947, стр. 83—86.
9. В. Г. Фастовский и И. Г. Гурвич, Зав. лаб., 8, 77, 1939.
10. A. Rose, E. T. Williams, W. W. Sanders, R. L. Heiny, J. F. Ryan, Industr. Engng. Chem., 45, 1568, 1953.

INVESTIGATION OF THE LIQUID/VAPOUR EQUILIBRIUM IN THE NITROGEN-METHANE SYSTEM

V. G. Fastovsky and Yu. V. Petrovsky (Moscow)

Summary

The phase equilibrium was investigated under absolute pressures of 2, 5, 8, 11 and kg/cm^2 . Data on the liquid and vapour equilibrium compositions and the respective temperatures have been obtained for seven different nitrogen-methane mixtures.

From the experimentally established relation between the boiling temperature of liquid and its composition, $T = \varphi(x)$, the composition of the equilibrium vapour was computed and the results compared with experimental data. The agreement between computations and experiment has been found to be satisfactory so that van Laar's equation can be applied with the coefficients the values of which are tabulated for the five investigated pressures. On the data obtained $x - y$ diagrams can be constructed for design of rectifying apparatus.

ДИФФУЗИЯ ФОСФОРА И КАЛЬЦИЯ В РАСПЛАВАХ

 $\text{CaO} - \text{Al}_2\text{O}_3 - \text{SiO}_2$ и $\text{CaO} - \text{P}_2\text{O}_5$

О. А. Есин, Е. С. Воронцов и С. К. Чучмарев

Изучение диффузии в жидких шлаках дает материал для суждения об их структуре, а также и о кинетике металлургических процессов [1, 2].

К сожалению, число опубликованных работ по этому вопросу весьма ограничено, они проведены для отдельных веществ, и результаты их не вполне сопоставимы [3—6].

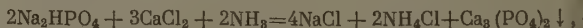
С другой стороны, в ряде исследований [7, 8] было констатировано, что в кислых расплавах $\text{CaO} - \text{Al}_2\text{O}_3 - \text{SiO}_2$ и $\text{CaO} - \text{P}_2\text{O}_5$ в переносе электричества участвуют лишь катионы Ca, а кремне-, алюмо- и фосфорноокислородные анионы оказываются электрически мало подвижными.

Так как подвижности ионов связаны с их коэффициентами диффузии, то представляло известный интерес определить их для кальция и фосфора в указанных расплавах. Для того чтобы получить сопоставимые данные, изучалась одновременная диффузия кальция и фосфора. При этом применялся метод радиоактивных индикаторов.

МЕТОДИКА ИССЛЕДОВАНИЯ

Опыты проводились в изотермической зоне графитовой печи сопротивления при 980—1500° С. В цилиндрических корундовых или графитовых тиглях с внутренним диаметром 5 мм (рис. 1) расплавлялись шлаки, содержащие или 39,4% CaO , 21,2% Al_2O_3 и 38,8% SiO_2 или 30% CaO и 69,5% P_2O_5 .

После 20-минутной выдержки на поверхность расплава осторожно опускался предварительно подогретый небольшой кусочек (50—75 мг) шлака того же состава, но «меченного» радиоизотопами Ca^{45} и P^{32} . Последние находились предварительно в водных растворах CaCl_2 и Na_2HPO_4 . При смешении их в аммиачной среде осаждался трехкальцевый фосфат:



которым и «метился» шлак.

За время опыта, продолжавшегося 1—2 часа в графитовых и 2—8 час. в корундовых тиглях, радиоизотопы не достигали дна. Они успевали переместиться не более чем на 30 мм.

Небольшой перепад температур по длине тигля, малый диаметр его и большая вязкость расплава в значительной степени подавляли конвекцию. При повышении температуры до 1600° С вязкость алюмосиликатного шлака настолько уменьшилась, а конвекция так возросла, что в

течение одного часа радиоизотопы равномерно распределялись по всей длине графитового тигля.

Кривые изменения концентрации изотопа с высотой тигля x были плавными. Вид кривых должен соответствовать решению уравнения Фика для случая диффузии в одном направлении x из плоского непостоянного источника с количеством вещества Q , находящегося на поверхности полубесконечного тела, т. е.

$$c = \frac{Q}{\sqrt{\pi Dt}} e^{-x^2/4Dt} \quad (1)$$

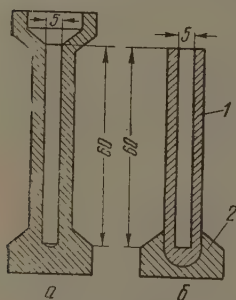


Рис. 1. Диффузионные тигли: а — графитовый, б — корундовый (1 — корундовая трубка; 2 — огнеупорная подставка)

Отсюда можно приблизительно оценить значение коэффициента диффузии D по уравнению:

$$D = \frac{x_2^2 - x_1^2}{4t \ln(c_1/c_2)}, \quad (2)$$

котором t — время опыта, а c_1 и c_2 — концентрация изотопа на расстояниях x_1 и x_2 зеркала расплава.

Так как при такой оценке влиянием конвекции, а также другими возможными искажениями в первом приближении пренебрегалось, то вычисленная из опытных данных величина D только условно может быть названа коэффициентом диффузии.

По окончании опыта тигель охлаждался на воздухе, причем время отвердевания не превышало одной минуты.

Образец шлака очищался от графита и делился на кусочки длиной 2—5 мм. При изучении диффузии в корундовых тиглях последние делились на части вместе со шлаком, который затем отделялся от материала тигля. Пробы затвердевшего расплава бралась в ступках, порошок тщательно перемешивался и вводился по 60 мг в алюминиевые кюветы. Интенсивность получения измерялась при помощи торцевого счетчика и являлась мерой средней концентрации диффундирующего вещества на выделенном участке $N = kc$.

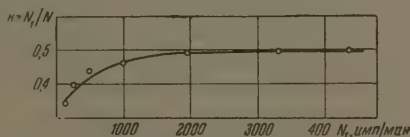


Рис. 2. Коэффициент поглощения k излучения P^{32} как функция скорости счета N

Разделение излучений смеси двух изотопов основывалось на различии максимальных энергий β -спектров (равных для P^{32} и Ca^{45} соответственно 1,7 и 0,255 MeV) и их периодов полураспада (14,3 и 152 дня) [9]. Например, на основании счета проб с фильтром N_1 и без него N составлялись уравнения:

$$N = N_{Ca} + N_P, \quad (3)$$

$$N_1 = K_{Ca}N_{Ca} + K_P N_P, \quad (4)$$

в которых N и N_1 — суммарные интенсивности, а N_{Ca} и N_P — для каждого из изотопов, K_{Ca} и K_P — коэффициенты поглощения. Зная из опыта N , N_1 , K_{Ca} и K_P можно при помощи этих уравнений определить N_{Ca} и N_P .

С другой стороны, после первого подсчета можно выдержать пробы 14,3 дня и снова определить интенсивность их излучения. Если скорость счета для эталона изменилась, то в результат измерения вносится поправка α . Тогда

$$\alpha N_1 = k'_{Ca} N_{Ca} + k'_P N_P. \quad (5)$$

Здесь коэффициенты k'_{Ca} и k'_P учитывают ослабление излучения изотопов, вызванное их естественным распадом.

Первый из указанных способов разделения излучений применялся как основной, второй — как контрольный. Расхождения между результатами, полученными этими двумя методами, не превышали 9,5%, а в большинстве случаев составляли 3%.

Фильтром служила алюминиевая пластинка толщиной 0,5 мм. Она полностью поглощала слабое излучение Ca^{45} . В связи с этим первое слагаемое уравнения (4) обращалось в нуль и расчет упрощался.

Для определения коэффициента поглощения излучения P^{32} были проведены специальные опыты, результаты которых представлены на рис. 2. Для удобства пользования он построен в координатах $N_1 - k_P$.

Интенсивность излучения измерялась на установке типа «Б». При этом ввиду небольших скоростей счета поправка на разрешающее время не вводилась. Учитывались лишь фон, изменение условий счета и естественный распад.

Таблица 1

Интенсивности излучений N_i на различных уровнях x расплава.
Время опыта 1,5 часа

$x, \text{мм}$	Интенсивность излучения в имп./мин.					
	N	N_1	N_{Ca}		N_P	
			основн.	контр.	основн.	контр.
1,25	6500	1702	2954	3074	3546	3426
5,5	6266	1612	2908	—	3358	—
10,0	2992	741	1381	1402	1611	1590
13,5	1494	346	670	—	824	—
16,5	750	182	266	260	485	491
21,0	178	46	25	—	153	—
26,25	0	0	0	—	0	—

РЕЗУЛЬТАТЫ ИЗМЕРЕНИЙ И ИХ ОБСУЖДЕНИЕ

В табл. 1 приведены результаты опыта, проведенного с алюмосиликатным расплавом в графитовом тигле при 1320°C . Значения N и N_1 найдены по непосредственным измерениям, а величины N_P и N_{Ca} вычислены из уравнений (3), (4), (5).

Зависимости N_P и N_{Ca} от x для этого опыта показаны на рис. 3. Наиболее точными являются средние точки кривых. По их координатам и уравнению (2) рассчитывались* значения условных коэффициентов диффузии, которые оказались равными

$$D_P = 5,7 \cdot 10^{-5} \text{ см}^2/\text{сек} \text{ и } D_{Ca} = 4,8 \cdot 10^{-5} \text{ см}^2/\text{сек}.$$

Аналогичным путем они были определены и для других температур. Полученные при этом величины собраны в табл. 2, в которой помещены также данные Мак-Кэллума и Баррета [4] и Тауэrsa с соавторами [5].

Как следует из табл. 2, коэффициенты диффузии, найденные другими авторами [5], по порядку величины меньше полученных нами.

Такое значительное расхождение объясняется некоторым различием в методике и в обработке экспериментальных данных. Тауэрс [5] и соавторы приводили в контакт два одинаковых по химическому составу шлака, из которых верхний содержал радиоизотоп кальция. После опыта образец разрезался на два полуцилиндра, которые полировались и плоской поверхностью накладывались на фотобумагу для выявления картины диффузии.

Авторы отмечают, что на фотографии поверхность раздела между содержащим радиоизотоп и обычным шлаками сильно искривлена. «Активный» шлак перемещается преимущественно вдоль стенок тигля. Авторы [5] сделали безус-

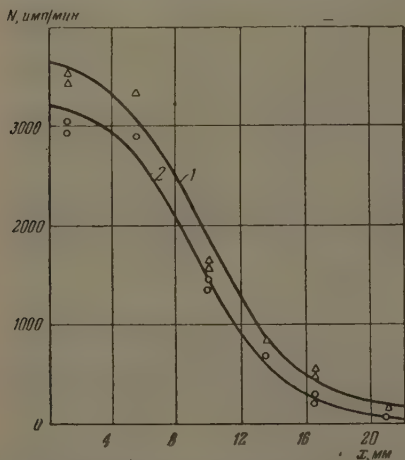


Рис. 3. Изменение концентрации N изотопа с расстоянием x : 1 — фосфора; 2 — кальция

* При этом отношение c_1/c_2 заменялось на N_1/N_2 .

Таблица 2
Коэффициенты D_P и D_{Ca} при различных температурах

t, °C	D_P , см ² /сек	D_{Ca} , см ² /сек	D_{Ca} , см ² /сек	
			[5]	[4]
1260	$1,1 \cdot 10^{-5}$	$9,1 \cdot 10^{-6}$	—	—
1320	$5,7 \cdot 10^{-5}$	$4,8 \cdot 10^{-5}$	—	—
1350	—	—	$3,3 \cdot 10^{-7}$	—
1400	$1,2 \cdot 10^{-4}$	$9,7 \cdot 10^{-5}$	$6,8 \cdot 10^{-7}$	—
1450	—	—	$1,3 \cdot 10^{-6}$	$9,6 \cdot 10^{-6}$
1500	$1,8 \cdot 10^{-4}$	$1,0 \cdot 10^{-4}$	—	$1,2 \cdot 10^{-5}$

ную попытку объяснить это явление различием межфазного натяжения обоих шлаков со стенкой тигля.

В действительности наблюдаемый ими эффект вызван, по-видимому, не только объемной, но и граничной диффузией [10—12]. Известно, что алюмосиликатные расплавы указанного состава плохо смачивают графит. Иначе говоря, силы взаимодействия между частицами шлака и стенкой тигля здесь малы. Поэтому перемещение частиц вдоль поверхности раздела происходит значительно легче, чем внутри объема, движение которого требует больших энергий разрыхления. Не исключена возможность, что отсутствие смачивания несколько облегчает и конвекцию.

Таблица 3
Влияние снятия поверхностного слоя на величину D_i
Температура 1400°C, время опыта 1 час

Слой не снимался		Снят слой 0,5 мм		Снят слой 1,0 мм	
D_P	D_{Ca}	D_P	D_{Ca}	D_P	D_{Ca}
$1,2 \cdot 10^{-4}$	$9,7 \cdot 10^{-5}$	$8,0 \cdot 10^{-5}$	$5,5 \cdot 10^{-5}$	$6,1 \cdot 10^{-5}$	$5,4 \cdot 10^{-5}$

Таким образом граница шлак — тигель служит своеобразным «корнем» для диффундирующих частиц. При этом создается градиент концентрации не только вдоль высоты тигля, но и в перпендикулярном направлении — от периферии к центру.

Лауэрс и соавторы [5] определяли коэффициент диффузии по изменению концентрации вдоль оси тигля, изучали преимущественно скорость объемной диффузии. Напротив, в наших опытах измерялся суммарный эффект перемещения частиц вдоль границы шлак — тигель и в объеме. Чтобы подтвердить существование двух градиентов концентрации, расплавок шлака, в которых изучали диффузию, снимался поверхностным травлением в плавиковой кислоте.

В этом случае условные коэффициенты диффузии фосфора и кальция оказались заметно меньшими. Иллюстрацией сказанного может служить табл. 3. Здесь у одного образца снят слой в 0,5 мм, а у другого — в 1 мм.

Таблица 4
Данные опытов с корундизовыми тиглями

Время опыта в часах	Температура, °C	D_P , см ² /сек	D_{Ca} , см ² /сек
8	1300	$8 \cdot 10^{-7}$	$3,1 \cdot 10^{-7}$
8	1300	$12 \cdot 10^{-7}$	$5,6 \cdot 10^{-7}$
4	1400	$2,5 \cdot 10^{-6}$	$1,8 \cdot 10^{-6}$
5	1400	$1,4 \cdot 10^{-6}$	$0,9 \cdot 10^{-6}$
2	1500	$4,4 \cdot 10^{-6}$	$3,8 \cdot 10^{-6}$
3	1450*	$4,5 \cdot 10^{-6}$	—
3	1450**	—	$2,4 \cdot 10^{-6}$

* Исследовался только P.

** Исследовался только Ca.

Однако несмотря на уменьшение значений D , порядок их остается по-прежнему большим, чем в опытах [5]. Возможно, что это является следствием характера изменения «поперечного» градиента концентрации, именно малого значения его около поверхности раздела шлак — стенки и сильного нарастания вблизи центральной оси образца.

С другой стороны, если сказанное выше о причинах возникновения поверхностной диффузии справедливо, то для устранения ее следует взять тигель, материал которого хорошо смачивается исследуемым шлаком. Этому условию удовлетворяют корундизовые тигли. Их стойкость позволила, кроме того, увеличивать время опыта до 8 час. Некоторые из результатов, полученных с корундизовыми тиглями

приведены в табл. 4.

В соответствии с ожиданиями значения условных коэффициентов диффузии резко уменьшились, а порядок их величин совпадает с найденными в [5] для осевой линии образца.

Таким образом, применение корундизовых тиглей подавило поверхностную диффузию и позволило изучать перемещение в объеме расплава.

Следующей интересной особенностью является то обстоятельство, что условные коэффициенты диффузии фосфора и кальция близки между собой во всех случаях: при наличии и отсутствии поверхностной диффузии, а также при совместном и раздельном изучении движения атомов Р и Са. Более того, значение D для фосфора даже немного выше, чем для кальция, энергия активации (рис. 4) несколько меньше ($E_P = 46,6$ ккал/г-атом, $E_{Ca} = 56,6$ ккал/г-атом).

Этот факт несомненно говорит о том, что фосфор в исследованных расплавах диффундирует не в виде громоздких комплексных анионов типа $P_xO_{x-1}^{2-}$. Близость значений D_P и D_{Ca} здесь вряд ли можно объяснить выравнивающим действием электростатического торможения, возникающего, когда катион опережает движение аниона. В самом деле, как указывалось выше, В. И. Малкин и Л. А. Шварцман [7] нашли, что в расплаве $(CaO - P_2O_5)$ (73% P_2O_5) фосфорнокислые анионы не участвуют в переносе электричества.

Для того чтобы выяснить, происходит ли диффузия фосфора и в этих шлаках, в корундизовых тиглях были проведены опыты с расплавами $CaO - P_2O_5$, содержащими 69,5% P_2O_5 . При этом изучалась как совместная (одновременное введение P^{32} и Ca^{45}), так и раздельная (изотопы вводились порознь) диффузия фосфора и кальция.

Полученные результаты, приведенные в табл. 5, подтверждают, что и в этом случае условные коэффициенты диффузии Р и Са близки друг к другу. Сравнительно большая подвижность фосфора в отсутствие внешнего электрического поля и литературные данные о практически полном отсутствии перемещения его при прохождении тока через расплав указывают на то, что он диффундирует в какой-то незаряженной форме (атом, радикал и т. п.).

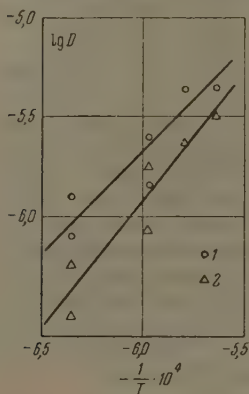


Рис. 4. Зависимость условных коэффициентов диффузии от температуры T : 1 — фосфора; 2 — кальция

Таблица 5

Опыты с расплавами 30% CaO и 69,5% P_2O_5

Продолжительность каждого опыта 5 час

$t, ^\circ C$	$D_P, \text{см}^2/\text{сек}$	$D_{Ca}, \text{см}^2/\text{сек}$
980	$2,7 \cdot 10^{-6}$	—
980	—	$3,0 \cdot 10^{-6}$
1000	$2,6 \cdot 10^{-6}$	$4,4 \cdot 10^{-6}$
1000	$3,0 \cdot 10^{-6}$	—
1000	—	$5,0 \cdot 10^{-6}$

ВЫВОДЫ

Методом радиоактивных индикаторов изучалась одновременная диффузия Р и Са в расплавах $\text{CaO} - \text{Al}_2\text{O}_3 - \text{SiO}_2$ и $\text{CaO} - \text{P}_2\text{O}_5$ при температурах от 1000 до 1500°С.

Найдено, что при плохой смачиваемости стенок тигля (графит) скорость перемещения Р и Са значительно выше, чем при хорошей смачиваемости (корундиз). Условные коэффициенты диффузии различаются в этих случаях почти на два порядка величины. Наблюдаемый эффект обусловлен поверхностной диффузией.

Установлено, что условные коэффициенты диффузии Р и Са близки друг к другу во всех изученных случаях: при наличии и отсутствии поперечной диффузии, а также при совместном и раздельном изучении перемещения Р и Са.

Относительно большая скорость перемещений фосфора в отсутствие внешнего электрического поля и литературные данные о практически полной неподвижности его при прохождении тока через расплав позволяют сделать вывод, что фосфор в противоположность кальцию диффундирует по заряженной форме.

Уральский политехнический
институт им. С. М. Кирова

Поступила
24. IX. 1956

ЛИТЕРАТУРА

- О. А. Есин, Журн. физ. химии, 30, 3, 1956.
 И. Н. Доброхотов, Вопросы производства стали, вып. 3, стр. 3, Изд-во АН УССР, Киев, 1956.
 G. Derge, W. Philbrook, A. K. Goldman, Trans. AJME, 188, 1111, 1950. Journ. of Metals, September, 1950.
 N. McCallum A. L. Barrett, Trans. Brit. Ceram. Soc., 51, 523, 1952.
 J. Towers, M. Paris A. J. Chipman, Journ. of Metals, № 11, 1455, 1953.
 T. Saito A. J. Kawai, Sci. Repts. Research. Insts. Tohoku Univ. Ser. A. 5, 460, 1953. Цитировано по Chem. Abstr. № 21, 12641i, 1954.
 В. И. Малкин и Л. А. Шварцман, ДАН, 102, 961, 1955.
 О. А. Есин и А. К. Кирьянов, Изв. АН СССР, ОТН, № 3, 79, 1955.
 В. И. Спицын, П. Н. Кодочигов, М. М. Голутвина, А. Ф. Куликова и З. А. Соколова, Методы работы с применением радиоактивных индикаторов, Изд-во АН СССР, М., 1955.
 Р. Баррер, Диффузия в твердых телах, ИИЛ, М., 1948.
 В. З. Бугаков, Диффузия в металлах и сплавах, ГИТТЛ, М., 1949.
 И. С. Куликов А. А. Жуховицкий, Сборник трудов Института стали, № 32, 54, Metallurgizdat, М., 1954.

THE DIFFUSION OF PHOSPHORUS AND CALCIUM IN THE MELTS

$\text{CaO}-\text{Al}_2\text{O}_3-\text{SiO}_2$ AND $\text{CaO}-\text{P}_2\text{O}_5$.

O. A. Esin, K. S. Vorontsov, S. K. Chuchmarev (Sverdlovsk)

Summary

The radioactive indicator method has been used to study the simultaneous diffusion of P and Ca in the melts 39.4% $\text{CaO}-21.2\% \text{Al}_2\text{O}_3-38.8\% \text{SiO}_2$ and 30% $\text{CaO}-69.5\% \text{P}_2\text{O}_5$ at 1000—1500°C. To measure the diffusion rate the isotopes P^{32} and Ca^{45} were employed, the separation of their emanations being based on the difference in the maximum energies of the β -spectra and in their half-lives.

It was found that on poor wetting of the crucible walls (graphite) the rate of transfer of P and Ca is almost two orders of magnitude higher than on good wetting (corundum). The observed effect was the result of surface diffusion.

The values for the apparent diffusion coefficients of P and Ca were found to be very close in all the cases investigated: both in the presence and absence of surface diffusion, when the movement of P and Ca was studied together or separately. In the corundum crucible the D_P and D_{Ca} values for the melt $\text{CaO} - \text{Al}_2\text{O}_3 - \text{SiO}_2$ at 1500°С were respectively 4.4×10^{-6} and $3.8 \times 10^{-6} \text{ cm}^2/\text{sec.}$

МЕХАНИЗМ КОРРОЗИИ МЕТАЛЛОВ В УЗКИХ ЗАЗОРАХ И ЩЕЛЯХ

IV. КОРРОЗИЯ АЛЮМИНИЯ И НЕКОТОРЫХ ЕГО СПЛАВОВ

И. Л. Розенфельд и И. К. Маршаков

Конструкции из алюминия и его сплавов очень часто разрушаются в местах образования зазоров и щелей. Такие разрушения наблюдались рядом исследователей [1—4] в различных условиях.

Механизм коррозии алюминия и его сплавов в зазорах всеми авторами сводится к возникновению пар дифференциальной аэрации. Однако непосредственных доказательств существованию подобного механизма не было получено. Кроме того, не имелось экспериментальных данных по сравнительной коррозионной стойкости алюминия и его сплавов в зазорах различной ширины. Поэтому проведение систематических коррозионных и электрохимических исследований алюминия и его сплавов в узких зазорах представляет большой интерес в связи с выяснением механизма

этого особого вида коррозии, а также в связи со значением этого вопроса для практики.

Методика исследования коррозионного и электрохимического поведения металлов в зазорах была описана нами раньше [5].

Объектами исследования служили технический алюминий АД, сплавы АМГ, АМЦ, плакированный алюминием сплав Д-16 (плакировка 4%), неплакированный сплав Д-16 и В-95.

Основная часть коррозионных и электрохимических исследований проводилась в 0,5 N NaCl, как электролите, имитирующем морскую воду. Время коррозионных испытаний — 80 суток. Продукты коррозии снимались в растворе, содержащем 20 г/л CrO_3 и 30 см³/л H_3PO_4 ($d = 1,6$), при 20° С в течение 5—10 мин. Остальные условия подготовки были такими же, как для железа [5].

Коррозионное поведение исследованных металлов в 0,5 N NaCl, когда поверхность металла находится полностью в зазоре, показано на рис. 1.

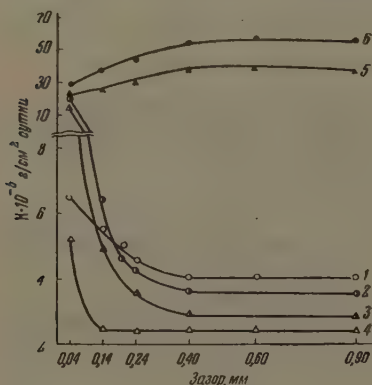


Рис. 1. Скорость коррозии алюминия и его сплавов, находящихся в зазоре различной ширины, в 0,5 N NaCl. Вся поверхность металла находится в зазоре: 1 — алюминий; 2 — плакированный Д-16; 3 — АМЦ; 4 — АМГ; 5 — неплакированный В-95; 6 — неплакированный Д-16

1. Оказалось, что не все сплавы алюминия одинаково ведут себя в зазоре. Скорость коррозии алюминия, сплавов АМГ, АМЦ и плакированного Д-16 в зазорах (тоньше 0,4 мм) больше их скорости коррозии в объеме электролита, а скорость коррозии неплакированных сплавов Д-16 и В-95 в зазорах меньше, чем в объеме электролита.

Измерения потенциалов показали, что в начальный период после погружения металла в электролит в объеме электролита и в зазорах они незначительно отличаются (не более 30 мВ), но через 2—2,5 часа алюминий в узких зазорах (0,04—0,14 мм) приобретает более отрицательные значения потенциала по сравнению с потенциалами алюминия в объеме электролита (300—320 мВ). Потенциалы алюминия, омываемого объемом электр

а, с течением времени несколько облагораживаются, что обусловлено явно, с накоплением на поверхности катодных примесей [6].

Исследование кинетики электродных процессов на алюминии и его сплавах показано на рис. 2, 3 и 4. Все кривые анодной и катодной поляризации были сняты через 24 часа после погружения исследуемых металлов в электролит. Кривая катодной поляризации алюминия в зазоре 0,10 мм (рис. 2, кривая 7) отличается от соответствующей кривой алюминия в объеме тем, что она не имеет изгиба, характерного для определения диффузионного тока, а также

тем, что сдвинута в сторону отрицательных значений потенциала. Первое обстоятельство обусловлено затрудненным доступом кислорода в зазор, а второе — защелачиванием коррозионной среды в зазоре. Обращает на себя внимание так-

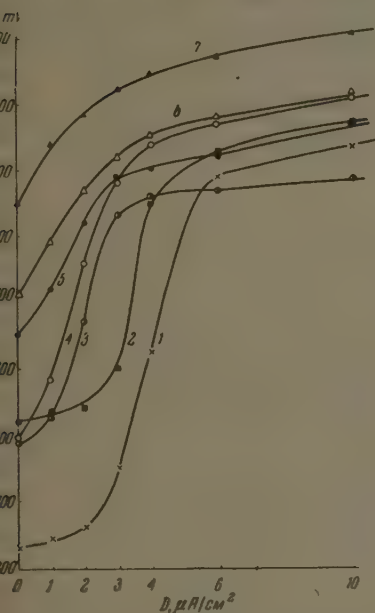


Рис. 2

2. Катодная поляризация алюминия и его сплавов в 0,5 N NaCl. В объеме электролита: 1 — неплакированный Д-16; 2 — неплакированный В-95; 3 — АМЦ; 4 — алюминий; 5 — АМГ (аэрированные растворы); 6 — алюминий в атмосфере водорода; 7 — алюминий в зазоре 0,10 мм (аэрированный раствор)

3. Анодная поляризация алюминия и его сплавов в 0,5 N NaCl. 1 — в зазоре 0,10 мм, аэрированный раствор; 2 — в объеме, атмосфера водорода; 3 — в объеме, аэрированный раствор

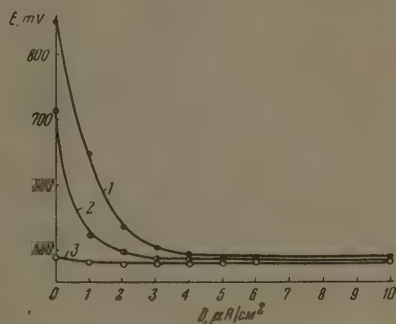


Рис. 3

то обстоятельство, что предельные диффузионные токи по кислороду одинаковы для различных сплавов, что связано с различной величиной активной поверхности сплавов. Это оказывает существенное влияние на коррозионный ток макропар, о чем будет сказано ниже.

Алюминий и его сплавы АМГ, Д-16 и В-95 в объеме электролита поляризуются анодно очень слабо (рис. 3 и 4), что хорошо согласуется с работой Д. Томашова и В. Н. Модестовой [7]. Кривые анодной поляризации алюминия и его сплавов в узких зазорах отличаются от кривых анодной поляризации, снятых в объеме. Например, алюминий в зазоре 0,10 мм (рис. 4) при малых плотностях тока ($4-5 \mu A/cm^2$) резко поляризуется до потенциалов алюминия в объеме электролита, а затем наблюдается незначительная поляризация — такая же, как на алюминии в объеме электролита. Аналогичные явления мы наблюдаем на сплавах Д-16 и В-95 с той лишь разницей, что каждый сплав характеризуется определенным наклоном начальных участков анодных кривых (рис. 3, 4). Сдвиг начального потенциала алюминия и его сплавов, находящихся

в узком зазоре, в отрицательную сторону обусловлен двумя обстоятельствами. В результате затрудненного доступа кислорода анодный процесс на алюминии в узком зазоре облегчается, а катодный процесс затрудняется, все это ведет к сдвигу начального потенциала в отрицательную сторону. Второе обстоятельство заключается в том, что образующаяся гидроокись алюминия, как продукт коррозии, быстро насыщает коррозионную среду в зазоре и устанавливает такое значение pH , которое соответствует растворимости гидроокиси. Произведение растворимости $Al(OH)_3$ по Ляммеру [8] равно $1,9 \cdot 10^{-33}$. Если исходить из этой константы, то расчет показывает, что среда при насыщении ее гидроокисью алюминия должна иметь $pH=8,4$. Наши экспериментальные измерения pH коррозионной среды, взятой из зазора 0,10 мм, дали значения $pH=7,9-8,2$. Установление в зазоре

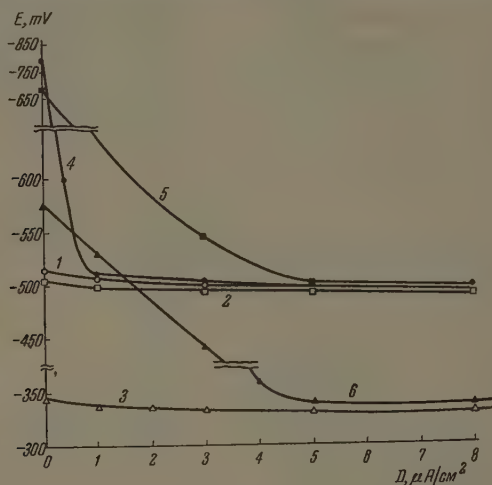


Рис. 4. Анодная поляризация сплавов АМГ, неплакированных Д-16 и В-95 в 0,5N NaCl. В объеме электролита: 1 — АМГ; 2 — В-95; 3 — Д-16. В зазоре 0,10 мм: 4 — АМГ; 5 — В-95; 6 — Д-16

слабощелочной среды способствует частичному растворению защитных окисных пленок и облегчению анодного процесса. В подтверждение наших предположений о том, что разблагораживание потенциала алюминия в зазоре связано с недостаточным доступом кислорода и защелачиванием среды, были проведены измерения скорости растворения алюминия и скорости анодных потенциалов в растворах, заранее насыщенных продуктами коррозии как в воздушной атмосфере, так и в атмосфере водорода.

Результаты этих экспериментов представлены в таблице. Раствор $pH=7,8$ был приготовлен следующим образом: в 0,5 N NaCl в течение двух дней корродировали алюминиевые опилки, образовавшиеся продукты коррозии установили $pH=7,8$. Потенциал алюминия в атмосфере водорода в таком растворе сдвинул в отрицательную сторону на 200 мВ, по сравнению со значением для воздушной атмосферы. Правда, алюминий в зазоре 0,04 мм имеет более отрицательные значения потенциала, но это связано, вероятно, с более сильным защелачиванием среды в таком узком зазоре. Из таблицы видно, что скорость коррозии алюминия в атмосфере водорода в коррозионной среде с $pH=7,8$ оказалась незначительно больше скорости алюминия в свежеприготовленном аэрированном растворе с $pH=6$, однако если взять аэрированный раствор с $pH=7,8$, то скорость коррозии алюминия возрастает в 1,5 раза. Иными словами, изменение pH среды у

**Скорость коррозии и стационарные потенциалы алюминия
в 0,5 N NaCl**

Условия опыта	pH	в/см ² сут- ки · 10 ³	mV
Свежий раствор, свободный доступ воздуха	6,6	40,1	—500
Свежий раствор, атмосфера водорода	6,6	33,0	—700
Раствор с Al-опилками, свободный доступ воздуха	7,8	61,2	—520
Раствор с Al-опилками, атмосфера водорода	7,8	46,0	—720
Свежий раствор, свободный доступ воздуха, Al в зазоре 0,04 мм	В зазоре 7,9—8,2	65,0	—850
Раствор после анодной поляризации алюминия, свободный доступ воздуха	4,2	192,3	—900

Снижает скорость коррозии алюминия наиболее сильно в присутствии кислорода. Подобные условия имеют место в случае, когда алюминий находится в зазоре. Диффузия кислорода в зазор хотя и замедленная, но существует, и этот кислород участвует в процессе коррозии, выступая в качестве катодного деполяризатора. Наряду с этим было отмечено, что как деполяризатора выступают и ионы водорода, о чем свидетельствует выделение пузырьков водорода из зазора.

Механизм коррозии сплавов алюминия в узких зазорах аналогичен механизму коррозии чистого алюминия. Только для сплавов В-95 и Д-16, находящихся в узких зазорах, наблюдается не увеличение скорости коррозии, как это было для алюминия и сплавов АМГ и АМЦ, а уменьшение, хотя в зазорах тоже происходит защелачивание среды и потенциалы сдвигаются в отрицательную сторону. По данным Н. Д. Томашова и Т. В. Матвеевой [9], коррозия сплава типа Д-16 протекает со значительной кислородной деполяризацией, поэтому эффект от затруднения доступа кислорода очень велик, и его действие не перекрывается эффектом, обусловленным защелачиванием среды.

Коррозия плакированного Д-16 в узком зазоре значительно больше, чем алюминия, хотя плакировка представляет собой чистый алюминий. Это обстоятельство объясняется тем, что плакировка сплава нарушается, что ведет к обнаружению коррозионно нестойкой сердцевины и увеличению скорости коррозии.

А. Я. Шаталовым [10] было показано, что коррозионная стойкость алюминия сильно зависит от pH среды, а также от концентрации хлор-иона. Коррозионная стойкость исследуемых сплавов алюминия тоже сильно зависит от pH среды. Наиболее стойким является сплав АМГ — он обладает наиболее совершенной защитной пленкой, поэтому для частичного ее разрушения требуется более замедленный доступ кислорода и более высокое значение pH, т. е. сплав АМГ должен находиться в более узком зазоре, чем, скажем, алюминий, чтобы он стал усиленно корродировать (рис. 1).

Влияние концентрации хлор-иона на скорость коррозии алюминия в зазорах показано на рис. 5. С увеличением концентрации хлористого натрия скорость коррозии алюминия в зазорах и в объеме уменьшается, причем при малых концентрациях хлористого натрия (0,01 N) в дистиллированной воде скорость коррозии алюминия в зазоре становится меньше, чем в объеме электролита. Однако если имеется контакт с алюминием, мываемым объемом электролита, то даже в случае малых концентраций хлористого натрия скорость коррозии алюминия в узком зазоре остается больше, чем в объеме электролита (рис. 5, кривая 5).

Своеобразное поведение алюминия, когда вся поверхность металла находится в зазоре, при разных концентрациях хлористого натрия связано

с тем, что пределы коррозионной стойкости алюминия в растворах с переменными значениями рН сильно зависят от концентрации хлор-иона в растворах. По данным [10] алюминий коррозионно стоек в буферных растворах с $\text{pH} = 7-8$, когда они содержат $0,5 \text{ N NaCl}$, а в тех же буферных растворах, без хлор-иона пределы коррозионной стойкости расширяются до $\text{pH} = -9$. Поскольку продукты коррозии алюминия могут установить максимальное значение рН не более чем $8,4$ (расчетное), то усиленное разрушение алюминия в зазорах будет наблюдаться только при тех концентрациях хлор-иона, при которых алюминий в среде с $\text{pH} = 7-8$ является нестойким.

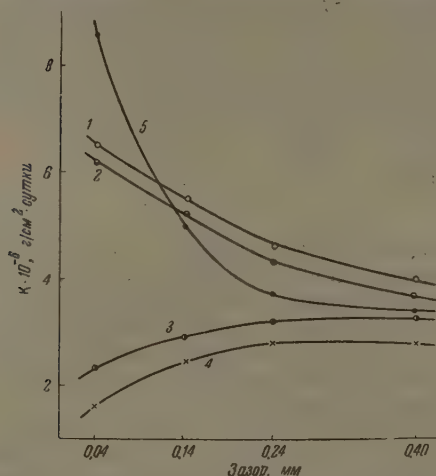


Рис. 5. Скорость коррозии алюминия в узких зазорах при разных концентрациях хлористого натрия: 1 — $0,5 \text{ N NaCl}$; 2 — $0,1 \text{ N NaCl}$; 3 — $0,01 \text{ N NaCl}$; 4 — дистиллированная вода (вся поверхность алюминия находится в зазоре); 5 — $0,01 \text{ N NaCl}$ ($S_1:S_2=1$)

алюминия и его сплавов в зазоре $0,04 \text{ мм}$ при различных соотношениях площадей металла, омываемого объемом электролита, и металла, находящегося в зазоре. Исследованные металлы по скорости коррозии в соотношении поверхностей, равном 10, можно расположить в $\text{В-95} > \text{Д-16} > \text{АМГ} > \text{Ал} < \text{плакированный Д-16} > \text{АМГ}$.

Увеличение скорости коррозии исследуемых металлов в зазорах в наличии контакта с металлом, омываемым объемом электролита, обусловлено возникновением коррозионных макропар «металл в объеме — металл в зазоре». Анодом этих макропар является металл, находящийся в зазоре, поэтому коррозионные потери этого металла за счет анодной поляризации возрастают. Посредством методики, описанной ранее [11], были определены степени контроля этих макропар. Катодный контроль при всех соотношениях оказался преобладающим. Даже при $S_1:S_2 = 10$ он равен 64% . Если исходить из того, что только катодный процесс определяет работу коррозионных макропар, то следовало бы ожидать (рис. 2), что по скорости коррозии в зазорах металлы должны располагаться в ряд $\text{АМГ} < \text{Ал} < \text{В-95} < \text{Д-16}$. Однако изучение скорости растворения (рис. 6) показало, что сплав В-95 в зазоре разрушается с большей скоростью, чем сплав Д-16. Последнее можно объяснить лишь различной скоростью анодной реакции: анодная поляризуемость сплава В-95 в зазоре меньше, чем сплава Д-16 (рис. 4). Следовательно, скорость протекания анодного процесса может определять ток коррозионных элементов и скорость коррозии металла в зазоре. Разность потенциалов между металлом в объеме и металлом в зазоре не оказывает существенного влияния на эффективность работы коррозионных макропар.

В других средах скорость коррозии алюминия в узких зазорах будет меньше, чем в среде электролита, в результате затрудненного доступа кислорода.

В условиях полного погружения в коррозионную среду металл, находящийся в зазоре, обычно корродирует в контакте с металлом, омываемым объемом коррозионной среды, поэтому представляло интерес изучить коррозионное поведение алюминия и его сплавов при различных соотношениях площадей поверхности металла, находящегося в объеме коррозионной среды и в зазоре ($S_1:S_2$).

На рис. 6 представлена зависимость скорости коррозии

Большое влияние на коррозионное поведение алюминия и его сплавов в узких зазорах оказывает то обстоятельство, что при анодной поляризации этих металлов наблюдается отрицательный дифференц-эффект. Средством кулометров было определено количество электричества, протекающего между катодом и анодом, и затем величина этого эффекта. Для всех металлов он оказался отрицательным. Для алюминия и сплавов ПГ, АМЦ дифференц-эффект составил 40—42% коррозионных потерь металла в зазоре, обусловленных прохождением анодного тока, а для сплавов В-95 и Д-16 47—48%.

Из литературных источников известно [7], что отрицательный дифференц-эффект алюминия в 0,5 N NaCl обычно составляет всего 12—14% от потерь, обусловленных прохождением анодного тока. Резкое увеличение дифференц-эффекта алюминия в тонких зазорах можно было бы объяснить окислением коррозионной среды. Защитные окисные пленки на алюминий в кислом электролите будут растворяться, и не будет способствовать более эффективной работе коррозионных микроэлементов. Действительно, при работе коррозионного макроэлемента «металл в зазоре — металл в объеме», в зазоре накапливается большое количество продуктов анодной реакции (хлористый алюминий), который гидролизует и подкисляет среду. Если принять, что гидролиз происходит по схеме



константой равновесия, равной $1,4 \cdot 10^{-5}$ [8], то расчет показывает, что при прохождении анодного тока силой в 80 μA в течение 2 час. в зазоре шириной 0,04 мм ($0,04 \times 30 \times 50 \text{ мм}^3$) должно установиться $\text{pH} = 3,5$. Наши посредственные измерения pH электролита, извлеченного из зазора после работы макроэлемента, дали величины $\text{pH} = 3,2\text{—}3,4$.

Для подтверждения того, что отрицательный дифференц-эффект алюминия возрастает в кислых средах, была определена его величина в свежеприготовленном растворе 0,5N NaCl и в том же растворе, но после анодной поляризации в нем алюминия при плотности тока 5 $\mu\text{A}/\text{см}^2$ в течение 10 час. В кислых растворах дифференц-эффект значительно увеличивается и достигает 40%.

В заключение необходимо отметить, что различные методы расчета величины дифференц-эффекта алюминия (весовой и по количеству выделившегося водорода) дают разные результаты. По весовому методу его величины до плотностей тока 20—30 $\mu\text{A}/\text{см}^2$ оказываются выше, чем полученные из расчета по количеству выделившегося водорода, так как в этих случаях нельзя пренебрегать коррозионными потерями, обусловленными работой микроэлементов с кислородной деполаризацией. При высоких плотностях тока (30 $\text{mA}/\text{см}^2$ и выше) оба метода расчета дают одинаковые значения.

Механизм коррозии алюминия в узких зазорах при наличии контакта алюминия с омываемым объемом электролита, можно, таким образом, представить себе следующим образом. Вначале, вследствие различного

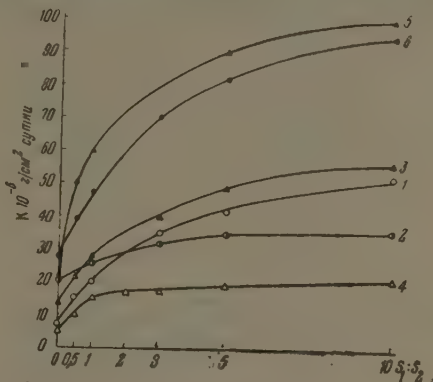


Рис. 6. Скорость коррозии алюминия и его сплавов, находящихся в зазоре 0,04 мм, в 0,5N NaCl при различных соотношениях площадей металла в объеме электролита S_1 и в зазоре S_2 . (Обозначения см. рис. 1)

доступа кислорода к металлу, в объеме и в зазоре возникает пара дифференциальной аэрации. Ток этой пары первое время весьма не стабилен. В дальнейшем ток становится стабильным и начинает расти, проходя через максимум (рис. 7). Увеличение тока элемента можно объяснить тем, что с течением времени увеличивается дифференциация в доступе кислорода (кислород в зазоре расходуется в результате деятельности микроразноэлементов). Не менее существенным является также то обстоятельство, что электролит в зазоре подкисляется вследствие гидролиза продуктов анодной реакции. Установление в узких зазорах $pH = 3,2-3,4$ ведет к тому, что потенциал алюминия сдвигается в отрицательную сторону.

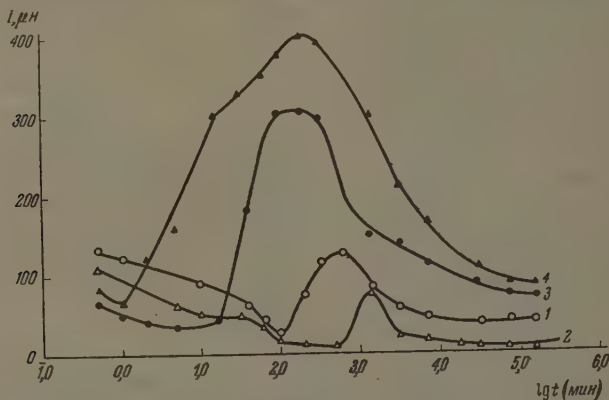


Рис. 7. Зависимость силы тока макропар «металл в объеме — металл в зазоре 0,04 мм» от времени испытания в 0,5 N NaCl при $S_1:S_2 = 5$. 1 — алюминий; 2 — АМГ; 3 — Д-16; 4 — В-95

(см. таблицу), что облегчает течение анодной реакции. При установившемся процессе уже не дифференциальная аэрация обуславливает работу коррозионных макропар, а подкисление электролита в тонком зазоре.

Дифференциальная аэрация является, таким образом, первопричиной приводящей к возникновению коррозионного макроэлемента. В дальнейшем же работа элемента определяется изменением коррозионной среды.

ВЫВОДЫ

1. Изучено коррозионное и электрохимическое поведение алюминия и некоторых его сплавов в узких зазорах и растворах хлористого натрия. Установлено, что скорость коррозии металла, находящегося в узком зазоре, примерно на порядок выше скорости коррозии этого же металла, омываемого объемом электролита.

2. Показано, что усиленная коррозия изученных металлов в зазоре обусловлена изменением состава коррозионной среды в зазоре благодаря работе макроэлементов, возникающих из-за неодинаковой скорости доставки кислорода в зазор и к металлу, омываемому объемом электролита.

3. Исследовано явление отрицательного дифференц-эффекта на алюминии, находящемся в узком зазоре. Установлено, что при анодной поляризации величина дифференц-эффекта алюминия достигает 40—47%. Показано, что такой необычный рост дифференц-эффекта обусловлен подкислением электролита в зазоре вследствие гидролиза продуктов анодной реакции.

ЛИТЕРАТУРА

- Ю. Р. Эванс, Коррозия, пассивность и защита металлов, Металлургиздат, 1941.
- С. Е. Павлов, Коррозия дюралюмина, Оборонгиз, 1949, стр. 159.
- М. Н. Розов и М. И. Клушин, Коррозия и борьба с ней, 2, 136, 1936.
- Сборник, Металлургия ядерной энергетики и действия облучения на материалы. Гос. научно-техн. изд-во литературы по черной и цветн. металлург., 1955, стр. 365.
- И. Л. Розенфельд и И. К. Маршаков, Журн. физ. химии, 30, 2724, 1956.
- Е. И. Палеолог и Г. В. Акимов, Тр. Ин-та физ. химии АН СССР, Изд-во АН СССР, 1951.
- Н. Д. Томашов и В. Н. Модестова, Тр. Ин-та физ. химии, АН СССР, 1, Изд-во АН СССР, 1951.
- В. М. Латимер, Окислительное состояние элементов и их потенциалы в водных растворах. ИИЛ, М., 1954.
- Н. Д. Томашов и Т. В. Матвеева, Тр. Ин-та физ. химии АН СССР, 1, Изд-во АН СССР, 1951.
- А. Я. Шаталов, Тр. Ин-та физ. химии АН СССР, 4, Изд-во АН СССР, 1955.
- И. Л. Розенфельд и И. К. Маршаков, Заводск. лабор., 21, 1346, 1955.

MECHANISM OF METALLIC CORROSION IN NARROW CREVICES AND SLITS

IV. THE CORROSION OF ALUMINUM AND SOME OF ITS ALLOYS

I. L. Rosenfeld and I. K. Marshakov (Moscow)

Summary

The corrosion and electrochemical behavior of aluminum, of the plated alloy D-16 and the alloys AMG, AMC, B-95 and D-16 in slits of different width have been studied in solutions of sodium chloride. It has been shown that the increased corrosion of the metals in the narrow slits is due to the hindered access of oxygen and to change in pH of the medium in the slit, reaching values at which the aluminum is no longer resistant. If the entire surface of the metal is in the slit the corrosion medium attains a pH value 8.0—8.2 due to the corrosion products of the aluminum. If the metal in the slit is in contact with a metal washed by the bulk of the electrolyte the medium in the slit is acidified to pH 3.2—3.6 due to hydrolysis of the products of the anodic reaction of the macropair, "metal in solution-metal in the slit".

ИЗУЧЕНИЕ ЖИДКИХ СИСТЕМ ПО ОТКЛОНЕНИЮ ЛОГАРИФМА ВЯЗКОСТИ ОТ АДДИТИВНОСТИ

А. Я. Дейч

Кендалл и Монроу [1], а затем Д. А. Поспехов [2] показали, что логарифм вязкости двойных жидких систем, является свойством аддитивности. При этом доказывалась справедливость следующей формулы Аррениуса [3], в которой значение X выражается в виде молярной доли одного из компонентов:

$$\lg \eta = X \lg \eta_1 + (1 - X) \lg \eta_2,$$

где η_1 и η_2 — коэффициенты вязкости компонентов.

Указанное положение может сыграть большую роль в изучении многих жидких систем, так как позволяет, очевидно, судить о химических процессах, происходящих в системах, по отклонению логарифма вязкости от аддитивности.

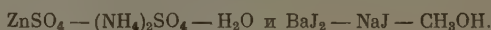
Для проверки возможности такого суждения, исследована двойная жидкая система $C_6H_5NH_2 - C_5H_5N$. Эта система нами выбрана на том основании, что в литературе имеются данные, полученные при ее изучении другими методами физико-химического анализа [4].

Кроме того, положение об аддитивности логарифма вязкости двойных жидких систем может сыграть большую роль и в изучении смесей солевых растворов, поскольку Н. А. Трифонов показал [5], что типы диаграмм вязкости должны являться общими для веществ различных классов.

В этом отношении интерес представляют тройные системы, состоящие из концентрированных растворов солей.

Пользуясь методом непрерывных изменений Остромысленского — Джаба [6, 7], смеси исходных растворов солей составляются таким образом, что количество растворителя во всех смесях остается постоянным. Это даст возможность в большой мере исключить влияние растворителя и говорить о взаимодействии только двух солевых компонентов, а диаграмму рассматриваемого свойства приобретает вид диаграммы двойной системы [8].

Исходя из этого, по отклонению логарифма вязкости от аддитивности нами изучены две солевые системы:



При этом система $ZnSO_4 - (NH_4)_2SO_4 - H_2O$ взята из тех соображений, что она хорошо изучена другими методами и, таким образом, представляется возможность судить о достоверности результатов, полученных в данной работе.

Что же касается системы $BaJ_2 - NaJ - CH_3OH$, то она представляет интерес как система, состоящая из концентрированных растворов солей в безводном растворителе.

Для вычисления теоретических значений логарифма вязкости смесей компонентов двойной системы была использована формула (1).

Вычисления же теоретических значений логарифма вязкости для смесей компонентов тройных солевых систем, произведены по обычной формуле

ле аддитивности

$$\lg \eta = \frac{\alpha \lg \eta_1 + \beta \lg \eta_2}{\alpha + \beta}, \quad (2)$$

α и β — вес исходных растворов смеси в граммах, η_1 и η_2 — соответствующая вязкость первого и второго компонентов.

ЭКСПЕРИМЕНТАЛЬНАЯ ЧАСТЬ

Для работы были взяты пиридин квалификации «ч», осушенный над KOH, трижды перегнанный в вакууме с т. кип. 116° , d_4^{20} 0,98430 и n_D^{23} 1,50598; анилин квалификации д. а., после двукратной перегонки при обычном давлении, имевший константы т. кип. 184° , d_4^{20} 1,02185 и n_D^{23} 1,58312; метанол «ч. д. а.» с т. кип. $64,8^\circ$, d_4^{20} 0,79129 и n_D^{20} 1,33057.

Соли ZnSO_4 , $(\text{NH}_4)_2\text{SO}_4$, BaJ_2 и NaJ были квалификации «ч. д. а.» и «х. ч.». Исходные растворы солей и их смеси, а также смеси анилина и пиридина готовились весовым путем.

Точность концентрации исходных растворов солей контролировалась методом титрования. Данные об исходных растворах показаны в табл. 1 и 2.

Таблица 1

Исходные растворы системы
 $\text{ZnSO}_4 - (\text{NH}_4)_2\text{SO}_4 - \text{H}_2\text{O}$

Наименование вещества	Мол. вес	Мол. %	$\lg \eta^{20}$
ZnSO_4	161,45	1,5376	0,1847
$(\text{NH}_4)_2\text{SO}_4$	132,15	1,5749	0,0569

Таблица 2

Исходные растворы системы
 $\text{BaJ}_2 - \text{NaJ} - \text{CH}_3\text{OH}$

Наименование вещества	Мол. вес	Мол. %	$\lg \eta^{20}$
BaJ_2	391,212	3,0005	0,2900
NaJ	149,920	2,9757	0,1335

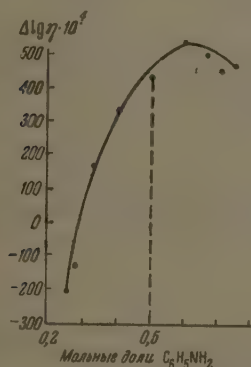


Рис. 1

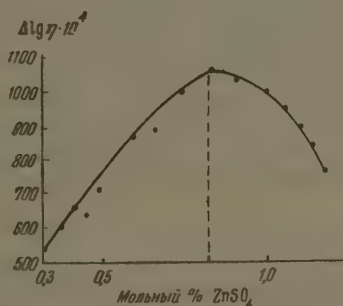


Рис. 2

с. 1. Отклонение логарифма вязкости от аддитивности в системе $\text{C}_5\text{H}_5\text{NH}_2 - \text{C}_6\text{H}_5\text{N}$; вертикальный пункт соответствует отношению компонентов 1:1

с. 2. Отклонение логарифма вязкости от аддитивности в системе $\text{ZnSO}_4 - (\text{NH}_4)_2\text{SO}_4 - \text{H}_2\text{O}$; вертикальный пункт соответствует отношению компонентов 1:1

Вязкость определялась в вискозиметре Оствальда, а плотности в пикнометрах узкой шейкой.

Вискозиметр и пикнометры калибровались по воде. Все определения велись при 20°C . Термостатирование осуществлялось при помощи жидкостного термостата точностью до $\pm 0,02^\circ$.

Система $\text{C}_6\text{H}_5\text{NH}_2 - \text{C}_5\text{H}_5\text{N}$. Из очищенных пиридина и анилина было приготовлено девять двойных смесей при различных молярных соотношениях.

Полученные данные приведены на рис. 1.

Как видно из рис. 1, отклонение логарифма вязкости от аддитивности ясно говорит о происходящем в системе химическом взаимодействии компонентов. При этом образовавшийся максимум несколько сдвинут в сторону компонента с большей вязкостью.

Наличие максимума указывает на образование в системе нового химического соединения, а его сдвиг в сторону — на то, что образовавшееся соединение сильно диссоциировано.

Все это подтверждается данными, полученными при изучении систем другими методами физико-химического анализа [4] о наличии в системе

сильно диссоциированного соединения состава $C_6H_5NH_2 : C_5H_5N$.

Система $ZnSO_4 - (NH_4)_2SO_4 - H_2O$. Из приготовленных исходных растворов $ZnSO_4$ и $(NH_4)_2SO_4$, содержащих примерно по 1,5 мол. % солей, было приготовлено 15 смесей.

Полученные данные по отклонению логарифма вязкости от аддитивности в системе приведены на рис. 2.

Ясно выраженный максимум говорит об образовании в системе довольно прочного молекулярного соединения, отвечающего мольному соотношению компонентов 1 : 1, что хорошо согласуется с литературными данными [9, 10].

Система $BaJ_2 - NaJ - CH_3OH$. Исходные растворы содержали по 3 мол. % BaJ_2 и NaJ в метаноле.

Результаты определения логарифма вязкости и его отклонение от аддитивности в системе показаны на рис. 3.

Кривая с максимумом, несколько сдвинутым в сторону компонента меньшей вязкостью, указывает на химический процесс, протекающий в системе. Напрашивается вывод об образовании в системе диссоциированного молекулярного соединения, отвечающего мольному соотношению компонентов 1 : 1, состава $Na[BaJ_3]$.

Однако точный состав образовавшегося соединения требует подтверждения другими методами физико-химического анализа. Сдвиг максимума в сторону компонента с меньшей вязкостью, возможно, объясняется и химическим взаимодействием этого компонента с образовавшимся веществом.

ВЫВОДЫ

1. Методом физико-химического анализа, по отклонению логарифма вязкости от аддитивности, изучены системы: $C_6H_5NH_2 - C_5H_5N$, $ZnSO_4 - (NH_4)_2SO_4 - H_2O$ и $BaJ_2 - NaJ - CH_3OH$.

2. Показано, что по отклонению логарифма вязкости от аддитивности можно с достоверностью судить о химическом взаимодействии и характер образующихся молекулярных соединений в жидких системах.

3. На примере системы $ZnSO_4 - (NH_4)_2SO_4 - H_2O$ показана возможность не только обнаруживать в системе молекулярные соединения, но и устанавливать их состав по отклонению логарифма вязкости от аддитивности.

4. В изученных системах установлено наличие молекулярных соединений $(NH_4)_2[Zn(SO_4)_2]$ и $C_6H_5NH_2 : C_5H_5N$, что хорошо подтверждается литературными данными.

5. Образование в системе с метанолом соединения $Na[BaJ_3]$ требует подтверждения другими методами физико-химического анализа.

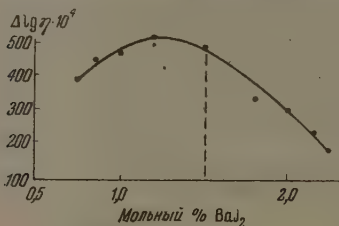


Рис. 3. Отклонение логарифма вязкости от аддитивности в системе $BaJ_2 - NaJ - CH_3OH$; вертикальный пункт соответствует отклонению компонентов 1 : 1

ЛИТЕРАТУРА

- J. Kendall, K. P. Monge, Journ. Amer. Chem. Soc., 39, 1787, 1917.
 Л. А. Пospelхов, Журн. физ. химии, 30, 1, 228, 1956.
 S. Arrhenius, Zs. phys. Chem., 1, 285, 1887.
 К. Н. Коваленко, О. А. Осипов и Н. А. Трифонов, Журн. физ. химии, 29, 4, 685, 1955.
 Н. А. Трифонов, Изв. Сектора физ.-хим. анализа, 14, 193, 1941.
 И. Остромысленский, Ber., 44, 268, 1911.
 P. Job, Ann. Chem., 9, 113, 1928.
 Н. Ф. Ермоленко и Х. Я. Левитман, Журн. общ. химии, 20, 1, 31, 1950.
 А. С. Карнаухов и В. Г. Шевчук, ДАН, 90, 2, 191, 1953.
 Я. А. Фиалков и Н. К. Давиденко, Укр. хим. журн., 20, 5, 470, 1954.

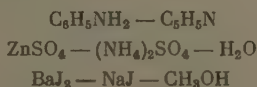
INVESTIGATION OF LIQUID SYSTEMS BY THE DEVIATION FROM ADDITIVITY OF THEIR VISCOSITY LOGARITHMS

A. Ya. Deich (Riga)

Summary

It has been shown that by the deviation of the logarithm of viscosity from additivity one may judge of the nature of the chemical process taking place in liquid systems and of the molecular compounds formed.

On this basis the systems



studied.

It was concluded that in these systems the molecular compounds $(\text{NH}_4)_2[\text{Zn}(\text{SO}_4)_2]$ and $\text{C}_6\text{H}_5\text{NH}_2:\text{C}_6\text{H}_5\text{N}$ appear and the compound $\text{Na}(\text{BaJ}_3)$ is likely to form.

ЗАВИСИМОСТЬ МЕХАНИЧЕСКИХ СВОЙСТВ ГУТТАПЕРЧИ ОТ СТЕПЕНИ СТРУКТУРИРОВАНИЯ И ТЕМПЕРАТУРЫ

Т. И. Соголова, Б. И. Айходжаев и В. А. Каргин

В настоящее время имеется много работ, посвященных изучению механических свойств линейных кристаллических полимеров [1—9]. Однако значительно реже встречаются работы по механическим свойствам структурированных кристаллических полимеров [10—15]. Между тем практическое значение таких исследований очень велико. Известно, что высокомолекулярные вещества в процессе получения, обработки и эксплуатации могут растворяться или структурироваться. Физико-механические свойства полимеров при разветвлении и особенно при образовании пространственной структуры значительно изменяются.

В связи с этим представляло интерес выяснить, как будут изменяться механические свойства структурированных кристаллических полимеров в широком интервале температур.

Объектом исследования была выбрана гуттаперча — кристаллический полимер, который может легко структурироваться вследствие наличия двойных связей.

Гуттаперча содержала: 90% углеводорода гутты, 7% смолы, 0,8% золы и 2,2% других органических веществ. Структурирование ее осуществлялось путем вулканизации с пероксидом. Вначале гуттаперча вальцевалась на микровальцах при 80° С, затем к ней добавлялся пероксид-Д (1,0% по весу к гуттаперче) и различные количества тонкодисперсной серы. Вулканизация осуществлялась в прессах (при 143° С и давлении 3 кг/см²) в течение 120 мин.*

Основные исследования были посвящены изучению деформации растяжения тонких пленок в широком интервале температур. Кроме того, изучалось изменение величин обратимых деформаций гуттаперчи в зависимости от степени структурирования. Измерение обратимой деформации производилось через 1 мин. после разрыва образцов без дополнительного прогрева. Величины обратимых деформаций исходной гуттаперчи и содержащей 1,4% связанной серы, измеренные через 1 мин., 20 мин. и 90 суток, практически были одинаковыми. Следовательно, длительность усадки не влияла заметно на величины обратимых деформаций. Растяжение тонких пленок гуттаперчи осуществлялось на динамометре, сконструированном в лаборатории коллоидной химии физико-химического института им. Л. Я. Карпова [1].

Наряду с механическими свойствами изучались структура и сорбционные свойства структурированной гуттаперчи. Рентгенограммы образцов снимались на универсальной рентгеновской установке для рентгеноструктурного анализа. Они получались на К_α излучении меди с никелевым фильтром. Рентгеновская камера была плоскокассетная с расстоянием до пленки 25 мм. Микрофотометрирование рентгенограмм проводилось на микрофотометре МФ-4, при одинаковых условиях для всех образцов.

Измерение сорбционных свойств гуттаперчи осуществлялось на вакуумных весах Мак-Бена.

ВЛИЯНИЕ СТРУКТУРИРОВАНИЯ НА МЕХАНИЧЕСКИЕ СВОЙСТВА ГУТТАПЕРЧИ

Вначале изучалось влияние степени структурирования на механические свойства гуттаперчи при 20° С. Из рис. 1 видно, что исходная гуттаперча обладает высокими значениями прочности и напряжения рекристаллизации**. Деформация гуттаперчи происходит с образованием шейки, и кривая

* Следует указать, что во всех случаях, когда приводятся данные, относящиеся к гуттаперче, содержащей связанную серу, имеются в виду вулканизаты гуттаперчи.

** Напряжением рекристаллизации называется напряжение, при котором происходит образование шейки и начинается развитие больших деформаций. Особенности механических свойств кристаллических полимеров были разобраны в работах [1, 7, 8].

стижения на графиках напряжение — удлинение состоит из трех линейных участков, характерных для кристаллических полимеров. Следует отметить, что после прекращения действия силы часть деформации быстро (например, через 1 мин.) снимается. Эта часть деформации в дальнейшем может именоваться обратимой деформацией, в то время как остающаяся часть деформации будет именоваться условно необратимой деформацией. В случае кристаллических полимеров условно необратимая деформация имеет высокоэластическую природу, а ее «остаточный» характер обусловлен кристаллическим состоянием полимера.

При наличии в гуттаперче небольшого количества связанной серы (0,5%) форма кривой растяжения на графиках напряжение — удлинение практически сохраняется. Однако наблюдается уменьшение значения напряжения кристаллизации, некоторое увеличение деформируемости и значений обратной деформации. По мере увеличения содержания связанной серы уменьшаются значения прочности, напряжения рекристаллизации, увеличивается общее удлинение и изменяется форма кривой растяжения: снижается высота площадки, возрастает ее протяженность; постепенно исчезает резкая граница перехода со второго на третий участок. Также изменяются величины обратной деформации. Если исходной гуттаперчи при 20°С обратимо всего 30% разрывной деформации, то у гуттаперчи, содержащей 1,4% связанной серы, обратимо 90%, а у гуттаперчи, содержащей 7% связанной серы, деформация полностью обратима (табл. 1).

При содержании связанной серы в количестве 1,4 и 3,1% гуттаперча еще деформируется подобно кристаллическим полимерам и обладает высокими значениями прочности. Однако наблюдается уменьшение напряжения рекристаллизации и повышение деформируемости. По-видимому, наличие такого количества поперечных связей уже приводит к значительному изменению кристаллического состояния гуттаперчи, вследствие чего по эластическим свойствам она становится каучукоподобной.

Когда содержание связанной серы достигает значения 4,7%, гуттаперча деформируется, подобно аморфным полимерам и обладает пониженными значениями прочности. Прочность во всех опытах рассчитывалась на начальное сечение образца. У исходной гуттаперчи она равна 170 кг/см², гуттаперчи, содержащей 4,7% связанной серы, 17 кг/см².

По мере увеличения содержания связанной серы уменьшается также значение модулей упругости* при 20°С (табл. 2).

Из табл. 2 видно, что модуль упругости аморфной гуттаперчи равен 17 кг/см². Это значение характерно для каучуков, находящихся в аморфном состоянии [16].

На основании этого, а также из сравнения значений модулей упругости при 20 и 60°С можно сделать вывод о том, что по мере увеличения содержания поперечных связей механические свойства гуттаперчи приближаются к свойствам аморфных каучукоподобных полимеров и особенно наглядно это проявляется в гуттаперче, содержащей 4,7% связанной серы.

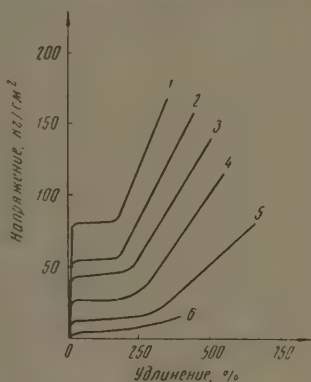


Рис. 1. Влияние различного количества связанной серы на механические свойства гуттаперчи при 20°С. Содержание связанной серы: 1 — исходная гуттаперча; 2 — 0,5%; 3 — 0,8%; 4 — 1,4%; 5 — 3,1%; 6 — 4,7%

* Модуль упругости определялся при деформациях, не превышающих 8%. При этих деформациях зависимость напряжение-деформация имеет линейный характер. Скорость растяжения образцов равнялась 8%/мин.

Таблица 1

Зависимость величины обратимых деформаций гуттаперчи от содержания связанной серы, при различных температурах

Температура усадки, °C	Содержание связанной серы, %	Разрывная деформация, %	Обратимая деформация, %	Условно необратимая деформация, %	Отношение обратимой деформации к разрывной
20	0,0	350	100	250	0,28
	0,5	440	140	300	0,32
	0,8	500	200	300	0,40
	1,4	530	470	60	0,90
	3,1	650	630	20	0,97
	4,7	400	400	0	1,00
30	0,0	450	200	200	0,44
	0,5	450	200	250	0,44
	0,8	570	320	250	0,56
	1,4	1000	980	20	0,98
	3,1	1100	1080	20	0,99
	4,7	600	600	0	1,00
40	0,0	450	250	200	0,44
	0,5	550	250	300	0,45
	0,8	670	620	50	0,92
	1,4	1350	1330	20	0,98
	3,1	1200	1180	20	0,99
	4,7	460	460	0	1,00
50	0,0	450	250	200	0,55
	0,5	450	300	150	0,66
	0,8	900	880	20	0,98
	1,4	1400	1400	0	1,00
	3,1	1100	1100	0	1,00
	4,7	400	400	0	1,00
60	0,0	1800*	0	1800	—
	0,5	1600*	0	1600	—
	0,8	900	900	0	1,00
	1,4	1100	1100	0	1,00
	3,1	800	800	0	1,00
	4,7	350	350	0	1,00

* При таких растяжениях образцы не разрывались.

Поскольку такие свойства кристаллических полимеров, как прочность, напряжение рекристаллизации, модуль упругости и форма кривой растяжения определяются наличием кристаллов, то значительные изменения этих свойств связаны с изменением кристаллического состояния полимеров. По-видимому, возникновение поперечных связей приводит к уменьшению регулярности в расположении цепей и к ограничению условий проявления гибкости молекул. Оба эти фактора препятствуют образованию кристаллов.

На изменение кристаллического состояния при образовании поперечных связей указывает и исследование структуры гуттаперчи, содержащей различное количество связанной серы. На микрофотометрических кривых

ис. 2) показано, что при введении 1,4 и 3,1% связанной серы в гуттаперчу ее кристалличность уменьшается, а в гуттаперче, содержащей 4,7% связанной серы, кристалличность отсутствует совсем.

Поскольку при введении в гуттаперчу 1,4% связанной серы она ставится в значительной степени эластичной, было существенным выяснить, как влияет наличие поперечных связей на сорбционные свойства гуттаперчи. В связи с этим были проведены опыты, в которых осуществлялась сорбция паров *n*-гексана гуттаперчей при 25° С. Для сравнения был взят вулканизат натурального каучука. Полученные экспериментальные данные представлены на рис. 3.

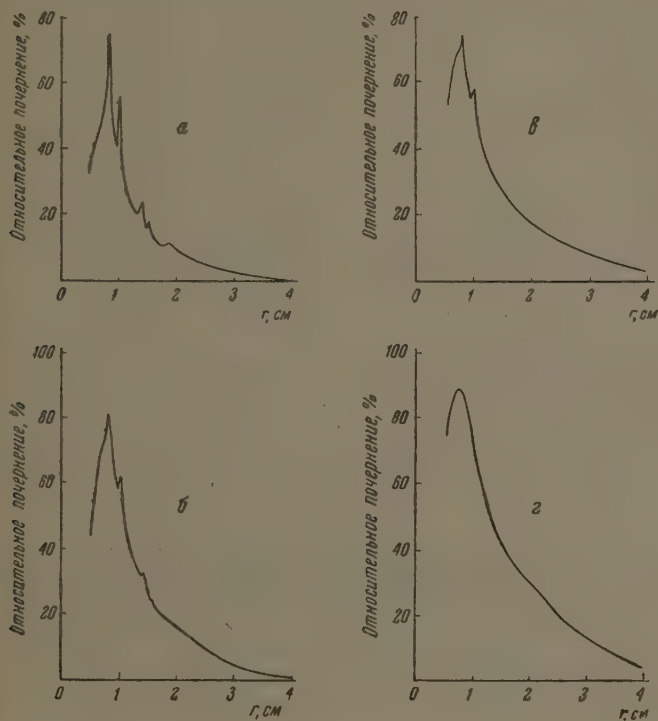


Рис. 2. Микрофотометрические кривые рентгенограмм гуттаперчи. Содержание связанной серы: а — исходная гуттаперча; б — 1,4%; в — 3,1%; г — 4,7%. По оси абсцисс — расстояние от центра рентгенограммы в сантиметрах; по оси ординат — относительное почернение

Из рис. 3 видно, что изотерма сорбции вулканизата натурального каучука лежит выше изотерм сорбции гуттаперчи. Наиболее низко проходит изотерма сорбции исходной гуттаперчи, а в промежутке находится изотерма сорбции вулканизированной гуттаперчи. Следовательно, такая гуттаперча и по сорбционным свойствам приближается к слабовулканизованному натуральному каучуку (содержащему 1,7% связанной серы).

Увеличение сорбционной способности при вулканизации гуттаперчи связано, по-видимому, главным образом, с тем, что при вулканизации при 43° С в гуттаперче после охлаждения фиксируется менее плотная упаковка из-за возникших поперечных связей.

ВЛИЯНИЕ ТЕМПЕРАТУРЫ НА МЕХАНИЧЕСКИЕ СВОЙСТВА ГУТТАПЕРЧИ, СОДЕРЖАЩЕЙ РАЗЛИЧНОЕ КОЛИЧЕСТВО СВЯЗАННОЙ СЕРЫ

Поскольку возникновение поперечных связей приводит к аморфизации и значительному изменению свойств гуттаперчи, представляло интерес выяснить, как изменяются механические свойства исходной и структурированной гуттаперчи в широком интервале температур. Оказалось, что при повышении температуры до температуры плавления кристаллов ($\sim 55^\circ \text{C}$) сохраняется форма кривой растяжения, характерная для кристаллических полимеров, с той лишь разницей, что с повышением температуры переходы от первого ко второму и от второго к третьему участку становятся плавными и наблюдается некоторое увеличение обратимой деформации (рис. 4).

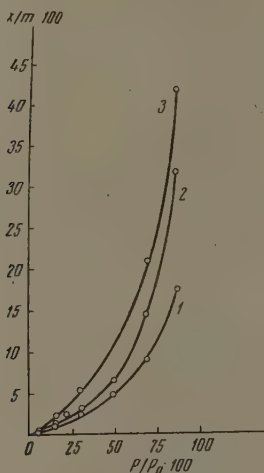


Рис. 3

Рис. 3. Изотерма сорбции *n*-гексана гуттаперчей и вулканизатом натурального каучука: 1 — исходная гуттаперча; 2 — гуттаперча, содержащая 1,4% связанной серы; 3 — вулканизат натурального каучука, содержащий 1,7% связанной серы. $\frac{x}{m} \cdot 100$ — весовое отношение сорбированного *n*-гексана к весу полимера в процентах; $\frac{P}{P_0} \cdot 100$ — относительная упрюгость паров *n*-гексана в процентах

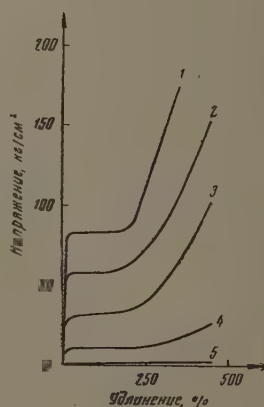


Рис. 4

Рис. 4. Зависимость механических свойств исходной гуттаперчи от температуры: 1 — 20; 2 — 30; 3 — 40; 4 — 50; 5 — 60°C

табл. 1). Такой плавный переход обнаруживается уже при 40°C , что, по-видимому, связано с заметным уменьшением кристалличности.

При 50°C исходная гуттаперча находится еще в кристаллическом состоянии, а при 60°C становится полностью аморфной и деформируется без образования шейки.

Исследование механических свойств структурированной гуттаперчи в широком интервале температур показало, что механические свойства гуттаперчи, содержащей 0,5% связанной серы, аналогичны свойствам исходной гуттаперчи. Однако наблюдается некоторое снижение прочности, напряжения рекристаллизации и увеличение величины обратимых деформаций при соответствующих температурах.

При введении 1,4% связанной серы, при 30°C (рис. 5) происходило уменьшение прочности, напряжения рекристаллизации и резкое увеличе-

разрывной и обратимой деформации. Несмотря на сравнительно большое содержание поперечных связей, форма кривых растяжения имела вид, характерный для кристаллических полимеров. При этом значительно растала деформируемость, которая при 40° С достигала 1350%. Следует отметить, что при 40° С практически обратимая деформация таких образцов была значительной (табл.1). В этой температурной области еще сохраняется кристаллическая структура, и в то же время начинают играть существенную роль образовавшиеся пространственные связи.

Аналогичными свойствами обладают и гуттаперча, содержащая 3,1% связанной серы.

Если рассмотреть механические свойства аморфной гуттаперчи (содержащей 4,7% связанной серы) в широком интервале температур, то оказывается, что при увеличении температуры от 20 до 60° С не наблюдается никакого изменения механических свойств, обусловленного в исходной гуттаперче плавлением кристаллов (рис. 6.)

Следует отметить, что наличие значительного количества поперечных связей не дает возможности для развития больших деформаций даже при повышении температуры.

Кроме того, изучались механические свойства гуттаперчи, содержащей различное количество связанной серы, при температурах, превышающих температуру плавления кристаллов. Оказалось, что при такой аморфизации прочность и удлинение, в мере увеличения числа поперечных связей, также возрастают, а затем при сохранении прочности деформируемость снижается.

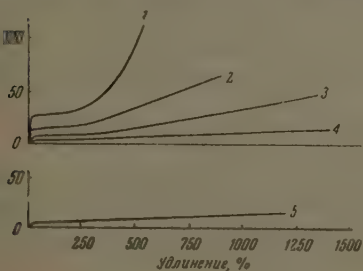


Рис. 5

5. Зависимость механических свойств гуттаперчи, содержащей 1,4% связанной серы, от температуры: 1 — 20; 2 — 30; 3 — 40; 4 — 50; 5 — 60°С

6. Зависимость механических свойств гуттаперчи, содержащей 4,7% связанной серы, от температуры: 1 — 20; 2 — 30; 3 — 40; 4 — 50; 5 — 60°С

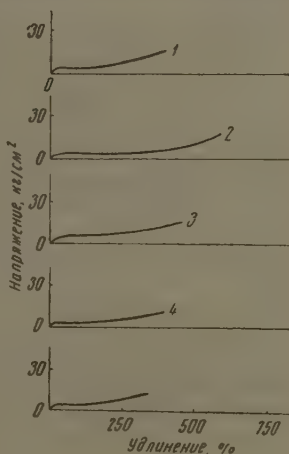


Рис. 6

Увеличение прочности и деформируемости в начале структурирования, видимо, связано с тем, что при высоких температурах поперечные связи препятствуют вязкому течению и благоприятствуют проявлению высоко-

Таблица 2

Зависимость модуля упругости гуттаперчи (E) от содержания связанной серы

Содержание серы, %		E , кг/см ²	
Связанной	Свободной	20°	60°
0,0	0,0	1500	5
0,8	1,2	1000	10
1,4	3,6	600	16
4,7	10,3*	20	22

* Контрольные опыты показали, что введение 16,6% серы в гуттаперчу (без вулканизации) не приводит к существенному изменению механических свойств исходной гуттаперчи.

эластических свойств гуттаперчи. Дальнейшее увеличение числа поперечных связей ограничивает развитие больших деформаций.

Если рассмотреть значения модулей упругости гуттаперчи, содержащей различное количество связанной серы, при 20 и 60° С, то получается, что по мере увеличения числа поперечных связей, модуль упругости резко уменьшается у гуттаперчи, находящейся в кристаллическом состоянии и возрастает у гуттаперчи, находящейся в аморфном состоянии (табл. 2).

Таким образом, результаты исследований гуттаперчи, содержащей различное количество связанной серы, в широком интервале температур показали, что механические свойства структурированной гуттаперчи при температурах ниже плавления определяются, главным образом наличием кристаллов, а выше температуры плавления зависят от числа поперечных связей.

ВЛИЯНИЕ ПОПЕРЕЧНЫХ СВЯЗЕЙ НА МЕХАНИЧЕСКИЕ СВОЙСТВА ГУТТАПЕРЧИ ПРИ ПОВТОРНЫХ РАСТЯЖЕНИЯХ

Поскольку процесс растяжения кристаллических полимеров сопровождается рекристаллизацией и последующей ориентацией, а возникновение поперечных связей приводит к изменению кристаллического состояния полимеров, было существенно выяснить, в какой мере наличие поперечных связей сказывается на изменении механических свойств гуттаперчи после однократного растяжения и последующей усадки при различных температурах. Для этой цели при 20° С образцы гуттаперчи были максимально растянуты (без разрыва). Затем образцы прогревались в течение 20 мин. в свободном состоянии при различных температурах, охлаждались до 20° С и изучались их механические свойства (рис. 7—11). Следует заметить, что в тех случаях, когда после однократного растяжения и последующей усадки образцы не восстанавливали свою форму, то для повторных измерений из них снова вырезались образцы, равные по длине исходным.

Из рис. 7 и 8 видно, что механические свойства исходной гуттаперчи, содержащей 0,5% связанной серы, при повторных растяжениях резко зависят от температуры, при которой происходила усадка.

Если усадка осуществлялась при температурах до 45° С, т. е. ниже температуры плавления кристаллов гуттаперчи, то значительная часть деформации оставалась условно необратимой; образцы оставались в значительной степени ориентированными, обладали высокими значениями прочности и малой деформируемостью (рис. 7 и 8). Повторная деформация таких образцов происходила без образования шейки, и форма кривых растяжения была подобна форме аналогичных кривых ориентированных полимеров.

Такие же результаты были получены при повторных растяжениях полиамидов [1].

Если усадку осуществлять при 55—70°С, т. е. при температурах выше температуры плавления кристаллов гуттаперчи, то образцы восстанавливали свою форму и возвращались к исходному состоянию и по механическим свойствам при повторных деформациях вели себя подобно исходной гуттаперче (рис. 7 и 8).

Таким образом, изучение повторных деформаций образцов гуттаперчи, у которых усадка осуществлялась при различных температурах, показало, что одна и та же гуттаперча (исходная и содержащая 0,5% связанной серы) обладает различными свойствами в зависимости от температуры усадки.

При повторных деформациях гуттаперчи, содержащей 1,4% связанной серы, обнаружилось, что если усадка осуществлялась при 20° или 35° С, то сохранялась значительная часть ориентации и гуттаперча вела себя при повторных растяжениях подобно ориентированному полимеру (рис. 9).

Если усадка осуществлялась при 45° С, когда сохранялось еще кристал-

теское состояние гуттаперчи, то получалось, что все деформации были уже полностью обратимыми. Структурные исследования также указывали на отсутствие ориентации кристаллов, после усадки при 45° С.

Повторная деформация такой гуттаперчи происходила с образованием фибры, подобно деформации исходной гуттаперчи. Исследование струк-

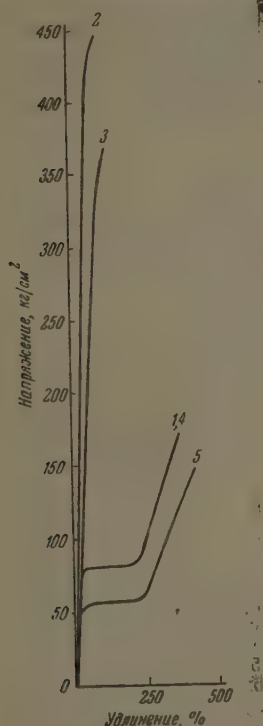


Рис. 7

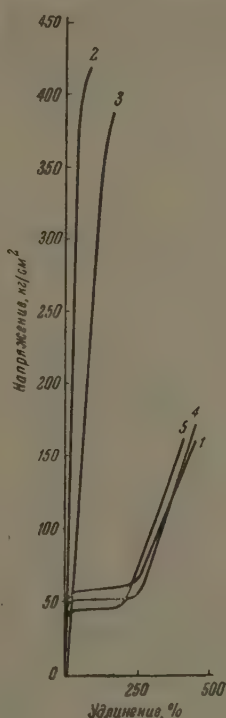


Рис. 8

Рис. 7. Кривые повторного растяжения исходной гуттаперчи при 20°С после однократного растяжения и усадки при различных температурах: 1—растяжение исходной гуттаперчи; 2—повторное растяжение после усадки при 20°С; 3—повторное растяжение после усадки при 45°С; 4—повторное растяжение после усадки при 55°С; 5—повторное растяжение после усадки при 70°С

Рис. 8. Кривые повторного растяжения гуттаперчи, содержащей 0,5% связанной серы, при 20°С после однократного растяжения и усадки при различных температурах: 1—растяжение гуттаперчи, содержащей 0,5% связанной серы; 2—повторное растяжение после усадки при 20°С; 3—повторное растяжение после усадки при 45°С; 4—повторное растяжение после усадки при 55°С; 5—повторное растяжение после усадки при 70°С

ры при 45° С показало, что хотя еще и не происходит полного плавления кристаллов, но ориентация их быстро исчезает.

В исходной же гуттаперче исчезновение ориентации кристаллов происходит только после плавления кристаллов.

Различие в дезориентации кристаллов исходной гуттаперчи, и содержащей 1,4% связанной серы, при 45° С можно легко понять.

Поскольку цепные молекулы структурированного полимера связаны длинную пространственную структуру, то при растяжении в нем возни-

кают внутренние напряжения, обусловленные существованием поперечных связей, препятствующих свободному перемещению отдельных участков цепей.

Наличие внутренних напряжений благоприятствует процессу дезориентации. Поэтому после усадки при 45°C кристаллы сохраняются, и их ориентация исчезает.

При ориентации исходной гуттаперчи, вследствие отсутствия поперечных связей, дополнительные внутренние напряжения не возникают, и полная дезориентация происходит только после плавления кристаллов.

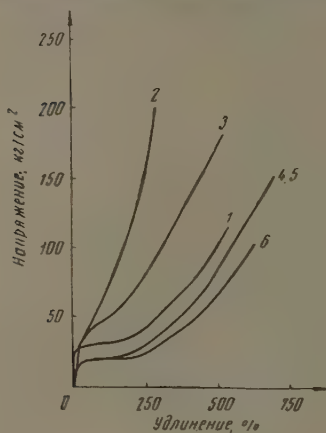


Рис. 9

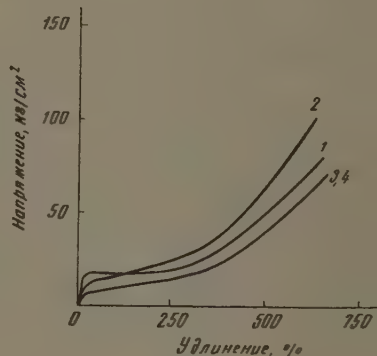


Рис. 10

Рис. 9. Кривые повторного растяжения гуттаперчи, содержащей 1,4% связанной серы, при 20°C после однократного растяжения и усадки при различных температурах: 1 — растяжение гуттаперчи, содержащей 1,4% связанной серы; 2 — повторное растяжение после усадки при 20°C ; 3 — повторное растяжение после усадки при 35°C ; 4 — повторное растяжение после усадки при 45°C ; 5 — повторное растяжение после усадки при 55°C ; 6 — повторное растяжение после усадки при 70°C .

Рис. 10. Кривые повторного растяжения гуттаперчи, содержащей 3,1% связанной серы, при 20°C после однократного растяжения и усадки при различных температурах: 1 — растяжение гуттаперчи, содержащей 3,1% связанной серы; 2 — повторное растяжение после усадки при 20°C ; 3 — повторное растяжение после усадки при 35°C ; 4 — повторное растяжение после усадки при 45°C .

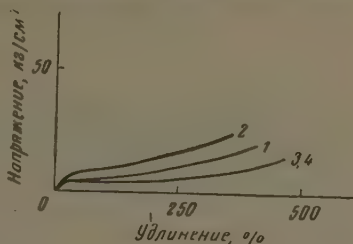
Такое предположение подтверждается еще тем фактом, что чем больше содержание связанной серы, тем при более низких температурах происходит дезориентация кристаллов. Так, например, дезориентация кристаллов у гуттаперчи, исходной и содержащей 0,5% связанной серы, происходит при 55°C у гуттаперчи, содержащей 1,4% связанной серы, при 45°C , у гуттаперчи, содержащей 3,1% связанной серы, при 40°C .

Исследования повторных деформаций гуттаперчи, содержащей 3,1% связанной серы, показало, что, несмотря на различные температуры, при которых происходила усадка, свойства образцов практически мало отличались друг от друга (рис. 10). Во всем исследованном температурном интервале деформации были практически обратимыми, и повторные растяжения при 20°C были подобны растяжению исходной кристаллической гуттаперчи. Однако значения напряжения рекристаллизации всегда были ниже, чем у гуттаперчи, исходной и содержащей 1,4% связанной серы.

При повторных растяжениях аморфной гуттаперчи (содержащей 4,7% связанной серы) обнаружилось, что механические свойства ее зависят от температуры усадки, и она деформируется подобно аморфному полимеру, находящемуся в высокоэластическом состоянии (рис. 11).

Таким образом, изучение повторных деформаций структурированной перчи в широком интервале температур показало существенное влия-

11. Кривые повторного растяжения перчи, содержащей 4,7% связанной серы при 20°C после однократного растяжения и усадки при различных температурах. 1 — повторное растяжение гуттаперчи, содержащей 4,7% связанной серы; 2 — повторное растяжение после усадки при 20°C; 3 — повторное растяжение после усадки при 35°C; 4 — повторное растяжение после усадки при 45°C



структурирования на механические свойства кристаллического материала и дало возможность установить основные черты связи между степенью структурирования и комплексом механических свойств.

ВЫВОДЫ

В широком интервале температур исследована зависимость комплекса механических свойств гуттаперчи от степени ее структурирования. Показано, что повышение степени структурирования гуттаперчи приводит к уменьшению ее кристалличности. Существует степень структурирования, при которой гуттаперча не кристаллизуется и проявляет упругоэластические свойства.

Для структурированной гуттаперчи, находящейся в кристаллическом состоянии, прочность, модули упругости и некоторые другие механические свойства определяются степенью кристалличности, являющейся функцией степени структурирования. Для структурированной гуттаперчи, находящейся в аморфном состоянии (при больших степенях структурирования, или при температурах выше температуры плавления), механические свойства определяются непосредственно степенью структурирования. Для гуттаперчи, вулканизованной при 143°C, находящейся в кристаллическом состоянии, при каждой температуре имеются дозировки связанной серы, при которых характерный для кристаллических полимеров комплекс механических свойств сочетается с повышенным значением эластичности.

Химико-химический институт
им. Л. Я. Карпова
Москва

Поступила
3.X.1956

ЛИТЕРАТУРА

- А. Каргин и Т. И. Соголова, Журн. физ. химии, **27**, 1039, 1208, 1213, 125, 1953.
A. Horsley and H. A. Nancarrow, Brit. Journ. Appl. Phys., **2**, 345, 1951.
M. Bryant, Journ. Polym. Sci., **2**, 547, 1947.
Brown, Ind. Eng. Chem., **46**, 1962, 1954.
A. Sperati, W. A. Franta and W. H. Stackweaver, Journ. Amer. Chem. Soc., **75**, 6127, 1953.
B. Richards, Trans. Farad. Soc., **42**, 10, 1946.
А. Каргин и Т. И. Соголова, Журн. физ. химии, **29**, 469, 1955.
А. Каргин и Г. Л. Слонимский, Усп. химии, **24**, 785, 1955.
O. Mandelkern, Chem. Rev. **56**, № 5, 903, 1956.
Charlesby, Proc. Roy. Soc., **A218**, 245, 1953.
Charlesby, Proc. Roy. Soc., **A223**, 382, 1954.
Charlesby, Rev. Gen. Caoutch., **32**, 39, 1955.
С. Кузьминский и В. Ф. Черткова, ДАН, **107**, 428, 1956.
Г. Карнов, Сессия АН СССР по мирному использованию атомной энергии, Химический отдел, Москва, 1955.
W. Ryan, Nucleonics, **11**, 13, 1953.
А. Догадкин, Химия и физика каучука, Госхимиздат, 1947.

THE DEPENDENCE OF THE MECHANICAL PROPERTIES OF GUTTA-PERCHA
ON THE DEGREE OF STRUCTURIZATION AND ON THE TEMPERATURE*T. I. Sogolova, B. I. Aikhodzhaev, V. A. Kargin (Moscow)*

Summary

The dependence of the group of mechanical properties of gutta-percha on the degree of its structurization has been studied over a wide range of temperatures. The increase in structurization of the gutta-percha has been shown to lead to a fall in its crystallinity. At a certain degree of structurization gutta-percha does not crystallize and manifests rubber-like properties. For the structurized gutta-percha in the crystalline state, tensile strength, modulus of elasticity and several other mechanical properties are determined by the degree of crystallinity which in itself is a function of the structurization. For structurized gutta-percha in the amorphous state (at high degrees of structurization or at temperatures above melting), the mechanical properties are directly determined by the degree of structurization. For structurized gutta-percha in the crystalline state there is a dose-bound sulfur at each given temperature, for which the complex of mechanical properties characteristic of the crystalline polymer is associated with increased deformability.

ОБНАРУЖЕНИЕ СВОБОДНОГО ГИДРОКСИЛА ПО СПЕКТРАМ ГЛОЩЕНИЯ ВТОРИЧНЫХ ПРОДУКТОВ ФОТОХИМИЧЕСКИХ РЕАКЦИЙ, В ВОДНЫХ РАСТВОРАХ

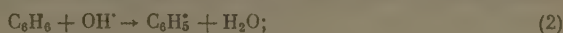
Г. А. Корсуновский

Известная фотохимическая реакция разрядки иона гидроксила в растворах солей квацетного железа при освещении в области поглощения последних, подробно исследованная Эвансом и Юри [1, 2], предположительно протекает по следующему механизму:



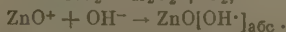
Образующиеся свободные радикалы гидроксила могли быть обнаружены либо взаимодействием с органическими добавками по появлению вторичных продуктов, либо методами химического анализа, либо методом полимеризации. В работе [1, 2] радикалы OH, образованные при фотохимической реакции в растворе перрата железа, инициировали полимеризацию метилметакрилата, добавленного в раствор.

При взаимодействии с ароматическими соединениями радикалы OH образуют перенные и вторичные оксипроизводные. Впервые этот метод был применен Штейном и Бейтсом [3] при радиолизе воды и в дальнейшем развит Бейтсом и Юри [4] и Баксеном и Мэджи [5]. Взаимодействие гидроксила с бензолом происходит по механизму:



а в результате реакции фенол и дифенил. Более сложные ароматические соединения переходят в соответствующие высшие продукты окисления.

Образование свободного радикала гидроксила в водных растворах происходит также при фотоокислении воды на поверхности окиси цинка. Эта фотохимическая реакция, сопровождающаяся образованием перекиси водорода, была открыта Бауэром и Эйвелем [6] и подробно исследована в ряде последующих работ. В результате этих электрохимических исследований, В. И. Веселовским [7] был впервые предложен следующий механизм реакции:



Реакция начинается переходом электрона полупроводника в зону проводимости, мигрирует его до поверхности кристалла и захватом молекулой кислорода с образованием молекулярного иона. Обязательное участие кислорода в этой реакции было доказано Эйвертом и его сотрудниками [8] путем добавления изотопа кислорода O^{18} в реакционный сосуд. При этом было установлено, что кислород в перекиси водорода поступает только из воздуха в сосуде.

Окончательными продуктами реакции являются перекись водорода и радикалы гидроксила, причем последние либо рекомбинируют, давая воду и кислород, либо вступают в обратные реакции, тормозя образование перекиси водорода. Если в растворе присутствуют органические добавки, например бензол или его производные, то радикалы гидроксила, взаимодействуя с ними по уравнениям (2) — (4), исключаются из реакции, и выход перекиси увеличивается. Исследованию влияния этих добавок посвящен ряд работ [9—11], в которых установлено, что одновременно с образованием перекиси водорода образуются продукты окисления (гидроксирования) добавленных веществ.

В нашей работе мы применили спектроскопический метод для определения продуктов гидроксирования бензола при фотохимической реакции в водном растворе хлорного железа и водной суспензии окиси цинка.

ЭКСПЕРИМЕНТАЛЬНАЯ ЧАСТЬ

Методика. Испытуемый раствор хлорного железа концентрации 10^{-2} или суспензия окиси цинка в воде (5 мг/мл) взбалтывался с небольшим количеством бензола до получения насыщенного раствора последнего в воде (10^{-2} М). Далее образ в стеклянной ампуле подвергался в течение часа освещению ртутной лампой через фильтр БС-7 излучением с длиной волны $366 \text{ м}\mu$. Более длинноволновое излучение (ртутные линии $404, 408 \text{ м}\mu$ и т. д.) не отфильтровывалось, так как оно было фотохимически неактивно. Энергетическая освещенность для длины волны $366 \text{ м}\mu$ считывалась по данным Шкловера [12] и составляла на расстоянии 250 мм за фильтром БС-7 $\approx 650 \text{ мВ/см}^2$. Контрольная ампула с тем же содержимым находилась в темноте. В случае суспензии окиси цинка обе ампулы подвергались периодическому встряхиванию для лучшего перемешивания суспензии. После освещения суспензия из обеих ампул фильтровалась, а раствор хлорного железа перегонялся, и спектр поглощения фильтрата или дистиллата измерялся на спектрофотометре СФ-4, причем в кювету сравнения наливался фильтрат (дистиллат) из неосвещенной ампулы. Удаление непрореагировавшего бензола, поглощение которого могло исказить вид спектра, производилось либо путем естественного его испарения в течение 1—2 суток, либо продуванием воздуха через фильтр. При перегонке бензол, как правило, уходил с первыми порциями пара.

ОБСУЖДЕНИЕ РЕЗУЛЬТАТОВ

Хлорное железо. Наличие ионных пар $\text{Fe}^{3+} \text{OH}^-$ в подкисленных растворах железных солей было доказано спектроскопически Рабиновичем и Стокмейером [13]. В указанных выше работах [1, 2, 4] применялся раствор перхлората железа, где эти комплексы наиболее устойчивы. Мы в наших опытах воспользовались свежеприготовленным раствором хлорного железа*, так как стремились избежать введения больших количеств кислоты, необходимой для стабилизации раствора перхлората. Полоса поглощения раствора хлорного железа имеет границу $380 \text{ м}\mu$. Спектр поглощения дистиллата освещенного раствора, измеренно относительно дистиллата неосвещенного, представлен на рис. 1. На этом же рисунке представлен для сравнения спектр поглощения фенола концентрации $2 \cdot 10^{-4} \text{ М}$.

Как видно из рисунка, фотохимическая реакция лучше проходит в отсутствие воздуха. По мере стояния раствора хлорное железо гидролизует, раствор мутнеет вследствие выпадения гидрата окиси железа и способность к образованию фенола падает.

Порядок квантового выхода образования фенола в этой реакции оказался порядка 0,05, считая, что в ампуле объемом 10 мл образуется около $2 \cdot 10^{-4} \text{ М}$ фенола, а количество поглощенных квантов при условии полного поглощения и указанной выше мощности излучения равно $2 \cdot 10^4$. Этот выход вдвое меньше полученного Баксендэйлом и Мэджи [5] для перхлората, освещенного излучением с длиной волны $313 \text{ м}\mu$.

Окись цинка. Спектр поглощения фильтрата освещенной суспензии, измеренный относительно фильтрата неосвещенной, представлен на рис. 2. Помимо уже известной полосы поглощения фенола при $270 \text{ м}\mu$ наблюдаются слабые полосы при 350 и $285 \text{ м}\mu$, а также общее увеличение поглощения после $260 \text{ м}\mu$. После перегонки дистиллата эти полосы ослабевают, что свидетельствует о меньшей летучести с водяным паром соединений, обладающих ими.

Квантовый выход образования фенола в этой реакции такого же порядка, как при освещении раствора хлорного железа ($0,05$), в то время как квантовый выход перекиси водорода, по данным [9], составляет $0,5$. Столь низкая величина квантового выхода может обуславливаться неполным взаимодействием радикалов, связанных с поверхностью, с бензолом,

* Фотохимическая реакция при $\lambda = 366 \text{ м}\mu$ с образованием радикала OH происходит также в водных растворах сернокислого окисного железа и железо-аммиачных квасцов.

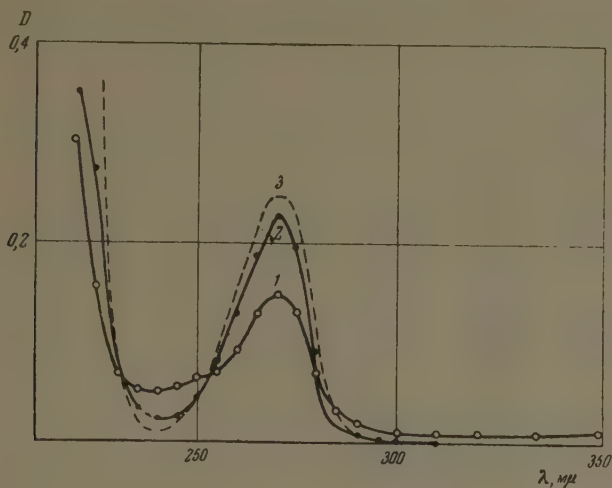


Рис. 1. Образование фенола в бензольно-водном растворе хлорного железа. 1 — освещение в воздухе; 2 — освещение в отсутствие воздуха; 3 — фенол в воде $2 \cdot 10^{-4} \text{M}$

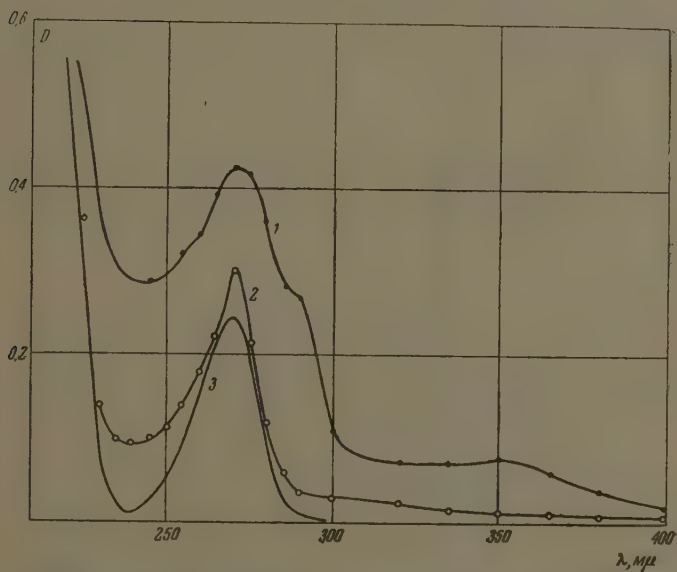


Рис. 2. Образование фенола в суспензии окиси цинка в бензольно-водном растворе. 1 — фильтрат освещенной суспензии; 2 — фильтрат после перегонки; 3 — фенол в воде $2 \cdot 10^{-4} \text{M}$

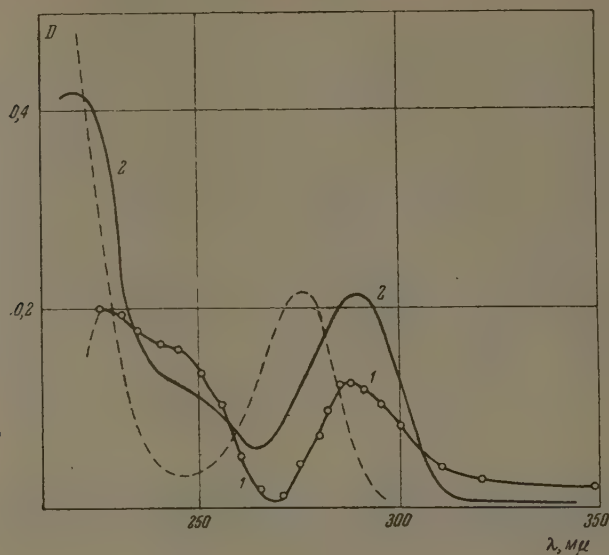


Рис. 3. Образование гидрохинона в суспензии окиси цинка в водном растворе фенола. 1 — фильтрат освещенной суспензии; 2 — гидрохинон в воде $2 \cdot 10^{-4} M$

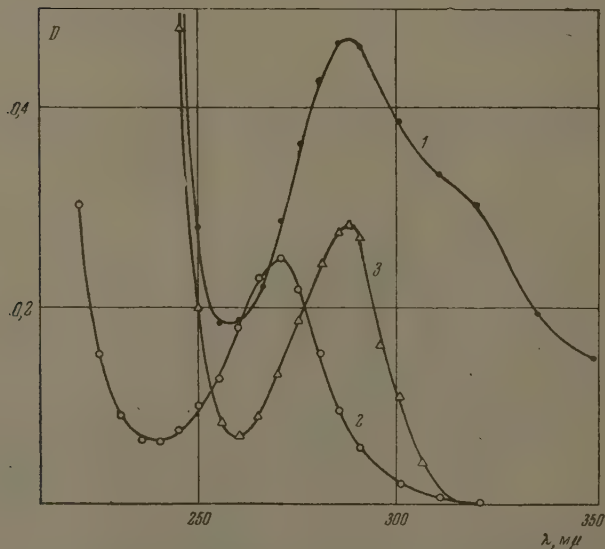


Рис. 4. Образование фенола в суспензии окиси цинка в бензольно-щелочном растворе. 1 — фильтрат освещенной суспензии; 2 — фильтрат после перегонки; 3 — раствор $1 \cdot 10^{-4} M$ фенола в $5 \cdot 10^{-2} M$ водном растворе КОН

же последующими реакциями фенола с образованием вторичных продуктов. Природа этих вторичных продуктов была определена путем измерения раствора фенола $2 \cdot 10^{-4}$ М в тех же условиях, что и бензольного раствора.

Спектр фильтрата освещенной суспензии относительно фильтрата неосвещенной приведен на рис. 3. Неосвещенный контрольный образец был бавлен водой, чтобы компенсировать убыль фенола в освещенном. Полученного дифференциального спектра совпадает со спектром гихинона, приведенного на этом же рисунке, между тем как Мэркхэм [Лайдлер [9] считали вторичный продукт пирокатехином, хотя без достаточных точных доказательств. Спектр пирокатехина, приведенный на рисунке пунктиром, имеет максимум поглощения при 275 мμ.

Кроме гидрохинона, наблюдается образование других более сложных продуктов, природу которых спектроскопически определить не удалось. В остатках после перегонки обнаружен коричневый продукт, поглощающий во всей ультрафиолетовой части спектра.

Метод спектрального обнаружения фенола применим и в щелочных растворах. При этом образующийся фенол переходит в феноляты соответствующего щелочного металла, настолько сильно гидролизванный, что при перегонке фенол полностью уходит с паром. На рис. 4 представлены спектры поглощения фильтрата освещенной суспензии окиси цинка в бензольном и щелочном растворе до перегонки и после, а также спектр щелочного раствора фенола (фенолята калия).

В заключение выражаю благодарность акад. А. Н. Теренину за ценные советы и постоянный интерес к этой работе.

ВЫВОДЫ

1. Показана возможность обнаружения радикала гидроксила, образующегося при фотохимической реакции в водных растворах хлорного железа в водной суспензии окиси цинка, по спектрам поглощения вторичных продуктов реакции.
2. Квантовый выход фенола, образующегося при указанных реакциях, оказался равным 0,05.
3. Установлено, что в результате последующих реакций гидроксильного фенола превращается в высшие окси-производные, природу части которых удалось определить по спектрам поглощения.

Поступила
21. IX. 1956

ЛИТЕРАТУРА

- M. G. Evans a. N. Uri, *Nature*, **164**, 404, 1949.
M. G. Evans, M. Santappa a. N. Uri, *Journ. Polym. Sci.*, **7**, 243, 1951.
F. T. Framer, G. Stein a. J. Weiss, *Journ. Chem. Soc.*, 3241, 1949.
H. G. Bates a. N. Uri, *Journ. Amer. Chem. Soc.*, **75**, 2754, 1953.
J. H. Baxendale a. J. Magee, *Trans. Farad. Soc.* **51**, 205, 1955.
E. Baur, u. C. Neuweiler, *Helv. Chim. Acta*, **10**, 901, 1927.
В. И. Веселовский, *Журн. физ. химии*, **26**, 509, 1952.
J. G. Calvert, K. Theurer, G. T. Rankin, a. W. H. McNevin, *Journ. Amer. Chem. Soc.*, **76**, 2575, 1954.
M. C. Markham a. K. J. Laidler, *Journ. Phys. Chem.*, **57**, 363, 1953.
T. R. Rubin, J. G. Calvert, G. T. Rankin, W. McNevin, *Journ. Amer. Chem. Soc.*, **75**, 2850, 1953.
M. C. Markham, M. C. Hannan a. S. W. Ewans, *Journ. Amer. Chem. Soc.*, **76**, 820, 1954.
Д. А. Шкловский, Сборник матер. научно-технич. сессии светотехн., Госэнергоиздат, 1947.
E. Rabinowitch a. W. H. Stockmayer, *Journ. Amer. Chem. Soc.*, **64**, 335, 1942.

THE DETECTION OF FREE HYDROXYL WITH THE AID OF THE ABSORPTION
SPECTRA OF THE SECONDARY PRODUCTS OF PHOTOCHEMICAL REACTION
IN AQUEOUS SOLUTION

G. A. Korsunovskii (Leningrad)

Summary

The possibility has been shown of detecting hydroxyl radicals formed in photochemical reactions in aqueous solutions of ferric chloride and in aqueous suspensions of zinc oxide by means of the absorption spectra of the secondary reaction products. The quantum yield of phenol formed in the reactions was found to be 0.05. It was established that as a result of the ensuing hydroxylation reactions phenol is converted to higher oxy-derivatives, the nature of some of which was determined from the absorption spectra.

КАТАЛИТИЧЕСКИЕ СВОЙСТВА АДОРБИРОВАННЫХ КРАСИТЕЛЕЙ. I

В. В. Юшина

Активные группы дегидраз представляют собой фосфо-пиридин-нуклеотиды и не содержат металла [1]. В то же время хорошо известно, что большое число красителей способно функционировать в качестве переносчиков водорода с образованием соответствующих лейко-форм.

Обратимое превращение красителя в лейко-форму с последующим окислением лейко-формы кислородом воздуха обуславливает возможность использования красителей в качестве катализаторов окислительных процессов.

Гросс и Бхаттачария изучили окисление пирокатехина метиленовой синью [2], Л. А. Николаев указал на большую каталитическую активность диго-кармина, адсорбированного на целлюлозе по отношению к реакции окисления сероводорода [3]; ряд других примеров можно найти в известной монографии Михаэлиса [4].

Красители, способные к обратимому превращению в лейко-формы, имеют несомненные черты сходства с активными группами дегидраз и с теми факторами, которые в биологических системах играют роль промежуточных звеньев в процессе переноса водорода.

Критерием для суждения об активности таких систем должно быть структурное соответствие между молекулой донора и обратимой формой красителя — лейко-формой.

С этой точки зрения, исследование случаев, в которых краситель действительно катализирует окисление субстрата, представляет большой интерес для химии биокатализаторов.

Другой важной задачей является возможность повышения активности красителей путем их адсорбции на специально подобранных носителях. Такой адсорбционный катализатор был бы более совершенной моделью дегидразы и представлял бы известную ценность при сопоставлении наиболее общих свойств ферментов со свойствами их моделей.

В настоящей работе излагаются результаты исследования каталитического действия метиленовой сини и тионина на реакцию окисления пирогаллола и метола кислородом и описываются случаи их адсорбционной активации.

ЭКСПЕРИМЕНТАЛЬНАЯ ЧАСТЬ

Методика. Исследование хода окисления пирогаллола и метола проводилось юстиметрическим методом в термостате. Точность отсчета температуры $\pm 0,02^\circ$, точность отсчета по газовой бюретке 0,02 мл.

Катализатор и окисляемое вещество помещались в колбу с двумя отростками и смешивались непосредственно перед началом опыта. Предварительными экспериментами было установлено число качаний, при котором скорость реакции не зависит от температуры. Все опыты проводились в боратном буфере при $\text{pH} = 7,2$.

В опытах с метолом концентрация метола составляла 10 мг/мл, концентрация тионина 0,004 мг/мл; для опыта были использованы метол, пирогаллол и крахмал; метол, кроме того, был очищен перекристаллизацией.

Каталитическая активность метиленовой сини и тионина. Было установлено, что тионин и метиленовая

синь проявляют значительную окислительную активность в реакции окисления метола и пирогаллола (рис. 1, 2).

Важно подчеркнуть, что окислительная активность по отношению к метолу обнаруживается в узком интервале рН (от 7,2 до 7,4). Снижение рН приводит к резкому снижению активности, а повышение рН приводит к столь значительному повышению скорости окисления самого метола, что каталитический эффект красителя трудно заметить.

Повышение каталитической активности красителя в адсорбированном состоянии. Мы исследовали несколько адсорбентов как неорганических, так и органических.

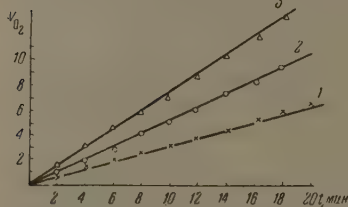


Рис. 1

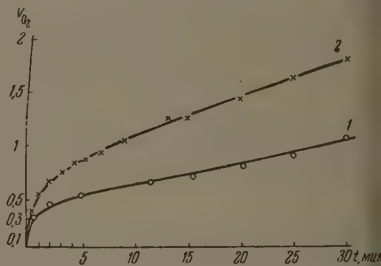


Рис. 2

Рис. 1. Ход поглощения кислорода: 1 — раствором метола в боратном буфере; 2 — раствором метола в присутствии тионина; 3 — раствором метола в присутствии тионина и 1 мл клейстеризованного крахмала при 34,4° С; общий объем кислорода 45 мл.

Рис. 2. Ход поглощения кислорода: 1 — раствором пирогаллола; 2 — в присутствии метиленовой сини при 15° С. Общий объем раствора 45 мл, концентрация красителя 0,016%.

При этом оказалось, что силикагель практически не изменяет скорости реакции окисления метола и пирогаллола в присутствии названных красителей.

Адсорбция красителя на целлюлозе также не дала эффекта активации, а на порошок крахмала привела почти к полной потере активности.

Эти результаты интересно сопоставить с действием на красители клейстеризованного крахмала. Крахмальный клейстер* значительно активизирует окислительную активность красителя (рис. 1). Длительное кипячение крахмального клейстера, вызывавшее частичное гидролитическое расщепление, снижало активирующее действие крахмала. Хранение клейстера в течение суток не отражалось заметно на его свойствах.

Далее было исследовано активирующее действие раствора декстрина. Декстрин, так же как и крахмал, оказался активатором окислительной функции красителя (рис. 3).

Порядок реакции и энергия активации. Скорость реакции пропорциональна концентрации катализатора. Реакция окисления метола кислородом приблизительно следует уравнению первого порядка по метолу. В таблице приведены типичные результаты окисления метола.

* Клейстер приготавлился вливанием размешанного в холодной воде 1 г крахмала в горячую воду 97—98°. Общий объем раствора всегда оставался равным 100 мл.

рис. 4 показана зависимость $\lg k$ от $1/T$ для реакций окисления чистого метола, метола и красителя и метола в присутствии красителя и крахмала. Значение энергий активации для случаев чистого метола (E_1), метола тионином (E_2) и метола с тионином и крахмалом (E_3) соответственно равны: $E_1 = 7600$ кал/моль; $E_2 = 8000$ кал/моль; $E_3 = 8000$ кал/моль.

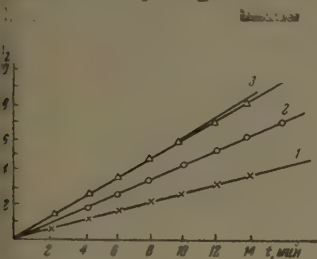


Рис. 3

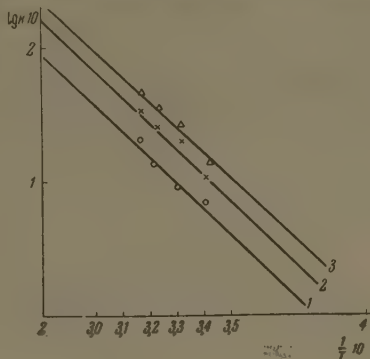


Рис. 4

3. Ход поглощения кислорода: 1 — раствором метола; 2 — тот же раствор + 15 мл тионина; 3 — то же + 1 мл декстрина, при 27°C
4. Зависимость $\lg k$ от $1/T$: 1 — раствор метола + боратный буфер; 2 — раствор метола + тионин; 3 — раствор метола + тионин + крахмал

Энергии активации были исследованы в температурном интервале 16 до 45°C.

Как видно, каталитическая активность красителя системы краситель — крахмал не связана с понижением энергии активации.

ОБСУЖДЕНИЕ РЕЗУЛЬТАТОВ

На основании экспериментальных данных можно сделать заключение, что системы краситель — крахмал и краситель — декстрин представляют собой органические модели дегидраз. Их интересной особенностью является, во-первых, то обстоятельство, что активная группа моделей функционирует совершенно по тому же принципу обратимого окисления-восстановления, что и у настоящих дегидраз.

Носитель и активная группа в структурном отношении резко разграничены и удерживаются друг около друга сравнительно слабыми силами. В природе этих сил сейчас трудно сказать что-либо определенное. Следует иметь в виду, что циклодекстрин способен образовывать с метиленовой группой соединения типа так называемых «соединений включения», возникновение которых связано с точным геометрическим соответствием поглощающей системы и связываемой молекулы.

Несмотря на слабость сил, действующих при образовании такого соединения, редокс-потенциал красителя заметно изменяется.

Более естественным, однако, кажется предположение о взаимодействии красителя и крахмала за счет отрицательных зарядов коллоидных частиц крахмала и катионов красителя.

Описанная нами модель сходна с биокатализатором еще в том отношении, что носитель активирует только в том случае, когда он находится в коллоидном состоянии. Потеря активности при адсорбции на порошке крахмала является, таким образом, аналогом дезактивации фермента при денатурации. Несомненно, однако, что такого рода системы имеют значение не столько в качестве моделей истинных дегидраз (протеиновых систем), сколько как модели механизмов, активирующих окислительно-восстановительные процессы переноса водорода на их промежуточных стадиях и,

в частности, в тех случаях, когда промежуточным веществом являются полифенолы и их производные.

Значение энергии активации, полученной нами для катализированной и некатализированной реакции, показывает, что причиной каталитического действия не является обычное для ферментов снижение энергии активации. В этом отношении наша модель, как и модели, представляющие собой комплексные соединения (см. [5, 6]), существенно отличается от биокатализаторов. Ее активность, по-видимому, следует связать в возрастании энтропии активации. Поскольку реакция окисления полифенолов протекает по радикально-цепному механизму для суждения о роли красителя в механизме, приводящем к росту энтропии, пока еще нет достаточных данных.

ВЫВОДЫ

1. Показано, что метиленовая синь и тионин являются катализаторами окисления метола и пирогаллола в узком интервале pH.
2. Установлено, что адсорбция красителей на клейстеризованном крахмале и декстрине значительно повышает окислительную активность красителя.
3. Показано, что каталитическое действие красителей не связано с понижением энергии активации.
4. Указано на значение активирующего действия полисахаридов в процессах промежуточного обмена, связанных с переносом водорода.

Институт инженеров
железнодорожного транспорта
им. И. В. Сталина
Москва

Поступила
12. XI. 1956

ЛИТЕРАТУРА

1. Сборник «Ферменты», под редакцией А. Н. Баха и В. А. Энгельгардта. Изд-во АН СССР, 1940, стр. 183.
2. A. Ghose, S. Bhattacharya, Sci. a. Culture, 19, 513, 1954. Реферат журн. химия, 13622, 1955.
3. Л. А. Николаев, Журн. физ. химии, 31, 923, 1957.
4. Л. Михаэлис, Окислительно-восстановительные потенциалы, ОНТИ, 1936, стр. 148.
5. Л. А. Николаев, см. обзор. Журн. физ. химии, 25, 712, 1951.
6. G. Bredig, F. Gerstner, H. Lang, Bioch. Zs., 282, 88, 1935; G. Schwaiblmair, F. Rost, Handbuch. der Katalyse, Wien; т. 3, стр. 576, 1941.

THE CATALYTIC PROPERTIES OF ADSORBED DYES

V. V. Yushina (Moscow)

Summary

The catalytic activity of methylene blue and thionine in the oxidation of methol and pyrogallol has been investigated. It has been shown that the activity of these dyes may be increased by adsorbing them on starch and dextrine.

МЕТОДЫ И ТЕХНИКА ФИЗИКО-ХИМИЧЕСКОГО ИССЛЕДОВАНИЯ

УСТАНОВКА ДЛЯ ИЗМЕРЕНИЯ ЭЛЕКТРОПРОВОДНОСТИ НА ПРОМЫШЛЕННОЙ ЧАСТОТЕ БЕЗ ПРИМЕНЕНИЯ ПЛАТИНИРОВАННЫХ ЭЛЕКТРОДОВ

С. И. Кричмар

Обычно при лабораторных измерениях электропроводности растворов приходится принимать меры к снижению переходного сопротивления, возникающего в приэлектродной области. Последнее, как правило, является трудно контролируемым фактором, а потому способно вносить значительные ошибки в результаты измерений. Причинами явления добавочного сопротивления переменному току у поверхности электродов являются емкость двойного электрического слоя и некоторая поляризация электрода, эквивалентная параллельно или последовательно включенным емкости и сопротивлению. Для снижения этого переходного сопротивления обычно применяются платинированные электроды с сильно развитой поверхностью, или измерения ведут на довольно высокой частоте (до 10 КГц). Обе меры эффективны, но их применение вызывает в отдельных случаях серьезные трудности. Так, применение платинированных электродов оказывает каталитическое влияние на измеряемый объект. Кроме того, присутствие каталитических веществ может внезапно снизить активную поверхность электрода и т. д. Что касается применения напряжения высокой частоты, то это вызывает дополнительные конструктивные трудности: изготовление генератора высокой частоты, меры по устранению случайных сдвигов фаз и утечек в измерительной схеме, тщательная экранировка измерительных узлов и т. д. [2].

В большинстве случаев для лабораторных измерений электропроводности вполне достаточна частота 0,05—0,1%. Нами разработана и испытана для этих целей сравнительно простая схема измерения электропроводности (рис. 1) с применением гладких платиновых электродов в неагрессивных средах возможно применение любых других электродов) и с питанием от промышленной частоты 50 Нз.

При конструировании ячейки мы исходили из следующих соображений. Схему ячейки для измерений электропроводности можно себе представить так, как это показано на рис. 1. Ясно, что в любом случае для увеличения точности измерений необходимо, чтобы омическое сопротивление электролита r значительно превосходило по своей величине все остальные элементы цепи. Если задаться допустимой ошибкой измерения δ , то

$$\frac{2r_{\theta}}{r} \leq \delta, \quad (1)$$

где r_{θ} — переходное сопротивление.

Уменьшение отношения (1) можно достигнуть не только за счет увеличения частоты питающего напряжения и сильного развития поверхности электродов, но и непосредственным увеличением омического сопротивления r за счет увеличения постоянной сосуда l/s , что и осуществлено в нашей ячейке (рис. 2). В предлагаемой конструкции ячейки в зависимости от электропроводности измеряемых жидкостей s капилляра варьировалось от $3 \cdot 10^{-2}$ до $1 \cdot 10^{-3}$ см² при $l \sim 20$ —25 см и общей поверхности электродов 1 см². Расчеты капилляра производились из следующих соображений.

Переходное сопротивление r_{θ} в основном будет определяться емкостью двойного электрического слоя, так как частота невелика, сопротивлением утечки $r_y \cdot C_y$ особенно приходится

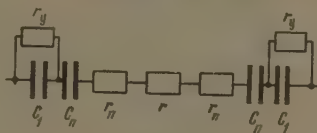


Рис. 1. Электрическая схема измерительной ячейки. C_y — емкость двойного электрического слоя; r_y — сопротивление утечки, C_n и r_n соответственно емкость и сопротивление, эквивалентные сопротивлению конденсационной поляризации, r — омическое сопротивление электролита

считаться при измерениях растворов с большой электропроводностью. В этом случае C_1 имеет порядок 20—40 $\mu\text{F}/\text{cm}^2$ [3]. В общем случае сопротивление утечки рассчитать трудно, так как оно зависит от природы электролита. Однако, учитывая, что частота приложенного к ячейке напряжения мала, можно положить его равным по порядку сопротивлению емкости C_1 при 50 Гц. Будем иметь

$$r \approx \frac{1}{2\pi\nu C} \approx \frac{50}{S_{\text{в}}}$$

($S_{\text{в}}$ — поверхность электрода).

Так как $r = (1/\chi) \cdot (l/S_{\text{в}})$,

$$\chi \frac{2r_{\text{в}}}{r} = 100 \times \frac{1}{\chi l} \frac{S_{\text{в}}}{S_{\text{в}}}.$$

При термостатировании ячейки возможно применение в качестве теплоносителя обычной воды, так как даже в этом случае шунтирующая ячейку емкость равна нескольким сантиметрам, что эквивалентно $R = 10^4 \Omega$ [4].

Измерения проводились по сдвигу фаз. Электрическая схема установки представлена на рис. 3. На горизонтальный усилитель катодного осциллографа напряжение, сдвинутое по фазе практически на 90° за счет емкости C и сопротивления R , подавалось от отдельной обмотки трансформатора. Так как

$$\varphi = \arctg \frac{1}{2\nu\pi RC},$$

то практически для достижения сдвига фазы φ значения близкого к 90° , $RC = 200$ (при $\nu = 50$ Гц). В качестве измерительного моста нами использован мост Уитстона

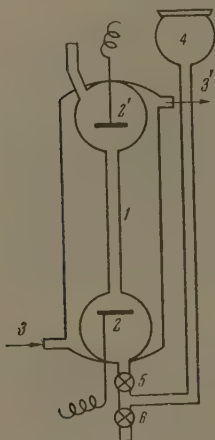


Рис. 2

Рис. 2. Ячейка для измерений электропроводности: 1 — капиллярная трубка, 2 и 2' — платиновые электроды, 3 и 3' — соответственно ввод и вывод воды в холодильную рубашку, 4 — наполнительная воронка, 5 и 6 — краны

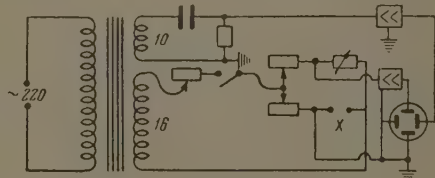


Рис. 3

Рис. 3. Принципиальная схема установки (цифрами обозначены напряжения на обмотках трансформатора)

постоянного тока с погрешностью $\pm 0,01\%$. Как показала проверка с эталонными безындукционными бифилярно намотанными сопротивлениями, измерения на переменном токе промышленной частоты по предлагаемой схеме не приводят к появлению систематических погрешностей. В качестве нуль-инструмента нами использован катодный осциллограф ЭО-7 (вертикальное усиление 1800, горизонтальное — 35). Момент самобалансировки моста определялся сведением эллипса в полосу.

В заключение отметим, что предполагаемая конструкция ячейки может быть широко использована не только в лабораторных схемах, но и в промышленных приборах. Так, в описанном нами ранее приборе для контроля солевых потерь дега минеральных удобрений [5] применение датчика с узкой межэлектродной трубкой позволило повысить точность его работы за счет снижения влияния на показания солевых отложений на электродах.

Днепропетровский государственный университет

Поступила 12. IV. 1957

ЛИТЕРАТУРА

1. Б. В. Эршлер, Журн. физ. химии, 12, 683, 1948.
2. Jones, Josephs, Journ. Amer. Chem. Soc., 62, 89, 1940.
3. А. Н. Фрумкин, В. С. Багоцкий, З. А. Иофан и Б. Н. Кабанов, Кинетика электродных процессов, Изд-во МГУ, 1952.
4. Jones, Bollinger, Journ. Amer. Chem. Soc., 53, 411, 1931.
5. С. И. Кричмар, Зав. лабор. 21, 6, 749, 1955.

ARRANGEMENT FOR MEASURING ELECTROCONDUCTIVITIES AT INDUSTRIAL
CURRENT FREQUENCIES WITHOUT THE USE OF PLATINIZED ELECTRODES*S. I. Krishmar (Dneprodzerjinsk)*

Summary

An arrangement is proposed for measuring electroconductivities of liquids, operating with alternating current of industrial frequency, without the use of platinized electrodes. The special feature of the sensitive element (cell) is the use of a very narrow tube through which liquid contact is made between the electrodes. The special feature of the measuring scheme is phase determination of the bridge balance with the aid of a cathodic oscillograph. The method has a precision not less than 0.1—0.05%.

ПИСЬМА В РЕДАКЦИЮ

ГРАФИЧЕСКИЙ РАСЧЕТ КАТОДНОЙ ЗАЩИТЫ ПРИ ПОМОЩИ
ВНЕШНЕГО ИСТОЧНИКА ПОСТОЯННОГО ТОКА

Н. П. Жук

Приводимая в литературе ([1], стр. 142) графическая интерпретация защитного эффекта является, по существу, графическим расчетом протекторной защиты.

Графический расчет катодной защиты при помощи внешнего источника постоянного тока, т. е. определение параметров $I_{\text{ит}}$ и $E_{\text{ит}}$ источника постоянного тока (рис. 1) может быть сделан на основании современной теории электрохимической коррозии с использованием метода поляризационных коррозионных диаграмм [1—3] и учетом некоторых специфических особенностей этого вида катодной защиты [4], в частности наличия довольно значительных омических сопротивлений.

Рассмотрим графический расчет полной катодной защиты металлической конструкции без защитного изолирующего покрытия. Подлежащая защите корродирующая

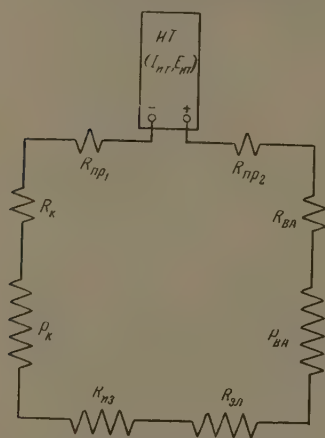


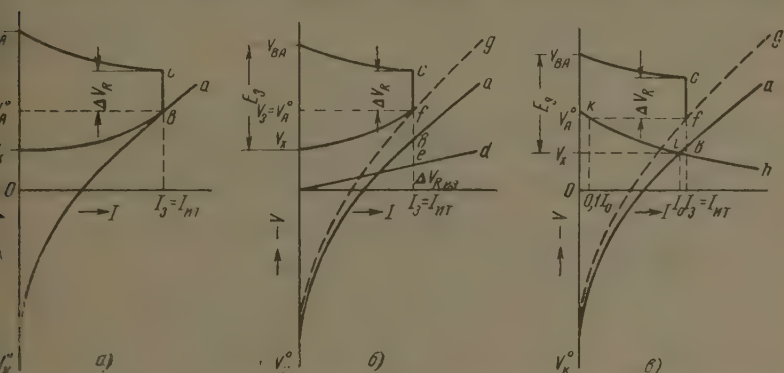
Рис. 1. Электрическая схема катодной защиты. ИТ — источник постоянного тока; $R_{\text{к}}$ — катодная поляризуемость защищаемой конструкции; $R_{\text{ва}}$ — анодная поляризуемость вспомогательного анода; сопротивления: $R_{\text{пр1}}$ и $R_{\text{пр2}}$ — соединительных проводов, $R_{\text{к}}$ — защищаемой конструкции, $R_{\text{из}}$ — защитного изолирующего покрытия, $R_{\text{ан}}$ — электролита между защищаемой конструкцией и вспомогательным анодом, $R_{\text{ва}}$ — вспомогательного анода.

в электролите металлическая конструкция рассматривается при этом как бинарный (двухэлектродный) гальванический элемент. Согласно теории многоэлектродных систем [1] для полного прекращения коррозии нужно поляризовать защищаемую металлическую конструкцию так, чтобы общий потенциал системы сместился в отрицательную сторону до значения начального потенциала анодных участков V_a^0 , т. е. до обратного потенциала металла в данном электролите, который является, таким образом, защитным потенциалом [5]. Сила тока I_3 (рис. 2а), необходимая для полной защиты двухэлектродной системы, может быть поэтому найдена графически на основании идеальной $V_{\text{к}}^0$ (кривая катодной поляризации катодных участков) или реальной $V_{\text{к}}$ (кривая катодной поляризации данной системы) кривой катодной поляризации и известного значения защитного потенциала ($V_3 = V_a^0$) как абсциссы точки пересечения любой из этих двух кривых с горизонталью, проведенной через ординату $V = V_3 = V_a^0$ (рис. 2а, точка б). Как известно [3], начиная с этой точки, идеальная и реальная кривые катодной поляризации совпадают (отрезок ба). Для неизопотенциальных металлических конструкций (например, трубопровода) графический расчет должен производиться по кривым катодной поляризации для участков, наиболее удаленных от точки подвода защитного тока. Найденное из графика значение силы защитного тока I_3 является первым параметром источника постоянного тока, т. е. $I_3 = I_{\text{ит}}$.

Для расчета второго параметра источника постоянного тока — напряжения $E_{\text{ит}}$ — надо знать все (за исключением $R_{\text{из}}$, которое по условию отсутствует) омические сопротивления в цепи катодной защиты ($R_{\text{к}}$, $R_{\text{эл}}$, $R_{\text{ва}}$, $R_{\text{пр}}$) и кривую анодной поляризации проектируемого вспомогательного анода. К отрезку $I_a b$ графически, с любым масштабом, прибавляется отрезок bc , равный произведению защитного тока на сумму первых трех из перечисленных выше сопротивлений, т. е.

$$\Delta V_K = I_a (R_{\text{к}} + R_{\text{эл}} + R_{\text{ва}}), \quad (1)$$

точка c вычерчивается влево кривая анодной поляризации вспомогательного анода вплоть до оси ординат, что дает потенциал $V_{\text{ва}}$, который необходимо сообщить вспомогательному аноду (рис. 2, а). Отрезок $V_{\text{х}} V_{\text{ва}}$ дает значение напряжения E_a , которое должно быть создано между вспомогательным анодом и защищаемой конструкцией, если вспомогательный анод сделан из того же металла или сплава, что и защищаемая конструкция. Если вспомогательный анод сделан из другого металла, для определения соответствующего напряжения защиты E'_a нужно к найденному графически значению E_a прибавить разность начальных потенциалов вспомогательного



2. Графический расчет катодной защиты металлической конструкции: а — без защитного изолирующего покрытия; б — с изолирующим защитным покрытием, в — то же при 90% защите

и защищаемой конструкции, т. е.

$$E'_a = E_a + (V_{\text{ва}}^0 - V_{\text{х}}). \quad (2)$$

Для определения напряжения источника постоянного тока $E_{\text{ит}}$ нужно к полученному значению E'_a прибавить произведение защитного тока на омическое сопротивление соединительных проводов, т. е.

$$E_{\text{ит}} = E'_a + I_a (R_{\text{пр}_1} + R_{\text{пр}_2}). \quad (3)$$

Если подлежащая катодной защите металлическая конструкция имеет защитное ронущее покрытие с сопротивлением $R_{\text{из}}$, следует найти падение потенциала, вызванное этим омическим сопротивлением:

$$\Delta V_{R_{\text{из}}} = I R_{\text{из}}. \quad (4)$$

Графически эта зависимость изображается прямой od (рис. 2, б). Затем следует графически сложить омическое падение потенциала $\Delta V_{R_{\text{из}}}$ с идеальной кривой катодной поляризации $V_{\text{к}}^0 a$ для участков, наиболее удаленных от точки подвода защитного тока. В результате получаем кривую $V_{\text{к}}^0 g$ суммарного изменения потенциала, определяемого катодной поляризуемостью защищаемой конструкции и омическим сопротивлением ее защитного изолирующего покрытия. Абсцисса точки пересечения этой кривой (или реальной кривой катодной поляризации $V_{\text{х}} g$ для участков, наиболее удаленных от точки подвода защитного тока, измеренной при наличии покрытия $R_{\text{из}}$) с горизонтальной, проведенной через ординату $V = V_a = V_{\text{а}}^0$ дает

силу тока $I_3 = I_{\text{ит}}$, необходимую для полной защиты конструкции (рис. 2, б точка l). Последующий расчет необходимого напряжения источника постоянного тока I производится так же, как и в предыдущем случае.

Для расчета не полной, но другой, вполне определенной степени защиты, необходимо располагать идеальной кривой анодной поляризации $V_a^0 h$ (кривой анодной поляризации анодных участков). Ордината точки пересечения i идеальных кривых поляризации $V_{\text{ка}}^0$ и $V_a^0 h$ дает потенциал корродирующей конструкции V_x , а абсцисса — коррозионный ток пары I_0 до ее катодной защиты (рис. 2, в). Из точки на абсциссе, соответствующей допускаемому при защите коррозионному току (например, $0,1 I_0$), восстанавливается перпендикуляр до пересечения с идеальной кривой анодной поляризации $V_a^0 h$ (рис. 2, в, точка k). Через точку пересечения k проводится горизонталь. Абсцисса точки пересечения этой горизонтали kf с суммарной кривой изменения потенциала, обусловленного катодной поляризуемостью защищаемой конструкции и омическим сопротивлением ее защитного изолирующего покрытия $V_{\text{кг}}^0$ (рис. 2, в, точка f) дает силу тока $I_3 = I_{\text{ит}}$, обеспечивающую 90% степень защиты конструкции (ток микропар составляет 10% от коррозионного тока конструкции до ее катодной защиты). Дальнейший расчет напряжения источника постоянного тока I производится так же, как и в предыдущих случаях.

Московский институт стали
им. И. В. Сталина

Поступила
26. VII. 1956

ЛИТЕРАТУРА

1. Н. Д. То м а ш о в, Теория коррозии металлов, Металлургиздат, 1952.
2. Г. В. А к и м о в, Теория и методы исследования коррозии металлов, Изд-во АН СССР, 1945.
3. Н. Д. То м а ш о в, Коррозия металлов с кислородной деполяризацией, Изд-во АН СССР, 1947.
4. В. А. П р и т у л а, Катодная защита трубопроводов от почвенной коррозии, Гостоптехиздат, 1945.
5. Н. П. Ж у к, Журн. физ. химии, 28, 1869, 1954.

К ОПРЕДЕЛЕНИЮ УПРУГОСТИ ПАРОВ ПО СКОРОСТИ ИСПАРЕНИЯ В ВЫСОКОМ ВАКУУМЕ

С. П. Детков

Из многочисленных методов определения давления насыщенных паров наиболее часто применяется метод эффузии через малое отверстие [1]. Для металлов и сплавов этим способом получено более половины всех сведений по упругости пара. В последние годы популярность метода возросла в связи с применением радиоактивных изотопов. Часто применяется и метод испарения с открытой поверхности [2]. Давление паров в случае эффузии (молекулярном потоке) через отверстие с бесконечно тонкими стенками из насыщенного пространства определяется формулой:

$$P = \frac{G}{S} \sqrt{\frac{2\pi RT}{\mu}}, \quad (1)$$

G — скорость испарения; S — площадь отверстия; R — газовая постоянная; T — абсолютная температура; μ — молекулярный вес.

В случае испарения с открытой поверхности

$$P = \frac{G}{\alpha S} \sqrt{\frac{2\pi RT}{\mu}}, \quad (2)$$

S — эффективная поверхность образца; α — коэффициент испарения*.

Указанные два метода определения упругости паров аналогичны. Метод эффузии переходит в метод испарения с открытой поверхности, если увеличивать отверстие и уменьшать высоту стенок сосуда. И в том, и в другом методе скорость испарения снижают стенки сосуда и коэффициент испарения, если он меньше единицы. В соответствии с этим в формулы (1) и (2) следует вносить соответствующие поправки в виде коэффициентов. Можно также вывести из теоретических соображений общую формулу, в которой будет учтена, учитывающая влияние стенок сосуда и коэффициента испарения. Тогда формулы (1) и (2) будут частными случаями общего выражения. Такая формула была выведена Уитманом [4].

Рассмотрим молекулярный поток с поверхности вещества, расположенного слоем в резервуаре R_B через трубы A и B , указанные на рисунке.

Обозначим через a — сечение трубы B ; A — сечение трубы A ; W_A — вероятность прохождения молекулами трубы A ; W_B — то же для трубы B .

Упругость насыщенных паров по Уитману определяется по формуле

$$P = \frac{G}{A\alpha K} \sqrt{\frac{2\pi RT}{\mu}} (1-b), \quad (3)$$

$$K = \frac{W_A W_B}{1 - (1-fW_B)(1-W_A)}; \quad f = \frac{a}{A};$$

$$b = (1-a) \left[1 - W_A + \frac{KW_A(1-fW_B)}{W_B} \right],$$

* Термин «коэффициент испарения» впервые ввел Стефан [3]. После Кнудсена его стали чаще называть коэффициентом аккомодации, хотя последний термин не уместно применять в вопросах теплообмена между газовой и конденсированной фазами.

или

$$P = \frac{G}{a\alpha K} \sqrt{\frac{2\pi RT}{\mu}} (1-b)f. \quad (4)$$

Сравнивая формулы (3) и (4) с выражениями (1) и (2), можно определить поправки. Обозначим общую поправку $W_{\text{общ}}$; она означает вероятность того, что испаряющаяся молекула оторвется от поверхности и выйдет из сосуда.

Тогда получим общую формулу

$$P = \frac{G}{aW_{\text{общ}}} \sqrt{\frac{2\pi RT}{\mu}}. \quad (5)$$

Величина W_A (или W_B) вычислена Клаузингом с большой точностью для труб различных размеров и форм сечений [5]. Кеннард [6] показал, что ее значения хорошо согласуются с эмпирическими соотношениями для круглых труб:

$$W_A(W_B) = \frac{1}{1 + 0,5 \frac{l}{r}} \quad \text{при } 0 < l/r \leq 1,50;$$

$$W_A(W_B) = \frac{1 + 0,4(l/r)}{1 + 0,95(l/r) + 0,15(l/r)^2} \quad \text{при } l/r > 1,50,$$

где r — радиус трубы; l — длина трубы.

Поправка $W_{\text{общ}}$ по Уитману выражена весьма сложно для практического использования. Между тем ее можно вывести более просто и обычным путем для любого числа труб и диафрагм, пользуясь широко распространенной в вакуумной технике электрической аналогией. При этом следует считать поверхность испарения, трубы A и B , диафрагму (вход из A в B) последовательно соединенными сопротивлениями молекулярному потоку. Пропускную способность трубы удобно выразить через вероятность Клаузинга.

Возьмем круглую трубу длиной l и радиусом r . Вероятность того, что молекула пройдет расстояние $l = 0$, равно единице. Обозначим вероятность для $l > 0$ через

$$W = \frac{1}{1 + f(l/r)}. \quad (6)$$

где $f(l/r)$ — некоторая функция, определяемая размерами трубы.

По Кнудсену $f(l/r) = 3/4(l/r)$, по Клаузингу для коротких труб $f(l/r) = 0,5l/r$ для длинных $3/4(l/r)$.

Пропускную способность трубы можно записать в виде:

$$V = S \sqrt{\frac{RT}{2\pi\mu}} \frac{1}{f(l/r)},$$

где S — сечение трубы.

Из выражения (6) следует, что

$$f(l/r) = \frac{1 - W}{W}.$$

Откуда пропускная способность труб A и B :

$$V_A = A \sqrt{\frac{RT}{2\pi\mu}} \frac{W_A}{1 - W_A},$$

$$V_B = a \sqrt{\frac{RT}{2\pi\mu}} \frac{W_B}{1 - W_B}.$$

Пропускная способность диафрагмы (вход в трубу B) [7]:

$$V_d = a \sqrt{\frac{RT}{2\pi\mu}} \frac{1}{1 - f}. \quad (1)$$

пропускная способность поверхности испарения

$$V_{\Pi} = \alpha A \sqrt{\frac{RT}{2\pi\mu}} = \frac{\alpha}{f} a \sqrt{\frac{RT}{2\pi\mu}}. \quad (11)$$

в данном случае влияние величины α равносильно соответствующему уменьшению поверхности испарения.

Полная пропускная способность системы находится из уравнения

$$\frac{1}{V_{\text{пол}}} = \frac{1}{V_A} + \frac{1}{V_B} + \frac{1}{V_{\Pi}} + \frac{1}{V_{\Pi}},$$

$$V_{\text{пол}} = a \sqrt{\frac{RT}{2\pi\mu}} \left(\frac{f}{W_A} + \frac{1}{W_B} + \frac{f}{\alpha} - 2f \right)^{-1}. \quad (12)$$

По уравнению Менделеева — Клапейрона

$$V = \frac{G}{P} \frac{RT}{\mu}.$$

давление насыщенных паров тогда выразится уравнением (5), в котором нужно использовать значение

$$W_{\text{общ}} = \left(\frac{f}{W_A} + \frac{1}{W_B} + \frac{f}{\alpha} - 2f \right)^{-1}. \quad (13)$$

Если вместо поверхности испарения сделать вход в трубу A из расположенного ниже резервуара R_A , то результирующий поток будет равен

$$Q = PV = Af \cdot W_{\text{общ}} \sqrt{\frac{RT}{2\pi\mu}} (P_A - P_B), \quad (14)$$

где $W_{\text{общ}} = \left(\frac{f}{W_A} + \frac{1}{W_B} - f \right)^{-1}$, P_A и P_B — давления в резервуарах A и B .

Выражение (14) непосредственно вытекает из (13) при $\alpha = 1$. Оно совпадает с тем же выражением, данным Уитманом. При большинстве других крайних значений W_A , W_B , α и f формулы (3) и (13) дают один и тот же результат. При некоторых крайних значениях, например, при $W_B = 1$, или $f = 1$, формулы различны.

Формула (13) независимым путем была выведена Мотцфельдт [8]. Однако предложенный здесь наиболее общий вывод исходит из обычных приемов расчета вакуумных систем.

Россман и Ярвуд [9] вывели частную формулу для испарения жидкости из круглого тигля.

В результате весьма сложных вычислений они получили

$$W_{\text{общ}} = \frac{\alpha}{1 + 0,5\alpha(l/r)}. \quad (15)$$

выражая $f(l/r)$ [здесь $0,5(l/r)$] через вероятность Клаузинга, что более точно в общем случае, получим

$$W_{\text{общ}} = \left(\frac{1}{\alpha} + \frac{1}{W_A} - 1 \right)^{-1}. \quad (16)$$

Это соотношение непосредственно вытекает из (13), как частный случай при $W_B = 1$ и $f = 1$.

Наконец, Россман и Ярвуд [10] вывели формулу поправки с учетом только коэффициента α , причем повторили вывод Шпайзера и Джонстона [11].

Вывод построен на предположении, что давление паров на бесконечно малую площадку, параллельную поверхности вещества и плоскости отверстия, одинаково сверху и снизу. Это соблюдается при $f \approx 0$, но неправильно при больших отверстиях в камере.

ЛИТЕРАТУРА

1. M. Knudsen, Ann. d. Phys., 28, 75, 179, 999, 1909.
 2. I. Langmuir, Phys. Rev., 2, 329, 1913.
 3. Б. Срезневский, ЖРФ-ХО, 14, 437, 1882.
 4. C. J. Witmann, Journ. Chem. Phys., 20, 161, 1952.
 5. P. Clausen, Ann. d. Phys., 12, 961, 1932.
 6. С. Дэшман, Научные основы вакуумной техники, 1949.
 7. А. Гутри и Р. Уокерлинг, Вакуумное оборудование и вакуумная техника, ИИЛ, Москва, 1951.
 8. K. Motzfeldt, Journ. Phys. Chem., 59, 139, 1955.
 9. M. G. Rossmann a. J. Yarwood, Brit. Journ. Appl. Phys., 5, 7, 1954.
 10. M. G. Rossmann a. J. Yarwood, Journ. Chem. Phys., 21, 1406, 1953.
 11. R. Speiser a. H. L. Johnston, T. A. S. M., 42, 289, 1950.
-

О ПРОТИВОРЕЧИЯХ В ТЕРМОДИНАМИЧЕСКОЙ ТЕОРИИ ФАЗОВЫХ ПЕРЕХОДОВ ВТОРОГО РОДА

М. П. Мохнаткин

В термодинамической теории Л. Д. Ландау [1, 2], как известно, различные фазовые переходы объясняются различным характером изменения «симметрии тела». Это объяснение играет роль физической теории и является дополнением к теории Эренфеста фазовых переходов второго рода. Рассмотрим условия фазовых переходов второго рода по Эренфесту:

$$\Delta\varphi = 0, \quad (\Delta\varphi_T = 0 \ (\Delta S_l = 0)); \quad \Delta\varphi_p = 0 \ (\Delta v = 0); \quad \Delta u = 0; \quad (1)$$

Д. Ландау вводит в рассмотрение новый термодинамический параметр η , характеризующий «симметрию тела»: для «симметричной фазы» $\eta=0$, для «несимметричной фазы» $\eta \neq 0$.

Если переход от одной симметрии тела к другой происходит «непрерывным образом» (η «обращается в нуль непрерывным образом, без скачка»), то по Л. Д. Ландау мы имеем фазовый переход второго рода. При этом постулируется возможность разложения в ряд термодинамического потенциала φ «несимметричной фазы» по степеням η окрестности точки $(T_0, P_0; \eta = 0)$ фазового перехода:

$$\varphi(T, P, \eta) = \varphi_0 + \alpha\eta + A\eta^2 + B\eta^3 + C\eta^4 + \dots \quad (2)$$

Допустим по Л. Д. Ландау [1, 2], что $\alpha \equiv 0$, $B \equiv 0$ и в точке перехода $A_0 = 0$, так что разложение термодинамического потенциала имеет вид:

$$\varphi(T, P, \eta) = \varphi_0 + A\eta^2 + C\eta^4 + \dots \quad (3)$$

Пренебрегая высшими степенями η , Л. Д. Ландау получает формулу для энтропии вблизи точки перехода:

$$S = - \frac{\partial \varphi}{\partial T} \quad (4)$$

$$S = S_0 - \frac{\partial A}{\partial T} \eta^2 \quad (5)$$

в точке перехода $\eta = 0$, поэтому $S = S_0$.

Отсюда Л. Д. Ландау выводит формулу для теплоемкости «несимметричной фазы» в точке перехода, предполагая, что производная $\partial S / \partial T$ в этой точке существует:

$$C_p = T \left(\frac{\partial S}{\partial T} \right)_p \quad (6)$$

$$C_p = C_{p0} + \frac{a^2 T_0}{2C_0}, \quad (7)$$

$$a = \frac{A}{T - T_0} = - \frac{2C_0 \eta^2}{(T - T_0)}; \quad C_0 = C(T_0) > 0.]$$

Чтобы получить желаемый скачок теплоемкости при фазовом переходе, Л. Д. Ландау подбирает соответствующие выражения для энтропии и теплоемкости «симметричной фазы» в точке перехода. «Для симметричной же фазы,— пишет Л. Д. Ландау [2]—, $S = S_0$ и потому (?) $C_p = C_{p0}$ ».

«Таким образом,— заключает автор,— мы приходим к выводу, что в точке фазового перехода второго рода теплоемкость испытывает скачок ($C_p > C_{p0}$)».

Читатель не может согласиться с такими выводами Л. Д. Ландау по следующим причинам. Известно, что «если конечная производная существует в некотором промежутке, то она представляет собою функцию, которая не может иметь обыкновенных разрывов или скачков: в каждой точке она либо непрерывна, либо имеет разрыв второго рода» [3]. Теплоемкость, как производная, в точке перехода либо непрерывна, либо имеет разрыв второго рода (рис. 1). Отсюда следует, что в точке фазового перехода при условии существования производной скачок теплоемкости вообще невозможен.

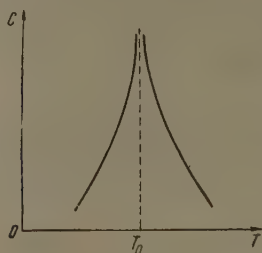


Рис. 1

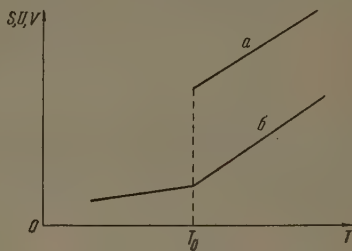


Рис. 2

Допустим, что производная $\partial S/\partial T$ в точке фазового перехода не существует, а имеются только производные (конечные) справа и слева (существуют теплоемкости отдельных фаз) (рис. 2). Если составить разность этих производных, то можно убедиться, что эта разность не зависит от теории фазовых переходов: «скачки» одинаковы для разрывных (рис. 2, а) и для «непрерывных» (рис. 2, б) переходов (для фазовых переходов первого и второго рода). В таком случае необходимость в гипотезе фазовых переходов второго рода отпадает*.

Саратовский педагогический
институт

Поступила
23. X. 1956

ЛИТЕРАТУРА

1. Л. Д. Ландау, ЖЭТФ, 7, 19, 627, 1937.
2. Л. Д. Ландау и Е. М. Лифшиц, Статистическая физика, ГТТИ, 1951.
3. Г. М. Фихтенгольц, Основы математического анализа, т. I, ГТТИ, 1956.

* Следует напомнить, что эта гипотеза не имеет количественного сравнения с опытом.

О λ -ПЕРЕХОДАХ И УРАВНЕНИИ ЭРЕНФЕСТА

В. Ю. Урбах

Как известно, уравнение Эренфеста является модификацией уравнения Клапейрона — Клаузиуса для случая, когда разности энтальпий и объемов соседних фаз равны нулю; тогда эти разности заменяются разностями теплоемкостей и коэффициентов расширения.

Считается очевидным, что λ -переходы должны описываться этим уравнением. Однако на практике это приводит к ряду противоречий. Прежде всего, известно, что во многих случаях (в том числе для параферромагнитных переходов, сегнетоэлектрического превращения титаната бария и др.) кривая теплоемкости непрерывна, так что никакой разности теплоемкостей вообще нет; в таких случаях за «скачок» теплоемкости принимается разность между максимальным значением теплоемкости и экстраполированным со стороны высокотемпературной фазы значением. Однако, во-первых, это противоречит смыслу уравнения Эренфеста, где δC_p должно быть именно величиной скачка; во-вторых, без всяких оснований игнорируется аномальный ход теплоемкости изотемпературной фазы. В тех случаях, когда разрыв кривой теплоемкости имеется, то высокотемпературной фазы опять-таки берется не истинное, а экстраполированное значение, что также ничем не обосновано. На некоторые другие противоречия в теории фазовых переходов второго рода указал также М. П. Мохнаткин [1].

Вследствие этих и других неувязок теории представления Эренфеста уже давно подвергаются сомнению [2—4]. В частности, неоднократно высказывалось мнение [2, 5, 6], что все λ -переходы (а если учесть результаты В. К. Семенченко [7], то и кристические переходы) являются размазанными в той или иной степени фазовыми переходами первого рода, для которых можно ввести понятие теплоты перехода $\int C_p dT$ (интегрирование по области аномалии); самим аномалиям при этом обычно приписывается флуктуационное происхождение.

В пользу такого взгляда можно привести добавочные аргументы. Если принять представление о флуктуационном характере аномалий, то для их описания можно использовать, например, аппарат теории гетерофазных флуктуаций Я. И. Френкеля [8]. Эта теория дает для аномалии энтальпии выражение

$$\Delta H = (H_B - H_A)_{T_0} \int_{g_0}^{\infty} g e^{-\beta g - \mu g^{3/2}} dg, \quad (1)$$

$$\beta = \frac{(H_B - H_A)_{T_0}}{RT^2} (T_0 - T),$$

T_0 — температура перехода, A — стабильная, B — метастабильная при данной температуре фаза, μ характеризует поверхностное натяжение между фазами. Отсюда для аномалии теплоемкости получается

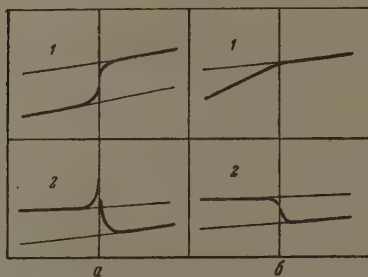
$$\Delta C = \frac{(H_B - H_A)_{T_0}^2}{RT_0^2} \int_{g_0}^{\infty} g^2 e^{-\beta g - \mu g^{3/2}} dg + (C_B - C_A)_{T_0} \int_{g_0}^{\infty} g e^{-\beta g - \mu g^{3/2}} dg. \quad (2)$$

Для фазовых переходов первого рода ΔH по обе стороны от T_0 имеет разные знаки: при $T < T_0$ имеем $H_B > H_A$, а при $T > T_0$ будет $H_B < H_A$, а ΔC по обе стороны от T_0 положительно [если пренебречь вторым членом в (2)]. Это приводит к тому, что получается типичная λ -кривая [2, 6, 8]. В случае же переходов второго рода (когда $\beta = H_A$) значения ΔC определяются только вторым членом в (2), и легко видеть, что ΔC имеет по обе стороны от T_0 разные знаки, так что кривая $C(T)$ имеет в общем той же вид, как кривая $H(T)$ для фазовых переходов первого рода [см. рисунок; аномалии в ходе $H(T)$ при переходах второго рода получаются за счет неучтенного в (1) второго члена, пропорционального $C_B - C_A$]. Это означает, что при фазовых переходах второго рода в смысле Эренфеста не может быть никаких выбросов теплоемкости, т. е. переходы не могут являться фазовыми переходами второго рода.

В то же время известно, что некоторые авторы, применяя уравнение Эренфеста, получили правильные результаты для типичных λ -переходов: В. Л. Гинзбург [9]

и Мерц [10] для сегнетоэлектриков, А. Е. Шейндлин [11] для закритических переходов жидкость — пар.

На первый взгляд, это опровергает представление, что λ -переходы не являются фазовыми переходами второго рода. Но можно показать, что это не так. Прежде всего следует отметить, что упомянутым авторам приходится специально оговаривать, что имеются в виду не скачки в строгом смысле слова, а разности между максимальными нормальными значениями (т. е. аномальные выбросы) теплоемкости и других параметров. Но если принять (что вполне естественно), что аномалии в калориметрических и объемных свойствах имеют общее (например, флуктуационное) происхождение, то следовало бы полагать, что ширина области аномалии в обоих случаях одинакова, и что вообще кривые C_p и $\alpha = (\partial V / \partial T)_p$ имеют одинаковую форму в том смысле, что при соответствующем



а — фазовый переход первого рода,
б — фазовый переход второго рода.
1 — H ; 2 — C_p

выборе масштаба они могут быть совмещены (для NH_4Cl это было недавно показано непосредственно [12]). Тогда площади, ограничиваемые этими кривыми, можно считать пропорциональными величинам выбросов ΔC_p и $\Delta \alpha$, так что наличие правильного соотношения между величинами этих выбросов свидетельствует лишь о наличии правильного соотношения между соответствующими площадями, т. е. между величинами теплового и объемного эффектов перехода, что и требуется уравнению Клапейрона — Клаузиуса.

Именно в этом, по нашему мнению, заключается смысл работ В. А. Соколова [14]. Для низкотемпературных переходов в галогенидах аммония это было показано нами [15] непосредственным расчетом.

Может показаться, что применение уравнения Эренфеста и вообще теория фазовых переходов второго рода к λ -переходам, хотя и в иной трактовке (т. е. если вкладывать в другой смысл ΔC_p и $\Delta \alpha$) все же целесообразно. Нам, кажется, что это не так. Известно, что во многих случаях «практически невозможно приписать определенное значение скачку удельной теплоемкости при пересечении λ -кривой, так как величина этого скачка зависит от того, насколько близко удается подойти к λ -точке в калориметрическом опыте» ([16], см. также [11, 14]). Поскольку при приближении к точке перехода теплоемкость во многих случаях очень резко растет [17, 18], то ясно, что в зависимости от степени приближения к точке перехода можно получить для ΔC_p значения, различающиеся в десятки раз, так что применение уравнения Эренфеста теряет всякий смысл (не говоря уже о том, что опытные определения ΔC_p и $\Delta \alpha$ обычно никак не коррелированы). В то же время асимптотический рост C_p или α почти не сказывается на величине, ограничиваемой соответствующей кривой площадью, так что уравнение Клапейрона — Клаузиуса будет и этих случаях давать правильный результат.

Московский институт тонкой
химической технологии
им. М. В. Ломоносова

Поступила
30. XI. 1956

ЛИТЕРАТУРА

1. М. П. Мохнаткин, Журн. физ. химии, 28, 561, 1954; 30, 1413, 1956.
2. Г. М. Бартеков, Диссертация, МХТИ им. Менделеева, 1946, стр. 143, 144.
3. Я. И. Френкель, Статистическая физика, 1948.
4. L. Tisza, Journ. Phys. Coll. Chem., 54, 1317, 1950.
5. A. Eucken, Phys. Zs., 35, 954, 1934.
6. J. E. Mayer, S. F. Streeter, Journ. Chem. Phys., 7, 1019, 1939.
7. В. К. Семенченко, Журн. физ. химии, 21, 1461, 1947; ДАН, 87, 441, 1952; Журн. физ. химии, 26, 1337, 1952.
8. Я. И. Френкель, ЖЭТФ, 9, 952, 1939. Кинетическая теория жидкостей, 1949, гл. VII, § 2, 3.
9. В. Л. Гинзбург, ЖЭТФ, 15, 739, 1945; Усп. физ. наук, 38, 490, 1949.
10. W. J. Merz, Phys. Rev., 78, 52, 1950.
11. А. Е. Шейндлин, Теплоэнергетика, № 3, 26, 1954.
12. A. B. Pirragd, Phil. Mag., 1, 473, 1956.
13. В. А. Соколов, ДАН, 65, 883, 1949.
14. В. А. Соколов и Н. Е. Шмидт, Изв. Сектора физ.-хим. анализа ИОН, 19, 281, 1949.
15. В. Ю. Урбах, Журн. физ. химии, 30, 217, 1956.
16. В. Кеэом, Геллий, М., 1949, стр. 298.
17. K. Clusius, Perlick, Zs. phys. Chem., 24, 313, 1934.
18. С. А. Злундич, ЖЭТФ, 8, 724, 1938.

ВОПРОСУ О КРИСТАЛЛИЗАЦИИ УЛЬТРАЧИСТЫХ ВЕЩЕСТВ

П. С. Вадило

Д. А. Петров и Б. А. Колачев [1], отмечая современные методы очистки веществ примесей, указывают, что взаимодействие между жидкой и кристаллической фазами ограничивается только поверхностью раздела фаз, фронтом кристаллизации. В течение которого осуществляется процесс кристаллизации, диффузионные процессы могут распространяться только в пределах близлежащих тонких слоев. Поскольку в процессе кристаллизации состав жидкой и твердой фаз непрерывно меняется, кристалл получается переменного состава.

В настоящее время общепризнано, что наиболее целесообразно использовать для получения чистых веществ метод вытягивания слитка из расплава по Чохральскому, или метод так называемой зонной плавки или зонной перекристаллизации.

Авторы [1] указывают, что если процесс вытягивания слитка производится недостаточно медленно, растущий кристалл захватывает избыточную примесь, которая распределяется в нем периодическими слоями. При этом в кристалле обнаруживается структура, представляющая клеточное строение кристалла. Примесей больше по мере удаления от поверхности, меньше в глубине последних. Избыточная примесь иногда не входит в решетку кристалла и образует «микрообъемы с кристаллической решеткой, свойственной примеси». Перемешивание расплава является необходимой операцией при очистке вещества, так как существенно ускоряет распределение в нем примесей, накапливающихся на фронте кристаллизации.

Авторы рассматриваемой работы приводят интересный и практически важный материал по методике очистки металлов путем кристаллизации и перекристаллизации. Но в работе не ясно, имели ли авторы дело с поликристалльным слитком или с монокристаллом.

Нами выращивались монокристаллы хлористого калия по методу Киропулеса. При выращивании монокристаллов достигал 1 кг. Выращивание производилось из расплава химически чистого хлористого калия, в котором при помощи крахмала и пепсина водорода нельзя было обнаружить йод. Однако в полученном монокристалле между сросшимися субиндивидами кристалла при помощи указанных реактивов обнаруживалось присутствие йода. Его здесь было больше, чем в исходном расплаве. Йод находился только между сросшимися субиндивидами, называемыми некоторыми авторами ветвями дендрита и соответствующими, по-видимому, «субструктуре» авторов рассматриваемой статьи.

Прежде чем рассматривать вопрос об очистке кристаллического вещества от примесей методом перекристаллизации, необходимо рассмотреть вопрос о том, какие бывают примеси и как вести перекристаллизацию в зависимости от характера этих примесей.

Следует различать примеси трех основных видов: изоморфных веществ, эпитаксиальных веществ и пр.

От примесей изоморфных веществ, к которым можно присоединить и вещества, образующие твердый раствор в кристалле основного (рассматриваемого) вещества, отска методом перекристаллизации чрезвычайно затруднена или даже невозможна. Когда она может быть осуществлена при росте кристалла из очень слабо переохлажденного расплава или из очень слабо пересыщенного раствора, так как для кристаллизации изоморфных веществ обычно требуется несколько большее (по сравнению с основным веществом) пересыщение раствора или переохлаждение расплава.

К эпитаксиальным следует отнести такие вещества, кристаллы которых имеют сходство с некоторыми своих плоских сеток и находящихся в узлах этих сеток элементарных ячеек. Благодаря такому сходству кристаллы данного вещества могут расти некоторыми своими гранями в переохлажденном расплаве или пересыщенном растворе вещества эпитаксиального. Так кристаллы слюды по плоскости скола могут расти в пересыщенном растворе йодистого калия, поскольку слюда и йодистый калий являются эпитаксиальными веществами. Примером эпитаксиальных веществ являются лед и йодистое серо, кальцит и селитра, α -железо и цементит и т. д. Кристаллизация примеси эпитаксиального вещества на одной из граней кристалла рассматриваемого вещества может происходить лишь при сильном пересыщении расплава или раствора в отношении примеси эпитаксиального вещества. В силу последнего обстоятельства кристаллизация примеси эпитаксиального вещества на кристалле рассматриваемого вещества происходит лишь на отдельных (активных) участках некоторых граней кристалла последнего вещества.

При одновременной кристаллизации кристалла рассматриваемого вещества и эпитаксиальной примеси образуется эвтектическая структура. Эпитаксиальными веществами являются все те вещества, которые при совместной кристаллизации в определенном отношении образуют эвтектическую структуру. При наличии примесей эпитаксиальных веществ в надлежащей концентрации (при которой образуется эвтектика) скорость внимания слитка из расплава не имеет значения. При любой скорости в кристалле будет примесь в таком же количестве, как и в исходном расплаве.

Примеси, не являющиеся изоморфными или эпитаксиальными, не попадают в растущий кристалл, если его поверхность не шероховатая. В этих условиях растущий кристалл отталкивает от себя такие примеси. Если же поверхность растущего кристалла имеет возвышения и углубления (субиндивиды, ветви дендрита), то при срастании ветвей дендрита или субиндивидов между собой между ними захватываются любые примеси, имеющиеся в исходном расплаве или растворе. Чем больше субиндивидов и ветвей дендрита, тем больше захватывается примесей. При малой скорости роста кристалла выделяемая им теплота кристаллизации рассеивается в окружающей среде, концентрационные потоки не образуются и поверхность растущего кристалла остается гладкой. При быстром росте кристалла теплота кристаллизации не успевает рассеиваться. Образуются концентрационные токи. Одни участки растущего кристалла соприкасаются с более переохлажденным расплавом (пересыщенным раствором), чем другие. Участки кристалла, соприкасающиеся с более пересыщенным раствором растут быстрее и превращаются в субиндивиды или ветви дендрита. При срастании между собой верхних участков субиндивидов или ветвей дендрита, между ними остаются примеси в растворе или в расплаве и тех веществ, которые не являются изоморфными или эпитаксиальными. Изоморфные и эпитаксиальные примеси, задержавшиеся между субиндивидами или ветвями дендрита, к концу кристаллизации основного вещества растворяются сами кристаллизуются.

Таким образом при образовании субиндивидов или ветвей дендрита в кристалл попадают любые примеси исходного раствора (расплава). Если на растущем кристалле субиндивиды не образуются, что имеет место при очень медленном росте кристалла, в него могут попасть только изоморфные и эпитаксиальные примеси, причем последние только при концентрации, при которой наступает эвтектическая кристаллизация.

Курский педагогический
институт

Поступила
20. II. 1957

ЛИТЕРАТУРА

1. Л. А. Петров и Б. А. Калачев, Журн. физ. химии, 30, 2340, 1946.

СОДЕРЖАНИЕ

теп физической химии в СССР к сороковой годовщине Великой Октябрьской Социалистической революции	2159
И. Кобозев. О механизме катализа. I	2162
С. Поминов. Применение метода спектров поглощения спирто-водных растворов электролитов для изучения сольватации ионов	2184
Ф. Дубинина и Б. Б. Кудрявцев. Скорость распространения ультразвука и гидратация растворов	2191
Г. Турьяни и Г. Ф. Серова. Полирографическое исследование состава и констант нестойкости пиридиновых комплексов никеля	2200
И. Резухина, Г. М. Дугачева и Ю. П. Симанов. Термоди- намика редких металлов. VII. Равновесие вольфрамата никеля с водо- родом	2206
Г. Жданов и А. В. Киселев. О химическом строении поверхности кварца и силикагеля и ее гидратации	2213
И. Панченков, И. А. Семиохин и О. П. Калашников. Разделение стабильных изотопов азота методом химического обмена. II.	2224
Г. Плюсин, А. П. Лысенко и Е. П. Бабин. Закономерности заме- щения атомов водорода в бензольном ядре алкильными группами. II. Соот- ношение констант скорости образования изопропилбензолов и уравнения состава продуктов алкилирования бензола пропиленом в присутствии фтористого водорода	2229
А. Шофа и Г. Г. Беспроскуринов. Исследование механизма атмо- сферной коррозии железа в присутствии сернистого газа как агрес- сора	2236
В. Антипина и О. В. Писаев. Влияние состава алюмосиликатных ката- лизаторов на реакции гидратации диэтилового эфира и дегидратации эти- лового спирта	2245
И. Каданер и В. М. Цукерник. Распределение тока на плоских па- раллельных электродах в прямоугольном электролизере	2253
Ф. Чешко. Об ассоциации бензола	2260
К. Белашенко. Вязкие и электрические свойства жидких бинарных сплавов и их связь со структурой жидкости	2269
А. Жаркова и Т. Н. Резухина. Теплосмкости вольфрамов свинца и кадмия при высоких температурах	2278
М. Полукаров и К. М. Горбунова. Некоторые вопросы теории электроосаждения сплавов. IV. Осциллографическое исследование потенциала катода в процессе осаждения сплавов.	2281
В. Марков. Термодинамические свойства хлористого цинка в расплавах $ZnCl_2 - RbCl$	2288
А. Геодакин и А. А. Жуховицкий. Чувствительный метод изме- рения коэффициентов диффузии	2295
С. Циклиси Я. Д. Шварц. Равновесие жидкость—газ в системе ацетальдегид—метан при высоких давлениях	2302
В. Вейц и Л. В. Гурвич. К вопросу об энергиях диссоциации молекул окислов щелочноземельных элементов	2306
Н. Вольнов. Упругость и плотность пара растворов хлорного олова в этил-, <i>n</i> -бутил и <i>изо</i> -амилацетатах	2312
Г. Фастовский и Ю. В. Петровский. Исследование равновесия жидкости и пара в системе азот—метан	2317
Е. Ели, Е. С. Воронцов и С. К. Чучмарев. Диффузии фосфора и кальция в расплавах $CaO-Al_2O_3-SiO_2$ и $CaO-P_2O_5$	2322
Г. Розенфельд и И. К. Маршаков. Механизм коррозии метал- лов в узких зазорах и щелях. IV. Коррозия алюминия и некоторых его сплавов	2328
А. Дейч. Изучение жидких систем по отклонению логарифма вязкости от аддитивности	2336
И. Соголова, Б. П. Айходжаев и В. А. Каргин. Зависимость механических свойств гуттаперчи от степени структурирования и темпера- туры	2340

- Г. А. Корсуновский. Обнаружение свободного гидроксила по спектрам поглощения вторичных продуктов фотохимических реакций в водных растворах 23
- В. В. Юшина. Каталитические свойства адсорбированных красителей I. 23

Методы и техника физико-химического исследования

- С. И. Кричмар. Установка для измерения электропроводности на промышленной частоте без применения платинированных электродов 23

Письма в редакцию

- Н. П. Жук. Графический расчет катодной защиты при помощи внешнего источника постоянного тока 23
- С. П. Детков. К определению упругости паров по скорости испарения в высоком вакууме 23
- М. П. Мохнаткин. О противоречиях в термодинамической теории фазовых переходов второго рода 23
- В. Ю. Урбах. О λ -переходах и уравнении Эренфеста 23
- П. С. Вадило. К вопросу о кристаллизации ультрачистых веществ 23

CONTENTS

- Achievements in Physical Chemistry in the Soviet Union, the 40th Anniversary of the Great October Socialist Revolution 21
- N. I. Kobozev. On the Mechanism of Catalysis. I 21
- I. S. Pominov. Application of the Absorption Spectra of Aqueous Alcohol Solutions of Electrolytes in Studies on Ion Solvation 21
- E. F. Dubinina and B. B. Kudriavtsev. The Rate of Ultrasonic Propagation and the Hydration of Solutions. 21
- Ya. I. Turyan and G. F. Serova. A Polarographic Investigation of the Composition and the Instability Constants of the Pyridine Complexes of Nickel 22
- T. N. Rezhukhina, G. M. Dugacheva and Yu. P. Simanov. The Thermodynamics of Rare Metals. V. The Equilibrium of Nickel Tungstates with Hydrogen 22
- S. P. Zhdanov and A. V. Kiselev. The Chemical Structure of Quartz and Silica Gel Surfaces and Their Hydrations 21
- G. M. Panchenkov, I. A. Semiokhin and O. P. Kalashnikov. Separation of Stable Nitrogen Isotopes by the Chemical Exchange Method. II 22
- V. G. Plusnin, A. P. Lysenko, E. P. Babin. Correlations in the Alkyl Substitution of Hydrogen Atoms in the Benzene Nucleus. II. The Ratio of the Rate Constants of Formation of the Isopropylbenzenes and the Equations for the Composition of the Products of the Alkylation of Benzene by Propylene in the Presence of Hydrogen Fluoride 22
- Z. A. Iofa and G. G. Besproskurnov. A Study of the Mechanism of the Atmospheric Corrosion of Iron in the Presence of Sulfur Dioxide as Aggressive Agent 22
- T. V. Antipina and O. V. Isaev. The Effect of the Composition of Aluminosilicate Catalysts on the Hydration of Diethyl Ether and Dehydration of Ethyl Alcohol 22
- L. I. Kadaner and V. M. Tsukernik. The Distribution of Current on Parallel Plane Electrodes in a Rectangular Electrolyzer. 22
- F. F. Cheshko. On the Association of Benzene. 22
- D. K. Belashchenko. The Viscous and Electrical Properties of Liquid Binary Alloys and Their Relation to the Structure of the Liquid 22
- L. A. Zharkova and T. H. Rezhukhina. The Heat Capacities of Lead and Cadmium Tungstates at High Temperatures. 22
- Yu. M. Polukarov and K. M. Gorbunova. Some Problems in the Theory of the Electrodeposition of Alloys. IV. Oscillographic Study of the Cathodic Potential in the Alloy Deposition Process. 22
- B. F. Markov. The Thermodynamic Properties of Zinc Chloride in $\text{ZnCl}_2\text{—RbCl}$ Melts 22
- V. A. Gaodakyan and A. A. Zhukhovitsky. A Sensitive Method for Determining Diffusion Coefficients 22
- D. S. Tsiklis and Ya. D. Shvarts. Gas-Liquid Equilibrium in the System Acetaldehyde-Methane under High Pressures 23

Veits and L. V. Gurvich. On the Dissociation Energies of Oxide Molecules of the Alkaline Earth Elements.	2306
N. Vol'nov. The Vapor Pressures and Vapor Densities of Solutions of Tin Chloride in Ethyl, <i>n</i> -Butyl and <i>iso</i> -Amyl Acetates.	2312
I. Fastovsky and Yu. V. Petrovsky. A Study of the Vapor-Liquid Equilibrium in the System Nitrogen-Methane.	2317
Esin, E. S. Vorontsov, and S. K. Chuchumarev. The Diffusion of Phosphorus and Calcium in the Melts $\text{CaO-Al}_2\text{O}_3\text{-SiO}_2$ and $\text{CaO-P}_2\text{O}_5$	2322
Rosenfel'd and I. K. Marshakov. The Mechanism of Metallic Corrosion in Narrow Crevices and Slits. III. The Corrosion of Aluminum and Some of Its Alloys.	2328
A. Deich. Investigation of Liquid Systems by the Deviation from Additivity of Their Viscosity Logarithms.	2336
Sogolova, B. I. Aikholdzhaev and V. A. Kargin. The Dependence of the Mechanical Properties of Gutta-Percha on the Degree of Structurization and the Temperature.	2340
Korsunovskii. The Detection of Free Hydroxyl with the Aid of the Absorption Spectra of the Secondary Products of Photochemical Reactions in Aqueous Solutions.	2351
Yushina. The Catalytic Properties of Adsorbed Dyes. I.	2357

Experimental Methods and Techniques

Krichmar. An Arrangement for Measuring Electroconductivities at Industrial Current Frequencies without the Use of Platinized Electrodes. . .	2361
--	------

Communications to the Editor

Zhuk. A Graphic Calculation of Cathodic Protection with the Aid of Direct Current from an External Source.	2364
Detkov. On the Determination of Vapor Pressure by the Rate of Vaporization in High Vacuum.	2367
Mokhnatkin. On the Contradictions in the Thermodynamic Theory of Second Order Phase Transitions.	2371
Urbach. α -Transitions and Ehrenfest's Equation.	2373
Vadilo. On the Crystallization of Ultra Pure Substances.	2375

Статьи, направляемые в Журнал физической химии, должны удовлетворять следующим требованиям:

1. Статьи должны быть изложены в наиболее сжатой форме, совместимой с ясною изложением, и тщательно отредактированы в рукописи.

2. Статьи, излагающие результаты работ, проведенных в учреждениях, должны обязательно иметь направление учреждения.

В конце статьи автором должно быть указано название научного учреждения, в котором произведена работа.

3. Статья обязательно должна быть подписана автором, причем инициалы фамилия автора должны быть четко повторены на машинке. К статье должны быть приложены адрес автора, место его работы, № телефонов для переговоров.

4. Статьи присылаются в редакцию в двух экземплярах, четко переписанные на машинке без помарок и вставок, на одной стороне листа, через два интервала, с оставлением с левой стороны листа поля в 4 см. Страницы рукописи должны быть пронумерованы по порядку, без литерных наращений (т. е. 7, 8, 9, и т. д., а не 7, 7а, 8, 9, 9а, 9б, и т. д.).

5. Формулы и буквенные обозначения величин должны быть вписаны четко и ясно от руки. Особое внимание следует обращать на тщательное изображение индексов и показателей степеней. Показатели и другие надстрочные значки отмечаются скобкой, а подстрочные — скобкой.

Необходимо делать ясное различие между заглавными и строчными буквами, для чего заглавные буквы подчеркнуть снизу двумя черточками (например, \bar{O}) а строчные — двумя черточками сверху (например, \bar{o}), 0 (ноль) оставлять без подчеркивания. Это особенно относится к таким буквам, как s и C , k и K , p и P , и U , s и S , z и Z , v и V , w и W . Греческие буквы нужно обводить красным карандашом.

6. Рисунки должны быть выполнены на белой бумаге или на кальке тушью. Подписи и обозначения на рисунках должны быть сделаны карандашом. В текст обязательно указать место для рисунков, вынося номер рисунка на поле. На оборот каждого рисунка должны быть поставлены фамилия автора, заглавие статьи, страница, к которой относится рисунок. Подписи к рисункам и фотографиям должны быть собраны на отдельном листе, прилагаемом к рукописи.

7. Следует избегать повторения одних и тех же данных в таблицах, графиках и тексте статьи.

8. Места, предназначенные к набору петитом, должны быть отмечены вертикальной чертой на полях.

9. Ссылки на литературу должны быть собраны в конце статьи в виде списка и заключать инициалы и фамилию автора в подлиннике, название журнала, том (подчеркнуть снизу), страницу и год, а для книг: инициалы и фамилию автора, точное название книги, наименование издательства, место и год издания.

В тексте ссылки на литературу обозначаются порядковой цифрой в квадратных скобках. Категорически не допускаются ссылки на не опубликованные работы (кроме диссертаций). Иностранные фамилии и термины даются в тексте в русской транскрипции, а в перечне литературы — в оригинальной транскрипции.

10. Не следует употреблять сокращенных слов, кроме общепринятых (т. е., и т. п. и т. д.).

Надлежит придерживаться следующих сокращений: килограмм — $кг$; грамм — $г$; грамм-молекула — $г-мол$; миллиграммолекула — $мг-мол$; метр — $м$; дециметр — $дм$; сантиметр — $см$; миллиметр — $мм$; литр — $л$; миллилитр — $мл$; квадратный сантиметр — $см^2$; кубический сантиметр — $см^3$; орто-, мета-, пара- — o -, m -, и p -; нормальный — N , децинормальный — $0,1N$; молярный — M ; температура кипения — $t. кип.$; температура плавления — $t. пл.$

11. Статью обязательно заканчивать формулировкой выводов. Выводы должны содержать не оглавление разделов работы, а краткое изложение ее итогов; кроме выводов представлять резюме на английском языке, которое можно писать по-русски; в этом случае перевод будет выполнен редакцией.

12. В случае представления двух или более статей одновременно необходимо указать желательный порядок их помещения.

13. Статьи, не отвечающие перечисленным требованиям, возвращаются авторам для переработки.

14. В присылаемой корректуре исправляются только типографские ошибки, никакие изменения и добавления не допускаются.

15. В случае направления автору статьи для согласования внесенных редакцией изменений сохраняется первоначальная дата поступления статьи в редакцию, но при возвращении статьи автору для серьезной переработки и исправления датой представления считается дата принятия редакцией к публикации.

16. Редакция высылает автору бесплатно 50 отдельных оттисков статьи. Несоблюдение перечисленных условий задерживает печатание статьи. Непринятые рукописи авторам не возвращаются.

ОТКРЫТА ПОДПИСКА

на журналы

АКАДЕМИИ НАУК СССР НА 1958 год

Название журнала	Количество номеров в год	Годовая подписная цена (в рублях)	Название журнала	Количество номеров в год	Годовая подписная цена (в рублях)
Автоматика и телемеханика	12	108	Природа	12	8
Акустический журнал	4	36	Радиотехника и электроника	12	14
Астрономический журнал	6	90	Русская литература	4	4
Биофизика	6	72	Советская археология	4	10
Биохимия	6	90	Советская этнография	6	10
Ботанический журнал	12	180	Советское востоковедение	6	7
Вестник Академии наук СССР	12	96	Советское государство и право	12	14
Вестник древней истории	4	96	Современный Восток	12	3
Вопросы языкознания	6	72	Теория вероятностей и ее применения	4	4
Геохимия	8	72	Успехи математических наук	6	9
Доклады Академии наук СССР (без папок)	36	360	Успехи современной биологии	6	4
Доклады Академии наук СССР (с 6 коленкоровыми папками с тиснением)	36	384	Успехи физических наук	12	14
Журнал аналитической химии	6	72	Успехи химии	12	9
Журнал высшей нервной деятельности им. И. П. Павлова	6	90	Физика металлов и металловедение	6	9
Журнал научной и прикладной фотографии и кинематографии	6	45	Физиологический журнал СССР им. И. М. Сеченова	12	10
Журнал неорганической химии	12	270	Физиология растений	6	5
Журнал общей биологии	6	45	Энтомологическое обозрение	4	9
Журнал общей химии	12	270	Известия Академии наук СССР:		
Журнал прикладной химии	12	180			
Журнал технической физики	12	225	Отделение литературы и языка	6	5
Журнал физической химии	12	270	Отделение технических наук	12	18
Журнал экспериментальной и теоретической физики	12	288	Отделение химических наук	12	12
Записки Всесоюзного минералогического общества	6	72	Серия биологическая	6	7
Зоологический журнал	12	180	Серия географическая	6	9
Известия Всесоюзного географического общества	6	54	Серия геологическая	12	14
Исторический архив	6	90	Серия геофизическая	12	14
Исторический архив в переплете	6	99	Серия математическая	6	8
История СССР	6	72	Серия физическая	12	14
Коллоидный журнал	6	72	Реферативный журнал, серии:		
Кристаллография	6	72			
Математический сборник	12	144	Астрономия и геодезия	12	115
Микробиология	6	72	Биология (сводный том) *	24	691
Новая и новейшая история	6	60	География (сводный том) *	12	288
Оптика и спектроскопия	12	144	Геология (сводный том) *	12	288
Почвоведение	12	144	Математика	12	172
Приборы и техника эксперимента	6	72	Машиностроение (сводный том) *	24	734
Прикладная математика и механика	6	81	Металлургия (сводный том) *	12	504
			Механика	12	172
			Физика	12	360
			Геофизика	12	115
			Химия (сводный том) *	24	754
			Биологическая химия	24	210
			Электротехника	24	480

Примечание. Серии Реферативного журнала, помеченные звездочкой, издаются одновременно как отдельными выпусками, так и в виде сводного тома. Условия подписки отдельные выпуски Реферативного журнала имеются в проспектах «Союзпечати».

ГОДОВАЯ И ПОЛУГОДОВАЯ ПОДПИСКА

ПРИНИМАЕТСЯ В ГОРОДСКИХ ОТДЕЛАХ «СОЮЗПЕЧАТЬ», КОНТОРАХ И ОТДЕЛЕНИЯХ СВЯЗИ, В ПУНКТАХ ПОДПИСК И ОБЩЕСТВЕННЫМИ УПОЛНОМОЧЕННЫМИ НА ЗАВОДАХ И ФАБРИКАХ, В НАУЧНО-ИССЛЕДОВАТЕЛЬСКИХ ИНСТИТУТАХ, УЧЕБНЫХ ЗАВЕДЕНИЯХ, УЧРЕЖДЕНИЯХ И ОРГАНИЗАЦИЯХ.

ПОДПИСКА ПРИНИМАЕТСЯ ТАКЖЕ В МАГАЗИНАХ «АКАДЕМКНИГА», А ТАКЖЕ КОНТОРОЙ «АКАДЕМКНИГА» — МОСКВА, ПУШКИНСКАЯ УЛ., Д. 23